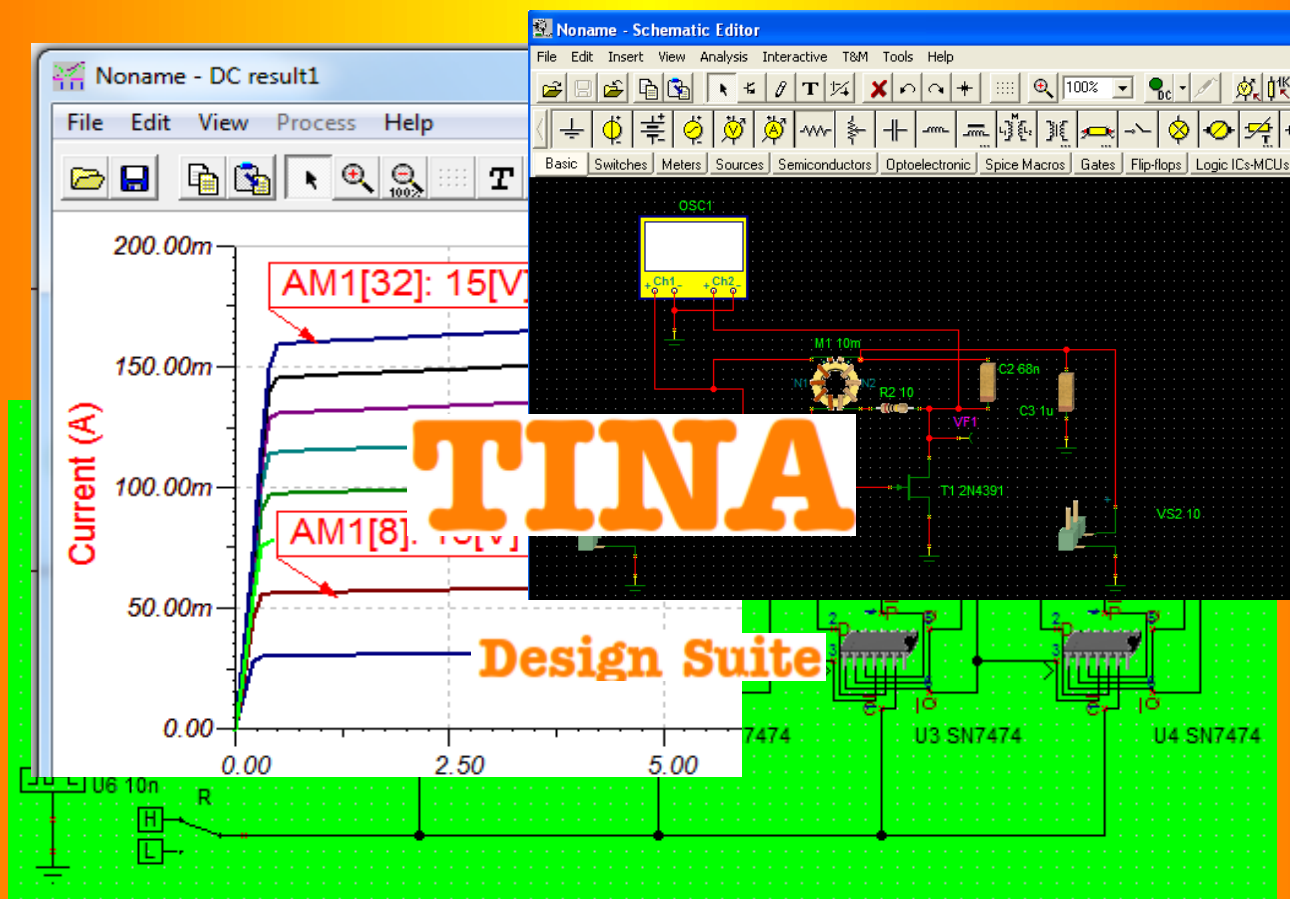


**В.А. АЛЕХИН**

# **ЭЛЕКТРОТЕХНИКА И ЭЛЕКТРОНИКА**

## **КОМПЬЮТЕРНЫЙ ЛАБОРАТОРНЫЙ ПРАКТИКУМ В ПРОГРАММНОЙ СРЕДЕ «TINA-8»**



**МОСКВА 2013**

МИНИСТЕРСТВО ОБРАЗОВАНИЯ И НАУКИ  
РОССИЙСКОЙ ФЕДЕРАЦИИ

ФЕДЕРАЛЬНОЕ ГОСУДАРСТВЕННОЕ БЮДЖЕТНОЕ  
ОБРАЗОВАТЕЛЬНОЕ УЧРЕЖДЕНИЕ ВЫСШЕГО  
ПРОФЕССИОНАЛЬНОГО ОБРАЗОВАНИЯ «МОСКОВСКИЙ  
ГОСУДАРСТВЕННЫЙ ТЕХНИЧЕСКИЙ УНИВЕРСИТЕТ  
РАДИОТЕХНИКИ, ЭЛЕКТРОНИКИ И АВТОМАТИКИ»  
(МИРЭА)

В.А. АЛЕХИН

**ЭЛЕКТРОТЕХНИКА И ЭЛЕКТРОНИКА**

Компьютерный лабораторный практикум  
в программной среде TINA-8

Учебное пособие

МОСКВА 2013

ББК 31.21+32.85

А 49

УДК 621.3.01+621.38

Индекс 2202010000

Рецензенты: профессор Н.Г. Анищенко, доцент Р.М. Закалюкин

А 49   Алехин В.А. Электротехника и электроника. Компьютерный лабораторный практикум в программной среде TINA-8/   Федеральное государственное бюджетное образовательное учреждение высшего профессионального образования «Московский государственный технический университет радиотехники, электроники и автоматики» - М., 2013. – 256 с.

ISBN 978-5-7339-0620-1

Обучение электротехнике и электронике предусматривает формирование навыков, умений и компетенций в расчетах и экспериментальных исследованиях электрических цепей и электронных схем. Программа TINA-8 компании Texas Instruments является одним из наиболее эффективных средств исследования и проектирования электронных устройств.

В учебное пособие включены основные разделы дисциплины «Электротехника и электроника». Главы учебного пособия содержит теоретическую часть, примеры расчетов и моделирования электрических цепей и электронных схем, описание лабораторных работ по теме раздела, расчетные домашние задания по обработке экспериментальных результатов.

Материал предназначен для студентов, изучающих дисциплины «Электротехника и электроника», «Общая электротехника», «Общая электротехника и электроника», «Теоретические основы электротехники», «Электротехника».

Табл. 28. Ил. 275. Библиограф.: 14 назв.

Печатается по решению редакционно-издательского совета университета.

© Алехин В.А., 2013  
© МГТУ МИРЭА, 2013

## ВВЕДЕНИЕ

Изучение электротехники и электроники в соответствии с федеральными государственными образовательными стандартами предусматривает практическое освоение студентами экспериментальных методов исследования электрических цепей и электронных схем, формирование компетенций, умений и навыков расчета электрических цепей и электронных схем.

Традиционно в лабораторных практикумах вузов для компьютерного моделирования электрических цепей и электронных схем применяются программы Electronics Workbench и Multisim. В последние годы появились новые эффективные программы компьютерного моделирования, в частности, программа TINA-8-Industrial компании Texas Instruments, которая является развитием программ Micro-CAP и Design Lab и содержит интегрированную часть для проектирования печатных плат.

На кафедре теоретических основ электротехники МИРЭА создан комплексный лабораторный практикум по электротехнике и электронике, в котором сочетаются аналоговые и компьютерные средства исследования электрических и электронных цепей, а также использование в расчетных заданиях современных компьютерных программ (например, Mathcad). Аналоговая лаборатория формирует навыки работы с реальными приборами, сборки электрических схем, исследования характеристик реальных электронных компонентов. Компьютерные программы моделирования и расчета электрических цепей дают обучающимся мощный современный аппарат исследования и проектирования электронных устройств.

Компьютерный лабораторный практикум в программной среде TINA-8 содержит наиболее важные разделы электротехники и электроники и поможет студентам закрепить знания теории, овладеть эффективной программой моделирования и получить практические навыки расчета и исследования электрических цепей и электронных схем. В компьютерных классах применяется упрощенная и доступная студенческая версия TINA-9-TI, в кото-

рой отсутствуют некоторые режимы, но основные задачи моделирования в ней также успешно выполняются.

Для каждой специальности и формы обучения конкретный перечень минимума лабораторных работ установлен рабочими программами и сообщается студентам преподавателями. Для углубленного изучения электротехники и электроники мы рекомендуем на домашнем компьютере выполнить все лабораторные работы, используя программу TINA-8.

### Указания по выполнению и защите лабораторных работ

1. Перед выполнением цикла лабораторных работ необходимо внимательно изучить правила техники безопасности, получить от преподавателя инструктаж по этим правилам и правилам поведения при выполнении лабораторных работ в компьютерном классе. В дальнейшем строго соблюдать правила техники безопасности и поведения в учебной лаборатории.

2. Перед выполнением каждой лабораторной работы студенту следует заранее изучить рекомендованный к данной теме теоретический материал, выполнить предварительные расчетные и контрольные задания, предшествующие лабораторному заданию, ознакомиться с содержанием лабораторного задания, продумать ответы на вопросы для самопроверки, подготовить в рабочем отчете бланк для заполнения протокола наблюдений. Бланк протокола наблюдений должен содержать наименование работы, схемы и таблицы для записи опытных данных. Лабораторные работы выполняются отдельными бригадами из двух-трех человек. Допускается иметь один рабочий отчет на бригаду. Рабочие отчеты должны оформляться в отдельной тетради для всего цикла лабораторных работ.

3. В начале лабораторной работы преподаватель проводит опрос студентов, проверяет выполнение расчетных и контрольных заданий, наличие протоколов и готовность к работе.

4. Включение компьютера производить, следуя инструкциям по работе в среде Windows.

5. При компьютерном моделировании экспериментальные данные следует заносить в таблицы. Можно делать скриншоты

схем и графиков.

6. Работа считается выполненной после утверждения преподавателем рабочего отчета бригады.

7. Для защиты лабораторной работы каждый студент по каждой работе составляет индивидуальный отчет, который должен содержать:

- заглавие (номер и название лабораторной работы);
- предварительные расчетные и контрольные задания;
- схемы исследованных электрических цепей;
- результаты исследований (в виде таблиц, графиков);
- итоговое расчетное задание;
- выводы по работе.

8. Работа считается защищенной после собеседования, утверждения индивидуального отчета преподавателем и решения контрольного задания по работе.

### **Краткие сведения о программе TINA-8**

TINA-8 является мощным инструментом для моделирования аналоговых и цифровых схем, позволяет проводить исследование схем при изменении параметров, оптимизацию, выполнять частотный и спектральный анализ, исследовать переходные характеристики и т.д. Рассмотрим интерфейс программы .

По сравнению с Electronics Workbench и Multisim программа имеет следующие преимущества:

1. Результаты на постоянном и переменном токе легко получаются в виде таблиц напряжения в узлах, на всех элементах, токов во всех элементах. Причем на переменном токе вычисляются амплитуды и фазы.

2. Во всех узлах можно померить напряжении специальным щупом.

3. Программа TINA-8 имеет режим многовариантного анализа (*Parameter stepping mode*), в котором значение параметров выбранных компонентов варьируется на каждом шаге вычислений. В результате вычисляется и строится набор графиков, который иллюстрирует чувствительность цепи к изменению парамет-

ров компонентов. Изменяемое значение параметра компонента может быть любым численным параметром.

4. Легко получаются амплитудно-частотные и фазо-частотные характеристики цепей. Анализ передаточных характеристик позволяет в режиме *AC Analysis-AC Transfer* получить амплитудно-частотные характеристики (АЧХ) и фазо-частотные характеристики (ФЧХ), а также, используя *Symbolic Analysis*, получить аналитическое выражение передаточной функции.

5. Удобно исследовать переходные характеристики цепей и получать их в виде графиков. Выбрав в главном меню *Analysis-Transient Analysis*, можно провести анализ переходных характеристик, зарегистрировать графики и получить в редакторе уравнений аналитическое выражение отклика.

6. Предусмотрен режим оптимизации, позволяющий выбрать оптимальные параметры цепи для достижения поставленной цели. Целевой отклик цепи (напряжение, ток, сопротивление или мощность) должны наблюдаться измерителями, предварительно установленными на нужных позициях. Неизвестные параметры цепи будут определены автоматически тогда, когда цепь выдаст целевой выходной результат.

7. В программе имеется ряд виртуальных приборов (мультиметр, осциллограф, функциональный генератор, графопостроитель и др.), не уступающие по возможностям приборам программы Multisim. Используя в главном меню подменю *T&M*, можно поместить реальные приборы на рабочее поле, автоматически заменяя генератор и окна анализа. Выполнив установку параметров приборов, можно немедленно увидеть результаты как в реальной лаборатории.

8. Чтобы посмотреть, как выглядят электронные компоненты схемы электрических и электронных цепей можно представить в формате 3D.

9. TINA-8 включает в себя симулятор для цифровых схем, содержит в библиотеке большое число микроконтроллеров (PIC, AVR, 8051), которые можно тестировать, программировать и запускать в интерактивном режиме. Встроенный программатор позволяет модифицировать программы и наблюдать результаты.

10. Для исследованной цепи TINA-8 позволяет спроектировать печатную плату и изготовить макет реального устройства.

### Интерфейс программы

На рис.В.1 показано окно программы.

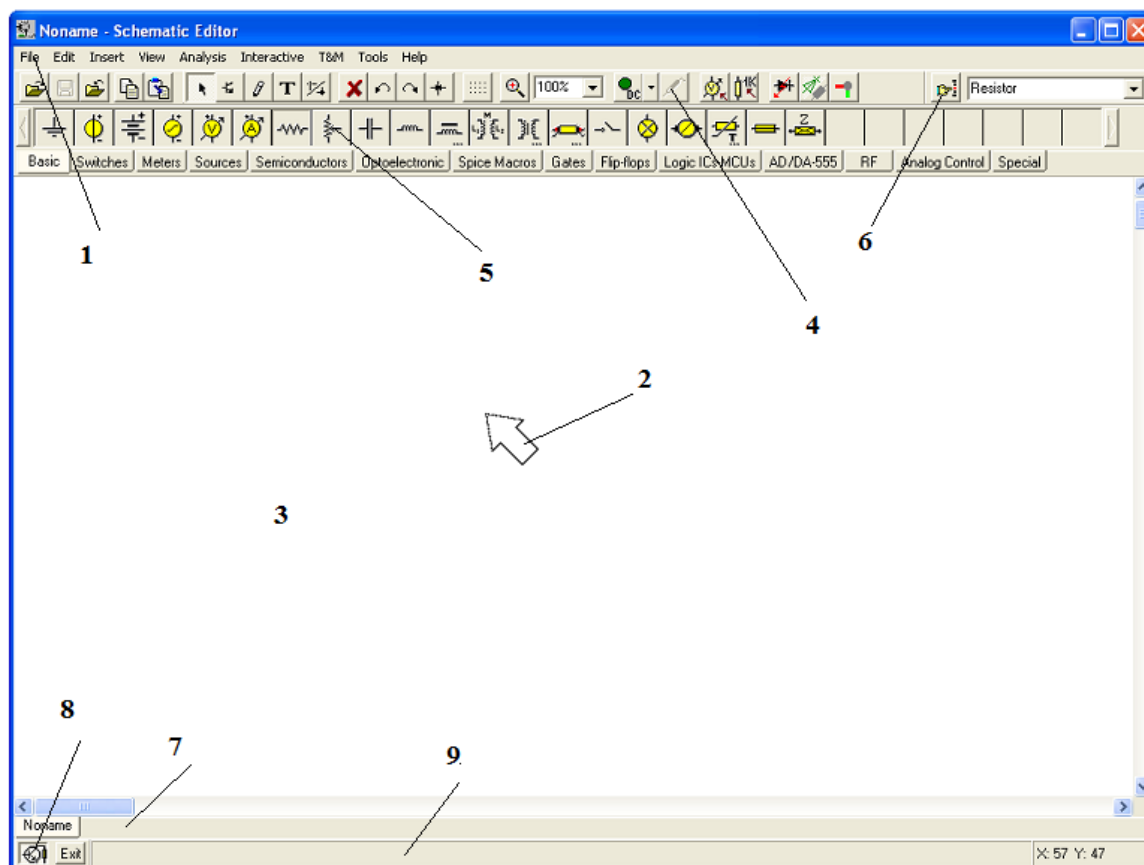


Рис. В.1 Окно программы TINA-9

1. *Строка меню.*

2. *Курсор, указатель (стрелка).* Курсор можно двигать мышью и выполнять следующие операции:

выделять область схемы;

переносить на схему символы компонентов;

определять конец проводника и соединять компоненты;

изменять конфигурацию проводников;

изменять конфигурацию схем;

разрывать соединения в схемах;



увеличивать схему, используя кнопку масштаба.

3. Окно схемы, в котором собирают схему цепи, включают приборы, проводят измерения и т.п. Операция *View/Greed On/Off* создает или удаляет сетку с рабочего окна. Операция *View/Pin Markers On/Off* показывает или удаляет контакты компонентов.

4. *Панель инструментов* позволяет выбрать многие команды редактирования: выделение, масштаб, проводочное соединение и т.д. Рассмотрим наиболее важные команды на панели инструментов. Панель инструментов содержит меню команд Рис.В2.

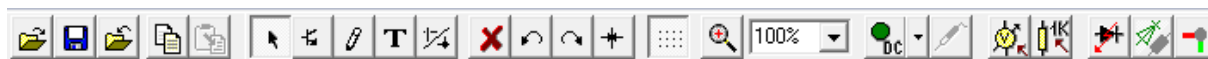




Рис. В.2. Меню команд

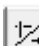
Кроме обычных команд (открытие файла, сохранение и т.п.) в меню команд входят:

 -режим выделения позволяет выделять или перетаскивать компоненты курсором при нажатии левой кнопки мыши. Выделенные компоненты окрашиваются в красный цвет. Для снятия выделения надо щелкнуть левой кнопкой мыши на свободном участке поля. Выделенный компонент можно удалять, поворачивать и т.п., щелкнув правой кнопкой мыши.

 - вставка последнего компонента.

 - служит для вставки проводников в схему (пишущий карандаш).

 - вставка текста или комментариев в схемы и результаты анализа.

 - позволяет разъединять компоненты или удалять соединяющие точки между проводниками и проводными соединениями.

 - повороты выделенного компонента.

 - зеркальное отражение выделенного компонента.

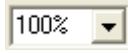
 - группа кнопок.



- включение/выключение сетки.



- увеличение масштаба выбранной части текущего вида.



- установка масштаба от 10% до 200%.

Интерактивное меню включает:



- режим постоянного тока,



- режим переменного тока,



- непрерывный переходной режим,



- однократный переходной режим с установленным временем анализа,



- цифровой режим,



- режим работы с компонентами и вычислительными операциями.



- список режимов работы.



- выбор цели оптимизации или изменения установок.



- выбор управляемого объекта для изменения параметров или оптимизации.



- позволяет установить погрешности компонентов.



- позволяет показать трехмерное изображение компонента.



- вызывает диалог, который инициирует модель проектирования печатных плат.



Voltage Pin



- поиск компонентов из библиотеки.

## 5. Панель компонентов.

Компоненты расположены в группах, поименованных на кнопках панели инструментов. Сначала выбирают группу, а затем

требуемый компонент. Щелкнув на выбранном компоненте, курсором переместите компонент на рабочее поле окна.

6. *Поиск компонентов.* Этот инструмент позволяет найти по имени любой компонент из каталога.

7. *Открытие таблицы файлов.* Можно иметь несколько разных файлов и выбрать нужный файл из таблицы.

8. *Включение и выключение редактора схем.*

9. *Линия помощи.* Дает краткое описание выделенного компонента.

### Создание цепи компонентов

Компоненты выбираются из панели компонентов и их символы перемещаются мышью на требуемые позиции. Компоненты можно поворачивать и зеркально отображать. После размещения компонентов, двойным щелчком левой кнопкой мыши открывают окно для установки параметров и этикетки компонента. Значения параметров могут лежать в пределах  $10^{-12} - 10^{+12}$ . Программа TINA автоматически присваивает этикетку каждому компоненту и отображает численное значение его параметра. Набор компонентов весьма обширный и включает пассивные компоненты, источники сигналов, ключи, полупроводниковые элементы, цифровые схемы и т.д.

### Соединения компонентов

Проводники устанавливают короткозамкнутое соединение между двумя контактами компонентов. Для создания проводника можно воспользоваться курсором, протянув проводник от одного компонента до другого. Курсор действует как пишущее перо. Подведите курсор к контакту компонента. Он отобразится как пишущий карандаш. Нажмите на левую кнопку мыши и протяните нужный проводник. Удобнее пользоваться пишущим карандашом. Он позволяет начинать проводник в любом месте рабочего поля. Когда Вы намерены завершить создание проводника,

нажмите правую кнопку мыши. В открывшемся меню можно редактировать положения проводника.

### Входы и выходы

Некоторые виды анализа (переходные характеристики на постоянном токе, Боде - диаграммы и т.д.) не могут выполняться, пока не определены входы и выходы цепи. Они определяют, где прилагается воздействие и откуда снимать реакцию цепи. Выходы также определяют, какие графики будут отображаться в выбранном режиме анализа. Источники и генераторы должны быть подключены к входам, а измерители – к выходам. Однако измерители могут также служить для определения количественного значения входных сигналов, которые будут использоваться при вычислении переходных характеристик и функций в режиме переменного тока. Для большей гибкости входы и выходы можно устанавливать на любой позиции, используя команды *Insert/Input* и *Insert/Output*. Заметьте, что Вы можете определить входные параметры для параметрического сканирования только для команды *Insert/Input*. Для установки входа или выхода выберите команды **Вход (I+)** и или **Выход (O+)** в меню вставок и перетащите символы входа или выхода к требуемым узлам схемы. Щелкните левой кнопкой мыши на узле, чтобы установить **Вход** или **Выход**. Программа нарисует прерывистую линию между двумя узлами и оставит ее на схеме, когда Вы щелкните на втором узле. Если установлено несколько входных узлов, важно помнить, что только один узел одновременно может быть определен в цепи. Аналогично, только один выходной узел может быть определен в цепи для использования.

Подробно изучить программу TINA-8 Вы сможете в процессе выполнения лабораторных работ.

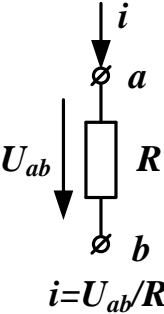
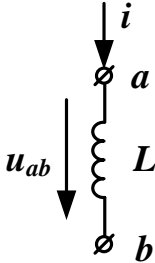
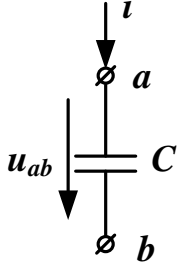
## ЧАСТЬ 1. ЭЛЕКТРОТЕХНИКА

### Глава 1. ЛИНЕЙНЫЕ ЭЛЕКТРИЧЕСКИЕ ЦЕПИ ПОСТОЯННОГО ТОКА

#### 1.1. Элементы, структура и основные законы электрических цепей

*Идеальные пассивные элементы* это резистор  $R$  [Ом], индуктивность  $L$  [Гн], емкость  $C$  [Ф].

Понятие «*постоянное напряжение (ток)*» означает, что во времени значение и направление напряжения (тока) не меняются. Можно сказать, что частота изменения постоянного напряжения (тока)  $\omega = 0$ .

 <p style="text-align: center;"><math>i = U_{ab} / R</math></p>	 <p style="text-align: center;"><math>u_{ab} = L \cdot di/dt</math></p>	 <p style="text-align: center;"><math>i = C \cdot du_{ab}/dt</math></p>
Резистор	Индуктивность	Емкость

На постоянном токе  $i = I = \text{const}$  получим  $di/dt = 0$ . Следовательно, напряжение на индуктивности равно нулю и индуктивность для постоянного тока является коротким замыканием.

Для емкости на постоянном токе  $du/dt = 0$ . Следовательно, ток через емкость равен нулю и емкость на постоянном токе эквивалентна разрыву.

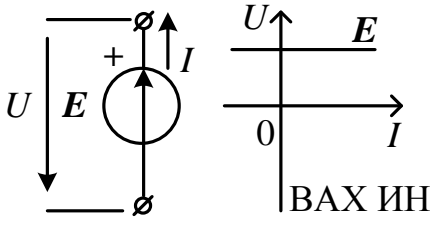
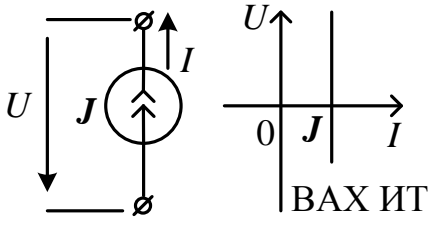
Линейные пассивные элементы имеют линейные зависимости между током и напряжением (или их производными для индуктивности и емкости). Для этого значения  $R$ ,  $L$ ,  $C$  не должны зависеть от токов и напряжений на этих элементах.

*Идеальные активные элементы (источники энергии)* это идеальный источник напряжения  $E$  и идеальный источник тока  $J$ .

*Идеальный источник напряжения  $E$  (ИН)* имеет нулевое внутреннее сопротивление ( $R_{\text{ин}} = 0$ ) и напряжение на его зажимах

не зависит от тока, который он отдает во внешнюю цепь. Вольтамперной характеристикой электрической цепи называют зависимость тока, проходящего через элемент от напряжения на его зажимах. Вольтамперная характеристика источника напряжения (ВАХ ИН) это горизонтальная линия на отметке  $E$  по оси напряжения.

Идеальный источник тока  $J$  (ИТ) имеет бесконечно большое внутреннее сопротивление ( $R_{\text{ит}} = \infty$ ) и ток, который он отдает во внешнюю цепь, не зависит от напряжения на зажимах источника тока. Вольтамперная характеристика источника напряжения (ВАХ ИТ) это вертикальная линия на отметке  $J$  по оси тока.

	
Идеальный источник напряжения	Идеальный источник тока

Реальные активные элементы имеют конечные внутренние сопротивления (Рис. 1.1).

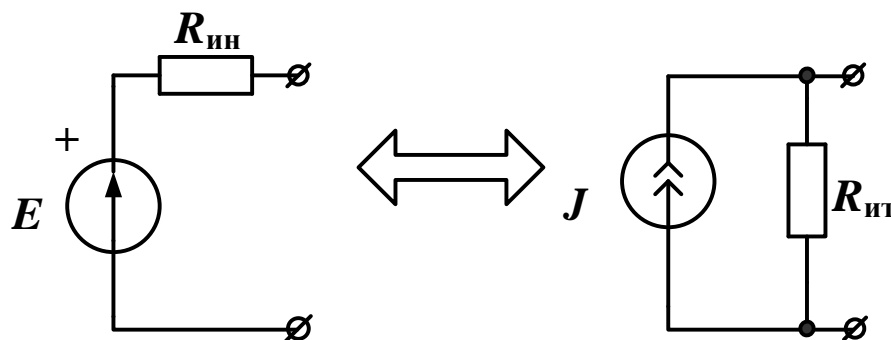


Рис. 1.1. Замена источника напряжения и источника тока

Источник напряжения с последовательным внутренним сопротивлением можно заменить на эквивалентный источник тока с параллельным внутренним сопротивлением при условии, что:



Ток в первой ветви  $I_1 = \frac{U_{fb} + E_1}{R_{ин} + R_1}$ . Знак плюс берут для источников напряжения, совпадающих по направлению с током.

### Первый закон Кирхгофа

*Сумма токов, сходящихся в узле, равна нулю (или сумма входящих в узел токов равна сумме выходящих токов).*

Для узла **b**:  $I_1 = I_4 + I_5$ .

### Второй закон Кирхгофа

*В замкнутом контуре алгебраическая сумма падений напряжений на пассивных элементах равна алгебраической сумме источников напряжения. При этом со знаком плюс берут падения напряжения на тех пассивных элементах, в которых токи совпадают с направлением обхода контура. Со знаком плюс берут источники напряжения, совпадающие по направлению с направлением обхода контура.*

## 1.2. Расчет цепи методом контурных токов (МКТ)

Рассчитать контурные токи в цепи (рис. 1.2).

Независимые контуры и контурные токи  $I_{11}$ ,  $I_{22}$ ,  $I_{33}$  обозначены на схеме.

Записываем канонические уравнения по методу МКТ для трехконтурной схемы (рис. 1.2):

$$\begin{pmatrix} I_{11} \\ I_{22} \\ I_{33} \end{pmatrix} = \begin{pmatrix} R_{11} & R_{12} & R_{13} \\ R_{21} & R_{22} & R_{23} \\ R_{31} & R_{32} & R_{33} \end{pmatrix}^{-1} \cdot \begin{pmatrix} E_{11} \\ E_{22} \\ E_{33} \end{pmatrix}$$

Диагональные сопротивления контурной матрицы сопротивлений с одинаковыми индексами находим как сумму всех сопротивлений контура при последовательном обходе. Недиагональные сопротивления с разными индексами равны сопротивлениям смежных ветвей контуров, причем со знаком плюс берут те сопротивления смежных ветвей, в которых контурные токи направлены одинаково. Контурные ЭДС равны алгебраической



сумме всех ЭДС контура. Со знаком плюс берут ЭДС, совпадающие по направлению с обходом контура.

### 1.3. Расчет методом узловых напряжений (МУН) в Mathcad

Составляем уравнения по методу узловых напряжений.

Нумеруем узлы:  $b \rightarrow 1$ ,  $c \rightarrow 2$ ,  $e \rightarrow 3$ .

Записываем для схемы с тремя независимыми узлами канонические уравнения МУН в матричной форме для расчета напряжений в узлах:

$$\begin{pmatrix} U_1 \\ U_2 \\ U_3 \end{pmatrix} = \begin{pmatrix} G_{11} & G_{12} & G_{13} \\ G_{21} & G_{22} & G_{23} \\ G_{31} & G_{32} & G_{33} \end{pmatrix}^{-1} \cdot \begin{pmatrix} J_{11} \\ J_{22} \\ J_{33} \end{pmatrix}$$

В матрице узловых проводимостей диагональные проводимости  $G_{11}$ ,  $G_{22}$ ,  $G_{33}$  с одинаковыми индексами находим как сумму проводимостей всех ветвей, подключенных к узлу с таким же индексом. Недиагональная проводимость с разными индексами (например,  $G_{12}$ ) равна взятой со знаком минус проводимости всех ветвей, соединяющих узлы 1 и 2.

Узловые токи  $J_{11}$ ,  $J_{22}$ ,  $J_{33}$  находим как алгебраическую сумму подключенных к данному узлу источников напряжения, деленных на сопротивления ветвей, в которых они находятся, и источников тока. Со знаком плюс берем источники, направленные к узлу.

**Пример №1.** Схема электрической цепи изображена на рис. 1.3. Найти токи во всех ветвях и напряжения  $U_{bd}$  и  $U_{cd}$ .

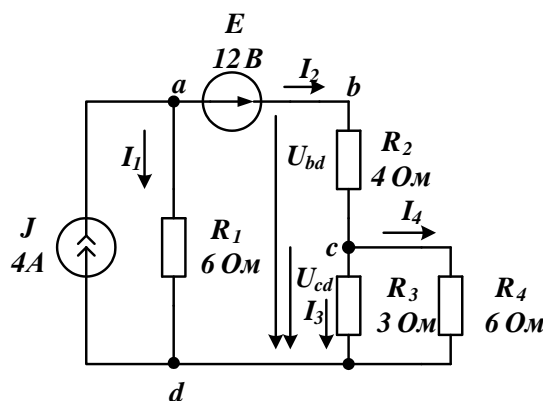


Рис. 1.3. Схема к заданию №1

Рекомендации:

1. Замените источник тока на источник напряжения.
2. Параллельно включенные сопротивления  $R_3$  и  $R_4$  замените эквивалентным.
3. В полученной одноконтурной цепи по второму закону Кирхгофа рассчитайте ток  $I_2$ .
4. Вычислите напряжения  $U_{cd}$  и  $U_{bd}$  по закону Ома.
5. Вычислите токи  $I_3$  и  $I_4$  по закону Ома.
6. По первому закону Кирхгофа вычислите ток  $I_1$ .
7. Запишите численные ответы для токов и напряжений.

**Пример 2.** Соберите схему моделирования рис. 1.4. Изображения элементов электрической цепи соответствуют европейским стандартам. Это устанавливается в меню *View – Options*. Выберите в интерактивном меню режим *DC* и нажмите кнопку *DC*. На схеме появятся показания всех приборов. Убедитесь, что эти показания совпадают с Вашим расчетом.

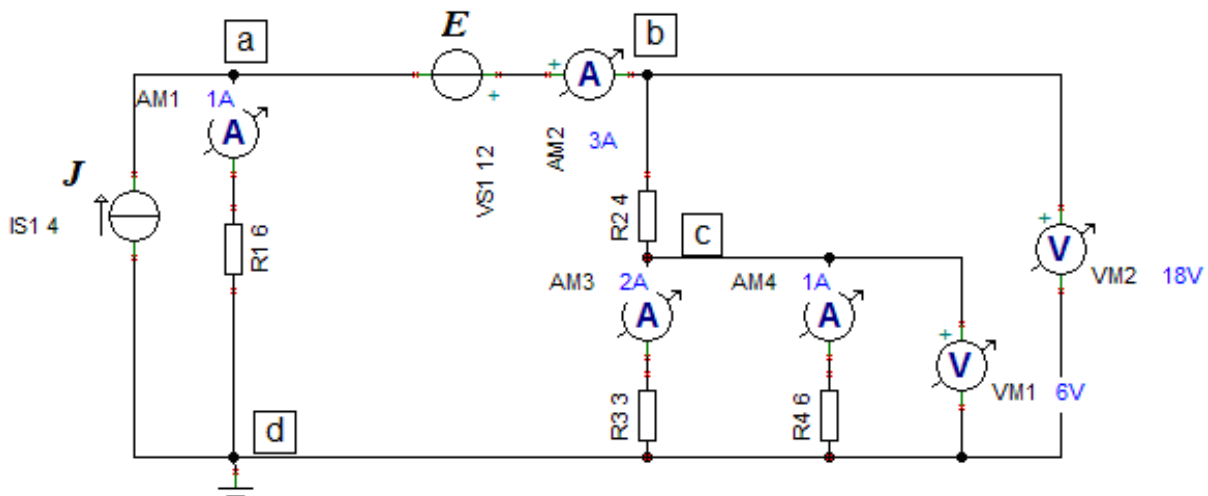


Рис. 1.4. Схема моделирования к заданию №1

Измерение напряжений в схеме можно провести и без включения приборов (рис. 1.5).

Для этого в главном меню наберите *Analysis- DC Analysis – Calculate nodal voltages*. Появится щуп. Касаясь им любого проводника, Вы измерите напряжение относительно земли.

Полный отчет о всех напряжениях и токах в схеме можно получить, набрав в главном меню *Analysis- DC Analysis – Table of DC results* (рис. 1.6).

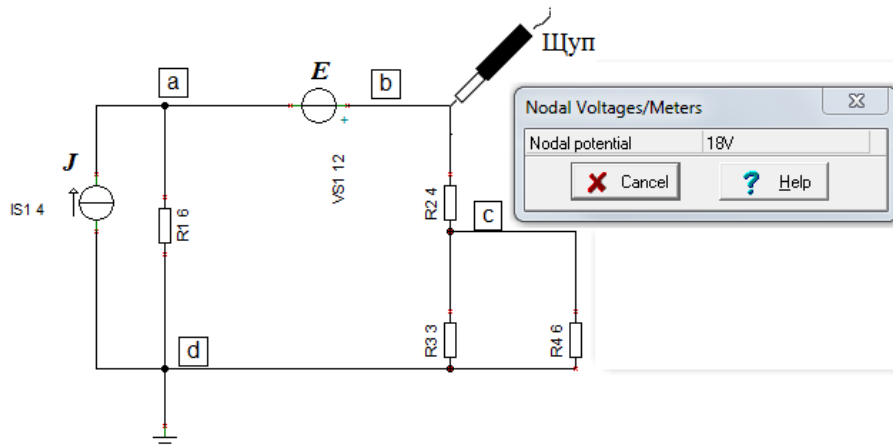


Рис. 1.5. Измерение напряжений щупом

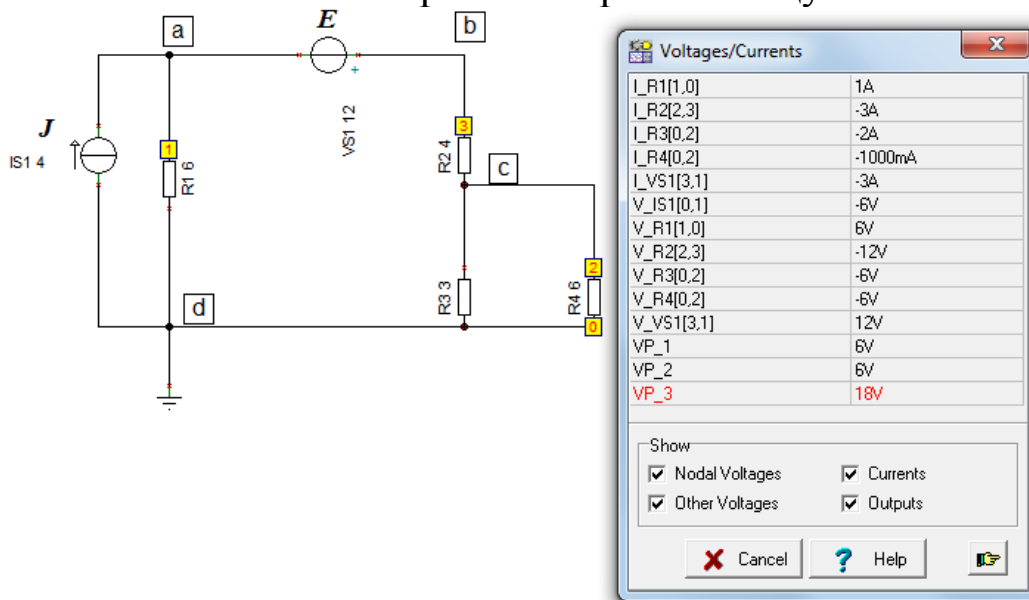


Рис. 1.6. Таблица результатов анализа схемы на постоянном токе

Напряжения и токи на отдельных элементах измерены по направлению узлов, указанных в скобках. *Дополнительное задание:* для контура  $R_1$ - $E$ - $R_2$ - $R_3$  проверить выполнение второго закона Кирхгофа.

#### 1.4. Делитель напряжения

В исследованной схеме напряжение в узле  $B$   $U_b=18V$ , а напряжение в узле  $C$   $U_c=6V$ . Сопротивления  $R_2$ ,  $R_3$ ,  $R_4$  образуют делитель напряжения. Параллельное соединение сопротивлений  $R_3$  и  $R_4$  обозначим  $R_{3||R_4} = \frac{3 \cdot 6}{9} = 2$  Ом. Напряжение в узле  $C$  находим по формуле:

$$U_c = U_b \frac{R_3 \parallel R_4}{R_2 + R_3 \parallel R_4} = 18 \frac{2}{4 + 2} = 6 \text{ В}.$$

Так на резисторах можно получить часть входного напряжения.

### 1.5. Делитель токов

К узлу  $C$  из резистора  $R_2$  подходит ток  $I_2=3$  А и делится на ток  $I_3$  и  $I_4$  пропорционально проводимостям третьей и четвертой ветвей. Ток  $I_4$  можно рассчитать по формуле:

$$I_4 = I_2 \frac{G_4}{G_3 + G_4} = I_2 \frac{R_3}{R_3 + R_4} = 3 \frac{3}{3 + 6} = 1 \text{ А}.$$

### 1.5. Баланс мощности

В электрической цепи постоянного тока сумма мощностей, выделяемых источниками энергии, равна сумме мощностей, потребляемых в нагрузках (резисторах). В цепи (рис. 1.3.) мощность источников:

$$P_{ист} = E \cdot I_2 + J \cdot U_{ad} = 12 \cdot 3 + 4 \cdot 6 = 60 \text{ Вт};$$

мощность потребителей:

$$P_{номр} = I_1^2 R_1 + I_2^2 R_2 + I_3^2 R_3 + I_4^2 R_4 = 6 + 36 + 12 + 6 = 60 \text{ Вт}$$

Как видим, баланс мощности выполняется.

Мощность источника тока, подключенного вместо  $E_2$  к узлам  $ad$  (рис. 1.3):  $P_J = J \cdot U_{ad}$  (источник тока направлен к узлу  $a$ ).

### 1.6. Метод эквивалентного генератора, согласование нагрузки с генератором

В схеме рис. 1.3 требуется найти ток только в одной ветви, например, ток  $I_2$  в ветви  $bc$ . Такой расчет проще сделать *методом эквивалентного генератора*. Для этого отключим временно резистор  $R_2$  и найдем напряжение холостого хода  $U_{bcxx}$  между точками  $bc$ . Затем найдем входное сопротивление  $R_{bcvx}$  схемы относительно точек  $bc$ . Заменим цепь с нагрузкой  $R_2$  эквивалентным генератором рис. 1.7, в котором  $E_{эКВ} = U_{bcxx}$ ,  $R_{эКВ} = R_{bcvx}$ .

Можно доказать, что в нагрузке  $R_2$  будет выделяться наибольшая активная мощность, если выполняется условие согласования нагрузки с генератором, а именно:  $R_n = R_2 = R_{экв}$ . При этом максимальная мощность в нагрузке будет равна:

$$P_{max} = \frac{E_{экв}^2}{4R_{экв}}.$$

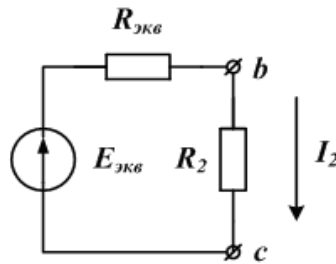


Рис. 1.7. Схема эквивалентного генератора

**Пример 3.** В схеме рис. 1.3 найти ток нагрузки  $I_2$  и мощность в нагрузке методом эквивалентного генератора.

Рекомендации:

1. В режиме холостого хода ток в схеме рис. 1.3 будет проходить только в источнике тока и резисторе  $R_1$ . Напряжение холостого хода найдем по формуле:  $U_{bcxx} = U_{abxx} + E = IR_1 + E$ .

2. При расчете входного сопротивления  $R_{бсвх}$  источник тока эквивалентен разрыву, а источник напряжения эквивалентен короткому замыканию.

**Пример 4.** В схему рис. 1.8 включен ваттметр W для измерения мощности. В таблице результатов находим ток  $I_2=3A$ , мощность в нагрузке  $P=PM1=36 Вт$ .

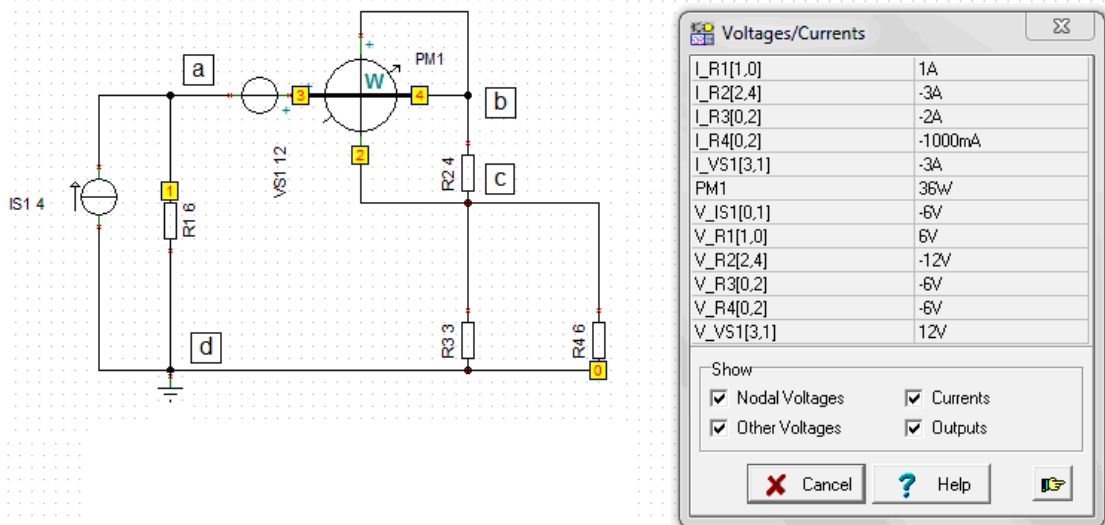


Рис. 1.8. Схема моделирования к заданию №2

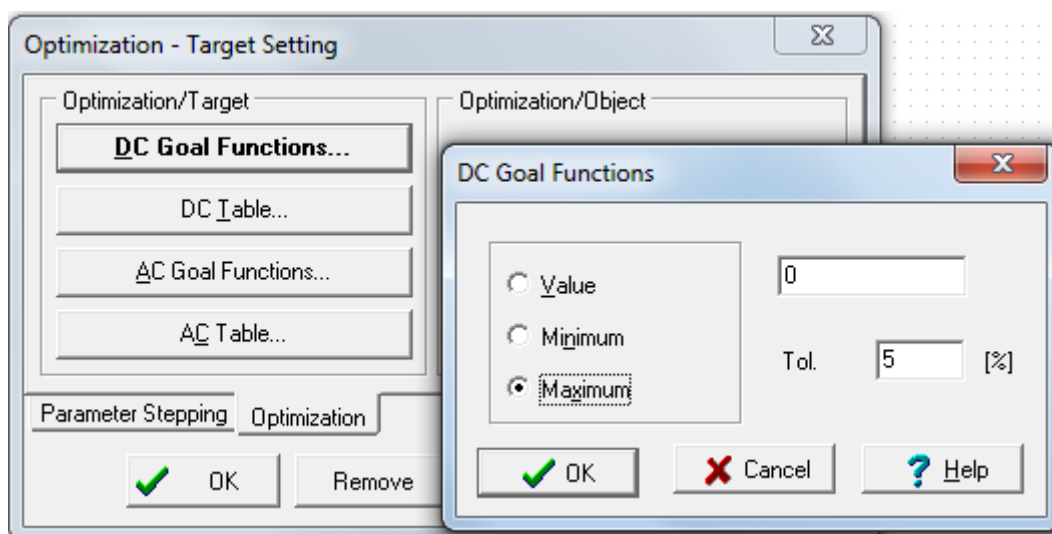




Рис. 1.9. Окна установки целей оптимизации

Найдем оптимальное значение нагрузки  $R_2$ . Для этого инструментом выбора цели оптимизации  выделяем ваттметр. В открывшемся окне *Optimization – Target Setting* выбираем *DC Goal Function* (рис. 1.9).

Инструментом выбора управляемого элемента  выделяем резистор  $R_2$ . В окне  $R_2$  выбираем *Select – Optimization*, устанавливаем *Start value*=2, *End value* = 12, нажимаем Ok (рис. 1.10).

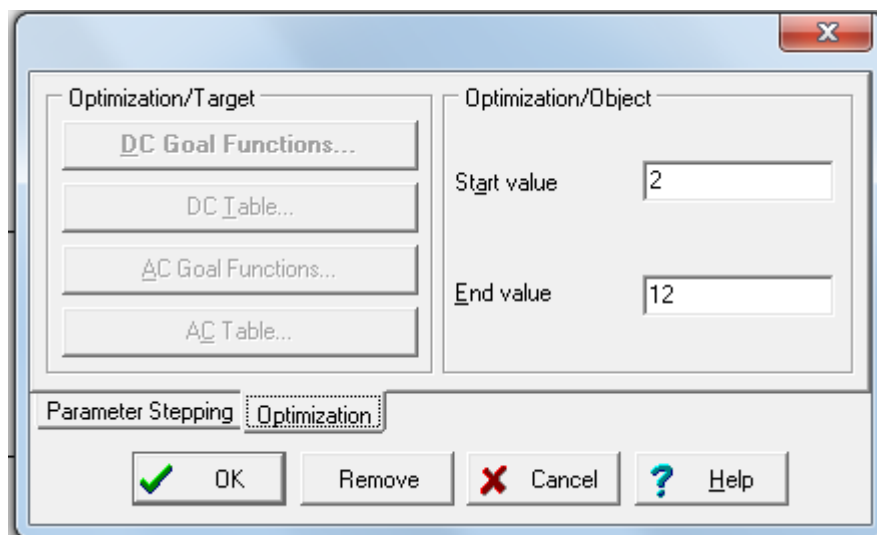


Рис. 1.10. Установка границ параметров оптимизации

Далее в главном меню выбираем *Analysis – Optimization – DC Optimization*. В новом окне *Optimization settings* (рис. 1.11) выбираем *Simple Search* и линейное сканирование. Нажимаем Ok.

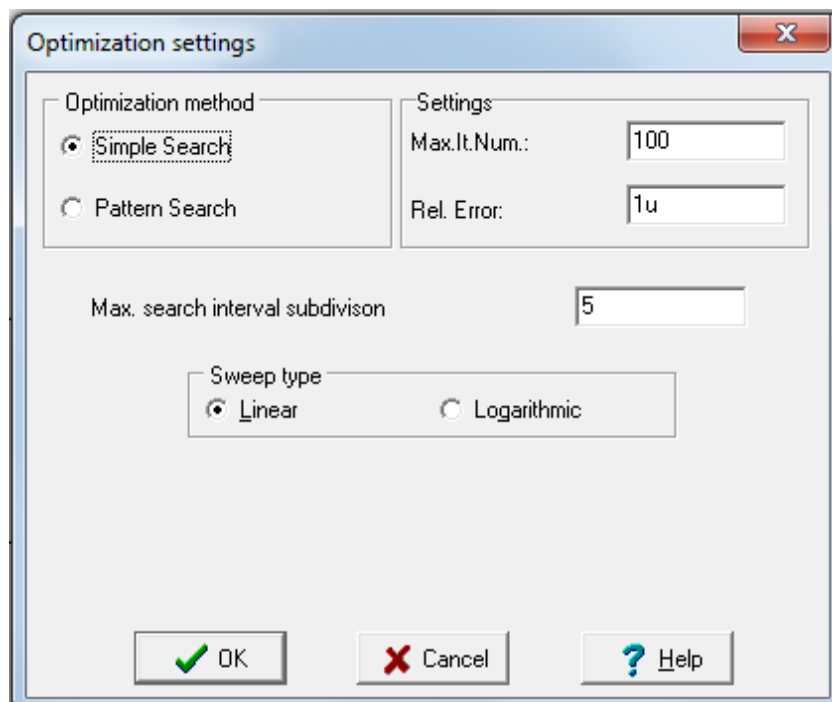


Рис. 1.11. Окно установок оптимизации

После вычислений получаем результат оптимального выбора сопротивления нагрузки (рис. 1.12).

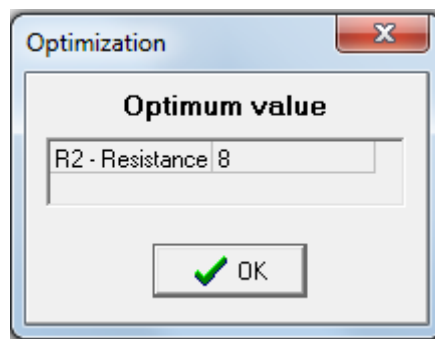


Рис. 1.12. Результат оптимизации сопротивления нагрузки

Оптимальное значение резистора  $R_2$  автоматически устанавливается в схеме. Повторно проведем измерения и в *Table of DC results* получим значение мощности в нагрузке 40,5 Вт.

Можно получить график зависимости мощности от сопротивления нагрузки (рис. 1.14). Для этого в главном меню выбираем *Analysis – DC Analysis - DC Transfer Characteristic*. Устанавливаем в окне (рис.1.13) изменяемый параметр *Input -  $R_2$* , начальные и конечные значения  $R_2$  и нажимаем *Ok*. Результатом исследований будут показания измерителя в схеме (ваттметра).

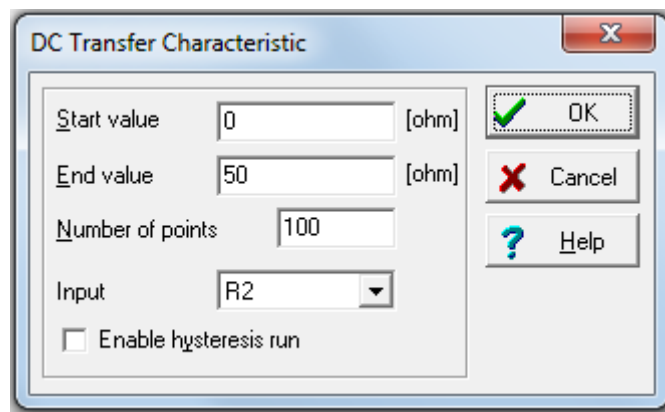



Рис. 1.13. Установка параметров для анализа передаточных характеристик на постоянном токе

На рис. 1.15 показаны графики мощности в нагрузке при изменении  $R_2$  и  $E$  (VS1). Напряжение  $E$  меняется от 8 В до 16 В с шагом 2 В и устанавливается инструментом выбора управляемого элемента . Изменение резистора устанавливается в режиме *DC Transfer Characteristic*.

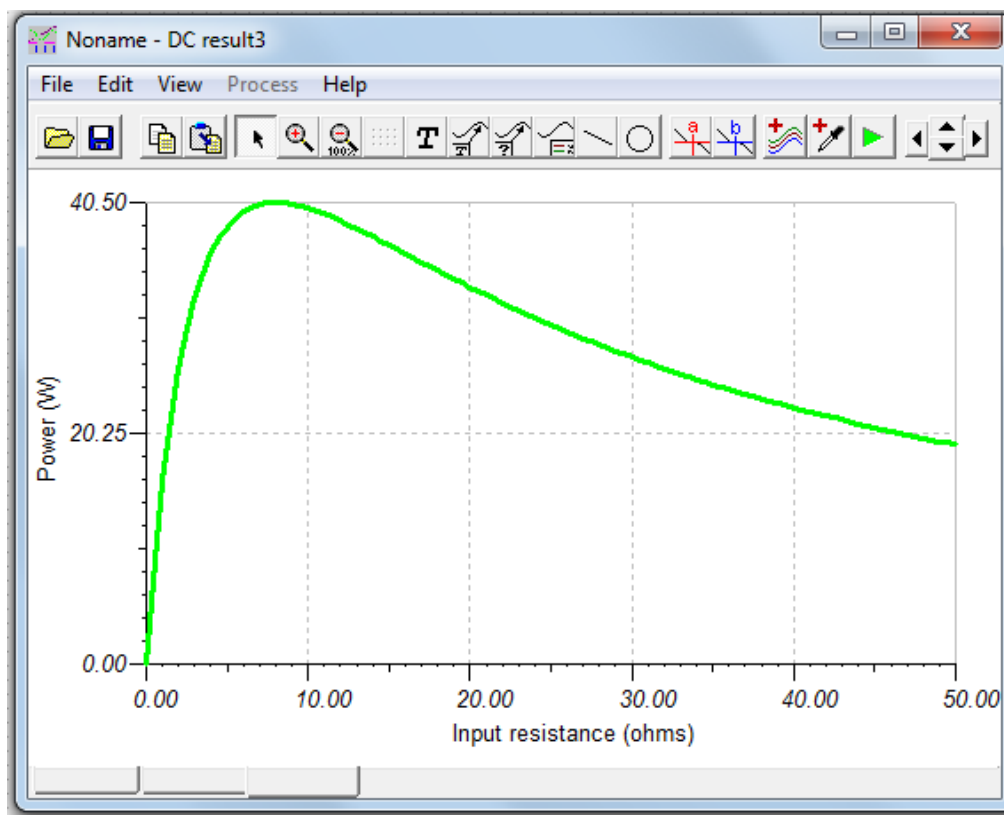


Рис. 1.14. График зависимости мощности от сопротивления нагрузки



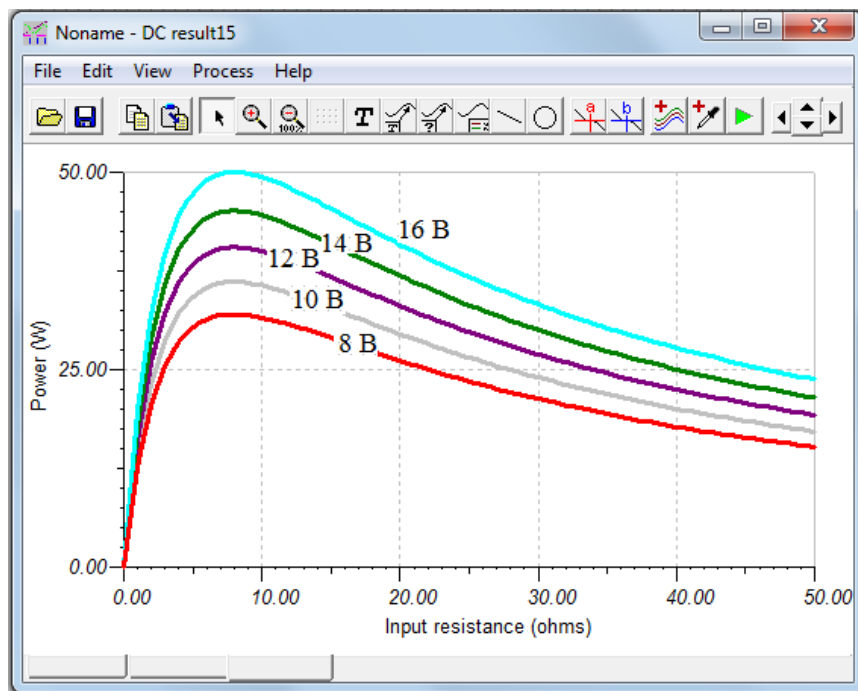


Рис. 1.15. Графики мощности в нагрузке при изменении  $R_2$  и  $E$

**Пример 5.** Рассчитать и смоделировать трехконтурную цепь.

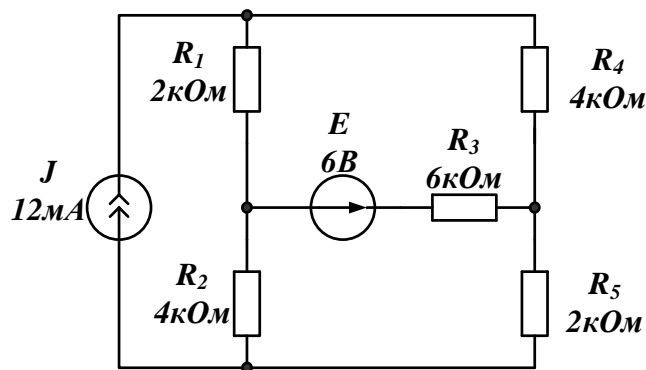


Рис. 1.16. Схема к примеру №5

1. Рассчитать токи в ветвях схемы рис. 1.16. Рекомендуется использовать метод контурных токов.
2. Собрать компьютерную модель схемы. Сравнить результаты моделирования с результатами расчета.
3. Используя режим *DC Optimization*, определить при каком значении  $E$  ток в резисторе  $R_3$  будет минимальным.
4. Используя режим *DC Transfer Characteristic*, получить график зависимости тока в резисторе  $R_3$  от величины  $E$ . Рекомендуем менять  $E$  в пределах  $(-24\text{V}, +24\text{V})$ .

### **1.7. Вопросы для самопроверки и задания для подготовки к лабораторной работе**

1. Какие элементы используются в линейных цепях постоянного тока? Нарисуйте вольтамперные характеристики этих элементов.

2. Как преобразовать источник напряжения в источник тока и обратно?

3. Нарисуйте четырехконтурную цепь постоянного тока с двумя источниками напряжения и источником тока. Обозначьте токи в ветвях и запишите уравнения для расчета токов по законам Кирхгофа, по методу контурных токов и по методу узловых напряжений.

4. Нарисуйте двухконтурную цепь с источником напряжения и источником тока. Задайте значения параметров всех элементов. Рассчитайте ток в одной из ветвей методом наложения. Определите остальные токи.

5. В двухконтурной цепи (п. 4) рассчитайте ток в одном из сопротивлений методом эквивалентного генератора.

6. Какое значение должно иметь сопротивление ветви нагрузки (п.5), чтобы в нем выделялась наибольшая мощность?

7. Как рассчитать баланс мощности для цепи (рис. 1.16)?

#### **Обязательно для всех лабораторных работ !**

8. Прочитайте весь текст лабораторной работы.

9. Подготовьте в тетради для лабораторных работ Протокол измерений. Протокол должен содержать схемы исследуемых цепей и таблицы для результатов измерений.

10. Подготовьтесь к вопросам по содержанию лабораторной работы, методам измерений, ожидаемым результатам.

### **1.8. Лабораторная работа №1**

#### **Исследование линейной электрической цепи постоянного тока**

**Цель работы** - опытное исследование свойств линейной электрической цепи, нахождение токов в ветвях методом наложения и по законам Кирхгофа, определение потенциалов точек

электрической цепи, исследование передачи энергии от активно-го двухполюсника нагрузке и сопоставления опытных и теоретических данных.

Работа выполняется компьютерным моделированием виртуальной цепи с использованием программы TINA-8.

1. Собрать схему для компьютерного моделирования рис. 1.17.

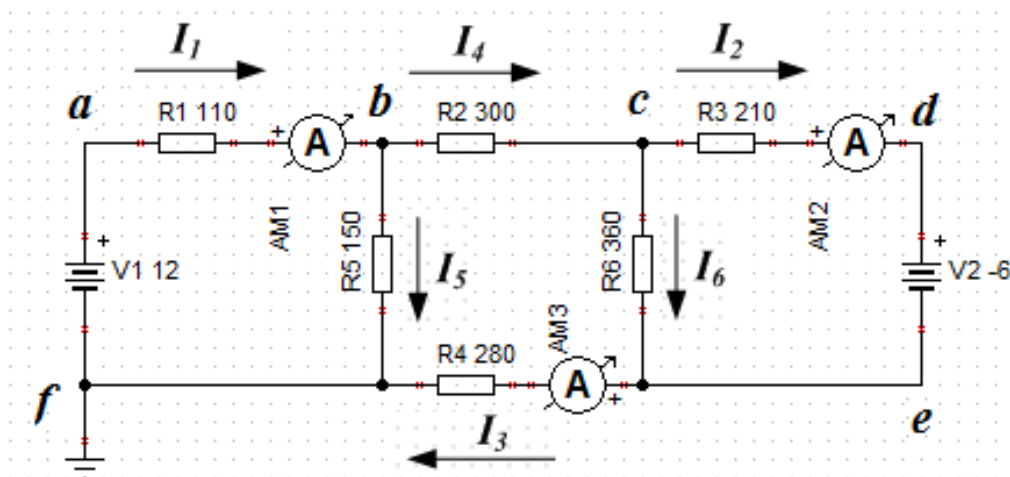


Рис. 1.17. Схема для компьютерного моделирования

Для сборки виртуальной цепи последовательно перетаскивайте на рабочее поле все элементы цепи с панели компонентов *Basic*. Расположите элементы цепи в соответствии со схемой. Элементы можно поворачивать, выделив их щелчком левой кнопки и, вызвав окно команд, редактирования щелчком правой кнопки. Для соединения элементов в цепь подведите стрелку указателя к выводу элемента, после появления «пишущего карандаша» нажмите левую кнопку мыши, протащите проводник до вывода другого элемента и, добившись соединения, отпустите левую кнопку мыши.

Для изменения значений параметра элемента выделите его, щелкнув левой кнопкой мыши. Затем нажмите правую кнопку, выберите *Properties* и установите нужное значение параметра.

Для измерения токов используются три амперметра АМ1-АМ3. Их входные зажимы, обозначенные знаком +, надо расположить согласно схеме рис.1.17. При этом значения токов по знаку будут соответствовать принятым направлениям стрелок.

## Лабораторное задание

1. Численные значения напряжений источников определяются по двум последним цифрам  $mn$  номера студенческого билета по следующим формулам:

$$E_1 = (-1)^m \cdot \begin{cases} m + 5, & \text{если } m \leq 5 \\ m, & \text{если } m > 5 \end{cases}$$

$$E_2 = (-1)^n \cdot \begin{cases} n + 5, & \text{если } n \leq 5 \\ n, & \text{если } n > 5 \end{cases}$$

Если работу выполняет бригада студентов, возьмите номер студенческого билета бригадира.

Установите рассчитанные по формулам или заданные преподавателем величины напряжения каждого из двух источников напряжения. Значения напряжений запишите в рабочий отчет и поддерживайте неизменными.

Номинальные значения резисторов для каждой бригады могут быть заданы преподавателем.

2. Определите токи во всех ветвях при действии только источника напряжения  $E_1$ . Для этого установите значение  $E_2=0$ .

Значения токов можно определить несколькими способами.

В главном меню выберите *Interactive – DC* и нажмите кнопку *DC*. Рядом с приборами на схеме появятся значения измеряемых величин.

В главном меню выберите *Analysis – DC Analysis – Calculate nodal voltages*. Появится щуп и значения токов в амперметрах.

В главном меню выберите *Analysis – DC Analysis – Table of DC results*. В таблице результатов Вы получите все токи и напряжения на элементах цепи и в узлах. Касаясь щупом любого элемента, в таблице результатов можно выделить цветом режим его работы.

Результаты измерения трех токов запишите в таблицу 1.1.

Токи надо обязательно определять с учетом знаков для "условно положительных направлений", обозначенных на схеме (Рис. 1.17). Для этого стрелка тока должна быть направлена к знаку "плюс" прибора.

3. Определите токи во всех ветвях при действии только источника напряжения  $E_2$ . Для этого установите значение  $E_1=0$ .

Результаты запишите в таблицу 1.1.

4. Включите два источника напряжения. Определите токи  $I_1$ ,  $I_2$ ,  $I_3$  при действии обоих источников (с учетом знаков токов). Результаты запишите в таблицу 1.1

Таблица 1.1

	$E_1 \neq 0$ $E_2 = 0$	$E_1 = 0$ $E_2 \neq 0$	$E_1 \neq 0$ $E_2 \neq 0$ опыт	$E_1 \neq 0$ $E_2 \neq 0$ расчет
$I_1$ , мА				
$I_2$ , мА				
$I_3$ , мА				
$I_4$ , мА				
$I_5$ , мА				
$I_6$ , мА				

5. По опытным данным пунктов 2 и 3 подсчитайте токи  $I_1$ ,  $I_2$ ,  $I_3$  при действии обоих источников напряжения и сравните результаты с экспериментом п.4.

6. В схеме с одним источником напряжения  $E_1$ , вместо  $E_2$  подключите вольтметр и измерьте напряжение холостого хода  $U_{xx}$  между разомкнутыми правыми зажимами. Затем закоротите вольтметр перемычкой и измерьте ток короткого замыкания  $I_{кз}$  при замкнутых зажимах. Рассчитайте входное сопротивление цепи со стороны правых зажимов:  $R_{вх} = \frac{U_{xx}}{I_{кз}}$ .



7. Установите  $E_1$  равным нулю. Исключите два источника напряжения. Измерьте омметром из группы компонентов *Meters* входное сопротивление со стороны правых зажимов. При измерении входного сопротивления вместо удаленных источников напряжения и тока надо оставить их внутренние сопротивления. Сравните результаты, полученные в п. 6.

8. Включите два источника напряжения. В главном меню выберите *Analysis – DC Analysis – Table of DC results*. Запишите в таблицу 1.2 значения напряжений в узлах схемы.

Таблица 1.2

$\varphi_a$	$\varphi_b$	$\varphi_c$	$\varphi_d$	$\varphi_e$

9. Включите вместо источника напряжения  $E_2$  сопротивление нагрузки  $R_7$ . Последовательно с амперметром АМ2 включите ваттметр как показано на рис. 1.8. Требуется найти оптимальное значение сопротивления нагрузки, при котором в ней выделяется наибольшая мощность. Исследование проводим аналогично моделированию задания №2.

Инструментом выбора цели оптимизации  выделяем ваттметр. В открывшемся окне *Optimization – Target Setting* выбираем DC Goal Function (рис. 1.9). Инструментом выбора управляемого элемента  выделяем резистор  $R_7$ . В окне  $R_7$  (рис. 1.10) выбираем *Select – Optimization*, устанавливаем *Start value*= $0,5R_{BX}$ , *End value* =  $2R_{BX}$ ., нажимаем *Ok*. В главном меню выбираем *Analysis – Optimization – DC Optimization*. В новом окне *Optimization settings* (рис. 1.10) выбираем *Simple Search* и линейное сканирование. Нажимаем *Ok*.

После вычислений получаем результат оптимального выбора сопротивления нагрузки (рис. 1.18). Запишите значение оптимальной нагрузки и значение тока  $I_2$ .

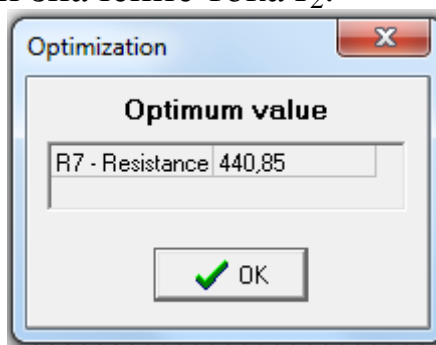


Рис. 1.18. Оптимальное сопротивление нагрузки

10. Получить график зависимости мощности от сопротивления нагрузки. Для этого удалим из схемы все амперметры. В главном меню выбираем *Analysis – DC Analysis -*

*DC Transfer Characteristic.* Устанавливаем в окне (рис. 1.13) изменяемый параметр *Input* -  $R_7$ , начальное значение  $R_7=0$  и конечное значение  $R_7=2R_{\text{вх}}$  и нажимаем *Ok*. Получим искомый график.

### Домашнее расчетное задание

1. По опытным данным пункта 5 рабочего задания подсчитать токи во всех ветвях при действии обоих источников напряжения.

2. По данным из таблицы 1.1 подсчитать входные и взаимные проводимости ветвей  $g_{11}$ ,  $g_{12}$ ,  $g_{21}$ ,  $g_{22}$  и записать выражения для токов  $I_1$  и  $I_2$  по принципу наложения.

3. Подсчитать, при каком значении напряжения  $E_2$  ток во второй ветви будет равен нулю.

4. По данным таблицы 1.2 и значениям токов рассчитать сопротивления всех ветвей схемы. Сравнить результаты с заданными по схеме.

5. Рассчитать входное сопротивление схемы со стороны правых зажимов. Сравнить с результатами предыдущих измерений и расчетов.

6. Используя  $U_{xx}$  и  $R_{xx}$  для принятого в схеме значения  $E_1$  и оптимального сопротивления нагрузки  $R_{7\text{ОПТ}}$  методом эквивалентного генератора рассчитать ток  $I_2$  и сравнить с опытными данными.

7. Построить график зависимости мощности, выделяемой в нагрузке, от величины сопротивления нагрузки. Для оптимальной нагрузки рассчитать и построить график зависимости мощности в нагрузке от тока в ней. Сделать выводы об условиях выделения максимальной мощности в нагрузке.

8. Построить потенциальные диаграммы для контура с источником напряжения и без источника напряжения.

9. Сформулировать и записать выводы по результатам экспериментов и расчетов.

## Глава 2. ЭЛЕКТРИЧЕСКИЕ ЦЕПИ ПЕРЕМЕННОГО ТОКА

### 2.1. Символический метод расчета

В электрических цепях переменного тока токи и напряжения меняются во времени и могут иметь синусоидальную гармоническую форму или периодическую несинусоидальную

форму. Поэтому электрические цепи переменного тока разделяют на цепи синусоидального тока и цепи несинусоидального тока.

### Расчет электрической цепи при синусоидальном сигнале

При гармоническом синусоидальном сигнале  $e(t) = E_m \cdot \sin(\omega t + \psi_E)$  расчет электрических цепей проводят символически методом с использованием комплексных амплитуд токов и напряжений и комплексных сопротивлений.

Рассмотрим пример расчета простой цепи синусоидального тока (Рис. 2.1.). Для расчета символическим методом исходную цепь для мгновенных значений напряжений и токов рис. 2.1.a заменяют символической схемой замещения для комплексных амплитуд напряжений и токов и комплексных сопротивлений рис. 2.1.b.

В символической схеме замещения *комплексная амплитуда* входного напряжения  $\underline{E}_m = E_m \cdot e^{j\psi}$ .

Сопротивление каждой ветви цепи характеризуют *комплексным сопротивлением*:

$$\underline{Z} = R + jX = R + j\left(\omega L - \frac{1}{\omega C}\right) = Z \cdot e^{j\varphi} \quad (2.1)$$

где  $Z = \sqrt{R^2 + X^2}$  - *модуль комплексного сопротивления*,  
 $\varphi = \arctg\left(\frac{X}{R}\right)$  - *аргумент комплексного сопротивления*. В ветви без индуктивности  $L = 0$ , а в ветви без емкости  $C = \infty$ .

*Комплексной проводимостью* ветви называется величина, обратная комплексному сопротивлению:

$$\underline{Y} = \frac{1}{\underline{Z}} = g - jb = Y e^{-j\varphi} \quad (2.2)$$

где  $Y = \sqrt{g^2 + b^2}$  - *модуль комплексной проводимости*,  
 $\varphi = \arctg\left(\frac{b}{g}\right)$  - *аргумент комплексной проводимости*.



Часть цепи, содержащая одну или несколько ветвей и имеющая два входных зажима, называется двухполюсником. Входное эквивалентное сопротивление двухполюсника рассчитывают сверткой цепи.

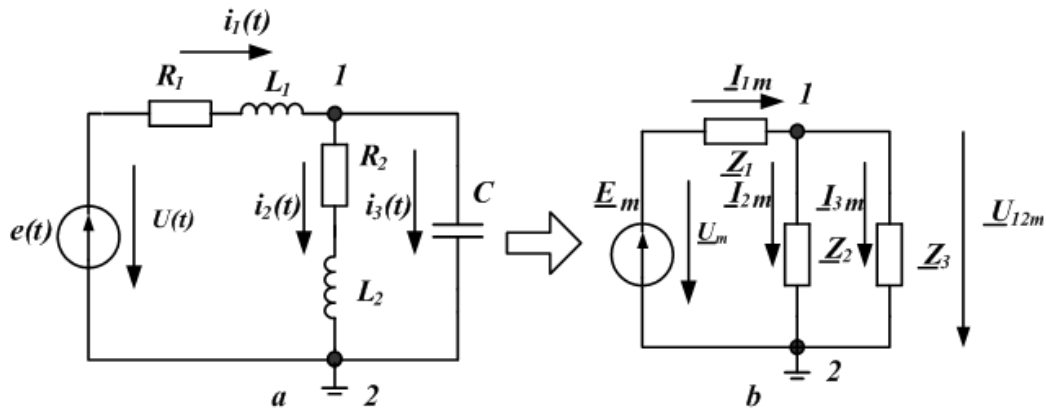


Рис. 2.1. Схема простой цепи синусоидального тока

Например, для схемы, изображённой на рис 2.1b:

$$\underline{Z}_{\text{эКВ}} = \underline{Z}_1 + \frac{\underline{Z}_2 \cdot \underline{Z}_3}{\underline{Z}_2 + \underline{Z}_3}.$$

$$\text{Входной ток } \underline{I}_{1m} = \frac{\underline{E}_m}{\underline{Z}_{\text{эКВ}}} = \frac{E_m \cdot e^{j\psi_E}}{\underline{Z}_{\text{эКВ}} \cdot e^{j\varphi}} = I_{1m}(\omega) \cdot e^{j\psi_I(\omega)}.$$

Здесь зависимость амплитуды тока от частоты  $I_{1m}(\omega)$  - амплитудно-частотная характеристика тока (АЧХ),  $\psi_I(\omega) = \psi_E(\omega) - \varphi(\omega)$  - фазо-частотная характеристика тока (ФЧХ). Если принять  $\psi_E = 0$ , то  $\psi_I(\omega) = -\varphi(\omega)$ . В цепи с индуктивным сопротивлением  $[-\varphi(\omega)]$  меньше нуля и напряжение опережает ток по фазе. В цепи с емкостным сопротивлением  $[-\varphi(\omega)]$  больше нуля и напряжение отстает от тока по фазе. В цепи с чисто активным сопротивлением, а также в резонансных режимах, когда  $X_{\text{эКВ}} = 0$ , ток совпадает с напряжением по фазе.

## 2.2. Мощность в цепи гармонического тока

Мгновенное напряжение на входе двухполюсника (рис. 2.1.a)  $u(t) = U_m \cdot \sin(\omega t + \psi_U) = e(t) = E_m \cdot \sin(\omega t + \psi_E)$ .

Мгновенное значение тока на входе двухполюсника равно  $i_1(t) = I_{1m} \cdot \sin(\omega t + \psi_I)$ . Мгновенная мощность будет равна:

$$p(t) = u(t) \cdot i_1(t) = \frac{U_m \cdot I_{1m}}{2} \cos \varphi - \frac{U_m \cdot I_{1m}}{2} \cos(2\omega t + 2\psi_U - \varphi) \quad (2.3)$$

Средняя мощность за период или активная мощность  $P = \frac{1}{T} \int_0^T u \cdot i \cdot dt = UI \cos \varphi$ . Здесь  $U = \frac{U_m}{\sqrt{2}}$  и  $I = \frac{I_m}{\sqrt{2}}$  - действующие значения напряжения и тока на входе двухполюсника.

В расчетах символическим методом применяют комплексную мощность  $\tilde{S} = \underline{U} \cdot \underline{I}^* = P + jQ$ , где  $\underline{U}$  - комплексное действующее значение напряжения на входе пассивного двухполюсника,  $\underline{I}^*$  - комплексно-сопряженный ток,  $P$  - активная мощность,  $Q$  - реактивная мощность. Активная мощность потребляется в цепи. Реактивная мощность обменивается между источниками энергии и накопительными элементами.

### 2.3. Расчет цепи методом двух узлов

Метод двух узлов является частным случаем метода узловых напряжений. Этот метод целесообразно применять, когда в схеме рис. 2.2 всего два узла. Один узел  $b$  можно заземлить.

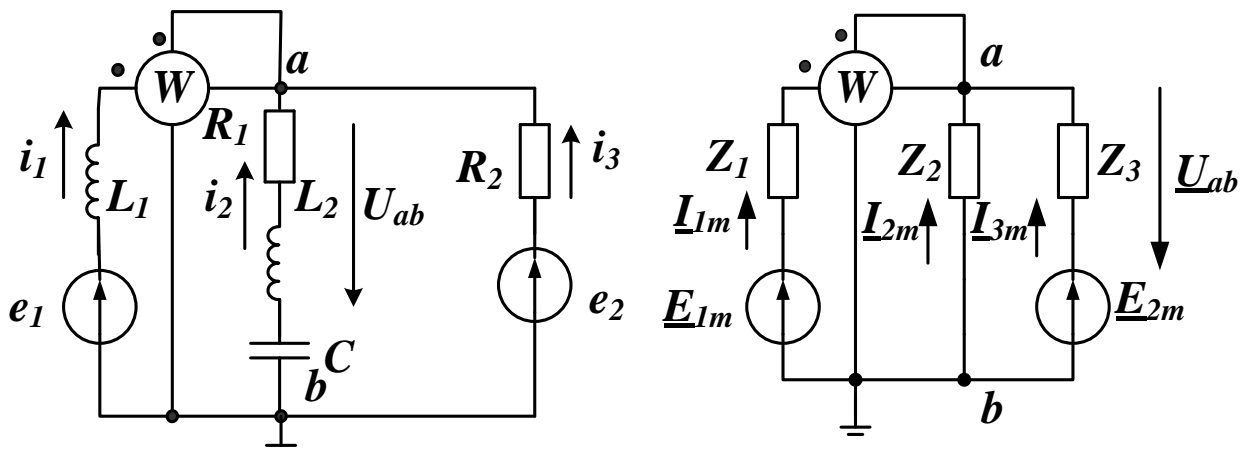


Рис. 2.2. Схема исходной цепи с двумя узлами и схема замещения

В схеме замещения (справа)  $\underline{Z}_1, \underline{Z}_2, \underline{Z}_3$  - комплексные сопротивления ветвей;  $\underline{E}_{1m}, \underline{E}_{2m}$  - результирующие комплексные амплитуды ЭДС в ветвях;  $\underline{I}_{1m}, \underline{I}_{2m}, \underline{I}_{3m}$  - комплексные амплитуды токов в ветвях. Напряжение между узлами  $a$  и  $b$  можно рассчитать по формуле метода двух узлов:

$$\underline{U}_{abm} = \frac{\underline{E}_{1m}\underline{Y}_1 + \underline{E}_{2m}\underline{Y}_3}{\underline{Y}_1 + \underline{Y}_2 + \underline{Y}_3} \quad (2.4)$$

После расчета напряжения  $\underline{U}_{abm}$  токи в ветвях можно найти по обобщенному закону Ома.

Простую цепь гармонического тока надо уметь рассчитывать «в ручную», используя комплексные числа и калькулятор. Расчет сложных цепей можно выполнить в *Mathcad* или исследовать, используя программу TINA-8.

**Пример №6.** В цепи рис. 2.3 действует синусоидальный источник напряжения  $e(t) = 8\sin 1000t$  ( $f = 159,15$  Гц).

Номинальные значения пассивных элементов цепи указаны на схеме. Найти ток в цепи, напряжения на всех элементах. Построить графики напряжений и тока. Построить векторную диаграмму.

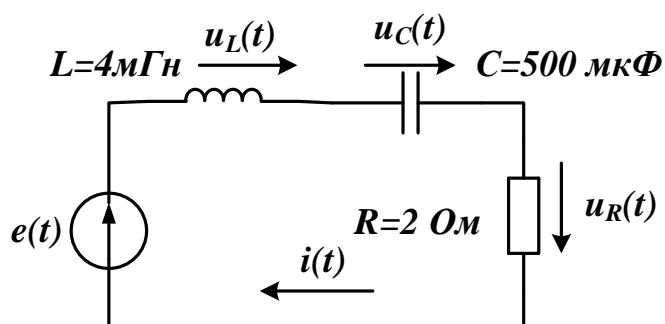


Рис. 2.3. Расчетная схема к заданию №3


Рекомендации:

1. Вычислить комплексную амплитуду источника напряжения и комплексные сопротивления всех элементов.
2. Вычислить комплексную амплитуду тока.

3. Вычислить комплексные амплитуды напряжений на элементах цепи.

4. Построить векторную диаграмму напряжений, совмещенную с векторной диаграммой токов.

5. Записать выражения для мгновенных значений напряжений и токов.

**Пример №7.** Выполнить компьютерное моделирование схемы на рис. 2.4. Выделим генератор напряжения VG1, выберем *Properties*. В окне настроек генератора надо выбрать *Signal* и щелкнуть по кнопке . В окне *Signal Editor* установим форму сигнала «синусоидальную», амплитуду 8В, частоту 159,155 Гц, фазу 0°. В меню *View-Options-Base function for AC* установить *sine*.

Ток и напряжения в цепи можно найти, не используя приборы VM1-VM4. Для этого в главном меню выбираем *Analysis – AC Analysis – Table of AC results*. Таблица результатов показана на рис. 2.6. В таблице указаны амплитуды и фазы напряжений и токов. Сравните полученные Вами результаты расчета и компьютерного моделирования. Обратите внимание, что напряжение  $V_{R1}[0,2] = 5,66/135^\circ = -u_R$  на схеме рис. 2.3 так как направлено противоположно. Поэтому по результатам моделирования комплексная амплитуда

$$\underline{U}_{Rm} = 5,66e^{j(135^\circ - 180^\circ)} = 5,66e^{-j45^\circ}$$

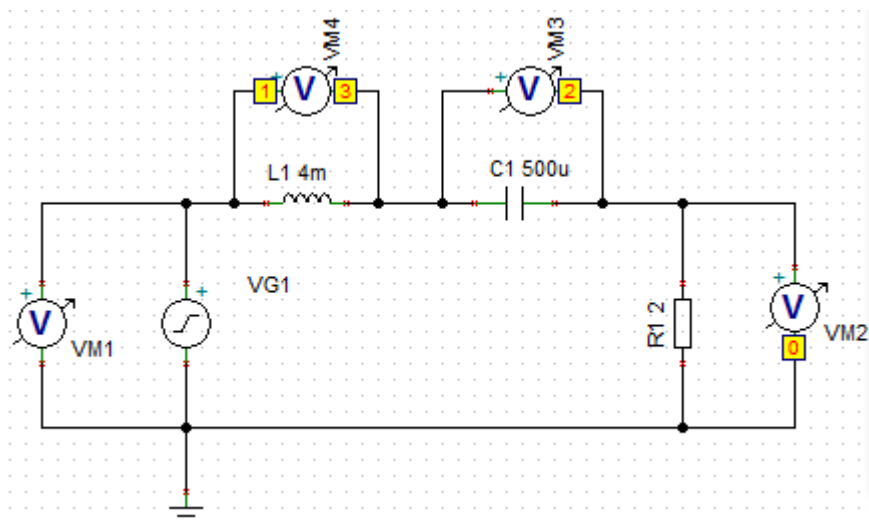


Рис. 2.4. Схема компьютерного моделирования

Подключение вольтметров к элементам цепи (рис. 2.4) позволяет получить графики всех напряжений. Для этого в главном меню выбираем *Analysis – AC Analysis – Time Function*. В окне *Time Function* (рис. 2.7) устанавливаем время наблюдения с учетом частоты генератора так, чтобы на графиках было 2-3 периода колебаний. Нажимаем *Ok* и получаем семейство графиков напряжений (рис. 2.8). В окне графиков кнопкой *Legend* вызываем таблицу цветовой маркировки каждого напряжения. Используя кнопку *T*, можно подписать все графики.

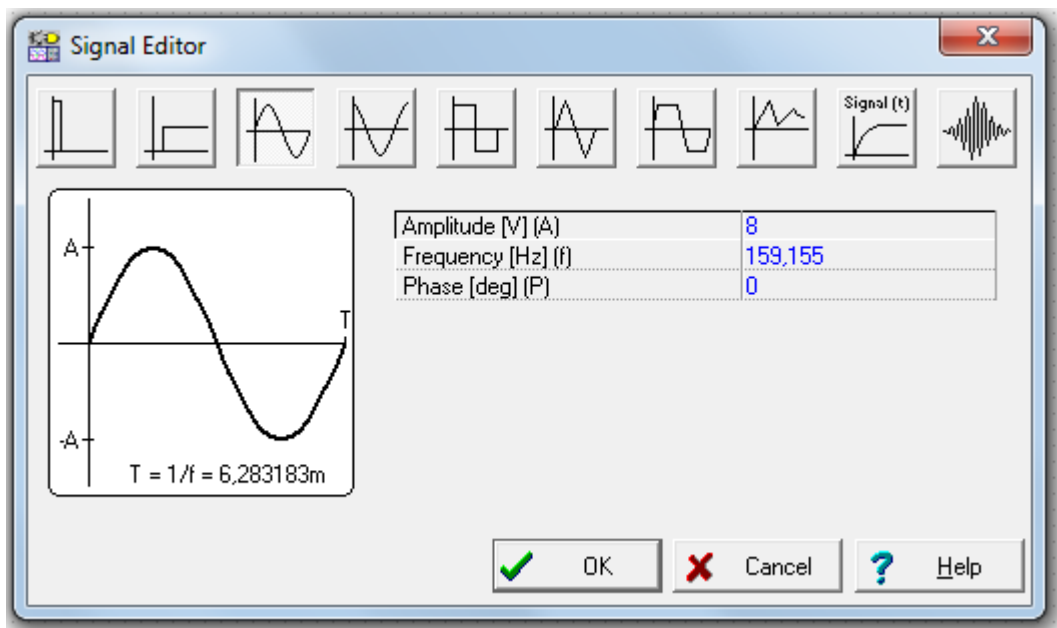


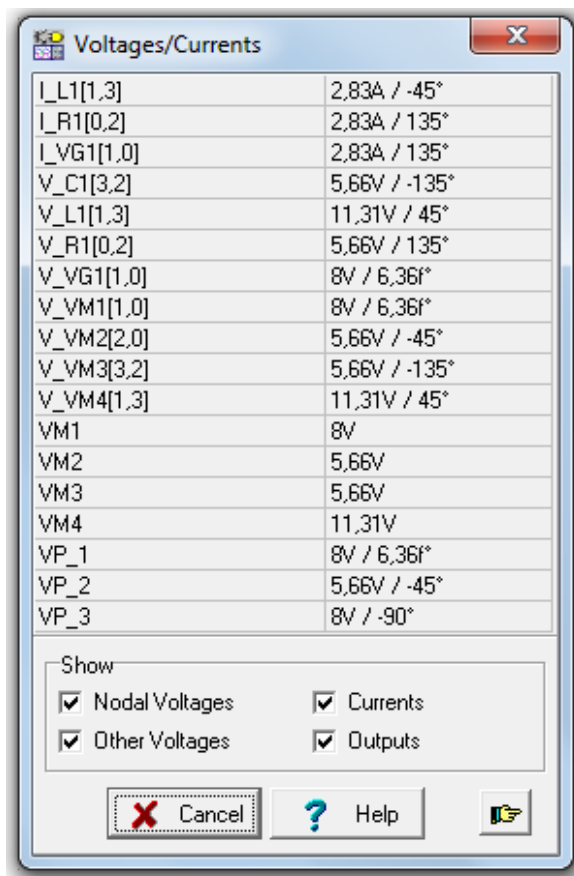
Рис. 2.5. Окно редактора сигналов генератора

Графики напряжений (рис. 2.8) показывают, что напряжение на индуктивности  $U_L(t)$  опережает напряжение на резисторе  $U_R(t)$  (и, следовательно, ток в цепи) на  $T/4$  ( $90^\circ$ ). Напряжение на емкости  $U_C(t)$  отстает от напряжения  $U_R(t)$  на  $90^\circ$ .

*Векторной диаграммой* называют совокупность векторов напряжений и токов, построенных из начала комплексной плоскости с соблюдением масштаба и взаимной ориентации.

Векторную диаграмму напряжений получим, выбрав в главном меню *Analysis – AC Analysis- Phasor Diagram* (рис. 2.9). На векторной диаграмме, выделив оси, следует установить симметричные пределы по осям. Выделив любой вектор, можно назначить цвет, стиль, нарисовать дугу до другого вектора с указанием

величины угла. Используя кнопку *Legend*, можно обозначить вектора и указать их длину.

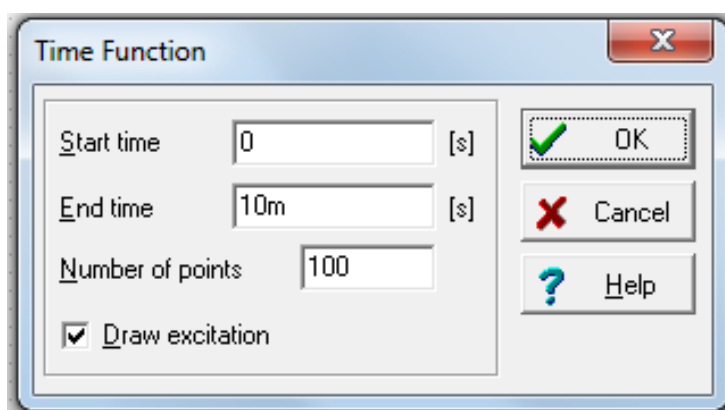


Voltages/Currents	
I_L1[1,3]	2,83A / -45°
I_R1[0,2]	2,83A / 135°
I_VG1[1,0]	2,83A / 135°
V_C1[3,2]	5,66V / -135°
V_L1[1,3]	11,31V / 45°
V_R1[0,2]	5,66V / 135°
V_VG1[1,0]	8V / 6,36f°
V_VM1[1,0]	8V / 6,36f°
V_VM2[2,0]	5,66V / -45°
V_VM3[3,2]	5,66V / -135°
V_VM4[1,3]	11,31V / 45°
VM1	8V
VM2	5,66V
VM3	5,66V
VM4	11,31V
VP_1	8V / 6,36f°
VP_2	5,66V / -45°
VP_3	8V / -90°

☒ Show  
☒ Nodal Voltages    ☒ Currents  
☒ Other Voltages    ☒ Outputs

[X] Cancel    [?] Help    [Icon]

Рис. 2.6. Таблица напряжений и токов в схеме рис. 2.4



**Time Function**


Start time: 0 [s]  
 End time: 10m [s]  
 Number of points: 100

☒ Draw excitation

[OK] [Cancel] [Help]

Рис. 2.7. Окно установки времени наблюдения

Для схемы рис. 2.4 получим амплитудно-частотные (рис. 2.10) и фазо-частотные (рис. 2.11) характеристики. Для этого в главном меню выбираем *Analysis – AC Analysis-AC Transfer Characteristic*. В окне *AC Transfer Characteristic* (рис. 2.10) устанавли-

ваем начальную частоту, конечную частоту, линейную развертку и виды диаграмм. Нажав *Ok*, получим АЧХ (рис. 2.11) и ФЧХ (рис. 2.12) напряжений в *RLC*-цепи. Кнопкой *Avto Lable*  обозначим графики.

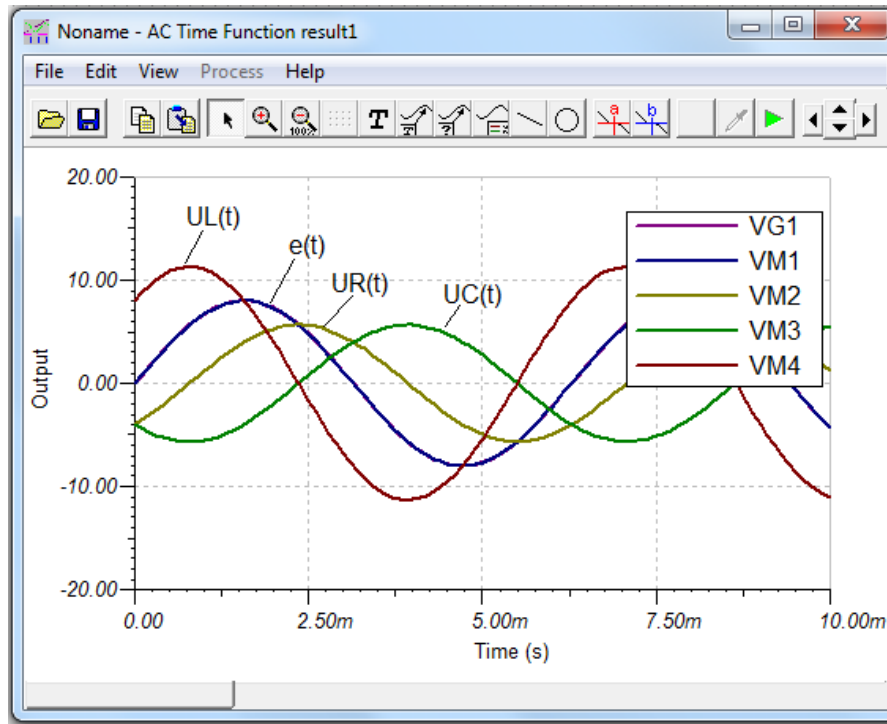


Рис. 2.8. Графики напряжений на элементах *RLC* - цепи

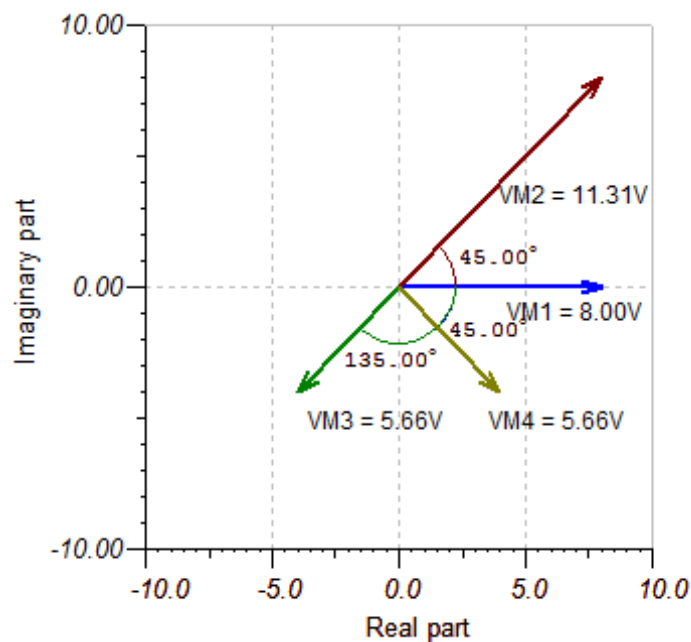


Рис. 2.9. Векторная диаграмма

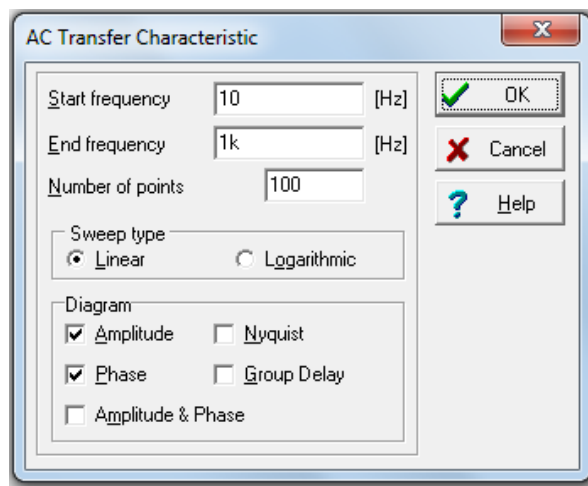


Рис. 2.10. Установка режимов моделирования АЧХ и ФЧХ

Из графиков АЧХ видно, что на частоте около 113 Гц в цепи возникает последовательный резонанс. При этом напряжение на резисторе VM4 становится максимальным и равным входному напряжению VM1. Максимум напряжения на конденсаторе VM3 опережает по частоте максимум тока, а максимум напряжения на индуктивности VM2 отстает по частоте от максимума тока.

По фазо-частотным характеристикам видно, что при резонансе разность фаз между входным напряжением и током равна нулю. Фаза напряжения на индуктивности меняется от  $+180^\circ$  до  $0^\circ$ , а фаза напряжения на емкости меняется от  $0^\circ$  до  $-180^\circ$ .

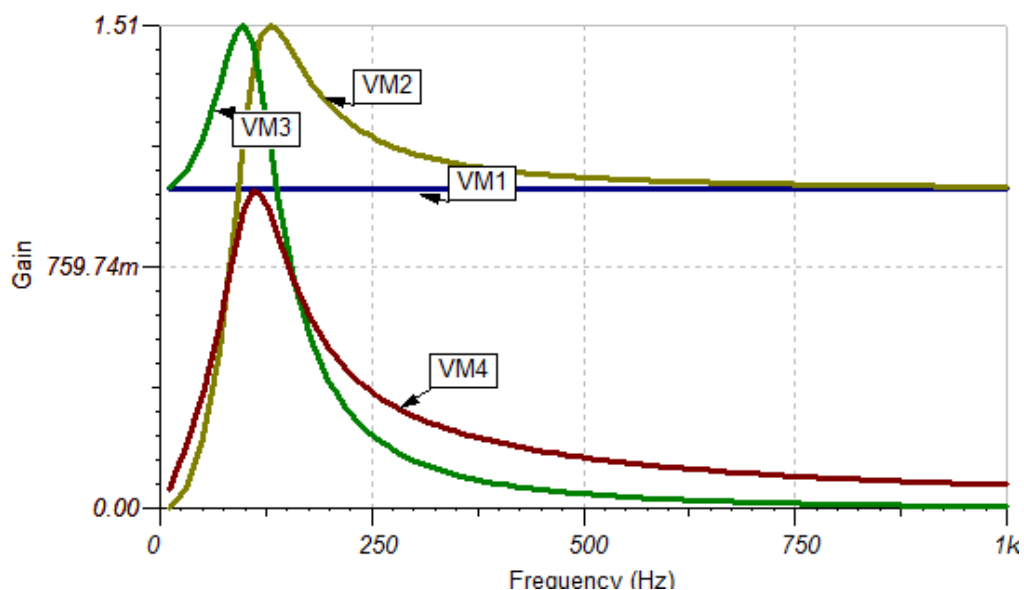


Рис. 2.11. Амплитудно-частотные характеристики  $RLC$ - цепи



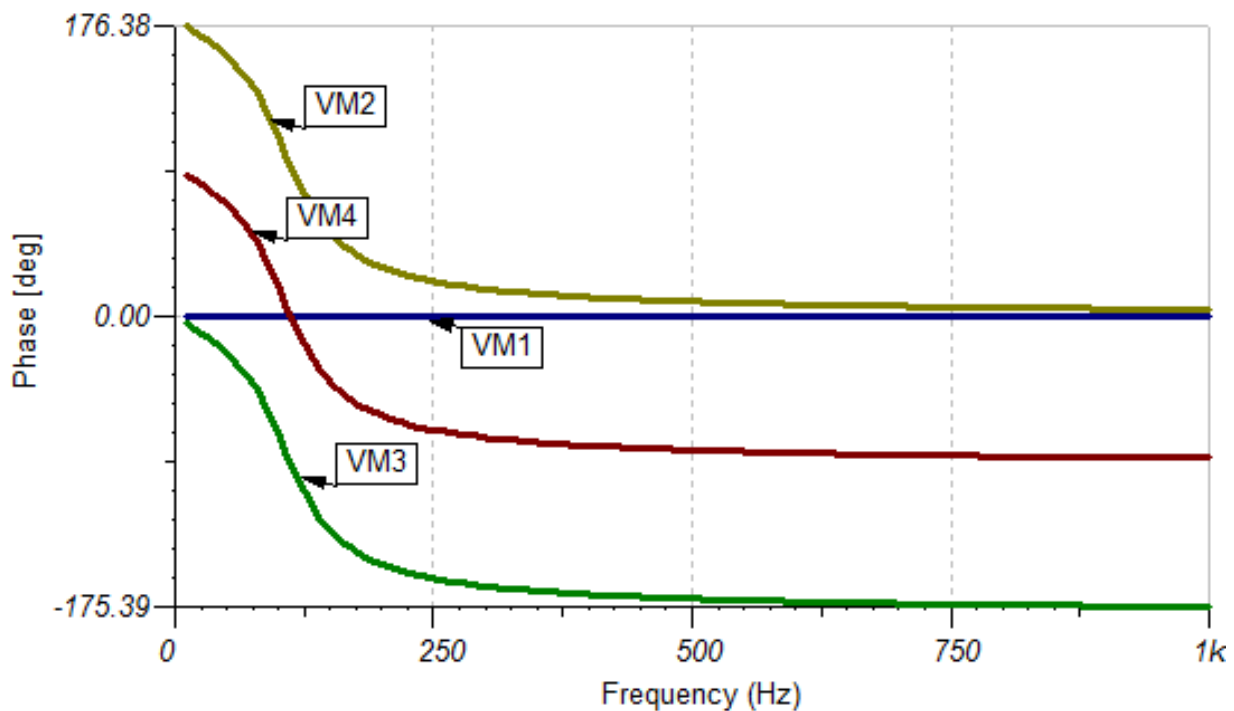


Рис. 2.12. Фазо-частотные характеристики  $RLC$ - цепи

### Пример №8.

1. Рассчитать схему рис. 2.2 методом двух узлов. Параметры схемы:  $e_1(t) = 90 \sin 6280t \text{ В}$ ,  $e_2(t) = 60 \sin(6280t - 30^\circ) \text{ В}$ ,  $L_1 = 1 \text{ мГн}$ ,  $L_2 = 3 \text{ мГн}$ ,  $C = 5 \text{ мкФ}$ ,  $R_1 = 20 \text{ Ом}$ ,  $R_2 = 25 \text{ Ом}$ . Определить токи в ветвях, напряжения на элементах. Рассчитать комплексную мощность в цепи ваттметра. Построить векторную диаграмму напряжений.

2. Собрать модель схемы (рис. 2.13). Провести моделирование и получить таблицу результатов. Подключить ко всем элементам схемы рис. 2.13 вольтметры. Входные клеммы вольтметров со знаком + должны быть ориентированы так, чтобы токи по схеме рис. 2.2 входили в клеммы +.

Сравнить результаты расчета и результаты моделирования.

3. Выбрать в главном меню *Analysis – AC Analysis- Phasor Diagram* и построить векторную диаграмму (рис. 2.14). На фазовой диаграмме обозначить вектора напряжений и комплексной мощности. Проекция вектора комплексной мощности на ось +1 даст активную мощность  $P = 261,16 \text{ Вт}$ . Проекция вектора ком-

плексной мощности на ось  $+j$  даст значение реактивной мощности  $Q = -133,93 \text{ VAR}$ .

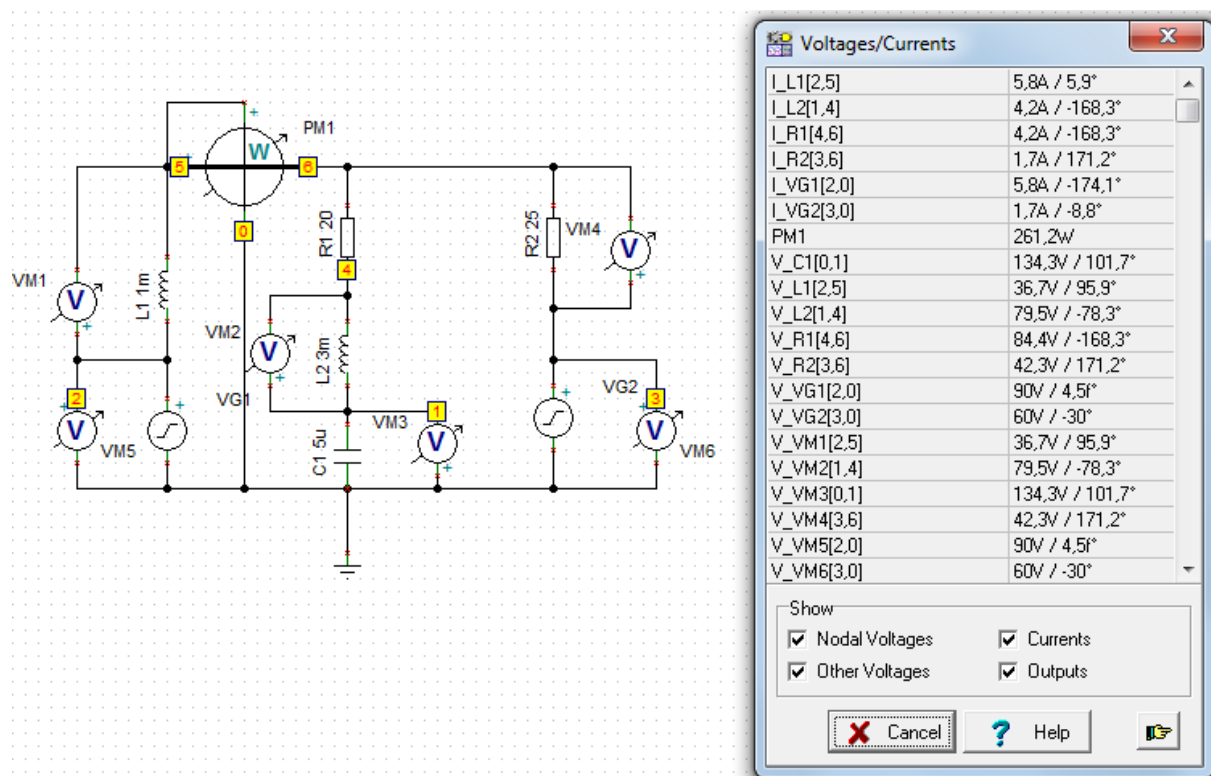


Рис. 2.13. Компьютерная модель схемы с таблицей результатов

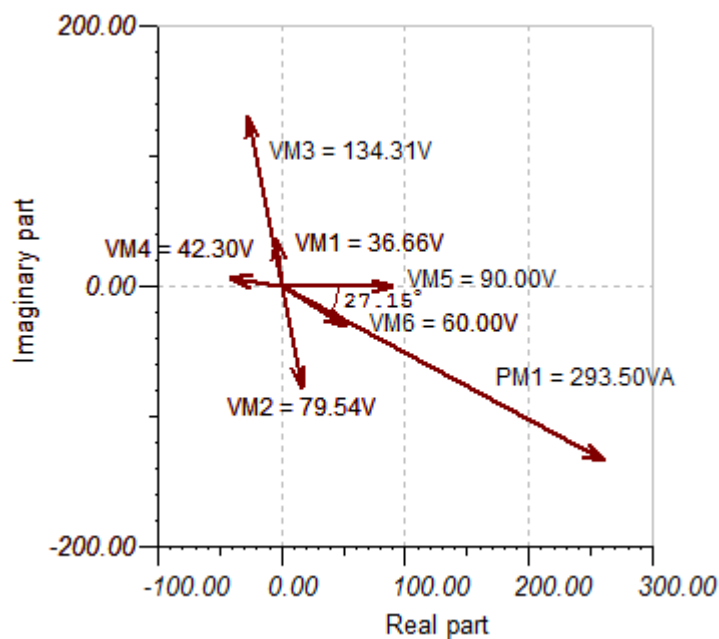


Рис. 2.14. Векторная диаграмма напряжений и мощности

**Пример №9.** Рассчитать амплитудный спектр негармонической последовательности прямоугольных импульсов рис. 2.15.

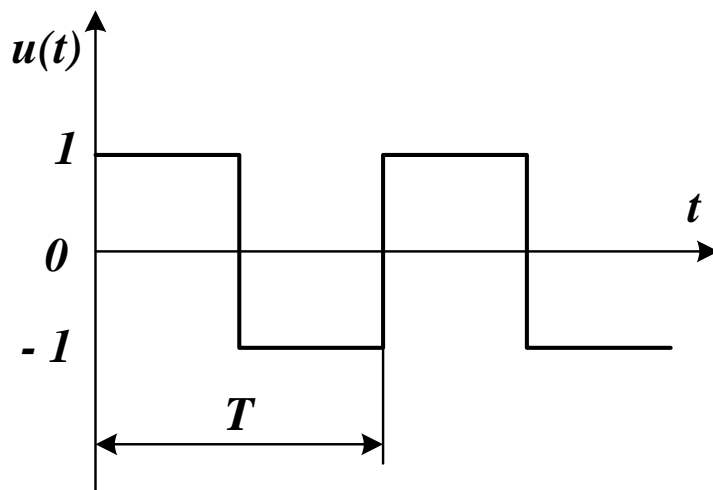


Рис. 2.15. Форма последовательности импульсов

Периодический негармонический сигнал  $u(t)$  можно представить в виде ряда Фурье:

$$u(t) = \frac{a_0}{2} + \sum_{n=1}^{\infty} (a_n \cos n\Omega t + b_n \sin n\Omega t) = \frac{a_0}{2} + \sum_{n=1}^{\infty} A_n \sin(n\Omega t + \Psi_n) \quad (2.15)$$

где: угловая частота первой гармоники  $\Omega = \frac{2\pi}{T}$ , постоянная

составляющая  $\frac{a_0}{2} = \frac{1}{T} \int_{t_0}^{t_0+T} u(t) dt$ , амплитуды гармоник

косинусных и синусных составляющих ряда Фурье

$a_n = \frac{2}{T} \int_{t_0}^{t_0+T} u(t) \cos n\Omega t dt$ ,  $b_n = \frac{2}{T} \int_{t_0}^{t_0+T} u(t) \sin n\Omega t dt$ , амплитуды  $n$ -

ой гармоники ряда Фурье  $A_n = \sqrt{a_n^2 + b_n^2}$ , фаза  $n$ -ой гармоники

ряда Фурье  $\Psi_n = \arctg \frac{b_n}{a_n}$ .

Амплитудным спектром называют совокупность амплитуд гармоник  $A_n$ , отнесенных к их частотам (расположенным на частотной оси).

Фазовым спектром называют совокупность фаз гармоник  $\Psi_n$ , отнесенных к их частотам.

Для заданной функции рис. 2.15 примите  $T=10$  мС и проведите расчеты амплитуд гармоник спектра  $A_1 - A_5$ . Обратите внимание, что эта функция имеет симметрию относительно нуля. Поэтому амплитудный спектр будет содержать только синусные составляющие с нечетными номерами.

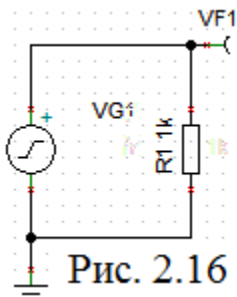


Рис. 2.16

**Пример №10.** Соберите схему рис. 2.16. В генераторе установите прямоугольные импульсы с амплитудой 1В и частотой 100 Гц. В главном меню выберите *Analysis – Fourier Analysis – Fourier Spectrum*. Сделайте установки (рис. 2.17). Амплитудный спектр показан на рис. 2.18.

Гармоники спектра имеют частоты 100 Гц, 300 Гц, 500 Гц, 700 Гц, 900 Гц ... и амплитуды 1,27 В, 0,424 В, 0,255 В, 0,18 В, 0,14 В. Сравните результаты расчета и моделирования.

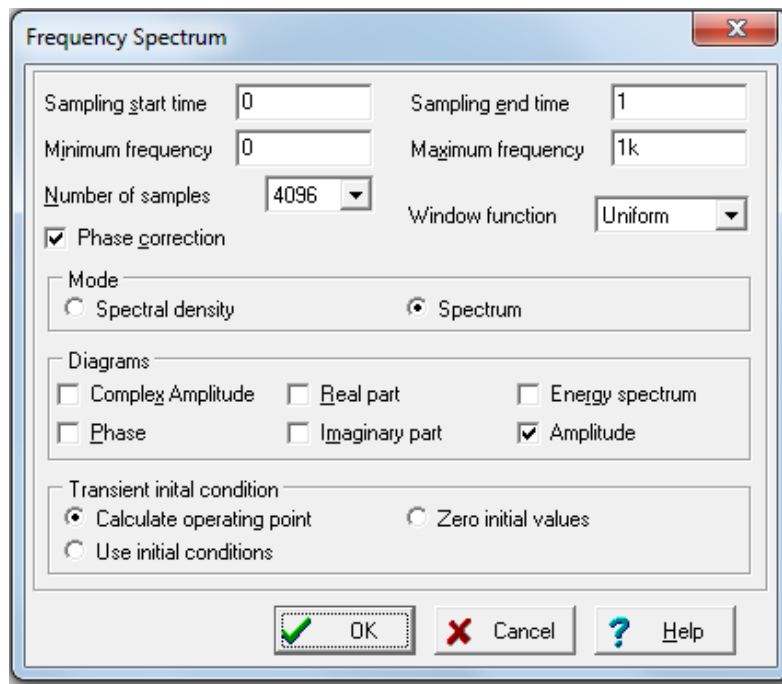


Рис. 2.17. Установки для моделирования амплитудного спектра

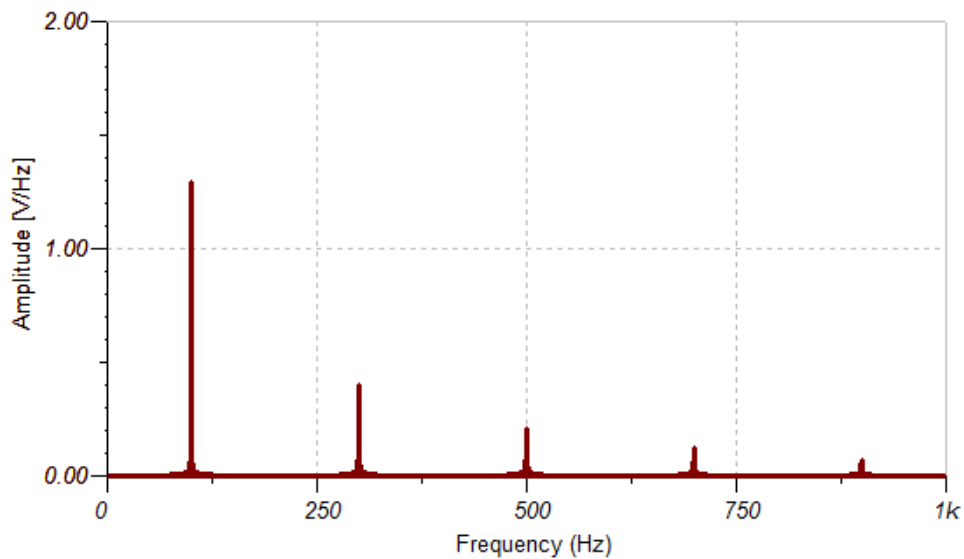


Рис. 2.18. Амплитудный спектр прямоугольных импульсов

## 2.4. Вопросы для самопроверки и подготовки к лабораторной работе

1. Какие пассивные элементы применяются в линейных цепях переменного тока? Для мгновенных значений напряжений и токов в схеме рис. 2.1. записать уравнения по первому и второму законам Кирхгофа.

2. Записать для цепи рис. 2.1. в символической форме уравнения для расчета токов по методу контурных токов.

3. Записать для цепи рис. 2.1. в символической форме уравнения по методу двух узлов.

4. Для цепи рис. 2.4 рассчитать входное сопротивление, если  $R = 2 \text{ Ом}$ ,  $\omega = 10^3 \text{ 1/с}$ ,  $L = 3 \text{ мГн}$ ,  $C = 200 \text{ мкФ}$ . Построить векторную диаграмму напряжений, если ток в цепи  $\underline{I}_m = 2 \cdot e^{-j45^\circ} \text{ А}$ .

5. Что называют комплексной частотной характеристикой цепи?

6. Что называют амплитудно-частотной и фазо-частотной характеристиками цепи?

7. Составить выражения для АЧХ и ФЧХ тока в  $RL$  – цепи и построить графики для значений, заданных в цепи рис. 2.4.

8. Составить уравнения для АЧХ и ФЧХ тока в  $RC$  – цепи и построить графики для значений, заданных в цепи рис. 2.4.

9. Выполнить пункты, обязательные для всех лабораторных работ (см. лабораторную работу №1).

## 2.5. Лабораторная работа № 2

### Исследование цепей переменного тока

**Цель работы** - исследование амплитудных и фазовых соотношений в цепях переменного тока, частотных характеристик и резонансных явлений, построение векторных диаграмм токов и напряжений.

### Лабораторное задание

#### А. Подготовка виртуальной модели

1. Собрать схему для компьютерного моделирования рис. 2.19. Номинальные значения индуктивностей и емкостей в моделях цепей составляют:  $L_1=L_3=10\text{мГн}$ ,  $L_2=L_4=6,8\text{мГн}$ ,  $C_1=C_3=47\text{нФ}$ ,  $C_2=C_4=47\text{нФ}$ ,  $R_1=100\text{ Ом}$ .

Приборами в схеме являются генератор напряжения осциллограф, два вольтметра.

В генераторе напряжения VG1 установить синусоидальную форму сигнала, частоту 5 кГц, амплитуду 1 В, фазу 0о.

На вкладке *Meters* выберите осциллограф с тремя терминалами и подключите входы в соответствии с рис. 2.19. На вкладке главного меню *T&M* выберите *Oscilloscope*.

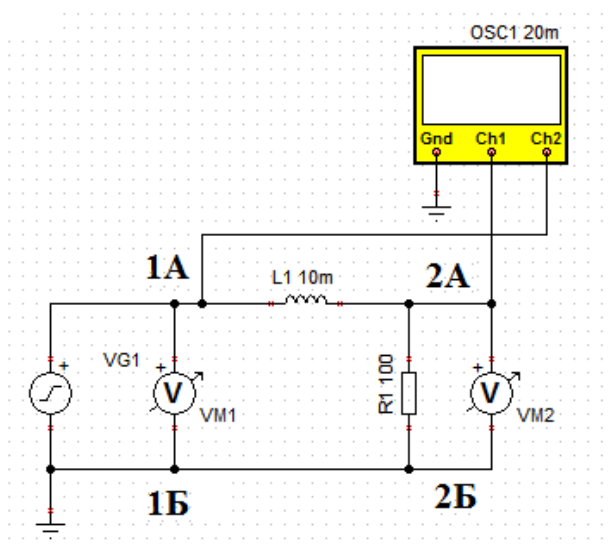



Рис. 2.19. Схема компьютерного моделирования

На лицевой панели осциллографа (рис. 2.20) установите горизонтальную развертку 50 мкс, в канале *Osc\_Ch1* вертикальную чувствительность 1 В/дел., в канале *Osc\_Ch2* вертикальную чувствительность 1 В/дел., режим синхронизации *Trigger* установите *Single*. Для того, чтобы отобразить на экране осциллографа сигналы из схемы, надо в окне *Channel* выбрать сигнал, в окне *Vertical* установить нужную чувствительность и в окне *Coupling* установить *DC* или *AC* (в зависимости от формы сигнала) и нажать ON. Если для выбранного сигнала установить  $\perp$ , сигнал не будет отображаться на осциллографе. Кнопка *Cursor* позволяет включить один или два курсора и проводить измерения значений напряжения на осциллограммах. На вкладке *Data* кнопкой  *Export curves* можно изобразить графики напряжений.

2. Двухполюсники, которые должны быть исследованы в работе, показаны на рис. 2.21. При исследованиях эти цепи включают между точками 1А и 2А схемы рис 2.19. Значения индуктивностей  $L_a$ ,  $L_b$  и емкостей  $C_a$ ,  $C_b$  выбрать по номеру бригады из таблицы 2.1.

Для исследования могут быть заданы и другие варианты цепей.

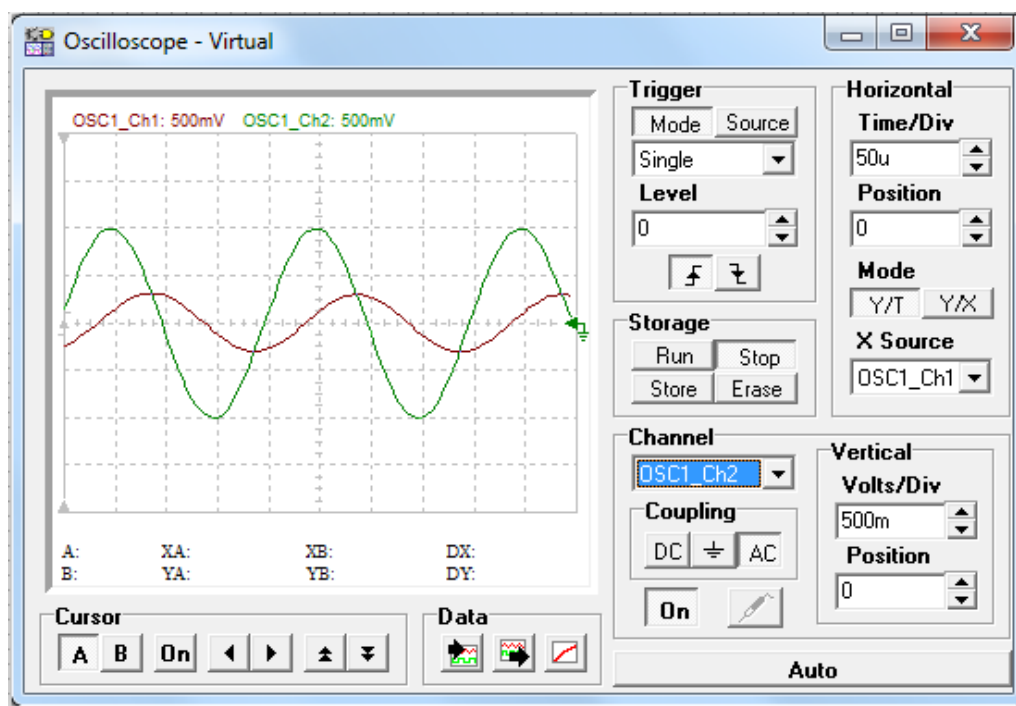


Рис. 2.20. Лицевая панель виртуального осциллографа

Таблица 2.1

№№ бригады	1	2	3	4	5	6	7	8	9	10	11	12
$L_a$	$L_1$	$L_1$	$L_2$	$L_2$	$L_2$	$2L_1$	$2L_1$	$L_2$	$2L_1$	$2L_2$	$L_1$	$L_1$
$L_b$	$L_1$	$L_1$	$L_1$	$L_1$	$L_2$	$L_2$	$L_2$	$L_2$	$L_2$	$2L_1$	$2L_2$	$L_2$
$C_a$	$C_1$	$C_2$	$C_1$	$C_2$	$0,5C_2$	$0,5C_1$	$C_2$	$0,5C_1$	$C_1$	$C_1$	$2C_1$	$0,5C_1$
$C_b$	$C_1$	$C_2$	$C_1$	$C_2$	$C_1$	$C_1$	$C_2$	$C_2$	$C_1$	$C_2$	$C_2$	$0,5C_2$

Б. Исследование  $RL$  и  $RC$  цепей

3. Подключить между точками 1А и 2А индуктивность  $L_a$  и рассчитать частоту сигнала генератора  $f_1$ , при которой реактивное сопротивление индуктивности равно сопротивлению  $R_1$ :  $X_L = 2\pi f_1 L_a = R_1$ .

4. Установить напряжение генератора VG1 равным 1В, а частоту равной  $0,1 f_1$ .

Наблюдать на осциллографе напряжение на резисторе  $U_2(t)$ , пропорциональное току, и входное напряжение  $U_1(t)$  (рис. 2.22). Обратить внимание на то, что входное напряжение в  $RL$ -цепи опережает ток.

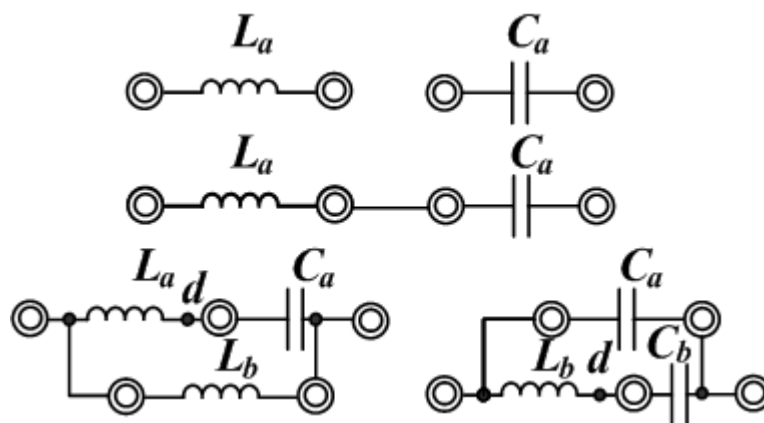


Рис. 2.21. Схемы двухполюсников

Включить маркер А и установить его в нуле графика  $U_1(t)$  с положительной производной. Маркер В установить в нуле графика  $U_2(t)$  с положительной производной. Значение  $DX = XB - XA = T_2 - T_1$  определяет временной сдвиг осциллограммы сигнального напряжения относительно осциллограммы напряжения  $U_2(t)$ , пропорционального току и совпадающего с ним по фазе. Разность фаз рассчитывается по формуле  $\varphi = 2\pi f(T_2 - T_1)$ .



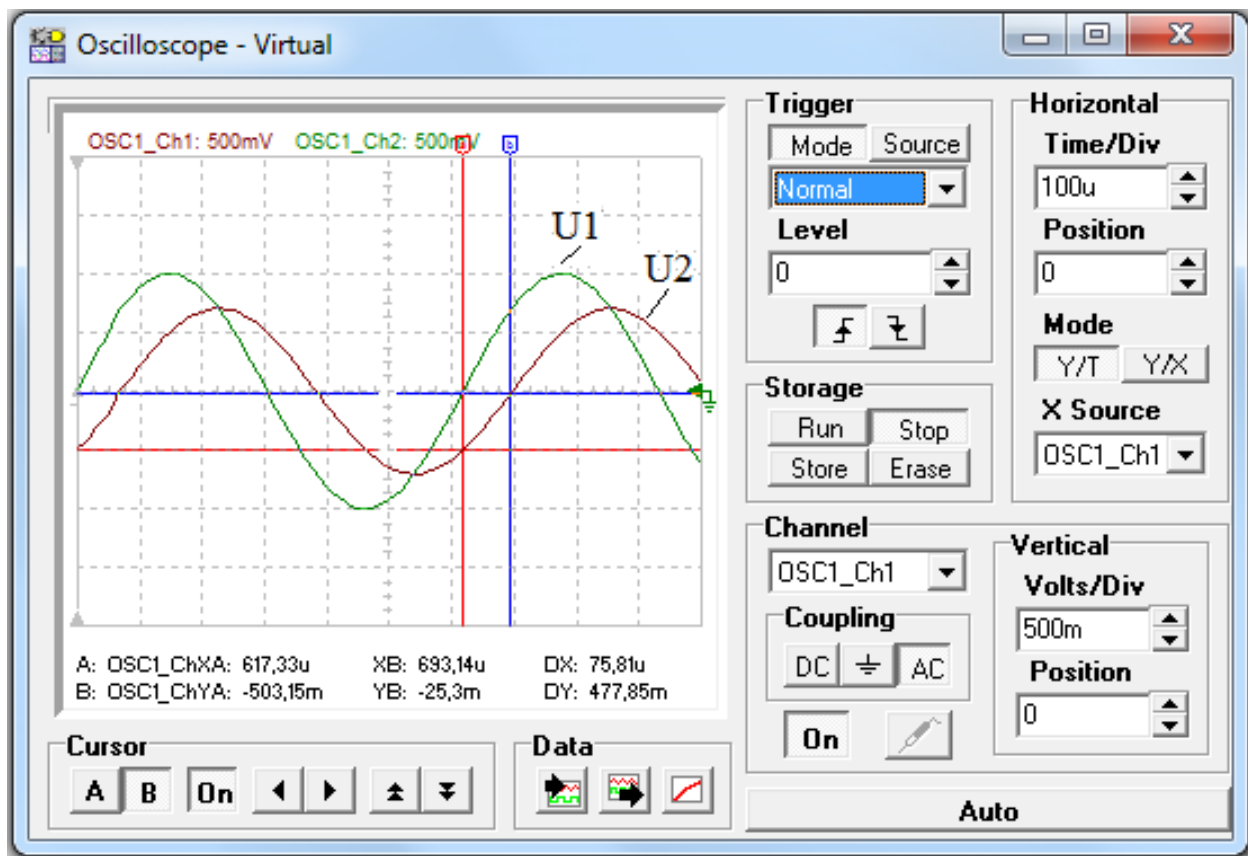


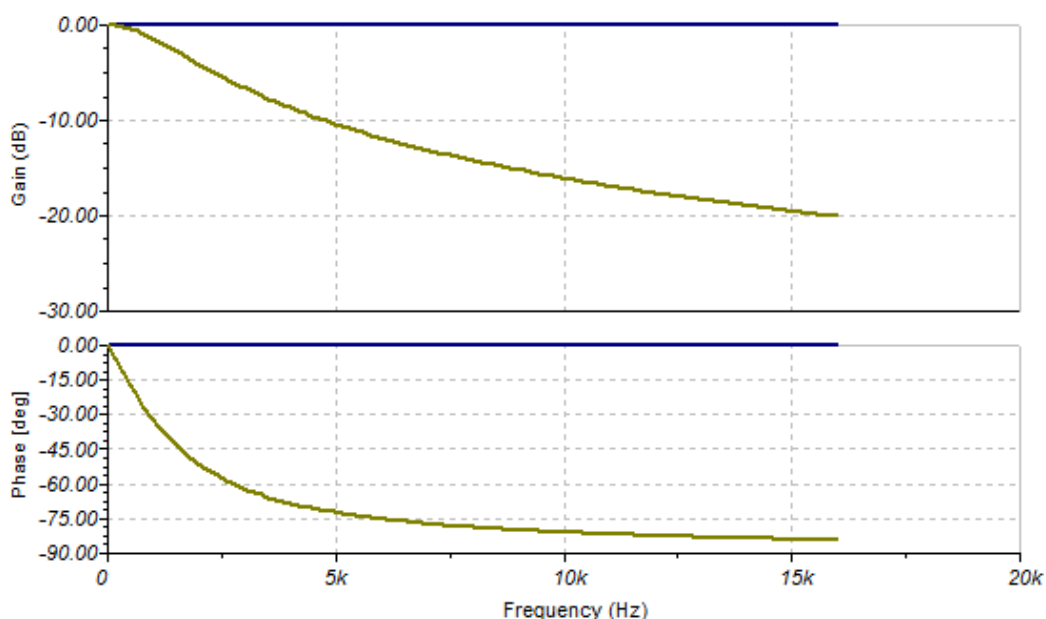
Рис. 2.22. Измерение разности фаз по осциллографу

5. Повторить исследования по п.4 для частот  $f_1$  и  $10f_1$ .

Используя режим *Analysis-AC Analysis-Table of AC results*, записать значения напряжения и фазы для  $U_1(t)$ ,  $U_2(t)$  и  $I(t)$ .

6. В режиме *Analysis-AC Analysis-Time function* установить *Start time=0*, *End time = 1m* и получить графики напряжений  $U_1(t)$ ,  $U_2(t)$ . Сравнить их с осциллограммами.

7. В режиме *Analysis-AC Analysis- AC Transfer characteristic* в диапазоне частот  $0,1f_1 - 10f_1$  с линейной разверткой получить графики АЧХ и ФЧХ (рис. 2.23). Обратите внимание на то, что ФЧХ показывает разность фаз между выходным напряжением, пропорциональным току, и входным напряжением  $\psi(f) = \psi_{U_2}(f) - \psi_{U_1}(f)$ . Так как в  $RL$ -цепи ток отстает от входного напряжения, график ФЧХ находится в отрицательной области и изменяется от нуля до  $-90^\circ$ .

Рис. 2.23. АЧХ и ФЧХ для  $RL$ -цепи

8. Включить между точками 1А и 2А емкость  $C_a$  и рассчитать частоту сигнала генератора напряжения  $f_2$ , при которой реактивное сопротивление емкости равно сопротивлению  $R_1=100$  Ом:

$$X_c = \frac{1}{2\pi f_2 C_a} = R_1.$$

Повторить исследования по п.п. 4-7.

### В. Исследование $RLC$ -цепи

9. Включить между точками 1А и 2А последовательно индуктивность  $L_a$  и емкость  $C_a$ . Исследовать амплитудно-частотные и фазо-частотные характеристики  $RLC$ - цепи по методике из примера №7. Определить частоту последовательного резонанса в цепи.

10. Сделать резистор  $R_1$  управляемым параметром и задать ему четыре значения от 100 Ом до 1600 Ом с шагом 500 Ом. Получить графики АЧФ и ФЧХ (рис. 2.24) для разных потерь в  $RLC$ -цепи. Объяснить влияние сопротивления потерь на форму резонансных кривых.

### Г. Исследование трехэлементного двухполюсника

11. Подключить к точкам 1А и 2А одну из схем трехэлементных реактивных двухполюсников. Бригады с

нечетным номером исследуют схему с двумя индуктивностями. Бригады с четным номером исследуют схему с двумя емкостями. Установить амплитуду сигнала генератора напряжения 1В. Исследовать АЧХ и ФЧХ двухполюсника в диапазоне частот от 2 до 20 кГц. Графики внести в протокол.

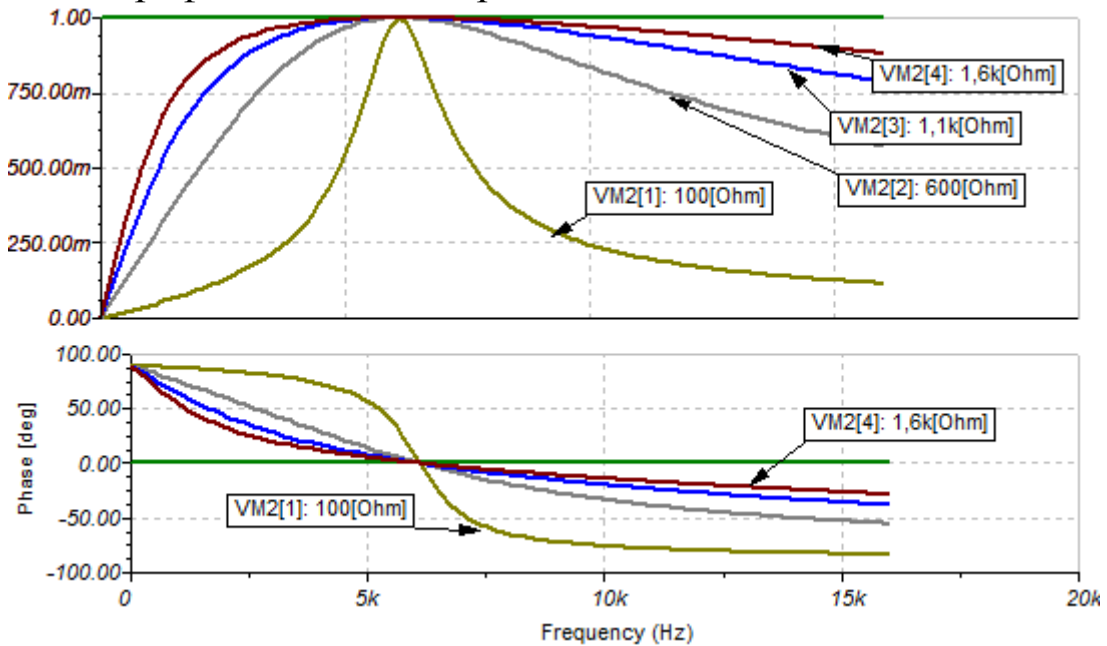


Рис. 2.24. Графики АЧХ и ФЧХ при разных потерях в  $RLC$ -цепи

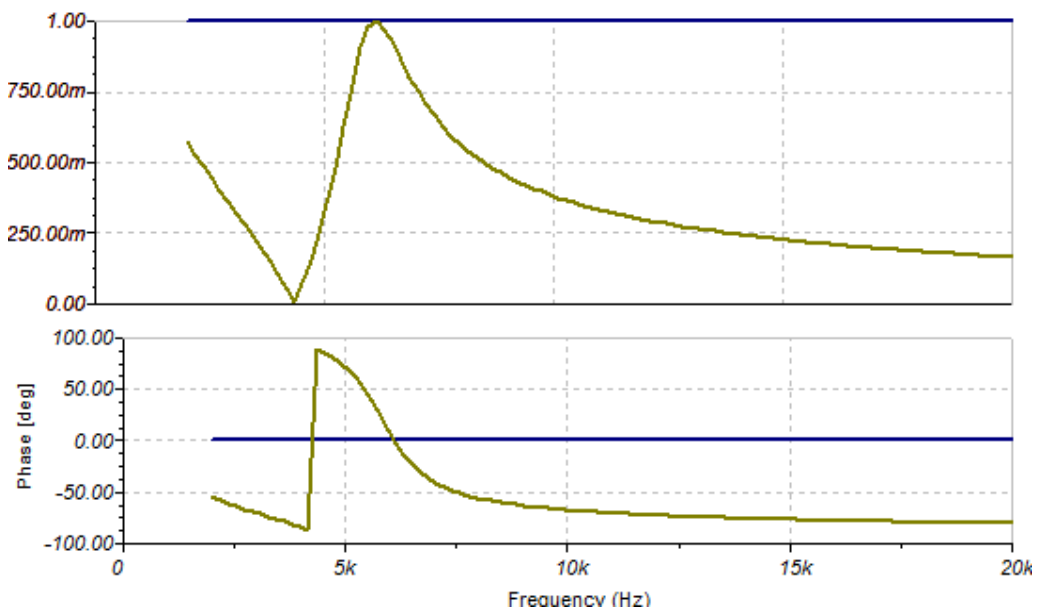


Рис. 2.25. АЧХ и ФЧХ для двухполюсника с параметрами:  
 $L_a=10\text{мГн}$ ,  $L_b=10\text{мГн}$ ,  $C_a=68\text{нФ}$

12. Используя режим *Analysis-AC Analysis-Calculate nodal voltages*, в диапазоне частот от 2кГц до 20 кГц измерить напряжения и фазы в узлах 1А и 2А. Результаты записать в таблицу 2.2.

Таблица 2.2

N	$f$ , кГц	$U_1$	$\varphi_1$	$U_2$	$\varphi_2$	$I$	$\underline{Z}_{ВХ}$	$ \underline{Z}_{ВХ} $

13. Для схемы с трехэлементным двухполюсником на частоте,  $f = N_B + 2$  кГц ( $N_B$ - номер бригады), измерить напряжения и фазы в точках схемы 1А, 2А, d. Результаты записать в таблицу 2.3.

Таблица 2.3

$U_{1A}$	$\varphi_{1A}$	$U_{2A}$	$\varphi_{2A}$	$U_d$	$\varphi_d$

14. Подключить вольтметры к элементам схемы (рис. 2.26). Выбрав в главном меню *Analysis-AC Analysis-Phasor Diagram*, получить векторную диаграмму (рис. 2.26) для частоты сигнала из п.13.

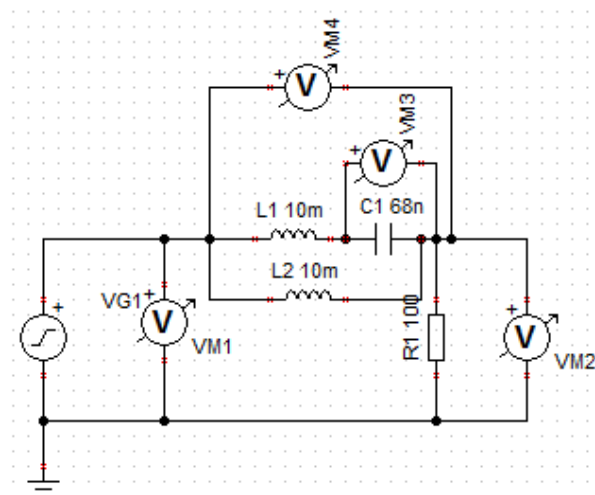


Рис. 2.26. Схема измерения для снятия фазовой диаграммы

Д. Преобразование формы сигнала в частотно-зависимых цепях

15. Переключить генератор в режим прямоугольных им-

пульсов. Для нечетных бригад собрать  $RL$ -цепь из п.1, для четных бригад собрать  $RC$ -цепь из п.8. Наблюдать на осциллографе изменение формы прямоугольных импульсов на выходе цепи. Записать осциллограммы.

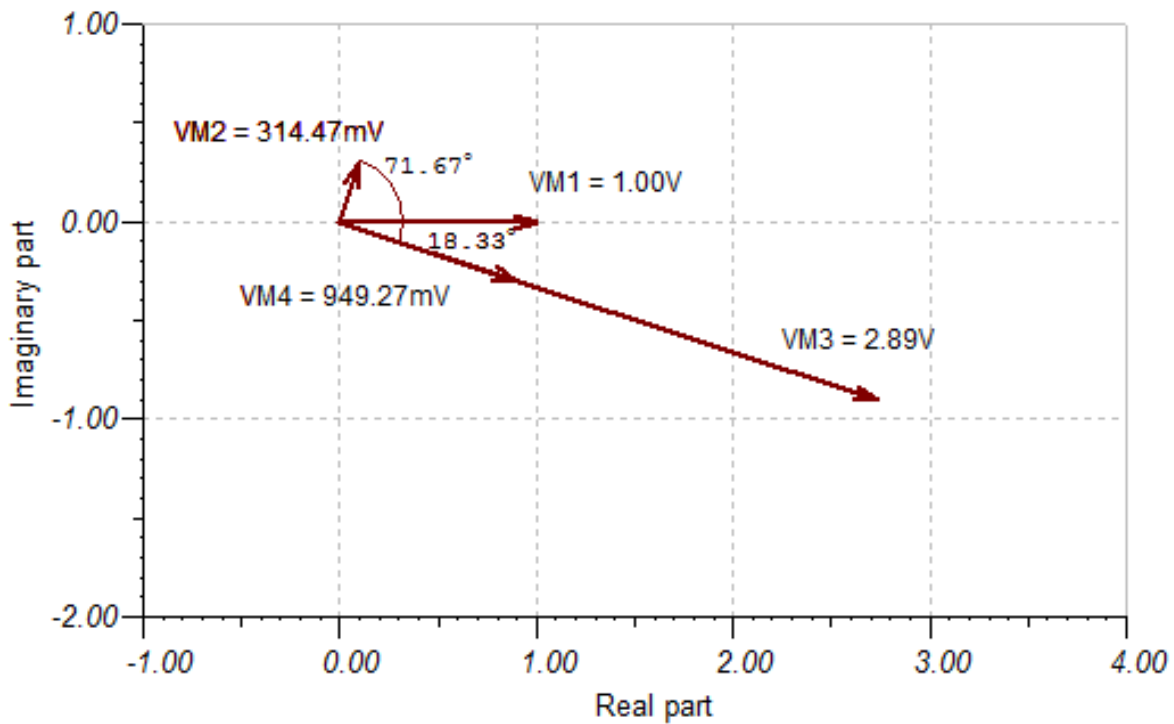


Рис. 2.27. Векторная диаграмма двухполюсника

16. Представить результаты измерений преподавателю и после его проверки и одобрения выключить приборы и разобрать схему.

### Домашнее расчетное задание

1. По экспериментальным данным построить амплитудно-частотные и фазо-частотные характеристики исследованных цепей, векторные диаграммы токов и напряжений.

2. По экспериментальным данным п.8 и п. 9 для одной из частот в середине исследованного диапазона рассчитать сопротивление потерь катушки индуктивности  $R_L$  и проводимость потерь конденсатора  $G_c$ . Для этого надо рассчитать комплексное входное сопротивление реактивного двухполюсника, включенного между точками 1А и 2А, по формуле:

$$\underline{Z}_{\text{ex}} = \frac{\underline{U}_1 - \underline{U}_2}{\underline{I}} = \frac{\underline{U}_1 - \underline{U}_2}{\frac{\underline{U}_2}{R_1}} = R_1 \left( \frac{\underline{U}_1}{\underline{U}_2} \cdot e^{j\varphi} - 1 \right)$$

и найти активные составляющие  $R_L = R_{\text{ex}}$  или  $G_C = 1/R_{\text{ex}}$ . Найти добротность катушки  $Q_L = \frac{X_L}{R_L}$  и конденсатора  $Q_C = X_C \cdot G_C$ .

3. Для цепей  $RL$ ,  $RC$  и  $RLC$  с учетом потерь в катушке и конденсаторе рассчитать по формулам значения АЧХ и ФЧХ для двух частот внутри исследованного диапазона и сравнить с результатами эксперимента.

4. Для  $RLC$  цепи рассчитать и построить векторную диаграмму тока и напряжений для значений фазового угла  $\varphi = +45^\circ$  и  $\varphi = -45^\circ$ .

5. По данным п.11 для каждой частоты рассчитать комплексное входное сопротивление реактивного двухполюсника, включенного между точками 1А и 2А, и модуль входного сопротивления. Результаты записать в таблицу 2.2. Построить частотную характеристику модуля входного сопротивления трехэлементного реактивного двухполюсника. Объяснить вид графиков.

6. По данным таблицы 2.3 построить векторную диаграмму токов и напряжений в цепи. Используя диаграмму, рассчитать значения токов в ветвях трехэлементного двухполюсника. Сравнить векторную диаграмму с полученной моделированием.

7. По данным п.15 рабочего задания объяснить причины изменения формы сигнала в цепях  $RL$  и  $RC$ .

8. Сформулировать и записать выводы по результатам экспериментов и расчетов.

### **Глава 3. ЭЛЕКТРИЧЕСКИЕ ЦЕПИ С МАГНИТНО-СВЯЗАННЫМИ КАТУШКАМИ**

#### **3.1. Краткие теоретические сведения и расчет неразветвленных цепей**

Катушки называют магнитно-связанными, если они имеют общее магнитное поле и взаимно влияют друг на друга. При изменении тока в одной катушке за счет изменения общего магнит-

ного поля во второй катушке наводится напряжение взаимной индукции.

На рис. 3.1 катушки индуктивности  $L_1$  и  $L_2$  магнитно-связанные. На схеме это обозначается стрелкой с указанием взаимной индуктивности катушек  $M_{21}$ . Взаимная индуктивность  $M_{21}$  является коэффициентом пропорциональности между напряжением взаимной индукции, наводимым во второй катушке, и производной тока в первой катушке:  $u_{2M}(t) = M_{21} \frac{di_1}{dt}$ . Знак наводимого

напряжения зависит от направления намотки катушек и направления токов в них. Если магнитные поля, создаваемые токами в катушках, складываются, такое включение катушек называют *согласным* и напряжения самоиндукции и взаимной индукции складываются. Если магнитные поля катушек вычитаются, включение катушек называют *встречным* и напряжения самоиндукции и взаимной индукции вычитаются. В электрических схемах у магнитно-связанных катушек обозначают «Одноименные зажимы», маркируя их звездочками или кружочками. Если токи в катушках одинаково направлены относительно одноименных зажимов, включение является *согласным*. Если токи в катушках направлены неодинаково относительно одноименных зажимов, включение является *встречным*. В линейных электрических цепях по принципу взаимности  $M_{21} = M_{12} = M$ . Коэффициент  $M$  называют взаимной индуктивностью катушек.

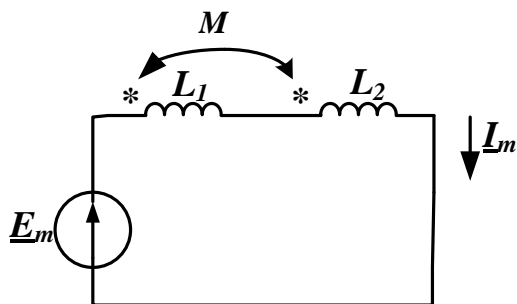


Рис. 3.1а. Согласное включение катушек

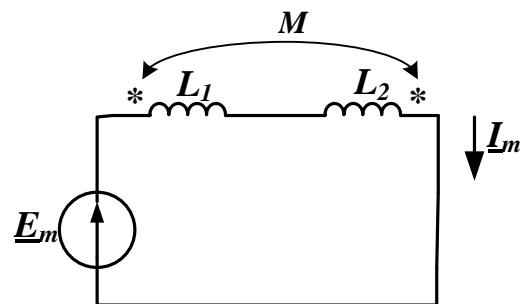


Рис. 3.1б. Встречное включение катушек

В схеме рис. 3.1а катушки включены согласно. Составим уравнение по второму закону Кирхгофа:

$$e(t) = u_{L_1} + u_{L_2} = L_1 \frac{di}{dt} + M \frac{di}{dt} + L_2 \frac{di}{dt} + M \frac{di}{dt} = L_1 \frac{di}{dt} + L_2 \frac{di}{dt} + 2M \frac{di}{dt} \quad (3.1)$$

В символической форме получим уравнение:

$$\underline{E}_m = j\omega L_1 \underline{I}_m + j\omega L_2 \underline{I}_m + 2jM \underline{I}_m = j\omega L_{\text{экв}} \underline{I}_m, \quad (3.2)$$

где:  $L_{\text{экв}} = L_1 + L_2 + 2M$ .

Для встречного включения (Рис. 3.1б):

$$\underline{E}_m = j\omega L_1 \underline{I}_m + j\omega L_2 \underline{I}_m - 2jM \underline{I}_m = j\omega L_{\text{экв}} \underline{I}_m \quad (3.3)$$

и  $L_{\text{экв}} = L_1 + L_2 - 2M$ .

**Пример №11.** В схемах рис. 3.1а и рис. 3.1б  $L_1=2$  мГн,  $L_2=4$  мГн,  $M=2$  мГн. Источник напряжения формирует сигнал  $e(t)=1 \cdot \sin 1000t$  В. Рассчитать по формулам (3.2) и (3.3) комплексную амплитуду тока при согласном и встречном включении катушек.

### Пример №12.

1. Собрать модель схемы с согласным включением катушек (рис. 3.2). В модели использованы связанные катушки (*Coupled Inductors*) из группы *Transformers*.

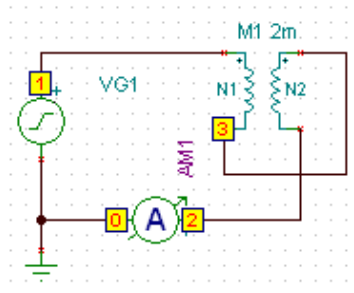


Рис. 3.2. Модель с согласным включением катушек

2. Установить параметры связанных катушек. Первая катушка с числом витков  $N_1$  имеет индуктивность  $L_{1's}=2$  мГн. Вторая катушка с числом витков  $N_2$  имеет индуктивность  $L_{2's}=4$  мГн. Взаимная индуктивность  $M_1=1$  мГн (рис. 3.3).

3. В генераторе напряжения установить амплитуду сигнала 1В, частоту 159,155 Гц, что соответствует угловой частоте  $\omega = 1000 \frac{1}{c}$  (Рис. 3.4). Включить режим *Analysis-AC Analysis – Table of AC results*. Результаты показаны на рис. 3.5.



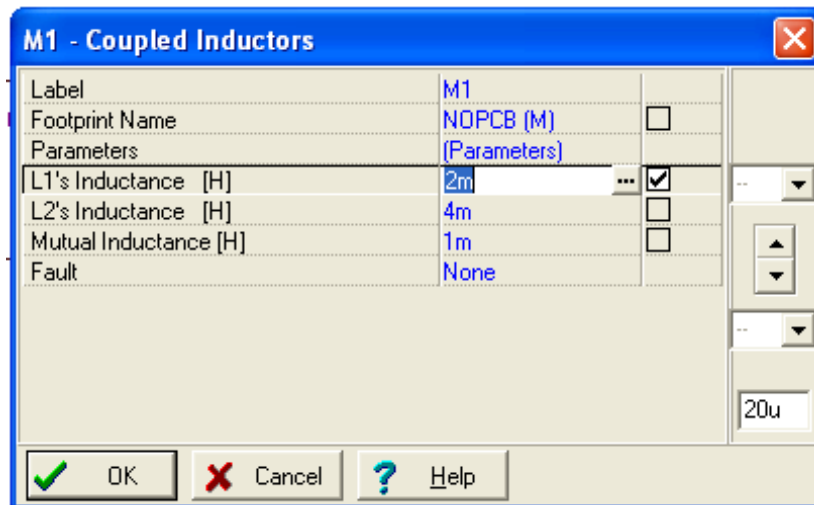


Рис. 3.3. Панель установки параметров связанных индуктивностей

**Важное замечание:** В программе TINA-8 в таблице результатов анализа на переменном токе указываются амплитудные значения токов и напряжений!

Значение амплитуды тока в амперметре равно 125 мА. Значит эквивалентное сопротивление двух согласно включенных катушек равно 8 Ом. В модели измерен ток в генераторе напряжения между узлами [1-0]  $I_{VG1}[1,0] = 125e^{+j90^\circ}$ . В исходной схеме ток имеет противоположное направление и равен  $I_m = 125e^{-j90^\circ}$  мА. Сравните результаты моделирования и расчета.

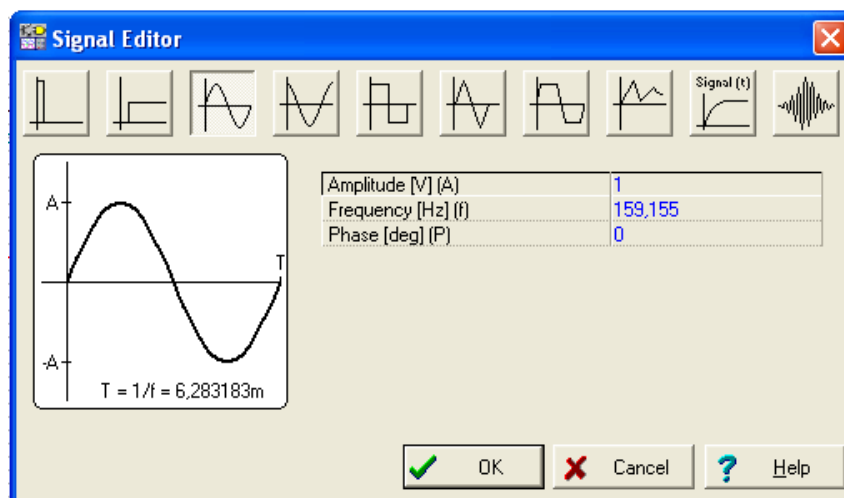


Рис. 3.4. Установка режима генератора напряжения

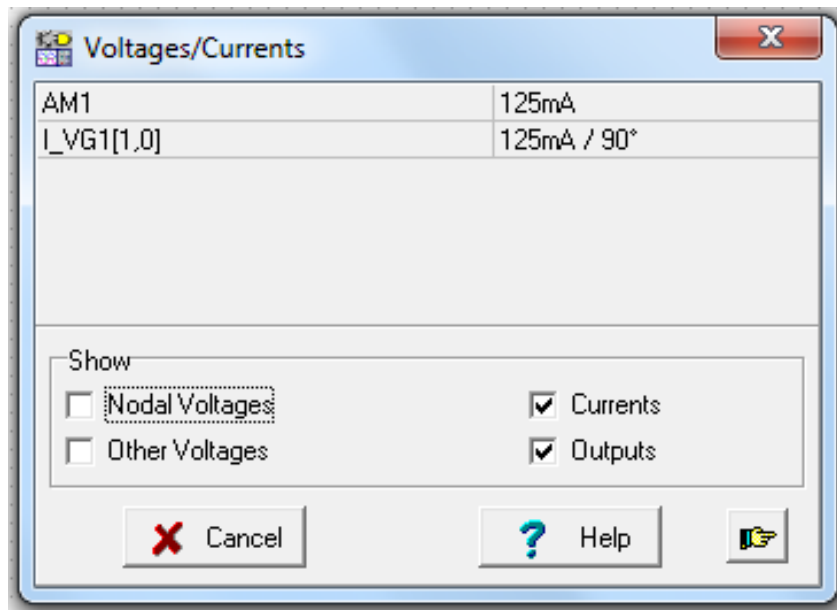


Рис. 3.5. Результаты моделирования для согласно включенных катушек

2. Провести аналогичное моделирование для катушек при встречном включении. Сравнить результаты расчета и моделирования.

### 3.2. Составление уравнений для сложных цепей с магнитными связями

Для расчета сложных цепей с магнитными связями составляют уравнения по законам Кирхгофа или по методу контурных токов. Метод узловых напряжений менее удобен, так как напряжения взаимной индукции выражаются через токи. Нельзя применять метод эквивалентного генератора, если есть магнитная связь внутренних и внешних цепей. Нельзя применять преобразование треугольник – звезда в схемах с взаимными индуктивностями.

При составлении уравнений можно пользоваться следующим правилом определения знаков в напряжениях взаимной индукции:

*Правило знаков:*

Напряжение  $U_{ks}$ , наводимое на элемент  $k$ , равно  $+j\omega M_{ks}I_s$ , если направление обхода элемента  $k$  и ток  $I_s$  одинаково направлены относительно одноимённых зажимов (рис. 3.6).

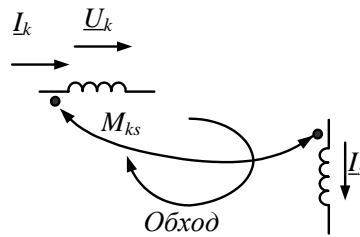


Рис. 3.6. Правило знаков

**Пример №13.** Составить уравнения по законам Кирхгофа для расчета цепи (рис. 3.7). Вычислить токи в ветвях.

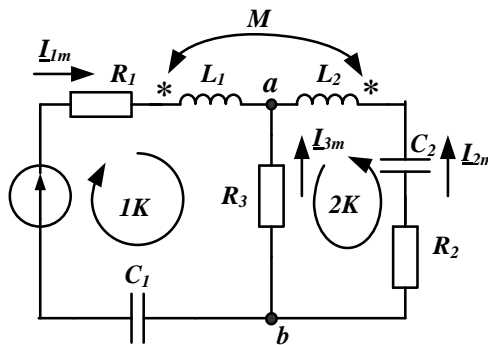


Рис. 3.7. Схема разветвленной цепи с взаимной индуктивностью

Составим в символической форме три уравнения по первому и второму закону Кирхгофа для конкретных численных значений сопротивлений элементов и входного напряжения.

Исходные данные:  $E_m = 16$  В,  $R_1 = 2$  Ом,  $R_2 = 2$  Ом,  $R_3 = 2$  Ом,  $X_{L1} = 4$  Ом,  $X_{L2} = 4$  Ом,  $X_M = 2$  Ом,  $X_{C1} = 2$  Ом,  $X_{C2} = 4$  Ом.

$$\underline{I}_{1m} + \underline{I}_{2m} + \underline{I}_{3m} = 0$$

$$\underline{I}_{1m}R_1 + jX_{L1}\underline{I}_{1m} + jX_M\underline{I}_{2m} - \underline{I}_{3m}R_3 - jX_{C1}\underline{I}_{1m} = \underline{E}_m \quad (3.4)$$

$$jX_{L2}\underline{I}_{2m} + jX_M\underline{I}_{1m} - jX_{C2}\underline{I}_{2m} + \underline{I}_{2m}R_2 - \underline{I}_{3m}R_3 = 0$$

**Пояснения.** Знак плюс в напряжении взаимной индукции ( $jX_M\underline{I}_{2m}$ ) во втором уравнении взят по *Правилу знаков*, так как направление обхода первого контура «входит» в зажим со звездочкой, и ток  $\underline{I}_2$  во второй катушке «входит» в зажим со звездочкой. По той же причине в третьем уравнении с плюсом взято напряжение взаимной индукции ( $jX_M\underline{I}_{1m}$ ).

Решить уравнения и найти токи рекомендуется, используя Mathcad. Программа расчета приведена в [1].

**Пример №14.** Собрать схему (рис. 3.8). Установить частоту генератора синусоидального сигнала  $f=159,155$  Гц, амплитуду сигнала 16 В. Параметры магнитно-связанных катушек:  $L_{1's}=4$  мГн,  $L_{2's}=4$  мГн,  $M_1=2$  мГн. При этом угловая частота  $\omega=1000 \frac{1}{c}$  и реактивные сопротивления катушек и взаимной индуктивности соответствуют исходным данным. Получить таблицу результатов (рис. 3.9).

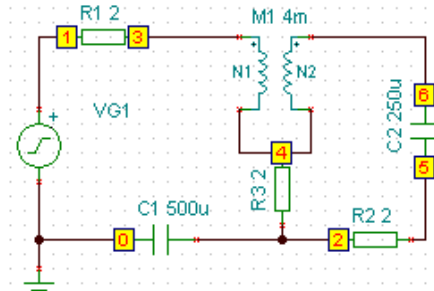


Рис. 3.8. Схема компьютерного моделирования разветвленной цепи с взаимной индуктивностью

В таблице (рис. 3.9) направления токов в элементах цепи определяется последовательностью нумерации узлов в квадратных скобках. Так ток генератора  $I_{VG1}$  направлен от узла 1 к узлу 0 и имеет фазу  $180^\circ$ . Ток  $I_{R1}$  направлен от узла 1 к узлу 3 и имеет нулевую фазу.

Сравните результаты расчетов и моделирования.

Voltages/Currents	
$I_{R1}[1,3]$	4A / -20.49u°
$I_{R2}[2,5]$	2.83A / -135°
$I_{R3}[2,4]$	2.83A / 135°
$I_{VG1}[1,0]$	4A / 180°

☐ Show Nodal Voltages
 ☒ Currents
 ☐ Other Voltages
 ☒ Outputs

Cancel
Help

Рис. 3.9. Таблица результатов моделирования разветвленной цепи с взаимной индуктивностью

### 3.3. Развязка магнитно-связанных цепей

Развязкой называется замена магнитно-связанных цепей эквивалентными цепями без магнитных связей.

### Правила развязки

1. Если одноименные зажимы двух магнитно-связанных индуктивностей *одинаково расположены* относительно узла (рис. 3.10.а), то эти две индуктивности можно заменить эквивалентной схемой (рис. 3.10.б) с тремя индуктивностями без магнитной связи.

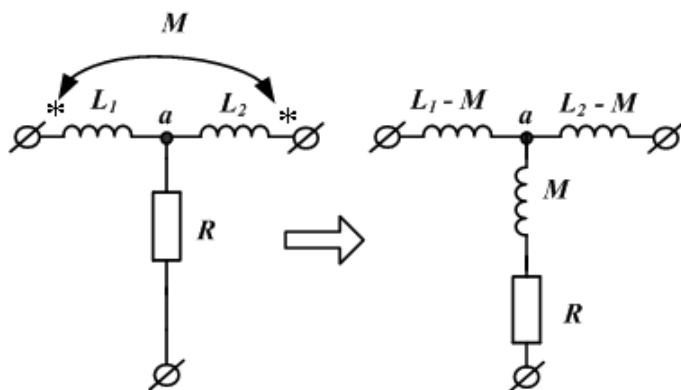


Рис. 3.10.а

Рис. 3.10.б

2. Если одноименные зажимы двух магнитно-связанных индуктивностей *неодинаково расположены* относительно узла (рис. 3.11.а), то эти две индуктивности можно заменить эквивалентной схемой (рис. 3.11.б) с тремя индуктивностями без магнитной связи. Индуктивность с отрицательным значением ( $-M$ ) имеет расчетный характер.

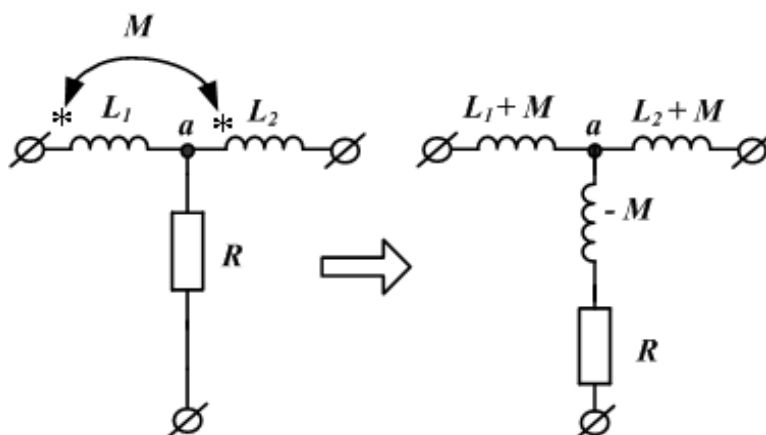


Рис. 3.11.а

Рис. 3.11.б

**Пример №15.** Выполним расчет схемы (рис. 3.7) методом развязки.

В схеме (рис. 3.7) одноименные зажимы катушек одинаково расположены относительно узла *a*. Поэтому для развязки приме-

нием эквивалентную схему рис. 3.10.б. Преобразованная схема без магнитных связей показана на рис. 3.12.

На схеме (рис. 3.12) у каждого элемента указаны значения комплексных сопротивлений в Омах. Комплексная амплитуда источника напряжения равна 16 В. Расчет схемы легко провести вручную. Находим эквивалентное сопротивление двух параллельных ветвей между узлами **a-b**:

$$\underline{Z}_{ab} = \frac{(2 + j2 - j4) \cdot (2 + j2)}{2 + j2 - j4 + 2 + j2} = 2 \text{ Ом}.$$

Находим входное сопротивление цепи:

$$\underline{Z}_{ex} = 2 + j2 + 2 - j2 = 4 \text{ Ом}.$$

Находим первый ток:  $\underline{I}_1 = \frac{\underline{E}}{\underline{Z}_{ex}} = \frac{16}{4} = 4 \text{ А}.$

Находим напряжение между узлами:

$$\underline{U}_{ab} = \underline{I}_1 \cdot \underline{Z}_{ab} = 8 \text{ В}.$$

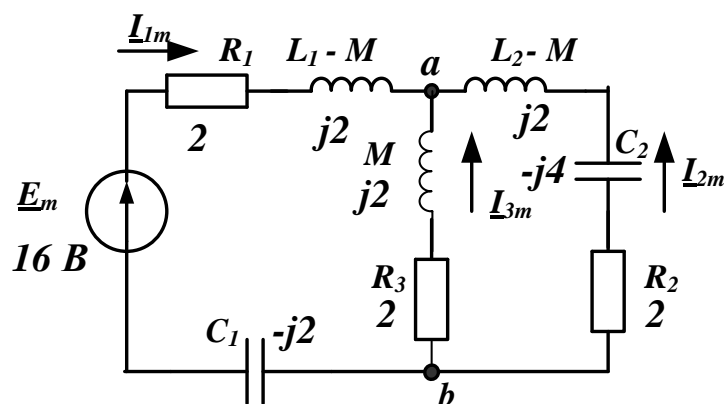


Рис. 3.12. Эквивалентная схема цепи после развязки

Находим токи во второй и третьей ветви:

$$\underline{I}_2 = \frac{-8}{2 - j2} = -2 - j2 \text{ А} = 2,83e^{-j135^\circ},$$

$$\underline{I}_3 = \frac{-8}{2 + j2} = -2 + j2 \text{ А} = 2,83e^{+j135^\circ}.$$

Итак, с помощью развязки мы очень просто получили те же результаты.

### 3.4. Линейный трансформатор

*Трансформатором* называется устройство для передачи энергии из одной части цепи в другую посредством электромагнитной индукции.

Схема линейного трансформатора показана на рис. 3.13. В первичной обмотке действует источник переменного напряжения  $\underline{E}_1$ , первичная обмотка имеет индуктивность  $L_1$  и сопротивление  $R_1$ . Вторичная обмотка имеет индуктивность  $L_2$  и сопротивление  $R_2$ .

Во вторичной обмотке трансформатора включена комплексная нагрузка  $\underline{Z}_n = R_n + jX_n$ .

Составим уравнения трансформатора по второму закону Кирхгофа. Направления обхода контуров показаны на схеме.

$$R_1 + j\omega L_1 \underline{I}_1 - j\omega M \underline{I}_2 = \underline{E}_1 \quad (3.5)$$

$$\underline{I}_2 \cdot R_2 + \underline{I}_2 \cdot R_n + jX_n \underline{I}_2 + j\omega L_2 \underline{I}_2 - j\omega M \underline{I}_1 = 0$$

По этим уравнениям строим векторную диаграмму токов и напряжений в трансформаторе (рис. 3.7). Диаграмму строим в такой последовательности:  $\underline{I}_2$ ,  $R_n \underline{I}_2$ ,  $jX_n \underline{I}_2$ ,  $j\omega L_2 \underline{I}_2$ ,  $R_2 \underline{I}_2$ ,  $-j\omega M \underline{I}_1$ .

При построении диаграммы мы будем считать, что реактивное сопротивление нагрузки имеет индуктивный характер. Поэтому на диаграмме вектор напряжения  $jX_n \underline{I}_2$  опережает ток  $\underline{I}_2$  на  $90^\circ$ .

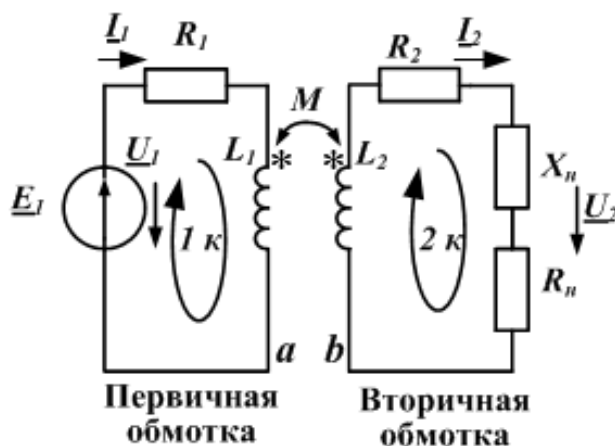


Рис. 3.13. Схема линейного трансформатора

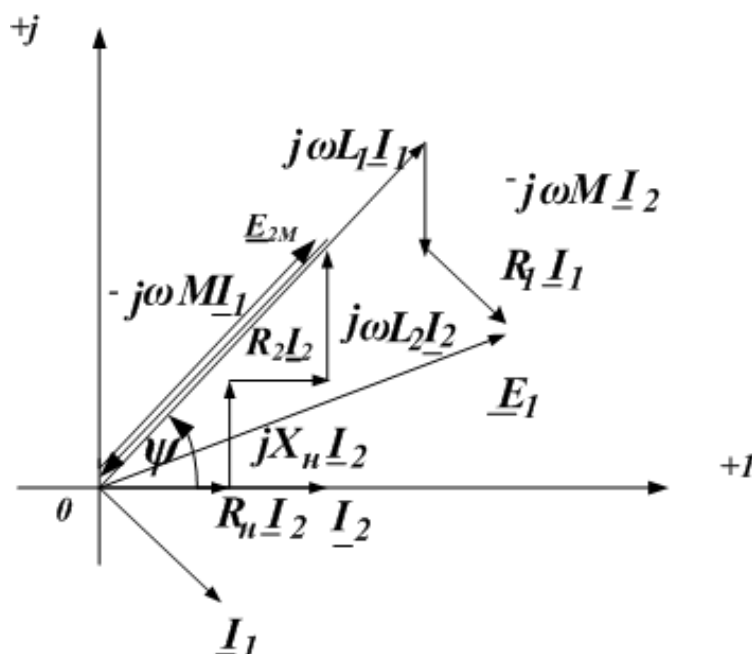


Рис. 3.14. Векторная диаграмма трансформатора

Вектор  $-j\omega M \underline{I}_1$  замыкает диаграмму напряжений вторичного контура, в котором нет источников напряжения. По этому вектору находим вектор тока  $\underline{I}_1$ , повернутый на  $+90^\circ$  и уменьшенный по длине в  $\omega M$  раз. Далее строим:  $j\omega L_1 \underline{I}_1$ ,  $-j\omega M \underline{I}_2$ ,  $R_1 \underline{I}_1$ ,  $\underline{E}_1$ .

В схеме линейного трансформатора (рис. 3.13) токи не изменятся, если соединить точки **a** и **b** в узел «**ab**». После этого воспользуемся правилом развязки магнитно-связанных цепей. К узлу «**ab**» катушки трансформатора подключены одинаково (зажимами без звездочек). Поэтому преобразуем трансформатор по схеме рис. 3.3.б и получим схему замещения линейного трансформатора (рис. 3.15) без магнитных связей, в которой контуры связаны электрически через сопротивление общей ветви.

Важными характеристиками трансформатора являются: коэффициент трансформации по напряжению  $n_U = \frac{U_2}{U_1} \approx \frac{w_2}{w_1}$  ( $w_2$ ,  $w_1$  – число витков вторичной и первичной обмотки), коэффициент трансформации по току  $n_I = \frac{I_1}{I_2}$ , коэффициент трансформации по сопротивлению  $n_Z = \frac{Z_2}{Z_{ex}} = \frac{U_2 \cdot I_1}{I_2 \cdot U_1} = n_U \cdot n_I$ .



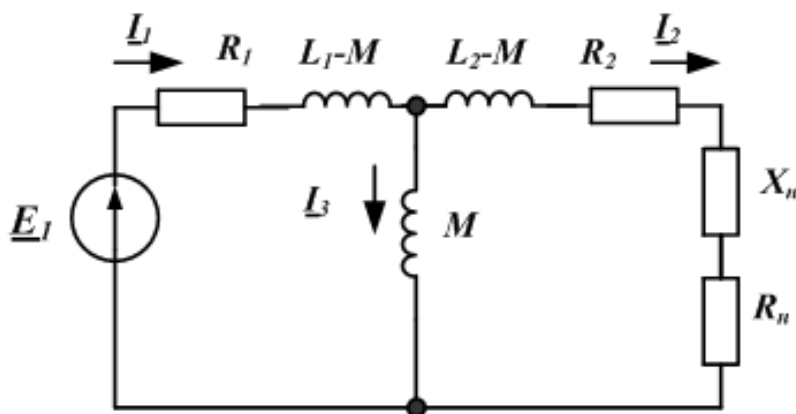


Рис. 3.15. Схема замещения линейного трансформатора

В трансформаторе с одинаковыми обмотками ( $w_2=w_1$ ) в схеме замещения (рис. 3.15) индуктивности  $L_1-M$ ,  $L_2-M$  имеют смысл индуктивностей рассеяния, индуктивность  $M$  – называют индуктивностью намагничивания.

**Пример №16.** В схеме линейного трансформатора (рис. 3.13) амплитуда источника напряжения  $E_{1m} = 100\text{В}$ ,  $L_1 = 200\text{ мГн}$ ,  $L_2 = 400\text{ мГн}$ ,  $M = 200\text{ мГн}$ ,  $R_1 = R_2 = 50\text{ Ом}$ ,  $R_n = 100\text{ Ом}$ ,  $L_n = 100\text{ мГн}$ . Частота сигнала генератора  $f = 159,155\text{ Гц}$ . Найти напряжение на нагрузке.

Рекомендации:

Можно воспользоваться уравнениями трансформатора (3.5), вычислить ток  $I_{2m}$  и затем найти напряжение на нагрузке.

**Пример №17.** Компьютерное моделирование линейного трансформатора.

В программе TINA-8 линейные трансформаторы представлены только двумя идеальными моделями. Идеальный линейный трансформатор характеризуется только одним параметром - коэффициентом трансформации по напряжению  $n_U = \frac{U_2}{U_1}$ . На па-

нели компонентов в группе *Transformers* есть две модели идеального трансформатора. На рис. 3.16 показана схема моделирования идеального трансформатора с коэффициентом трансформации  $n_U = 2$ .

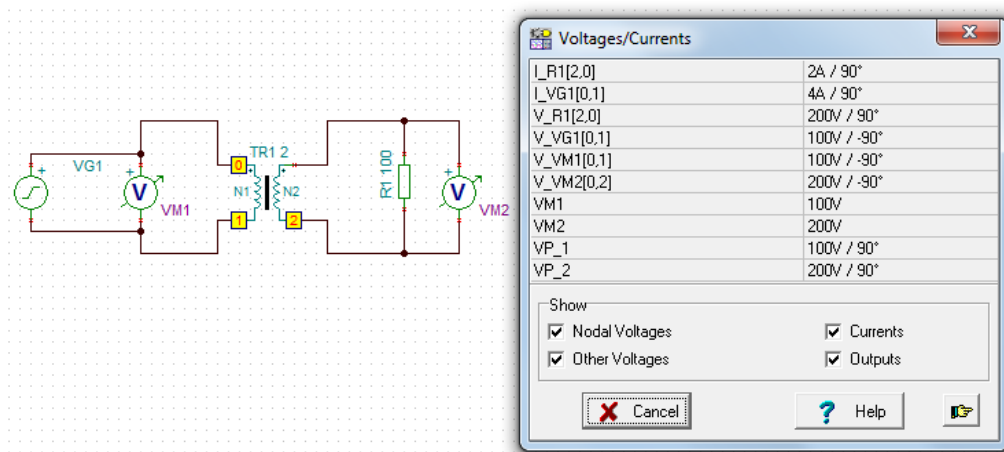


Рис. 3.16. Модель идеального трансформатора

Проверьте, что в идеальном трансформаторе выходное напряжение не зависит от нагрузки  $R1$ .

Линейный трансформатор с потерями (рис. 3.13) можно смоделировать, используя связанные индуктивности (*Coupled Inductors*) из группы *Transformers*. Схема моделирования цепи (рис. 3.12) показана на рис. 3.17. В схеме установить  $f=159,155$  Гц,  $E_{1m}=100$  В,  $L_1=200$  мГн,  $L_2=400$  мГн,  $M=200$  мГн,  $R_1=R_2=100$  Ом,  $R_3=100$  кОм,  $L_3=100$  мГн.

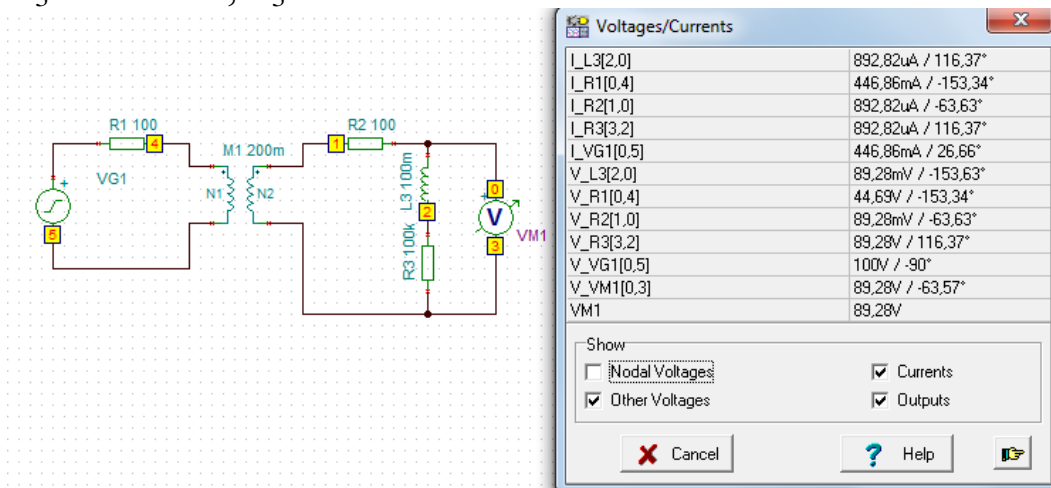


Рис. 3.17. Схема моделирования линейного трансформатора

### 3.5. Энергетические соотношения в трансформаторе

Комплексная мощность, передаваемая из первичной обмотки во вторичную, равна:

$$\tilde{S} = \underline{E}_{2M} \cdot \underline{I}_2^* = E_{2M} \cdot I_2 \cdot \cos\psi + jE_{2M} \cdot I_2 \cdot \sin\psi = P_2 + jQ_2,$$

где:  $\underline{E}_{2M} = j\omega L_1 X_M = E_{2M} \cdot \cos\psi + jE_{2M} \cdot \sin\psi$  — ЭДС взаимоиндук-

ции, наводимая магнитным потоком во вторичной обмотке (при встречном включении катушек),  $I_2 = I_2$  – ток вторичной цепи трансформатора,  $\psi$  – угол между векторами  $\underline{E}_{2M}$  и  $\underline{I}_2$  (рис 3.7).

Так как  $E_{2M} \cos \psi = I_2 R_H + I_2 R_2$  (см. векторную диаграмму), то активная мощность  $P_2 = E_{2M} I_2 \cos \psi = (I_2^2 R_H + I_2^2 R_2)$ . Реактивная мощность  $Q_2 = E_{2M} I_2 \sin \psi = I_2^2 X_2 + I_2^2 X_{2H}$ . Активная мощность, потребляемая нагруженным трансформатором:

$$P = I_1^2 R_1 + P_2 = I_1^2 R_1 + I_2^2 (R_H + R_2) = U_1 I_1 \cos \varphi_{\text{ex}}.$$

### 3.6. Определение параметров магнитно-связанных катушек

Реальная катушка индуктивности характеризуется собственной индуктивностью  $L_1$  и сопротивлением потерь  $R_1$ , которые на каждой частоте определяют комплексное сопротивление катушки  $\underline{Z}_1(\omega) = R_1 + j\omega L_1 = Z_1 \cos \varphi_1 + jZ_1 \sin \varphi_1 = Z_1 e^{j\varphi_1}$ , где  $Z_1 = \sqrt{R_1^2 + X_1^2} = U_1 / I_1$ ,  $\varphi_1 = \arctg \frac{X_1}{R_1} = \varphi_U - \varphi_I$  – угол фазового сдвига между напряжением  $\underline{U}_1$  и током  $\underline{I}_1$ .

**Пример 18.** Для измерения параметров катушки  $L_1$  установите в генераторе напряжения синусоидальный сигнал с амплитудой 1 В и частотой 159,155 Гц. Установите индуктивность катушки 10 мГн и сопротивление потерь  $R_{\text{Ser}} = 10$  Ом. В режиме *Analysis-AC Analysis-Table of AC results* получите таблицу напряжений и токов и рассчитайте параметры катушки  $Z_1$ ,  $R_1$ ,  $X_1$ .

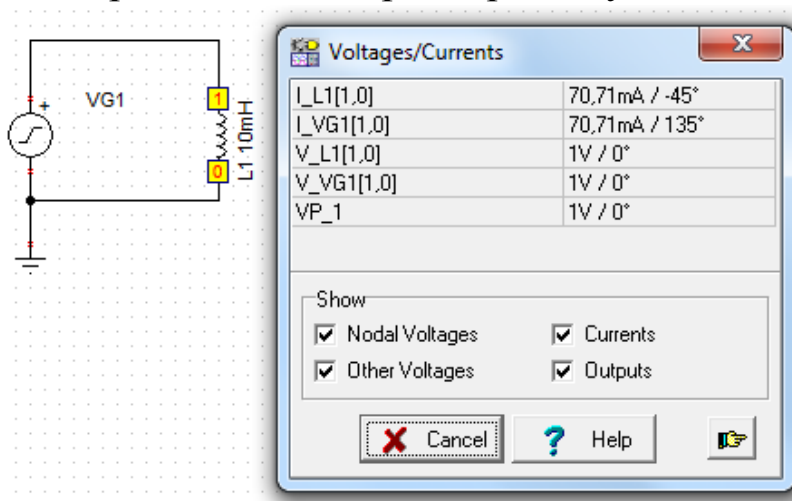


Рис. 3.18. Измерение параметров катушки индуктивности

### 3.7. Измерение сопротивления магнитной связи

Для определения сопротивления магнитной связи  $X_M$  следует катушки  $L_1$  и  $L_2$  соединить последовательно и измерить реактивное сопротивление при согласном включении  $X_{\text{согл}}$  и при встречном  $X_{\text{встр}}$ . "Одноименные зажимы" катушек обозначены звездочками.

Реактивное сопротивление при согласном включении  $X_{\text{согл}}$  больше, чем при встречном включении  $X_{\text{встр}}$ . Сопротивление магнитной связи  $X_M$  определяется по формуле  $X_M = \omega M = \frac{X_{\text{согл}} - X_{\text{встр}}}{4}$ .

Здесь  $\omega$  - круговая частота напряжения источника.

Сопротивление магнитной связи можно также определить в схеме (рис. 3.17) другим способом. Для этого надо измерить ток в первой катушке  $I_1$  и напряжение  $U_2$  на разомкнутой второй катушке  $L_2$  (при отключенной нагрузке  $R_3$  и  $L_3$ ) и подсчитать  $X_{M12} = \frac{U_2}{I_1}$ . Если поменять катушки  $L_1$  и  $L_2$  местами и измерить значения тока  $I_2$  и напряжения  $U_1$  на разомкнутой обмотке первой катушки  $L_1$ , то можно подсчитать  $X_{M21} = \frac{U_1}{I_2}$ . Эти эксперименты должны подтвердить, что  $X_{M12} = X_{M21} = X_M$ .

### 3.8. Вопросы для самопроверки и подготовки к лабораторной работе

1. Объясните смысл понятия взаимной индукции катушек.
2. Какое включение катушек называют согласным, а какое встречным?
3. Какие приборы нужны для определения «одноименных» зажимов двух катушек? Как провести такой эксперимент?
4. Запишите уравнения в символической форме по второму закону Кирхгофа для схемы рис. 3.2, если на входе действует напряжение  $\underline{U}$ . Постройте векторную диаграмму напряжений в этой схеме.
5. Выполните задание п.4 для схемы рис. 3.2, если катушки будут включены встречно.
6. Как рассчитать эквивалентную индуктивность при после-

довательном согласном включении магнитно-связанных катушек?

7. Как рассчитать эквивалентную индуктивность при последовательном встречном включении магнитно-связанных катушек?

8. Докажите расчетную формулу  $X_M = \frac{X_{\text{согл}} - X_{\text{встр}}}{4}$ .

9. Какими способами можно менять взаимную индуктивность двух катушек?

10. Как работает линейный трансформатор и для чего он используется?

11. Пользуясь правилом развязки, нарисуйте схему замещения линейного трансформатора без магнитных связей.

12. Выполнить пункты, *обязательные для всех лабораторных работ* (см. главу 1).

### 3.9. Лабораторная работа №3

#### Исследование электрических цепей, содержащих магнитно-связанные катушки

**Цель работы** - определение параметров магнитно-связанных катушек, изучение распределения токов, напряжений и мощностей в цепях с взаимной индуктивностью.

#### Часть I. Определение параметров катушек и сопротивления взаимной индукции

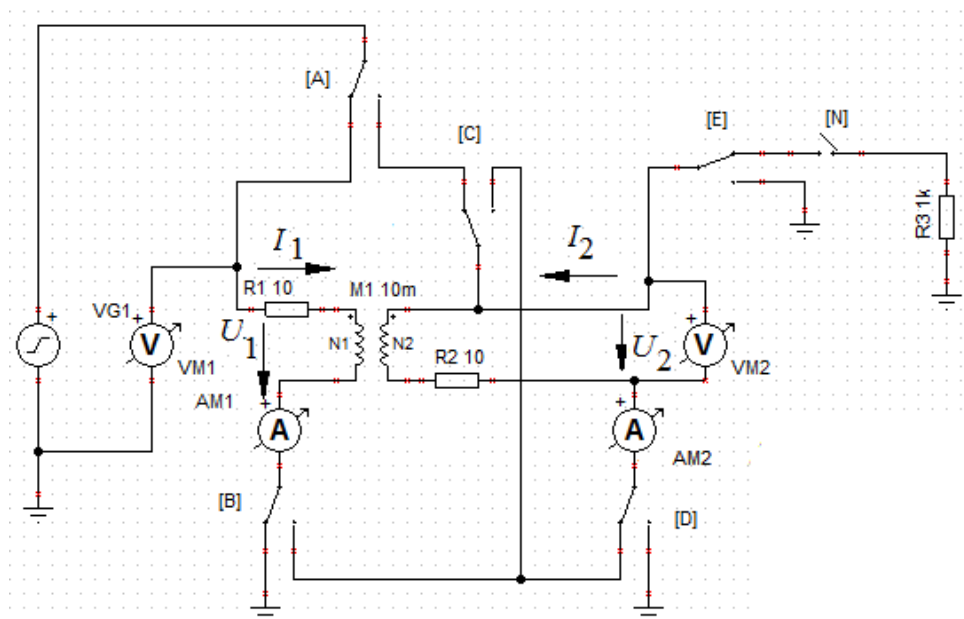


Рис. 3.19. Схема моделирования магнитно-связанных катушек

1. Собрать схему рис 3.19. Установить напряжение генератора на первичной обмотке порядка 1В. Частоту генератора установить по номеру бригады в соответствии с формулой:  $f_{(\kappa\Gamma\psi)} = 2,5 + 0,5 \cdot N$ , где  $N$  – номер бригады.

На панели компонентов *Basic* выбрать связанные индуктивности (*Coupled Inductors*). Значение индуктивности  $L_1=L_a$  из таблицы 2.1 лабораторной работы №2,  $L_2=L_b$ ,  $M=0,5L_a$  для нечетных бригад,  $M=0,5L_b$  для четных бригад. Резисторы  $R_1$  и  $R_2$  моделируют потери в катушках, так как компонент «связанные индуктивности» является идеальным и не содержит потерь.

Ключи  $A, B, C, D$  поставить в левое положение, ключи  $E, N$  – вверх. Выбрать режим измерений и записать в таблицу 3.1 результаты замера 1 ( $U_1, I_1, \varphi_{I1}, U_2$ ). Обратите внимание на то, что  $\varphi_{I1} = \varphi_U - \varphi_I = \varphi_{VG1} - \varphi_{IR1}$ .

2. В модели (рис. 3.19) подключить к генератору катушку 2. Для этого поставить ключи:  $A, D$  – вправо,  $B, C$  – влево,  $E, N$  – вверх. Результаты замера 2 ( $U_1, I_1, \varphi_{I1}, U_2$ ) записать в таблицу 3.1.

Таблица 3.1

	Эксперимент				Расчет			
Замер 1	$U_1=$	$I_1=$	$\varphi_{I1} =$	$U_2 =$	$Z_1=$	$R_1=$	$X_1 =$	$X_{M12}=$
Замер 2	$U_2=$	$I_2=$	$\varphi_{I2} =$	$U_1 =$	$Z_2=$	$R_2=$	$X_2 =$	$X_{M21} =$
Замер 3	$U_1=$	$I_1=$	$\varphi_{I1}=$		$Z_3=$	$R_3=$	$X_3 =$	$X_{M12} =$
Замер 4	$U_1=$	$I_1=$	$\varphi_{I1}=$		$Z_3=$	$R_3=$	$X_3 =$	$X_{M12} =$
Замер 5	$U_1=$	$I_1=$	$\varphi_{I1} =$	$U_2=$ $I_2=0$				
Замер 6	$U_1=$	$I_1=$	$\varphi_{I1} =$	$U_2=$ $I_2=$				

4. Произвести расчет параметров обеих катушек и сопротивления взаимной индукции. Результаты расчета записать в таблицу 3.1. Убедиться, что  $X_{M12}=X_{M21}=X_M$ .

### Часть 2. Последовательное соединение катушек

5. Собрать схему с двумя последовательно соединенными магнитно-связанными катушками. Включить катушки согласно. Для этого поставить ключи А влево, В, D, С – вправо, Е, N – вверх. Записать результаты измерений (замер 3).

6. Включить катушки встречно. Для этого поставить ключи А, С, D влево, В вправо, Е вниз, N вверх. Записать результаты измерений (замер 4).

Используя данные замеров 3 и 4, подсчитать полное сопротивление катушек в обоих случаях и, основываясь на этих данных, подтвердить, какой из опытов соответствует согласному, и какой встречному включению

7. Используя замеры 3 и 4 и подсчитанные ранее параметры катушек, начертить в масштабе векторные диаграммы тока и напряжений для обоих случаев их соединения.

### Часть 3. Исследование работы трансформатора

8. Собрать схему моделирования трансформатора. Для этого поставить ключи: А, В, С - влево, D - вправо, Е – вверх. Для  $R_H = \infty$  ключ N поставить вверх, для  $R_H = R_3$  ключ N поставить вниз.

Значение  $R_3$  рассчитать по формуле  $R_3(Ом) = 500 + 200 \cdot N$ , где N – номер бригады.

Записать показания приборов для двух режимов: а)  $R_H = \infty$  (х.х.); б)  $R_H = R_3$ . Результаты (замер 5 и замер 6) записать в таблицу 3.1.

### Домашнее расчетное задание

1. Результаты расчета параметров обеих катушек и сопротивления взаимной индукции записать в таблицу 3.1. Убедиться, что  $X_{M12}=X_{M21}=X_M$ .

2. Используя замеры 3 и 4 и подсчитанные ранее параметры катушек, начертить в масштабе векторные диаграммы для обоих случаев их соединения.

3. По данным замеров 5 и 6 построить в масштабе векторные диаграммы токов и напряжений для первичного и вторичного контуров в режимах “а” и “б”.

4. По векторной диаграмме, соответствующей режиму “б”, вычислить активную мощность нагрузки; активную мощность, поглощаемую обеими обмотками трансформатора; мощность  $P_2$ , передаваемую магнитным полем из первичной обмотки в вторичную. Подсчитать баланс активных мощностей: а) во всей схеме и б) отдельно для вторичной цепи.

5. Используя найденные экспериментально параметры катушек линейного трансформатора и сопротивление магнитной связи, составить схему замещения линейного трансформатора и выполнить теоретический расчет токов для  $R_H = R_3$ .

## Глава 4. ЛИНЕЙНЫЕ ПАССИВНЫЕ ЧЕТЫРЕХПОЛЮСНИКИ

### 4.1. Краткие теоретические сведения

*Пассивный линейный четырехполюсник* представляет собой элемент цепи, не содержащий источников энергии и имеющий два входных (первичных) ( $a-b$ ) и два выходных (вторичных) ( $m-n$ ) зажима (рис. 4.1)

Основные уравнения четырехполюсника могут быть записаны в шести различных формах, использующих параметры  $Y$ ,  $Z$ ,  $A$ ,  $B$ ,  $H$ ,  $G$ .

Форма  $Y$  выражает токи  $I_1$  и  $I'_2$  через проводимости и напряжения:

$$\begin{aligned} I_1 &= Y_{11} \cdot U_1 + Y_{12} \cdot U_2 \\ I'_2 &= Y_{21} \cdot U_1 + Y_{22} \cdot U_2 \end{aligned} \quad (4.1)$$

Пассивные линейные четырехполюсники являются *обратимыми*. Для них выполняется теорема взаимности и взаимные проводимости  $Y_{12} = Y_{21}$ .

Форма  $A$  выражает входное напряжение  $U_1$  и входной ток  $I_1$  через выходное напряжение  $U_2$  и выходной ток  $I_2$ . А-параметры применяются при анализе передачи энергии от входных зажимов к выходным зажимам и подробно исследуются в лабораторной работе №8. Для комплексных действующих значений уравнения



четырёхполюсника в форме А имеют вид:

$$\begin{aligned}\underline{U}_1 &= \underline{A}_{11}\underline{U}_2 + \underline{A}_{12}\underline{I}_2 \\ \underline{I}_1 &= \underline{A}_{21}\underline{U}_2 + \underline{A}_{22}\underline{I}_2\end{aligned}\quad (4.2)$$

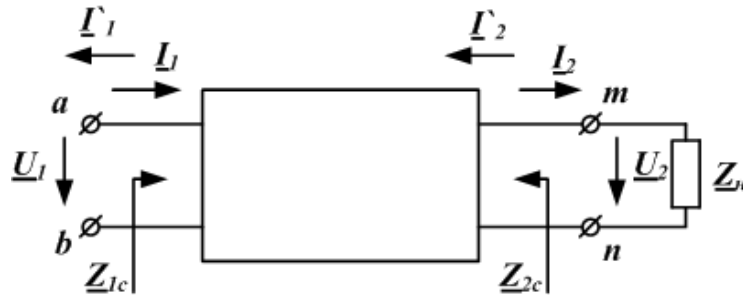


Рис. 4.1. Схема четырёхполюсника

Коэффициенты уравнений четырёхполюсника называют его параметрами. А - параметры четырёхполюсника иногда именуют как коэффициенты А, В, С, D. Матрица А - параметров имеет вид:

$$A = \begin{bmatrix} \underline{A}_{11} & \underline{A}_{12} \\ \underline{A}_{21} & \underline{A}_{22} \end{bmatrix} = \begin{bmatrix} A & B \\ C & D \end{bmatrix}$$

Определитель А - параметров пассивного линейного четырёхполюсника равен единице:

$$|A| = \underline{A}_{11} \cdot \underline{A}_{22} - \underline{A}_{12} \cdot \underline{A}_{21} = 1 \quad (4.3)$$

Это свойство надо использовать для проверки расчета А - параметров. Так как четыре параметра пассивного линейного четырёхполюсника связаны уравнением (4.3), то независимыми являются только 3 параметра.

Физический смысл и непосредственное определение  
А - параметров

$\underline{A}_{11} = \frac{\underline{U}_1}{\underline{U}_2}$  при  $\underline{I}_2 = 0$  (режим холостого хода на выходе – ХХ2) - коэффициент трансформации по напряжению;

$\underline{A}_{22} = \frac{\underline{I}_1}{\underline{I}_2}$  при  $\underline{U}_2 = 0$  (короткое замыкание на выходе – КЗ2) – коэффициент трансформации тока;

$\underline{A}_{12} = \frac{\underline{U}_1}{\underline{I}_2}$  при  $\underline{U}_2 = 0$  - величина, обратная передаточной проводимости при КЗ2;

$\underline{A}_{21} = \frac{\underline{I}_1}{\underline{U}_2}$  при  $\underline{I}_2 = 0$  - величина, обратная передаточному сопротивлению при ХХ2.

В симметричном четырехполюснике (токи и напряжения во внешней цепи не меняются при перемене местами первичных и вторичных зажимов) выполняется равенство:  $\underline{A}_{11} = \underline{A}_{22}$ . Поэтому в симметричном пассивном линейном четырехполюснике два независимых параметра.

#### Входное сопротивление четырехполюсника

Входное сопротивление четырехполюсника со стороны первичных зажимов находим по формуле:

$$\underline{Z}_{1\text{ex}} = \frac{\underline{U}_1}{\underline{I}_1} = \frac{\underline{A}_{11}\underline{U}_2 + \underline{A}_{12}\underline{I}_2}{\underline{A}_{21}\underline{U}_2 + \underline{A}_{22}\underline{I}_2} = \frac{\underline{A}_{11} \frac{\underline{U}_2}{\underline{I}_2} + \underline{A}_{12}}{\underline{A}_{21} \frac{\underline{U}_2}{\underline{I}_2} + \underline{A}_{22}} = \frac{\underline{A}_{11}\underline{Z}_2 + \underline{A}_{12}}{\underline{A}_{21}\underline{Z}_2 + \underline{A}_{22}} \quad (4.4)$$

Входное сопротивление со стороны выходных зажимов находим по аналогичной формуле:

$$\underline{Z}_{2\text{ex}} = \frac{\underline{U}_2}{\underline{I}_2} = \frac{\underline{A}_{22}\underline{U}_1 + \underline{A}_{12}\underline{I}_1}{\underline{A}_{21}\underline{U}_1 + \underline{A}_{11}\underline{I}_1} = \frac{\underline{A}_{22}\underline{Z}_1 + \underline{A}_{12}}{\underline{A}_{21}\underline{Z}_1 + \underline{A}_{11}} \quad (4.5)$$

Из формул (4.2) и (4.3) следует, что четырехполюсник преобразует (трансформирует) сопротивление нагрузки.

Частными случаями входных сопротивлений являются *сопротивления холостого хода*:

$$\underline{Z}_{1\text{ex}} = \underline{Z}_{1\text{x}} = \frac{\underline{A}_{11}}{\underline{A}_{21}}, \text{ при } \underline{Z}_2 = \infty \text{ и } \underline{Z}_{2\text{ex}} = \underline{Z}_{2\text{x}} = \frac{\underline{A}_{22}}{\underline{A}_{21}} \text{ при } \underline{Z}_1 = \infty;$$

*сопротивления короткого замыкания*:

$$\underline{Z}_{1\text{ex}} = \underline{Z}_{1\text{k}} = \frac{\underline{A}_{12}}{\underline{A}_{22}} \text{ при } \underline{Z}_2 = 0 \text{ и } \underline{Z}_{2\text{ex}} = \underline{Z}_{2\text{k}} = \frac{\underline{A}_{12}}{\underline{A}_{11}} \text{ при } \underline{Z}_1 = 0.$$

В данной работе А- параметры определяются по входным сопротивлениям, полученным опытным путем в режимах холостого хода (х.х) и короткого замыкания (к.з) по формулам:

$$\underline{A}_{11} = \sqrt{\frac{\underline{Z}_{1X}}{\underline{Z}_{2X} - \underline{Z}_{2K}}}, \underline{A}_{12} = \underline{A}_{11} \underline{Z}_{2K}, \underline{A}_{21} = \frac{\underline{A}_{11}}{\underline{Z}_{1X}}, \underline{A}_{22} = \underline{A}_{11} \frac{\underline{Z}_{2X}}{\underline{Z}_{1X}} \quad (4.6)$$

Выбор нагрузки из условия выделения в ней максимальной мощности  $P_{\max}$

Из теории известно, что при питании четырехполюсника от источника ЭДС для того, чтобы в нагрузке  $\underline{Z}_H = R_H + jX_H$  выделилась максимально возможная активная мощность  $P_2$ , необходимо, чтобы сопротивление нагрузки было комплексно сопряженным с входным сопротивлением четырехполюсника со стороны зажимов  $m-n$  при короткозамкнутых зажимах  $a-b$ . Если  $\underline{Z}_{BXmn} = R_{BX} + jX_{BX}$ , то должно иметь место  $\underline{Z}_H = R_H + jX_H = R_{BX} - jX_{BX} = \underline{Z}_{2K}^*$ . Таким образом,  $R_H = R_{BX}$  и  $X_H = -X_{BX}$ . При этом в нагрузке выделяется  $P_{\max} = U_2^2 / 4R_H$ , где  $U_2$  – напряжение холостого хода на зажимах  $m-n$  из опыта 1.

### Схемы замещения четырехполюсника

Если на некоторой фиксированной частоте определены А-параметры четырехполюсника, в расчетах и экспериментах этот четырехполюсник можно представить схемой замещения, которая имеет ту же матрицу А - параметров. Применяют две схемы замещения: Т – образная (рис. 4.2) и П – образная (рис. 4.3).

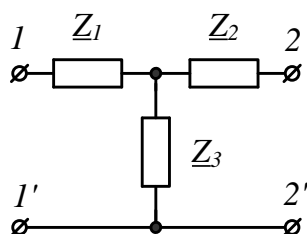


Рис. 4.2. Т-образная схема

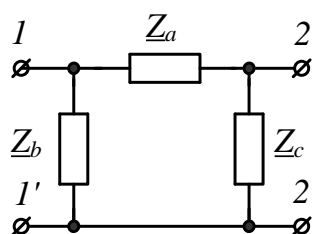


Рис. 4.3. П - образная схема

Расчет элементов Т- образной схемы замещения через А – параметры четырехполюсника проводят по формулам:

$$\underline{Z}_1 = \frac{\underline{A}_{11} - 1}{\underline{A}_{21}}, \quad \underline{Z}_2 = \frac{\underline{A}_{22} - 1}{\underline{A}_{21}}, \quad \underline{Z}_3 = \frac{1}{\underline{A}_{21}} \quad (4.7)$$

Расчет элементов П - образной схемы замещения проводят по формулам:

$$\underline{Z}_a = \underline{A}_{12}, \quad \underline{Z}_b = \frac{\underline{A}_{12}}{\underline{A}_{22} - 1}, \quad \underline{Z}_c = \frac{\underline{A}_{12}}{\underline{A}_{11} - 1} \quad (4.8)$$

Характеристические параметры четырехполюсника

Характеристическими параметрами четырехполюсника называют два характеристических сопротивления

$$\underline{Z}_{1C} = \sqrt{\frac{\underline{A}_{11} \cdot \underline{A}_{12}}{\underline{A}_{21} \cdot \underline{A}_{22}}} = \sqrt{\underline{Z}_{1K} \cdot \underline{Z}_{1X}}, \quad \underline{Z}_{2C} = \sqrt{\frac{\underline{A}_{22} \cdot \underline{A}_{12}}{\underline{A}_{21} \cdot \underline{A}_{11}}} = \sqrt{\underline{Z}_{2K} \cdot \underline{Z}_{2X}} \quad (4.9)$$

и характеристическую постоянную передачи (меру передачи)

$$\underline{g} = \ln(\sqrt{\underline{A}_{11} \cdot \underline{A}_{22}} + \sqrt{\underline{A}_{12} \cdot \underline{A}_{21}}) = a + jb \quad (4.10)$$

Характеристические сопротивления обладают таким свойством, что, если к вторичным зажимам подключить в качестве нагрузки  $\underline{Z}_{2C}$ , то входное сопротивление со стороны первичных зажимов будет равно  $\underline{Z}_{1C}$ . И наоборот, если к первичным зажимам подключить  $\underline{Z}_{1C}$ , то входное сопротивление со стороны выходных зажимов будет  $\underline{Z}_{2C}$ .

*Четырехполюсник, нагруженный на характеристическое сопротивление, называют согласованным с нагрузкой. Согласованный режим работы является весьма важным и часто используется на практике. Нагрузка, равная характеристическому сопротивлению, также называется согласованной.*

В согласованном режиме напряжения на входе и выходе четырехполюсника выражаются через характеристические параметры по формуле:

$$\underline{U}_1 = \sqrt{\frac{\underline{Z}_{1C}}{\underline{Z}_{2C}}} \cdot \underline{U}_2 \cdot e^g = \sqrt{\frac{\underline{Z}_{1C}}{\underline{Z}_{2C}}} \cdot \underline{U}_2 \cdot e^a \cdot e^{jb}, \quad (4.11)$$

где  $a$  – характеристическое затухание четырехполюсника,  $b$  – характеристическая фаза.

*Комплексная передаточная функция четырехполюсника* выражается через  $A$  – параметры и сопротивление нагрузки следующей формулой:

$$\underline{K}_U(j\omega) = \frac{\underline{U}_2}{\underline{U}_1} = \frac{\underline{Z}_2}{\underline{A}_{11}\underline{Z}_2 + \underline{A}_{12}} = K_U(\omega) \cdot e^{j\phi(\omega)} \quad (4.12)$$

#### **4.2. Вопросы для самопроверки и подготовки к лабораторной работе**

1. Какие цепи называют четырехполюсниками?
2. Какими свойствами обладают линейные пассивные четырехполюсники ?
3. Что такое обратимые и симметричные четырехполюсники?
4. Как экспериментально найти сопротивления холостого хода и короткого замыкания четырехполюсника?
5. Каким свойством обладают  $A$ -параметры линейного пассивного четырехполюсника?
6. Как рассчитать  $A$ -параметры линейного пассивного четырехполюсника через параметры холостого хода и короткого замыкания?
7. Как подобрать для четырехполюсника нагрузку, в которой будет выделяться наибольшая активная мощность?
8. Что такое схемы замещения четырехполюсника?
9. Какие характеристические параметры имеет четырехполюсник и как их можно рассчитать?
10. Что такое согласование четырехполюсника с нагрузкой? Как можно рассчитать согласованный режим работы четырехполюсника?
11. Выполнить пункты, обязательные для всех лабораторных работ (см. главу 1).

### Предварительное расчетное задание

Четырехполюсник имеет следующие сопротивления холостого хода и короткого замыкания:  
 $Z_{1K} = j10 \text{ Ом}$ ,  $Z_{1X} = -j2 \text{ Ом}$ ,  $Z_{2K} = j15 \text{ Ом}$ ,  $Z_{2X} = -j3 \text{ Ом}$ .

Требуется:

1. Рассчитать А – параметры четырехполюсника.
2. Записать уравнения четырехполюсника через А – параметры.
2. Рассчитать Т – образную схему замещения.
3. По Т – образной схеме найти сопротивления холостого хода и короткого замыкания.
4. Рассчитать характеристические параметры четырехполюсника.
5. Записать уравнения четырехполюсника в согласованном режиме через характеристические параметры.
6. Для найденных А – параметров рассчитать комплексную передаточную функцию четырехполюсника при сопротивлениях нагрузки  $R_2 = 200 \text{ Ом}$  и  $500 \text{ Ом}$ .

### 4.3. Лабораторная работа № 4

#### Исследование четырехполюсника

**Цель работы** – определение параметров линейного пассивного четырехполюсника по входным сопротивлениям в режимах холостого хода и короткого замыкания, а также выбор сопротивления нагрузки четырехполюсника из условия выделения в ней максимальной активной мощности

#### Описание схемы измерений

Схема для компьютерного моделирования показана на рис.4.4. Приборами в схеме являются генератор напряжения VG1, два вольтметра, два амперметра и ваттметр.

Четырехполюсник с зажимами *ab-mn* собирается по схемам рис.4.5 и должен содержать три реактивных элемента  $L_a$ ,  $C_a$ ,  $C_b$ . Схему надо выбрать по указанию преподавателя. Значения номи-

налов реактивных элементов для каждой бригады даны в таблице 2.1 (Глава 2).

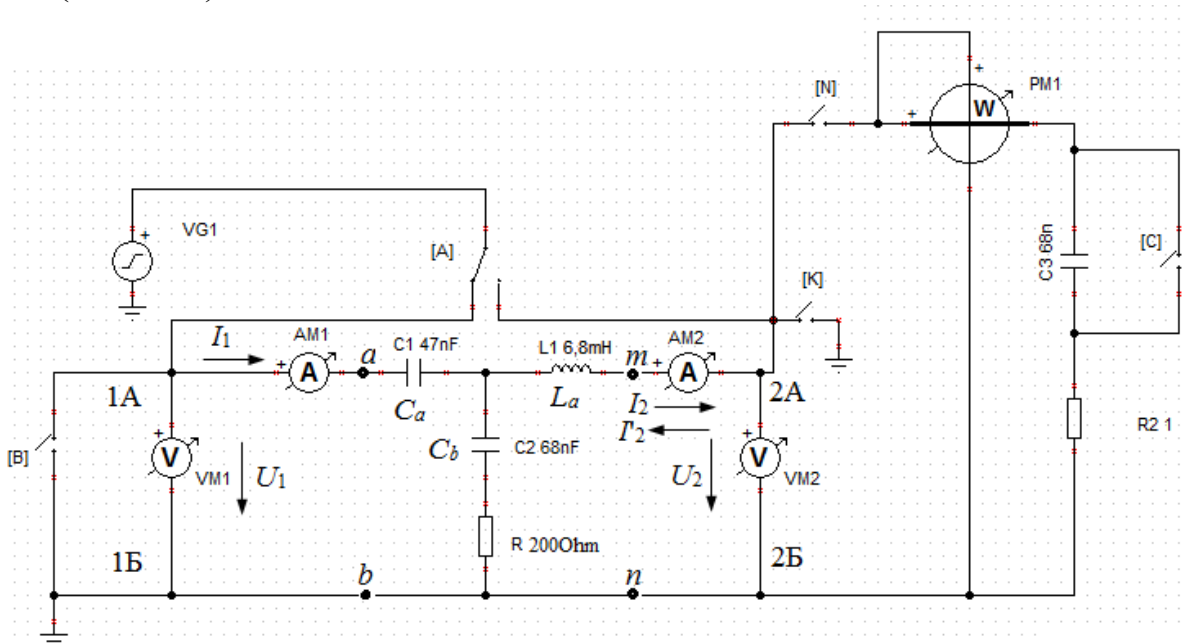


Рис. 4.4. Схема компьютерного моделирования четырехполюсника

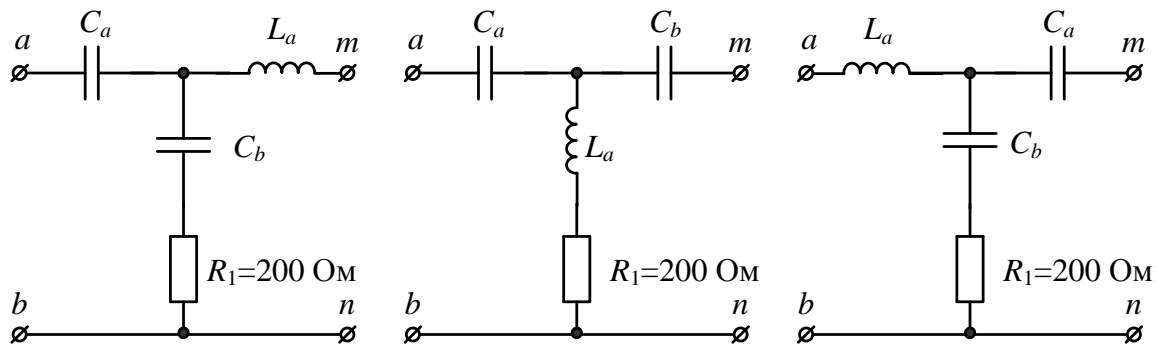


Рис. 4.5. Пример схемы четырехполюсника

### Лабораторное задание

1. Собрать схему рис. 4.4. В генераторе VG1 напряжения установить синусоидальный сигнал с амплитудой 1 В и частотой 1 кГц. Сигнал генератора ключом А подать на клемму 1А. Ключи В, К, С разомкнуть, ключ N замкнуть. Установить сопротивление нагрузки  $R_2=1$  Ом. Исследовать АЧХ напряжения на конденсаторе нагрузки  $C_3$ . Для этого в меню выбрать *Analysis-AC Analysis - AC Transfer Characteristic*. Установить *Start frequency 1k*, *End frequency 20k* и получить график АЧХ в линейных масштабах по

осям (рис. 4.6). Увеличив масштаб по оси частот от 8 до 10 кГц, найдем резонансную частоту четырехполюсника  $f_p=9,75$  кГц. Дальнейшие измерения надо проводить на частоте  $f_p$ .

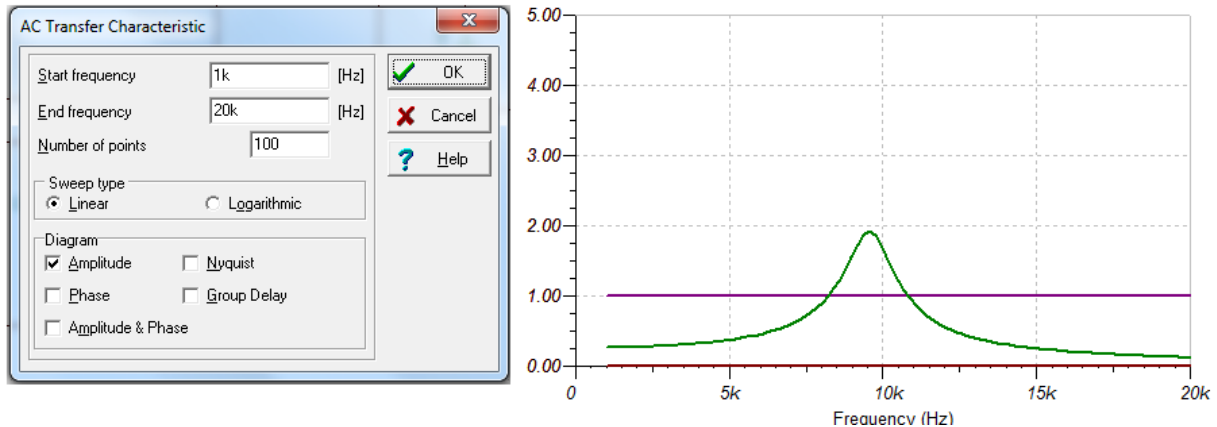


Рис. 4.6. Исследование АЧХ четырехполюсника

На резонансной частоте в режиме *Analysis-AC Analysis – Table of AC results* измерить и записать напряжение на конденсаторе нагрузки  $C_3$  и ток в нагрузке, измеренный амперметром АМ2. Рассчитать реактивное сопротивление конденсатора нагрузки  $X_{C3}$ .

Опыты холостого хода и короткого замыкания

2. Провести опыт прямого холостого хода. Для этого в схеме рис. 4.4 ключом А подать сигнал на клемму 1А, ключи В, К, N разомкнуть (рис. 4.7). В режиме *Analysis-AC Analysis – Table of AC results* определить ток  $\underline{I}_1$ , и напряжение  $\underline{U}_1$ . Обратите внимание, что в таблице результатов прямого опыта холостого хода XX1 измерен ток в генераторе напряжения  $I\_VG1[1,)]$ , направленный от узла 1 к узлу 0, т.е. противоположно току  $\underline{I}_1$ . Поэтому к фазе тока  $I\_VG1[1,)]$  надо прибавить  $180^\circ$ . В результате получим  $\underline{I}_1 = 1,61e^{+j71,2^\circ}$ . Напряжение  $\underline{U}_1$  равно напряжению в первом узле VP\_1 и составляет 1 В. Сдвиг фаз между током и напряжением  $\varphi = \varphi_U - \varphi_I = -71,2^\circ$ .

Результаты измерений записать в таблицу 4.1 (прямой опыт XX1).

По этим данным можно подсчитать  $\underline{Z}_{1X}$ :

$$Z_{1BX} = \frac{U_1}{I_1}; R_{1X} = Z_{1BX} \cdot \cos \varphi_{1X}; X_{1X} = Z_{1BX} \cdot \sin \varphi_{1X}.$$



$$Z_{1X} = \sqrt{R_{1X}^2 + X_{1X}^2}, \varphi_{1X} = \arctg \frac{X_{1X}}{R_{1X}}, \underline{Z}_{1X} = Z_{1X} \cdot e^{j\varphi_{1X}}.$$

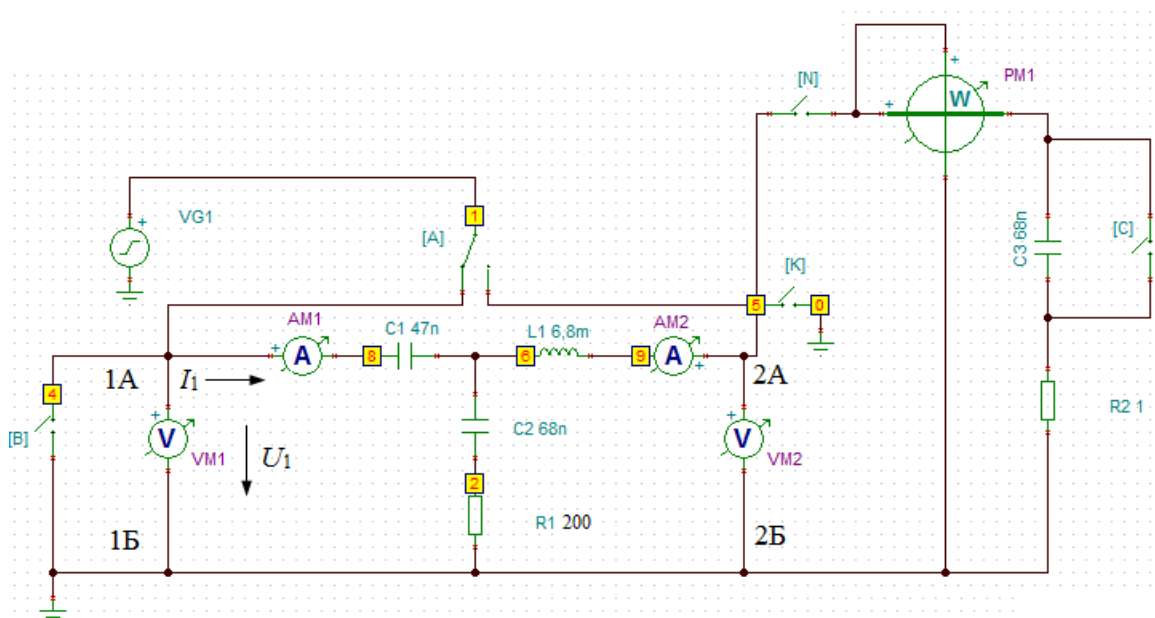


Рис. 4.7. Прямой опыт холостого хода XX1

Voltages/Currents	
I_L1[6.9]	679,26pA / 52,83°
I_R1[0.2]	1,61mA / -108,8°
I_R2[0.3]	503,56pA / -159°
I_VG1[1.0]	1,61mA / -108,8°
VP_1	1000mV / 3,18°
VP_10	120,88mV / -68,77°
VP_2	322,33mV / 71,2°
VP_3	503,56pV / 21°
VP_4	1000mV / 4,4°
VP_5	503,56mV / 21°
VP_6	503,56mV / 21°
VP_7	120,88mV / -68,77°
VP_8	1000mV / 9,76E-16°
VP_9	503,56mV / 21°
Show <input checked="" type="checkbox"/> Nodal Voltages <input type="checkbox"/> Other Voltages <input checked="" type="checkbox"/> Currents <input type="checkbox"/> Outputs	
<div> <div>Cancel</div> <div>Help</div> <div></div> </div>	

Рис. 4.8. Таблица результатов прямого опыта XX1

3. Замкнуть ключ К. Повторить измерения по п.2. Записать результаты в таблицу 4.1 (прямой опыт К31). Рассчитать  $Z_{1K}$ .

4. В компьютерной схеме рис. 4.4 разомкнуть ключ К. Ключом А подать сигнал на клемму 2А, измерить и записать в таблицу 4.1 напряжение  $U_2$ , ток  $I'_2$  и сдвиг фаз  $\varphi$  (опыт обратного холостого хода ХХ2). Рассчитать  $Z_{2X}$ .

5. Замкнуть ключ В. Повторить измерения по п.4. Записать результаты в таблицу 4.1 (обратный опыт КЗ2). Рассчитать  $Z_{2K}$ .

Таблица 4.1

Наименование опыта	$U_1$	$U_2$	$I_1$	$I'_2$	$\varphi$	$Z$
Прямой опыт ХХ						$Z_{1X} =$
Прямой опыт КЗ						$Z_{1K} =$
Обратный опыт ХХ						$Z_{2X} =$
Обратный опыт КЗ						$Z_{2K} =$

6. По данным опытов 2-5 проверить выполнение соотношения:

$$\frac{Z_{1K}}{Z_{1X}} = \frac{Z_{2K}}{Z_{2X}}.$$

Испытание четырехполюсника под нагрузкой

7. В компьютерной схеме рис. 4.4 ключом А подать сигнал на зажим 1А, ключ N замкнуть, ключи В, К и С разомкнуть.

Сопротивление нагрузки  $R_2$  изменять в пределах от 10 Ом до 200 Ом и в режиме *Analysis-AC Analysis – Table of AC results* измерять мощность в нагрузке ваттметром. Результаты записать в таблицу 4.2. Найти оптимальное значение нагрузки  $R_{2\text{опт}}$ , соответствующее максимальной мощности, выделяемой в нагрузке.

Таблица 4.2

СН вкл	$R_2$ , Ом	10				200
	$P_2$ , мВт					
СН выкл	$R_2$ , Ом					
	$P_2$ , мВт					

8. Замкнуть ключ С и закоротить конденсатор нагрузки. Повторить измерения мощности по п. 7. Результаты записать в

таблицу 4.2. Для оптимальной нагрузки записать комплексные значения напряжения и тока на входе и выходе четырехполюсника.

9. Установить оптимальное значение активной нагрузки  $R_{2\text{опт}}$ , соответствующее максимальной активной мощности. Изменяя в небольших пределах частоту генератора, убедиться в снижении мощности  $P_2$  при отклонении частоты от резонансной и нарушении согласования реактивных сопротивлений.

#### Определение оптимального сопротивления комплексной нагрузки

9. По данным опытов 1 и 7 записать оптимальное сопротивление комплексной нагрузки:  $\underline{Z}_{\text{ном}} = R_{2\text{ном}} - jX_{C3}$ .

10. Используя результаты из Таблицы 1, проверить условие согласование комплексной нагрузки и измерительного сопротивления с четырехполюсником:  $\underline{Z}_{\text{ном}} = \underline{Z}_{2K}^*$

#### Исследование передаточной функции четырёхполюсника

11. В компьютерной схеме рис. 4.4 к выходу четырехполюсника m-n подключить нагрузку  $R_2$  без конденсатора. Изменяя сопротивление нагрузки от нуля до 200 Ом, измерить в режиме Analysis-AC Analysis – Table of AC results напряжения на  $U_1$ ,  $U_2$  и разность фаз  $\varphi$ .

Таблица 4.3

$R_2$	$U_1$	$U_2$	$\varphi$	$K_{21}$
0				
$R_{\text{max}}$				
Режим XX				

Провести измерения также для режима холостого хода, отключив сопротивление нагрузки. Вычислить комплексную

передаточную функцию по напряжению:  $\underline{K}_{21} = \frac{U_2}{U_1} \exp(j\varphi)$ .

Результаты записать в таблицу 4.3.

### Домашнее задание

1. По данным таблицы 4.1 рассчитать коэффициенты формы  $A$  и заданной преподавателем формы уравнений четырехполюсника и сделать проверку правильности расчетов.

2. Используя  $A$ -параметры, рассчитать сопротивление нагрузки, при котором в ней выделяется наибольшая мощность. Сравнить с полученным экспериментально.

3. Построить графики зависимостей  $K_{21}$  и  $\varphi$  от величины сопротивления нагрузки  $R_2$ .

4. Используя  $A$ -параметры, рассчитать теоретические зависимости  $K_{21}$  и  $\varphi$  от величины сопротивления нагрузки  $R_2$ . Построить графики и сравнить с экспериментом.

5. Используя  $A$ -параметры и результаты измерений п.8, рассчитать напряжение и ток на входе четырехполюсника. Сравнить с опытным значением.

6. Рассчитать и нарисовать  $T$  и  $\Pi$  - образные схемы замещения исследованного четырехполюсника.

7. Рассчитать характеристические сопротивления четырехполюсника и характеристическую постоянную передачи. Рассчитать напряжение и ток на выходе четырехполюсника в согласованном режиме, если на входе действует напряжение, заданное в экспериментах.

## Глава 5. ПЕРЕХОДНЫЕ ПРОЦЕССЫ В ЛИНЕЙНЫХ ЭЛЕКТРИЧЕСКИХ ЦЕПЯХ

### 5.1. Законы коммутации

*Переходным процессом называется неустановившийся, нестационарный процесс, возникший при переходе из одного режима работы к другому.* Всякие изменения и переключения в схеме называют коммутацией. В схеме рис. 5.1 в момент  $t=0$  происходит коммутация (в данном случае замыкание ключа). Режим работы цепи изменяется и возникает переходный процесс.

Считается, что коммутация происходит мгновенно в момент времени  $t = 0$ . Момент времени, предшествующий коммутации, обозначен  $t = 0_-$ . Момент времени, следующий сразу после коммутации, обозначен  $t = 0_+$ . Примем следующие значения параметров цепи:  $E = 120 \text{ В}$ ,  $L = 10 \text{ мГн}$ ,  $C = 68 \text{ нФ}$ ,  $R_1 = R_2 = 1 \text{ кОм}$ .

До коммутации в момент  $t = 0_-$  ток в индуктивности  $i_1(0_-) = \frac{E}{R_1 + R_2}$ . В индуктивности накоплена магнитная энергия  $W_M(0_-) = \frac{L \cdot i_1^2(0_-)}{2}$ .

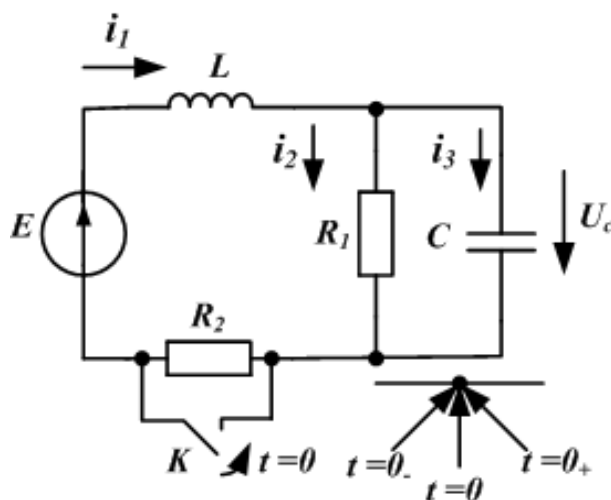


Рис. 5.1. Схема цепи с коммутирующим ключом  $K$

Энергия не может измениться мгновенно, так как мощность всегда ограничена ( $P(t) = \frac{dW}{dt} \neq \infty$ ). Поэтому в электрических цепях с постоянной индуктивностью действует

Первый закон коммутации:

*Ток в индуктивности до коммутации равен току в индуктивности в начальный момент после коммутации:*

$$i_L(0_-) = i_L(0_+).$$

Если при коммутации изменяется индуктивность, действует обобщенный первый закон коммутации для потокосцепления:

$$\Psi(0_-) = \Psi(0_+)$$

До коммутации в момент  $t = 0_-$  напряжение на емкости  $u_C(0_-) = \frac{E \cdot R_1}{R_1 + R_2}$ . На емкости накоплена электрическая энергия

$$W_{\mathcal{E}}(0_-) = \frac{C \cdot u_C^2(0_-)}{2}.$$

Электрическая энергия также не может изменяться мгновенно. Поэтому в электрической цепи с постоянной емкостью действует

Второй закон коммутации:

*Напряжение на емкости до коммутации равно напряжению на емкости в начальный момент после коммутации:*

$$u_C(0_-) = u_C(0_+).$$

Расчет переходных процессов основан на использовании первого и второго закона коммутации.

Если при коммутации изменяется емкость, действует *обобщенный второй закон коммутации для зарядов*:

$$q(0_-) = q(0_+).$$

Токи в индуктивностях и напряжения на емкостях не изменяются во время коммутации, определяют запас энергии в цепи и называются *независимыми начальными условиями*.

Переходные процессы в линейных электрических цепях описываются линейными дифференциальными уравнениями. Для цепи, показанной на рис. 5.1 систему дифференциальных уравнений составим по законам Кирхгофа:

$$i_1 = i_2 + i_3 \quad (5.1); \quad i_2 = \frac{u_C}{R_1} \quad (5.2); \quad i_3 = C \frac{du_C}{dt} \quad (5.3);$$

$$L \frac{di_1}{dt} + u_C = E \quad (5.4)$$

Используя уравнения (5.1)-(5.3), преобразуем (5.4) к виду:

$$\frac{d^2 u_C}{dt^2} + \frac{1}{CR_1} \cdot \frac{du_C}{dt} + \frac{1}{LC} u_C = \frac{E}{LC} \quad (5.5)$$

Получили линейное, однородное дифференциальное урав-

нение второго порядка. Расчет переходных процессов в линейной электрической цепи можно выполнить несколькими методами.

## 5.2. Классический метод расчета переходных процессов

В классическом методе переходное напряжение или ток ищут как сумму свободной и принужденной составляющей. Принужденную составляющую находят расчетом послекоммутационной цепи в установившемся принужденном режиме, когда после коммутации прошло много времени. Свободную составляющую ищут как общее решение однородного дифференциального уравнения при нулевом внешнем воздействии в виде:

$$u_{C\kappa\theta}(t) = A_1 \cdot e^{p_1 t} + A_2 \cdot e^{p_2 t} + \dots \quad (5.6)$$

где  $p_1, p_2, \dots$  - корни характеристического уравнения,  $A_1, A_2, \dots$  - неизвестные постоянные интегрирования. Число корней характеристического уравнения и число неизвестных постоянных интегрирования равно порядку цепи, который определяется числом независимых накопительных реактивных элементов.

Для линейных цепей первого порядка характеристическое уравнение имеет один корень и свободная составляющая переходного процесса выражается одной экспоненциальной функцией из (5.6):

$$u_{C\kappa\theta}(t) = A_1 \cdot e^{p_1 t} \quad (5.7)$$

Постоянной времени цепи первого порядка называют  $\tau = \frac{1}{|p_1|}$ . При этом  $u_{C\kappa\theta}(t) = A_1 \cdot e^{-\frac{t}{\tau}}$ .

Для линейных цепей второго порядка, которым соответствуют дифференциальные уравнения вида (5.5), характеристическое уравнение имеет следующий вид:

$$Z(p) = p^2 + 2\delta p + \omega_0^2 = 0 \quad (5.8)$$

Если  $\delta > \omega_0$ , корни характеристического уравнения отрицательные и разные. Переходный процесс описывается двумя затухающими экспонентами и называется аperiодическим.

Если  $\delta < \omega_0$ , корни характеристического уравнения будут комплексно-сопряженными с отрицательной действительной частью. Переходный процесс имеет вид затухающих колебаний и

называется колебательным.

Применим классический метод для теоретического анализа переходных процессов, которые будут исследоваться экспериментально в лабораторной работе.

**Пример №19.** В схеме  $RL$  – цепи (рис. 5.2) ключ  $K$  замыкается в момент  $t=0$ . Найти ток в индуктивности и напряжение на индуктивности после коммутации. Параметры цепи:  $E=12\text{В}$ ,  $L=1\text{мГн}$ ,  $R_1=R_2=R_3=2\text{ Ом}$ .

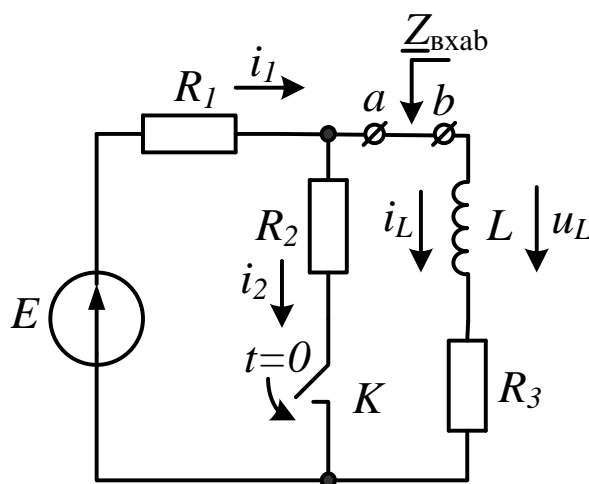


Рис. 5.2. Переходной процесс в  $RL$  – цепи

Последовательность расчета переходного процесса классическим методом

1. Расчет режима до коммутации ( $t = 0_-$ ), определение независимых начальных условий. Ток в индуктивности до коммутации  $i_L(0_-) = E / (R_1 + R_3) = 3\text{А} = i_L(0_+)$ , так как на постоянном токе индуктивность имеет нулевое сопротивление.

2. Расчет принужденного режима ( $t \rightarrow \infty$ ) после замыкания ключа и окончания переходного процесса:

$$i_1 = \frac{E}{R_1 + \frac{R_2 R_3}{R_2 + R_3}} = 4\text{А}$$

По правилу деления токов находим принужденный ток в индуктивности:



$$i_{Lnp} = \frac{i_1 R_2}{R_2 + R_3} = 2A.$$

3. Составляем характеристическое уравнение. Для этого в послекоммутационной схеме разомкнем ветвь с индуктивностью между точками  $ab$  и найдем комплексное входное сопротивление:

$$\underline{Z}(j\omega) = j\omega L + R_3 + \frac{R_1 R_2}{R_1 + R_2}.$$

Заменяем  $j\omega$  на  $p$  и получим характеристическое уравнение:

$$pL + R_3 + \frac{R_1 R_2}{R_1 + R_2} = 0.$$

Корень характеристического уравнения  $p_1 = -3 \frac{1}{c}$ .

4. Свободную составляющую тока в индуктивности ищем в виде:  $i_{Lcв}(t) = Ae^{p_1 t}$ . Неизвестная постоянная интегрирования  $A = i_L(0_+) - i_{Lnp} = 1A$ .

5. Находим полный ток в индуктивности как сумму принужденной и свободной составляющей:

$$i_L(t) = i_{Lnp} + i_{Lcв}(t) = 2 + 1e^{-3t} A.$$

6. Находим напряжение на индуктивности:

$$u_L(t) = L \frac{di_L}{dt} = -3e^{-3t} B.$$

**Пример №20.** Выполнить компьютерное моделирование  $RL$ - цепи. Схема модели показана на рис. 5.3.

В модели использован управляемый по времени ключ  $SW1$ . Для того, чтобы наблюдать докоммутационный режим, момент замыкания ключа примем равным  $t_{On}=10$  с. Момент последующего размыкания  $t_{Off}=20$  с (Рис. 5.4). Режим неперiodический. Формально требуется заполнить все данные в окне установки.

Теперь в главном меню выбираем *Analysis-Transient*. Устанавливаем параметры анализа и отображения переходного процесса. Начало отображения 9 с, конец отображения 12 с. Используем начальные условия (рис. 5.5).

Графики переходных процессов  $i_3(t)$  и  $u_L(t)$  отображаются в окне результатов (рис. 5.6) и совпадают с расчетными функциями.

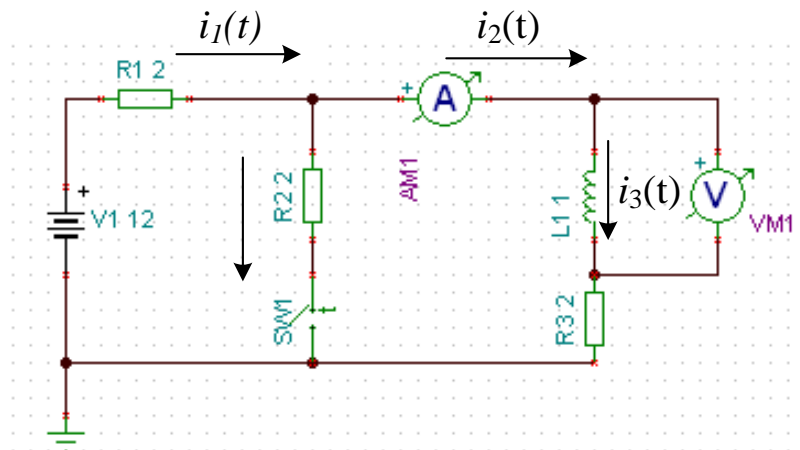


Рис. 5.3. Схема моделирования  $RL$ -цепи

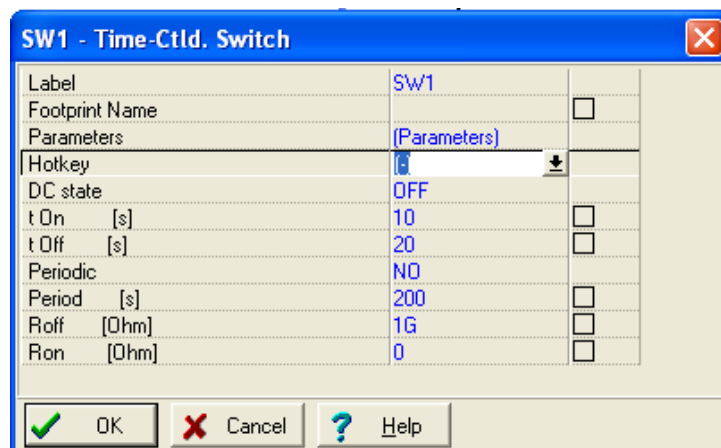


Рис. 5.4. Установка параметров ключа

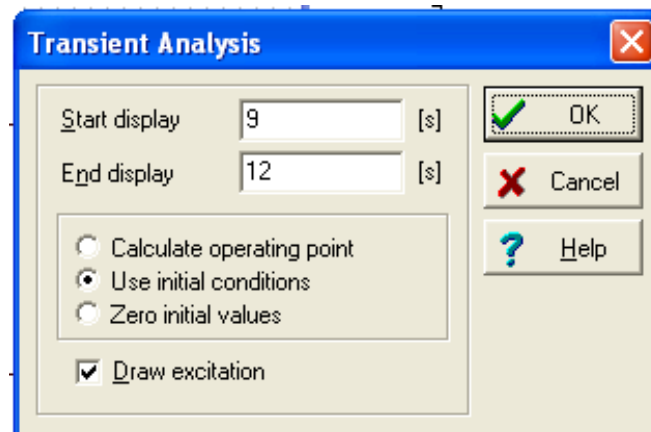


Рис. 5.5. Установка параметров переходного анализа

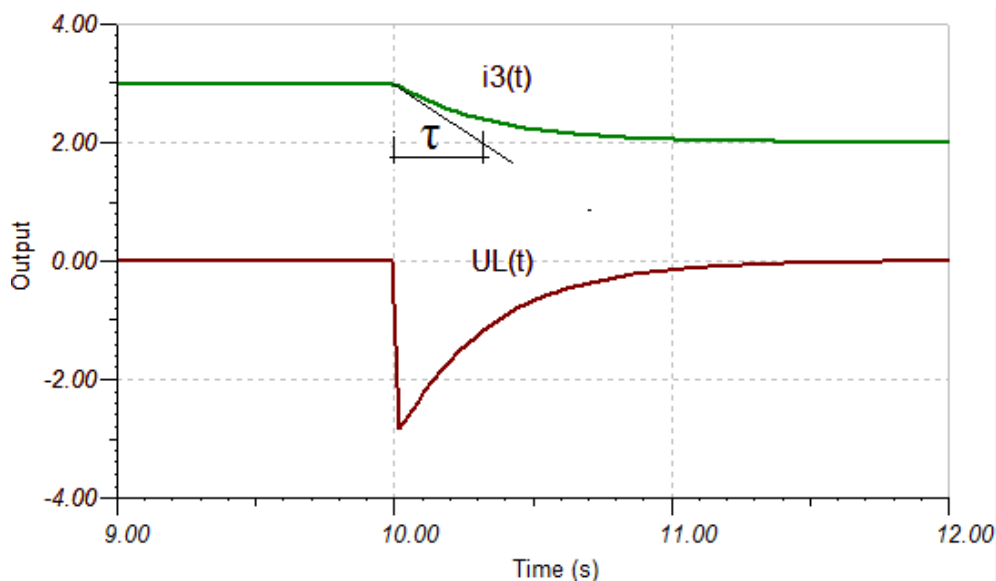
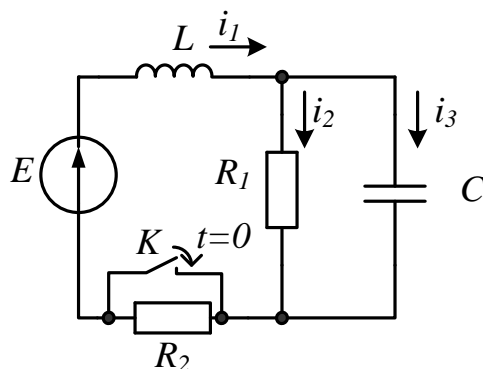


Рис. 5.6. Графики переходных процессов

По графику  $i_3(t)$  определим постоянную времени цепи. Для этого из начала переходного процесса  $i_3(10)$  проведем касательную. На пересечении с линией установившегося режима  $i_3=2\text{A}$  получим отрезок  $\tau = 1/3C$ .

### 5.3. Операторный метод расчета переходных процессов

**Пример №21.** Схема  $RLC$ -цепи задана на рис. 4.7.  $L=4/3\text{ Гн}$ ,  $C=1/16\text{ Ф}$ ,  $R_1=2\text{ Ом}$ ,  $R_2=2\text{ Ом}$ ,  $E=12\text{ В}$ . Найти напряжение на емкости после коммутации операторным методом.

Рис. 5.7. Схема  $RLC$ -цепи

Последовательность расчета переходного процесса операторным методом

1. Расчет режима до коммутации, определение независимых начальных условий.

До коммутации ток через емкость не проходит ( $i_3=0$ ). Ток в индуктивности

$$i_L(0_-) = i_1(0_-) = i_2(0_-) = \frac{E}{R_1 + R_2} = 3A.$$

Напряжение на емкости  $U_C(0_-) = 6B$ .

2. Составляем операторную схему замещения с внутренними источниками ЭДС, учитывающими начальные условия для тока в индуктивности и напряжения на емкости (рис. 5.8). Внутренний источник ЭДС  $Li(0)$  направлен согласно току. Внутренний источник ЭДС  $U_C(0)/p$  направлен встречно току.

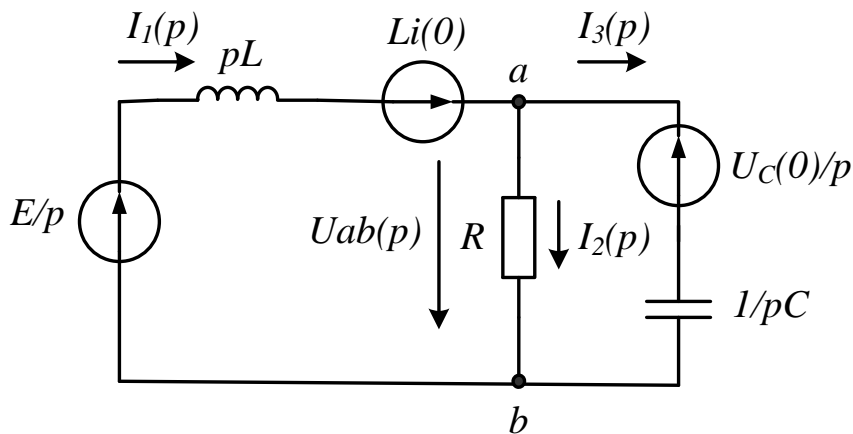


Рис. 5.8. Операторная схема замещения цепи

3. Расчет изображений токов и напряжений в операторной схеме замещения. Вычислим напряжение  $U_{ab}(p)$  методом двух узлов:

$$\begin{aligned}
 U_{ab}(P) &= \frac{\frac{E}{p} + Li(0)}{\frac{1}{pL} + \frac{1}{R_1} + pC} + \frac{\frac{U_C(0) \cdot pC}{p}}{p} = \frac{\frac{\frac{12}{p} + \frac{4}{3} \cdot 3}{\frac{4}{3}p} + 6 \cdot \frac{1}{16}}{\frac{1}{\frac{4}{3}p} + \frac{1}{2} + \frac{p}{16}} \\
 &= \frac{6p^2 + 48p + 144}{p(p^2 + 8p + 12)} = \frac{A(p)}{B(p)}.
 \end{aligned}$$

4. Вычислим оригинал напряжения  $U_{ab}(t)$  по теореме разложения. Для этого:

находим корни знаменателя

$$B(p) = p(p^2 + 8p + 12) = 0;$$

$$p_1 = 0, p_2 = -2 \frac{1}{c}, p_3 = -6 \frac{1}{c};$$

находим производную знаменателя

$$B'(p) = 3p^2 + 16p + 12;$$

вычисляем

$$\frac{A(p_1)}{B'(p_1)} = 12, \frac{A(p_2)}{B'(p_2)} = -9, \frac{A(p_3)}{B'(p_3)} = 12.$$

Теперь записываем по теореме разложения:

$$u_C(t) = \frac{A(p_1)}{B'(p_1)} e^{p_1 t} + \frac{A(p_2)}{B'(p_2)} e^{p_2 t} + \frac{A(p_3)}{B'(p_3)} e^{p_3 t} =$$

$$= 12 - 9e^{-2t} + 3e^{-6t} B.$$

Построим график переходного процесса, используя Mathcad.

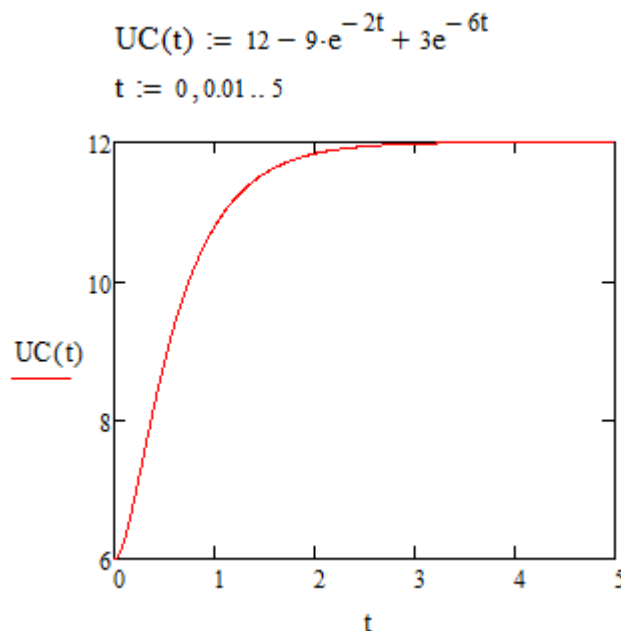


Рис. 5.9. График переходного процесса

**Пример №22.** Схема компьютерного моделирования показана на рис. 5.10. Также как в примере №20 в модели использован

управляемый по времени ключ  $SW1$ . Для того, чтобы наблюдать докоммутационный режим, момент замыкания ключа установлен  $t_{On}=10$  с. Момент последующего размыкания  $t_{Off}=20$  с (Рис. 5.4). Режим неперiodический.

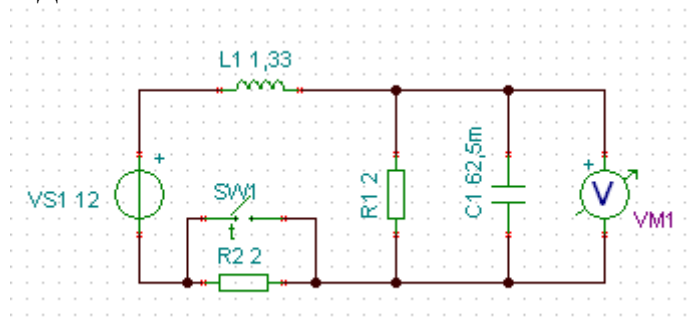


Рис. 5.10. Схема компьютерного моделирования

Теперь в главном меню выбираем *Analysis-Transient*. Устанавливаем параметры анализа и отображения переходного процесса. Начало отображения 9 с, конец отображения 15 с. Используем начальные условия (рис. 5.5). График переходного процесса показан на рис. 5.11. На интервале времени от 10 с до 15 с график совпадает с расчетным (рис. 5.9).

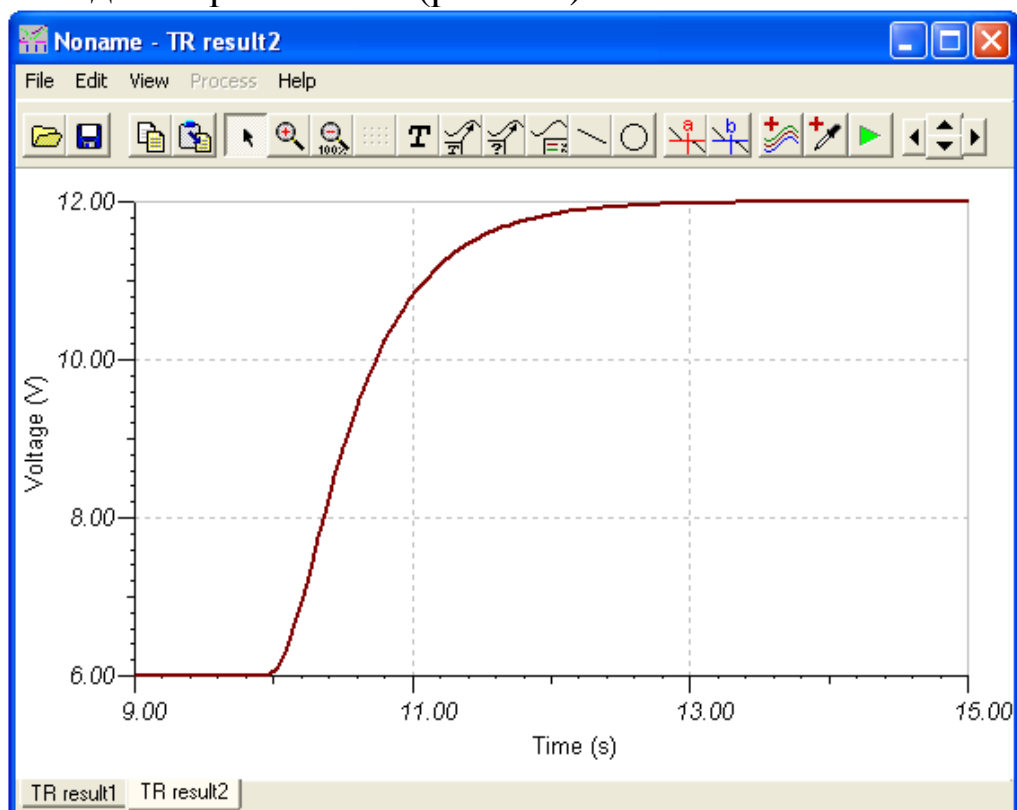


Рис. 5.11. График переходного процесса в компьютерной модели

По графику видно, что переходной процесс в цепи имеет апериодический характер. Переходной процесс будет колебательным, если корни характеристического уравнения станут комплексно-сопряженными. Составим для операторной схемы замещения (рис. 5.8) характеристическое уравнение:

$$\begin{aligned} Z(p) &= pL + \frac{R_1 \frac{1}{pC}}{R_1 + \frac{1}{pC}} = pL + \frac{R_1}{pR_1C + 1} = \\ &= \frac{p^2 R_1 LC + pL + R_1}{pR_1C + 1} = 0. \end{aligned}$$

Приравняем нулю числитель:  $p^2 + \frac{2}{2R_1C}p + \frac{1}{LC} = 0$ . Полу-


чим два корня:  $p_{1,2} = -\frac{1}{2R_1C} \pm \sqrt{\left(\frac{1}{2R_1C}\right)^2 - \frac{1}{LC}}$ . Переходной

процесс колебательный, если подкоренное выражение отрицательное. При переходе от апериодического режима к колебательному имеет место критический режим, в котором.

$p_1 = p_2 = -\frac{1}{2R_1C}, \left(\frac{1}{2R_1C}\right)^2 - \frac{1}{LC} = 0$ . Из последнего уравнения

получим, что в критическом режиме

$$C = \frac{L}{4R^2} = \frac{\frac{4}{3}}{4 \cdot 2^2} = \frac{1}{12} = 83 \text{ мФ}.$$

Проведем многовариантный анализ, в котором емкость  $C$  принимает значения 60 мФ, 80 мФ, 100 мФ, 120 мФ. Для этого кнопкой выбора управляемого объекта  выделяем емкость, в открывшемся окне выбираем Select, устанавливаем начальное и конечное значение емкости и число испытаний (рис. 5.12).

После этого повторяем *Analysis-Transient*. Графики переходных процессов при изменении  $C$  на интервале от 11В до 13 В показаны на рис. 5.13. Видно, что при  $C=100$  мФ график переходного

го режима превышает установившееся значение, т.е. начинается колебательный процесс.

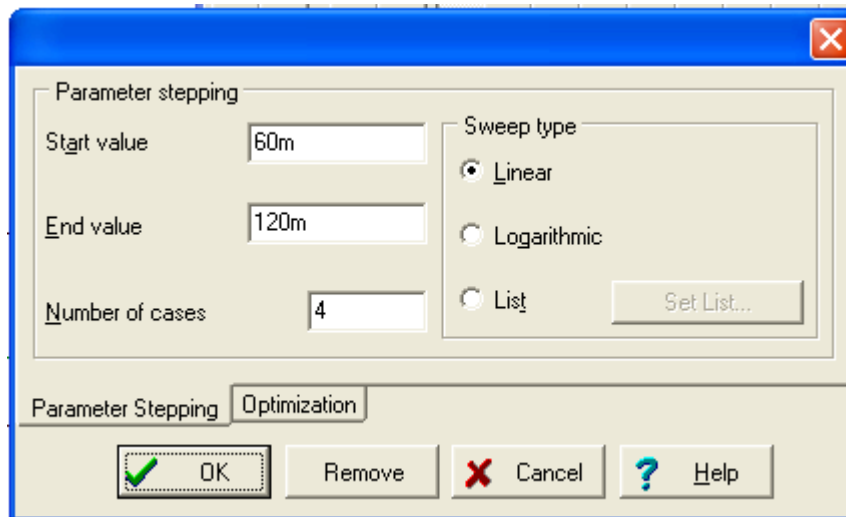


Рис. 5.12. Окно установки многовариантного анализа

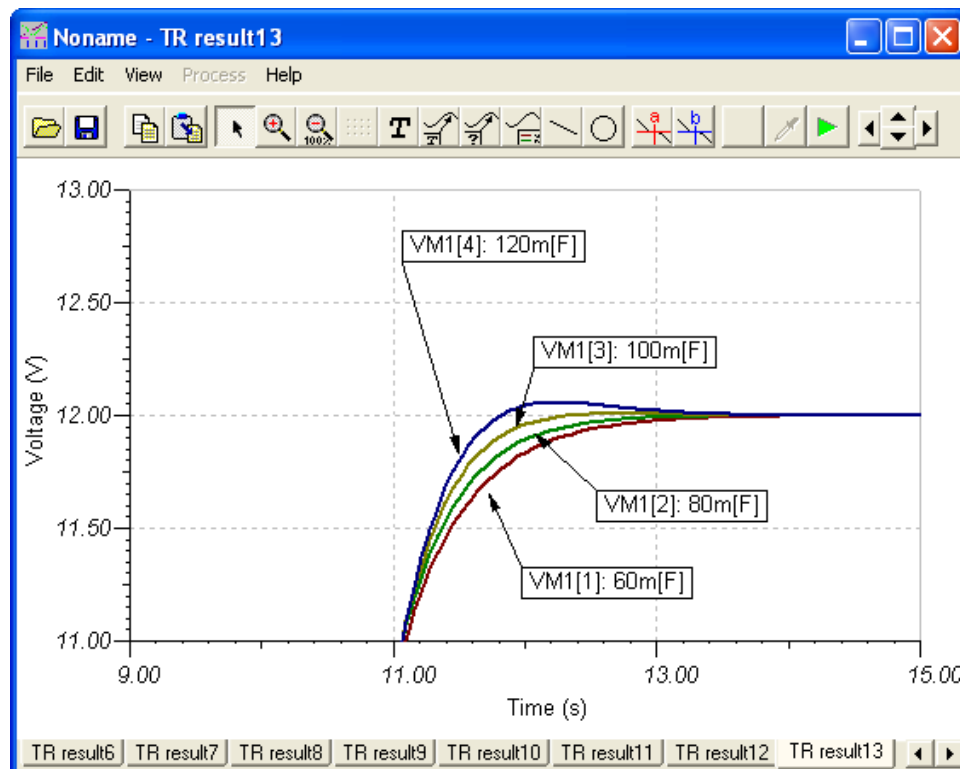


Рис. 5.13. Графики переходных процессов при изменении  $C$ . Критический режим соответствует графику  $C=80$  мФ.

#### 5.4. Включение гармонической ЭДС в $RLC$ -цепь

**Пример №23.** Модель  $RLC$ -цепи показана на рис. 5.14. В момент  $t=10$  с в цепь включается синусоидальный генератор с



амплитудой 1 В. Определить характер переходного процесса в цепи. Рассчитать резонансную частоту вынужденных колебаний в цепи и провести моделирование при частоте генератора  $f_1=0,9f_{\text{рез}}$  и  $f_1=f_{\text{рез}}$ .

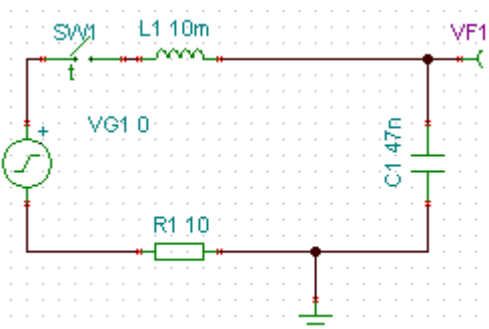


Рис. 5.14. Модель  $RLC$ -цепи

1. Составляем характеристическое уравнение цепи:

$$pL_1 + \frac{1}{pC_1} + R_1 = 0 \text{ или } p^2 + 2\left(\frac{R_1}{2L_1}\right)p + \frac{1}{L_1C_1} = 0 \dots (5.9)$$

Находим корни уравнения:

$$p_{1,2} = -\frac{R_1}{2L_1} \pm \sqrt{\left(\frac{R_1}{2L_1}\right)^2 - \frac{1}{L_1C_1}} \quad (5.10)$$

Из (5.10) найдем значение  $R_{1\text{кр}}$ , при котором подкоренное выражение равно нулю и возникает критический переходной процесс:

$$R_{1\text{кр}} = 2\sqrt{\frac{L_1}{C_1}} \quad (5.11)$$

Подставляем в (5.10) численные значения параметров и, используя Mathcad, находим корни:

$$R1 := 10 \quad L1 := 10^{-2} \quad C1 := 47 \cdot 10^{-9}$$

$$P1 := -\frac{R1}{2 \cdot L1} + \sqrt{\left(\frac{R1}{2 \cdot L1}\right)^2 - \frac{1}{L1 \cdot C1}} = -500 + 4.612i \times 10^4 \text{ 1/c}$$

$$P2 := -\frac{R1}{2 \cdot L1} - \sqrt{\left(\frac{R1}{2 \cdot L1}\right)^2 - \frac{1}{L1 \cdot C1}} = -500 - 4.612i \times 10^4 \text{ 1/c}$$

Корни получились комплексно-сопряженные. Значит, переходный процесс будет иметь колебательный характер. Частота свободных колебаний:

$$f_{св} := \frac{(4.612 \times 10^4)}{2 \cdot \pi} = 7.34 \times 10^3 \text{ Гц}$$

Вычислим резонансную частоту вынужденных колебаний:

$$f_{рез} := \frac{1}{2 \cdot \pi \cdot \sqrt{L1 \cdot C1}} \quad f_{рез} = 7.341 \times 10^3 \text{ Гц}$$

В связи с малыми потерями в контуре резонансная частота вынужденных колебаний практически совпадает с частотой свободных колебаний.

На рис. 5.15 показаны графики переходного процесса, полученные в режиме *Analysis-Transient* на временном интервале от 9 мс до 15 мс при частоте генератора  $f_1=0,9 f_{рез}=6,6$  кГц. Амплитуда переменного напряжения на конденсаторе VF1 имеет вид затухающих биений. Частота биений равна разности частот резонанса и генератора  $f_6=741$  Гц. Такой режим называют режимом биений.

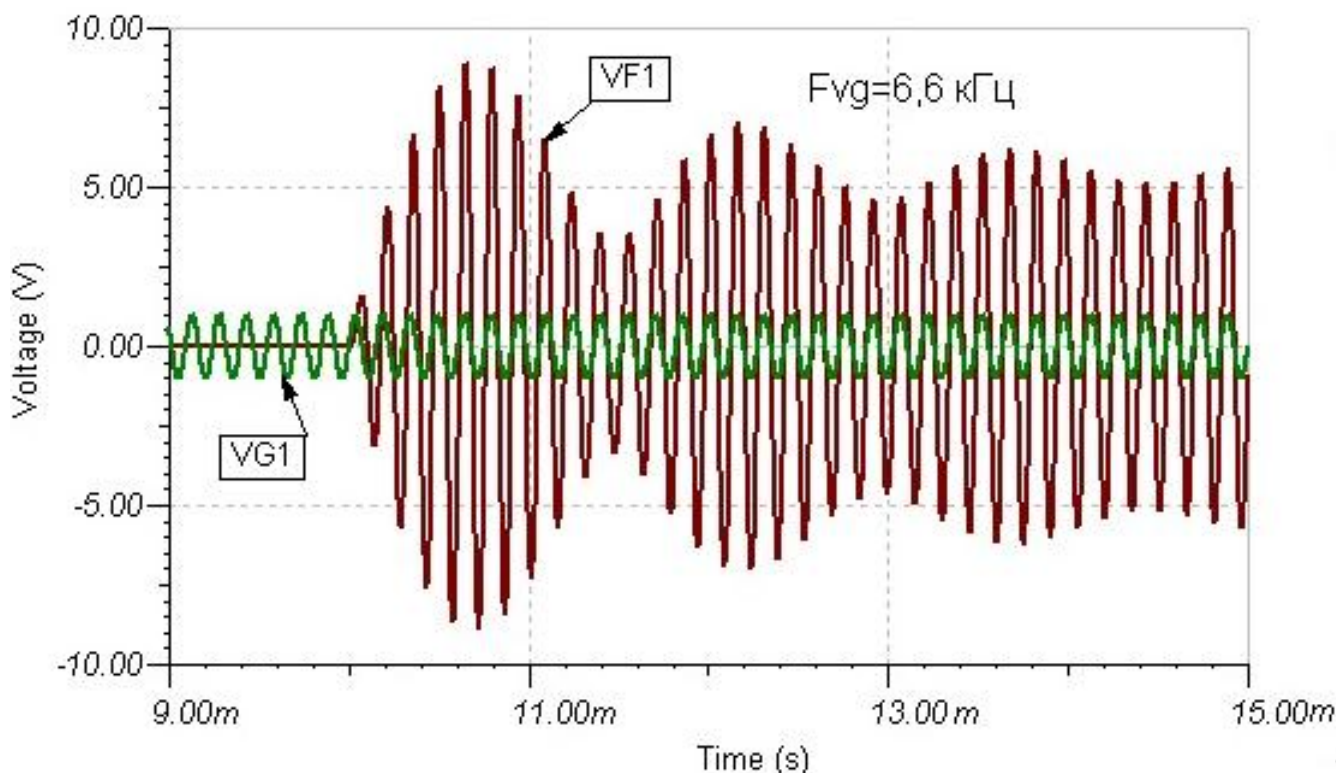


Рис. 5.15. Переходной процесс в режиме биений

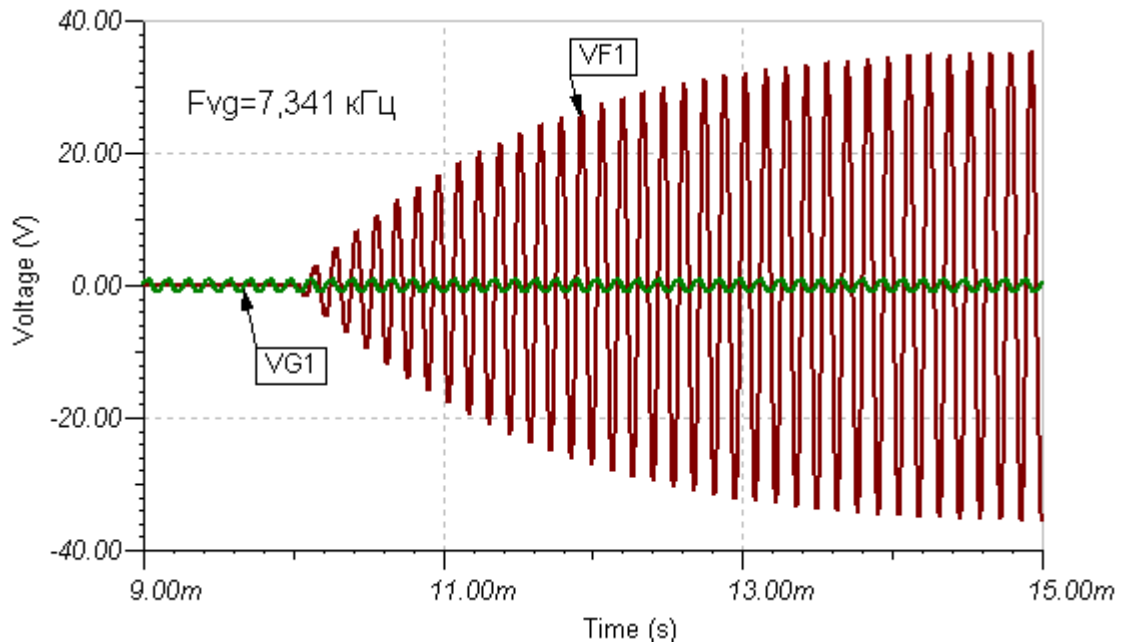


Рис. 5.16. Переходный процесс в режиме изохронизма

Если частота генератора совпадает с резонансной частотой контура, получаем режим изохронизма (рис. 5.16). При этом амплитуда переходных колебаний в контуре монотонно возрастает.

### 5.5. Дифференцирующие и интегрирующие цепи

Дифференцирующей называется цепь, в которой выходная величина пропорциональна производной по времени от входной величины. Простейшей дифференцирующей цепью с использованием элементов  $R$  и  $C$  является схема рис. 5.17, в которой при  $R \ll \frac{1}{\omega C}$ ,  $u_{\text{вых}} = u_R$ . Электрическое интегрирование можно осуществить при помощи схемы рис. 5.18 при условии  $R \gg \frac{1}{\omega C}$ ,  $u_{\text{вых}} = u_C$ .

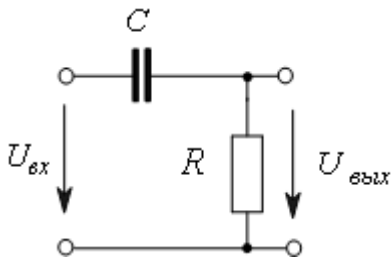


Рис. 5.17 Дифференцирующая RC- цепь

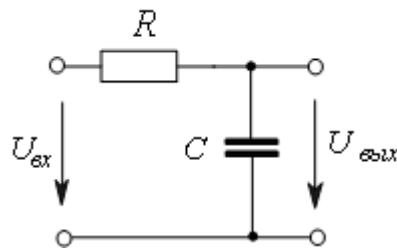


Рис. 5.18. Интегрирующая RC- цепь

Дифференцирующая цепь с использованием элементов  $R$  и  $L$  показана на рис. 5.19 при  $R \gg \omega L$ ,  $u_{\text{вых}} = u_L$ . Электрическое интегрирование можно осуществить также при помощи схемы рис. 5.20 при условии  $R \ll \omega L$ ,  $u_{\text{вых}} = u_R$ .

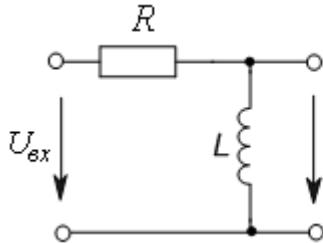


Рис. 5.19. Дифференцирующая  $RL$  - цепь

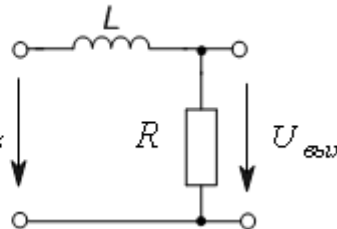


Рис. 5.20. Интегрирующая  $RL$  - цепь

### 5.6. Переходные и импульсные характеристики

Переходная характеристика определяется как отношение реакции цепи на ступенчатое воздействие к величине этого воздействия при нулевых начальных условиях. Переходная характеристика численно совпадает с реакцией цепи на воздействие в виде единичной функции  $I(t)$ . Переходную характеристику  $h(t)$  можно определить, рассчитав переходный процесс и найдя  $u_{\text{вых}}(t)$  при подключении к цепи источника постоянной э. д. с.  $E = 1$  В.

Импульсная характеристика определяется как отношение реакции цепи на бесконечно короткий импульс бесконечно большой высоты и конечной площади к площади этого импульса при нулевых начальных условиях. Импульсная характеристика численно совпадает с реакцией цепи на воздействие в виде дельта-функции  $\delta(t) = \frac{dI(t)}{dt}$ . Взаимосвязь между переходной  $h(t)$  и импульсной  $h_\delta(t)$  характеристиками определяется известными операторными выражениями:

$$h_\delta(t) = h(0) \cdot \delta(t) + h'(t) \Leftrightarrow K(p); h(t) = \int_0^t h_\delta(t) dt \Leftrightarrow H(p) = \frac{K(p)}{p}$$

$$K(p) = \frac{U_{\text{вых}}(p)}{U_{\text{вх}}(p)} - \text{операторная передаточная функция цепи, } H(p) -$$

изображение переходной характеристики.

Подставив в  $K(p)$  вместо  $p$  комплексную частоту  $j\omega$ , получим комплексную частотную характеристику цепи  $\underline{K}(j\omega)$ . Частотные зависимости модуля  $K(\omega)$  и аргумента  $\varphi(\omega)$  называют амплитудно-частотной (АЧХ) и фазо-частотной (ФЧХ) характеристиками цепи.

### **5.7. Вопросы для самопроверки и задания для подготовки к лабораторной работе**

1. Что называют переходными процессами и когда они происходят?
2. Объясните физический смысл первого и второго закона коммутации.
3. Как определить порядок цепи при расчете переходных процессов?
4. Объясните последовательность расчета переходных процессов классическим методом.
5. Объясните последовательность расчета переходных процессов операторным методом.
6. Какой вид имеют переходные процессы в цепях первого порядка?
7. Как изменяется напряжение на каждом из двух элементов при подключении постоянного напряжения  $E$  к цепям  $RC$  и  $RL$ ?
8. Как выглядят графики выходных напряжений при действии прямоугольного импульсного сигнала на входе дифференцирующего и интегрирующего звена?
9. Какой вид могут иметь переходные процессы при подключении постоянного напряжения  $E$  к  $RLC$ -цепи?
10. Что такое переходные и импульсные характеристики цепи?
11. Что такое передаточная функция цепи и как ее найти?
12. Как связаны переходные и импульсные характеристики с передаточной функцией цепи?

### **5.8. Лабораторная работа №5**

#### **Исследование переходных процессов в цепях с сосредоточенными параметрами $R, L, C$**

**Цель работы.** В работе исследуются переходные процессы в

цепях первого порядка  $R,L$  и  $R,C$ , а также в цепи второго порядка  $R,L,C$  при апериодическом и колебательном характерах процесса.

### А. Сборка схемы моделирования

1. Собрать схему измерений рис. 5.21. Наблюдение переходных процессов затруднено их кратковременностью. Поэтому для исследования применяется входной сигнал в виде периодической последовательности прямоугольных импульсов. Схемы исследуемых цепей собираются для каждого задания и включаются между клеммами 1А, 1Б и 2А, 2Б. Номинальные значения сопротивлений, емкостей и индуктивностей устанавливаются в соответствии с заданиями.

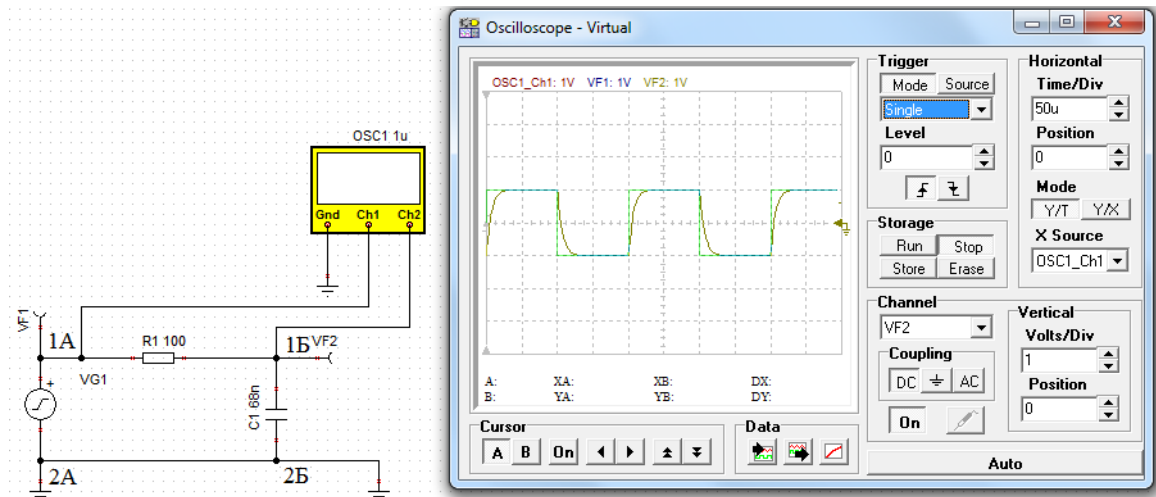


Рис. 5.21. Схема компьютерного моделирования переходных процессов

Установить прямоугольную форму сигнала, частоту генератора 5кГц, амплитуду прямоугольных импульсов 1В.

### Б. Исследование $RC$ -цепи

2. В схеме интегрирующей  $RC$ -цепи рис. 5.21 включить заданную преподавателем емкость и сопротивление  $R_1=100$  Ом. Вход  $RC$ -цепи подключить к клеммам 1А и 1Б генератора сигналов. Выход  $RC$ -цепи подключить к клеммам 2А и 2Б схемы измерений.

3. Длительность развертки осциллографа установить такой, чтобы на экране наблюдались не более двух-трех периодов импульсного сигнала.

4. В интегрирующей  $RC$ -цепи, снимая выходной сигнал с емкости, наблюдать на осциллографе и зарисовать осциллограммы напряжений  $u_{\text{вх}}$  и  $u_{\text{вых}}=u_C(t)$ , соблюдая масштабы напряжения и времени.

5. Выбрать в главном меню режим *Analysis-Transient*, установить время наблюдения от 0 до 500 мкс и получить графики переходного процесса. Измерить по графикам напряжения  $u_C(t)$  постоянные времени  $RC$ -цепи при заряде емкости  $\tau_z$  и разряде емкости  $\tau_p$ .

6. Установить  $R_1=1$  кОм. Повторить исследования по п.п.4,5.

7. Собрать дифференцирующую  $RC$ - цепь (рис. 5.17), включив ту же емкость между клеммами 1А-1Б, а резистор  $R_1$  между клеммами 1Б-2Б. Выходной сигнал снимать с резистора. Получить осциллограммы и графики  $u_{\text{вх}}$  и  $u_{\text{вых}}=u_R(t)$  для значений  $R_1=100$  Ом и  $R_1=1$  кОм. Провести исследования по п.п.4,5.

#### В. Исследование $RL$ -цепи

8. Собрать интегрирующую  $RL$ -цепь по схеме рис. 5.20, используя заданную преподавателем индуктивность и сопротивление  $R_1=100$  Ом. Провести исследования по п.п.4,5, снимая выходной сигнал с сопротивления.

11. Установить  $R_1=1$  кОм. Повторить исследования по п.8.

12. Собрать дифференцирующую  $RL$ -цепь по схеме рис. 5.19, используя заданную преподавателем индуктивность и сопротивление  $R_1=100$  Ом. Провести исследования по п.8, снимая выходной сигнал с индуктивности.

13. Установить  $R_1=1$  кОм. Повторить исследования по п.12.

#### Г. Исследование $RLC$ -цепи

14. Собрать  $RLC$ -цепь (рис. 5.22), используя емкость и индуктивность из предыдущих пунктов исследования. Установить частоту генератора 500 Гц. По формуле (5.11) рассчитать критическое значение сопротивления потерь  $R_{\text{кр}}$ , при котором будет критический переходной процесс.

Сделать  $R_1$  управляемым объектом и установить три значения  $R_{1\text{кр}}-500$  Ом,  $R_{1\text{кр}}$ ,  $R_{1\text{кр}}+500$  Ом. Выбрать режим *Analysis-Transient*, установить *Start display* 2 мс, *End display* 4 мс и полу-

чить графики переходных процессов. Подписать графики и объяснить их форму.

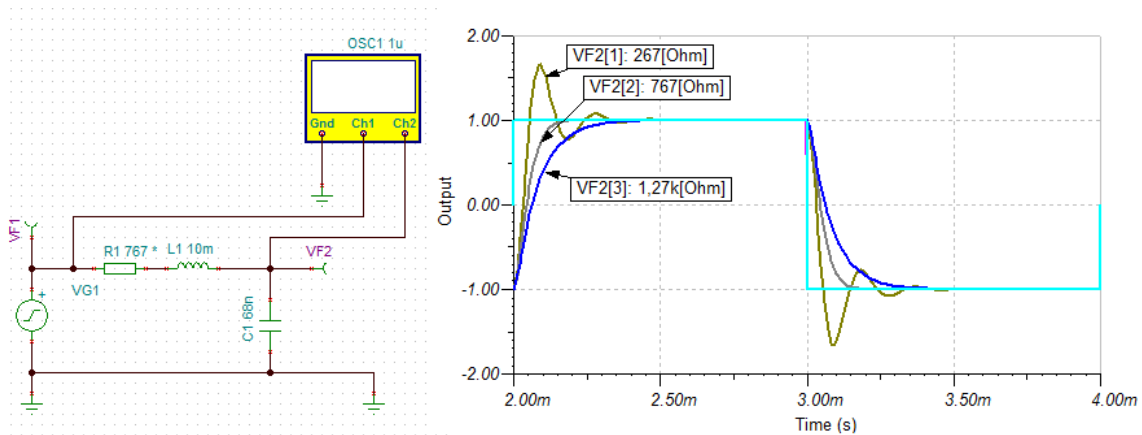


Рис. 5.22. Схема моделирования RLC-цепи

15. Повторить исследования по п. 14, снимая выходной сигнал  $u_R(t)$  с емкости.

16. Повторить исследования по п. 14, снимая выходной сигнал  $u_L(t)$  с индуктивности.

#### Д. Исследование переходных и импульсных характеристик

17. По указанию преподавателя собрать одну из схем рис. 5.17-5.20, исследованных в предыдущих пунктах. Установить в генераторе напряжения форму сигнала в виде единичной функции включения  $1(t)$ , резистор  $R_1=1\text{кОм}$ . Выполнить *Analysis-Transient*, установив *Start display* 0 мС, *End display* 2 мС. Зарисовать график выходного сигнала, соответствующий переходной характеристике цепи (рис. 5.23).

18. Установить в генераторе напряжения форму сигнала в виде одиночного импульса (*Pulse*) с амплитудой 1 В и длительностью 1 мкС, резистор  $R_1=100\text{Ом}$ . Выполнить *Analysis-Transient*, установив *Start display* 0 мкС, *End display* 100 мкС. Удалить из графиков все кривые, кроме выходного сигнала VF2. Установить верхний предел по вертикальной оси 200 мВ. Зарисовать график выходного сигнала  $u_{\text{вых}}(t)$ , соответствующий импульсной характеристике цепи.



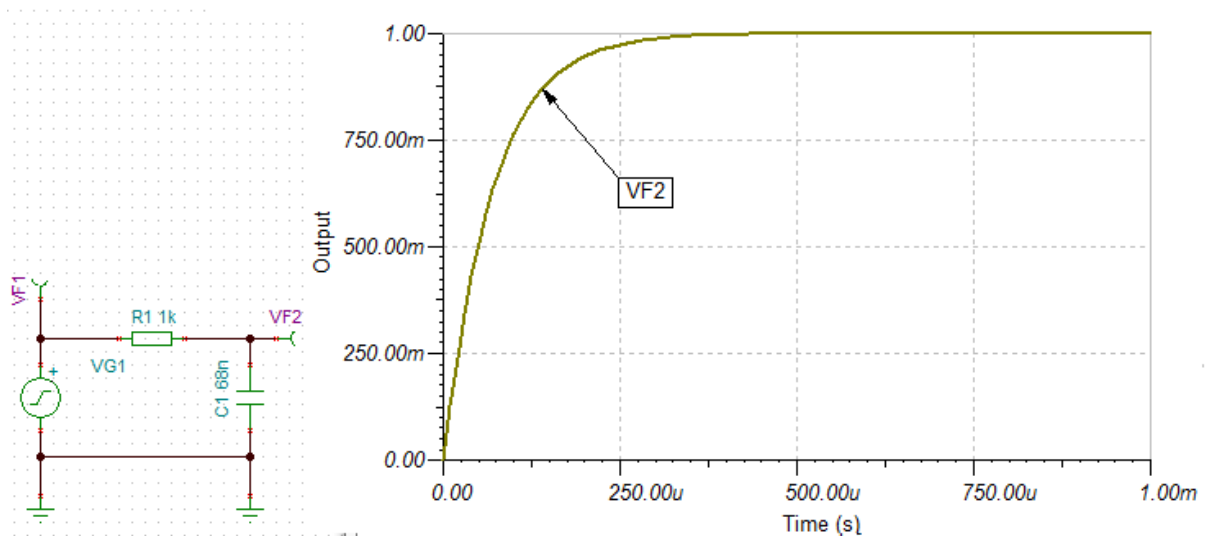


Рис. 5.23. Исследование переходной характеристики

Приближенно импульсная характеристика цепи при действии короткого импульса единичной амплитуды для  $t > t_{\text{имп}}$  определяется соотношением: 
$$h_{\delta}(t) \approx \frac{1}{t_{\text{имп}}} u_{\text{вблх}}(t).$$

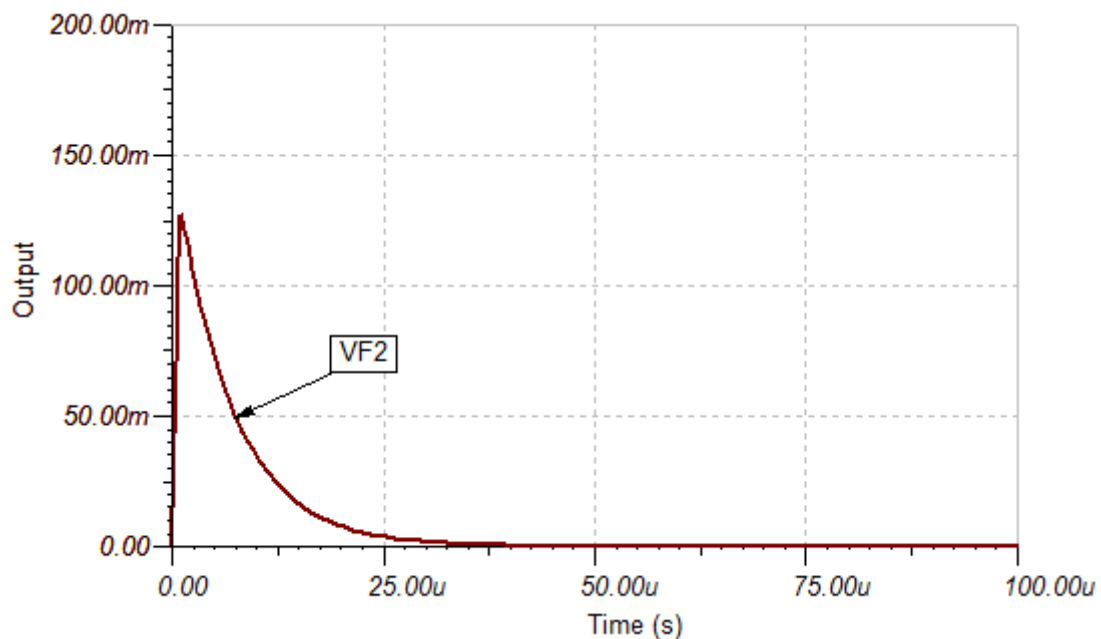


Рис. 5.24. Импульсная характеристика RC-цепи

### Домашнее задание

1. Для всех исследованных цепей первого порядка записать теоретические формулы и рассчитать графики исследованных переходных процессов для значений параметров элементов, использованных в работе. Построить временные диаграммы  $i(t)$ ,

$u_C(t)$ ,  $u_L(t)$  и результаты сравнить с полученными экспериментально осциллограммами.

2. Для цепей первого порядка рассчитать постоянные времени по параметрам цепей и сравнить с полученными экспериментально.

3. Для цепей первого порядка определить условия, при которых эти цепи могут считаться дифференцирующими или интегрирующими.

4. Для цепей второго порядка рассчитать условия возникновения апериодического, критического и колебательного переходного процесса.

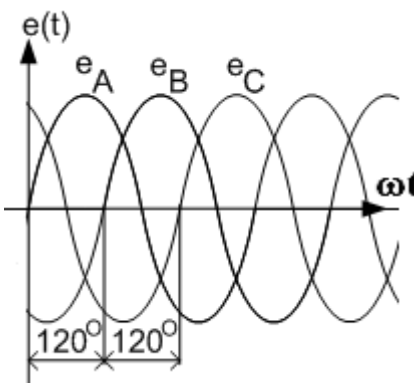
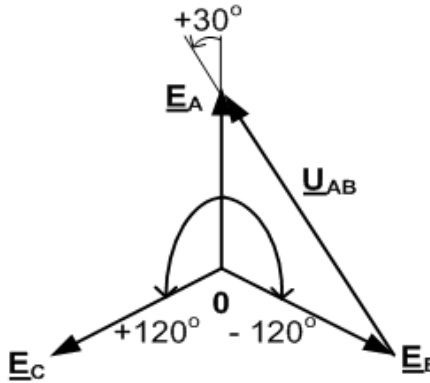
5. Для цепей второго порядка рассчитать период свободных колебаний и коэффициент затухания. Сравнить с полученными экспериментально. Построить графики переходных процессов  $u_C(t)$ ,  $u_L(t)$ ,  $u_R(t)$  для колебательного переходного процесса.

6. Рассчитать теоретически переходные и импульсные характеристики исследованных цепей. Построить теоретические и экспериментальные графики. Сравнить результаты.

## Глава 6. ТРЕХФАЗНЫЕ ЭЛЕКТРИЧЕСКИЕ ЦЕПИ

### 6.1. Краткие теоретические сведения и методы расчета

Трехфазные цепи переменного тока являются основным источником электрической энергии в электрических сетях промышленного и коммунального назначения.

	
<p>Рис. 6.1. Временные диаграммы трехфазной системы ЭДС.</p>	<p>Рис. 6.2. Векторная диаграмма</p>

Трехфазная система ЭДС вырабатывается в трехфазных синхронных генераторах и представляет три ЭДС с равной амплитудой и фазовым сдвигом  $120^\circ$ :

$$e_A = E_m \sin \omega t; e_B = E_m \sin(\omega t - 120^\circ); e_C = E_m \sin(\omega t + 120^\circ).$$

На рис. 6.1 показаны временные диаграммы трехфазных ЭДС. На рис. 6.2 показана векторная диаграмма комплексных действующих ЭДС в трехфазной цепи.

Применяют несколько способов соединения трехфазного источника ЭДС с нагрузками.

### Соединение звезда-звезда

Соединение звезда-звезда показано на рис. 6.3. Трехфазные ЭДС  $\underline{E}_A, \underline{E}_B, \underline{E}_C$  объединены в узле 0. Фазные нагрузки  $\underline{Z}_A, \underline{Z}_B, \underline{Z}_C$  объединены в узле 0'. Провод, соединяющий узлы 00', называют нейтральным проводом. В случае симметричной нагрузки  $\underline{Z}_A = \underline{Z}_B = \underline{Z}_C$  применяют трехпроводное соединение звезда-звезда без нейтрального провода (ключ  $K$  разомкнут).

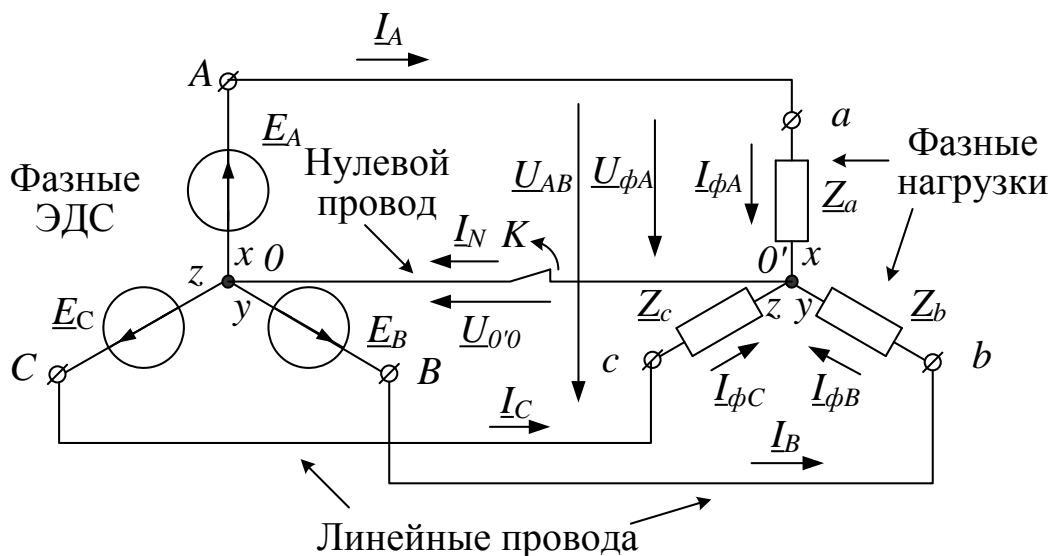


Рис. 6.3. Соединение звезда-звезда

Токи в линейных проводах  $\underline{I}_A, \underline{I}_B, \underline{I}_C$  в схеме рис. 6.3 равны соответственно фазным токам в нагрузках  $\underline{I}_{\phi A}, \underline{I}_{\phi B}, \underline{I}_{\phi C}$ .

При симметричных нагрузках фазные напряжения на нагрузках равны фазным ЭДС, а фазные токи можно вычислить

по формуле:  $\underline{I}_{\phi A} = \frac{\underline{E}_A}{\underline{Z}_A} = \frac{\underline{U}_{\phi A}}{\underline{Z}_A}$ . В этом случае ток в нейтральном проводе  $\underline{I}_N = 0$  и можно применять трехпроводную сеть.

При несимметричных нагрузках и включенном нейтральном проводе фазные токи не равны и возникает ток в нейтральном проводе:  $\underline{I}_N = \underline{I}_{\phi A} + \underline{I}_{\phi B} + \underline{I}_{\phi C}$ .

Если нагрузки несимметричны, а нейтральный провод отсутствует, то между узлами  $0'$  и  $0$  возникает напряжение смещения нейтрали, которое рассчитывают по формуле:

$$\underline{U}_{0'0} = \frac{\underline{E}_A \underline{Y}_A + \underline{E}_B \underline{Y}_B + \underline{E}_C \underline{Y}_C}{\underline{Y}_A + \underline{Y}_B + \underline{Y}_C}, \text{ где } \underline{Y}_A, \underline{Y}_B, \underline{Y}_C - \text{ комплексные}$$

проводимости фазных нагрузок. При этом токи в фазах нагрузки определяются по формулам вида:

$$\underline{I}_{\phi A} = \frac{\underline{E}_A - \underline{U}_{0'0}}{\underline{Z}_A}.$$

Напряжение между линейными проводами называют линейным напряжением. В схеме рис. 6.3 линейное напряжение  $\underline{U}_{AB} = \sqrt{3} \underline{E}_A e^{+j30^\circ}$  (рис. 6.2).

#### Соединение звезда – треугольник

Соединение звезда-треугольник показано на рис. 6.4.

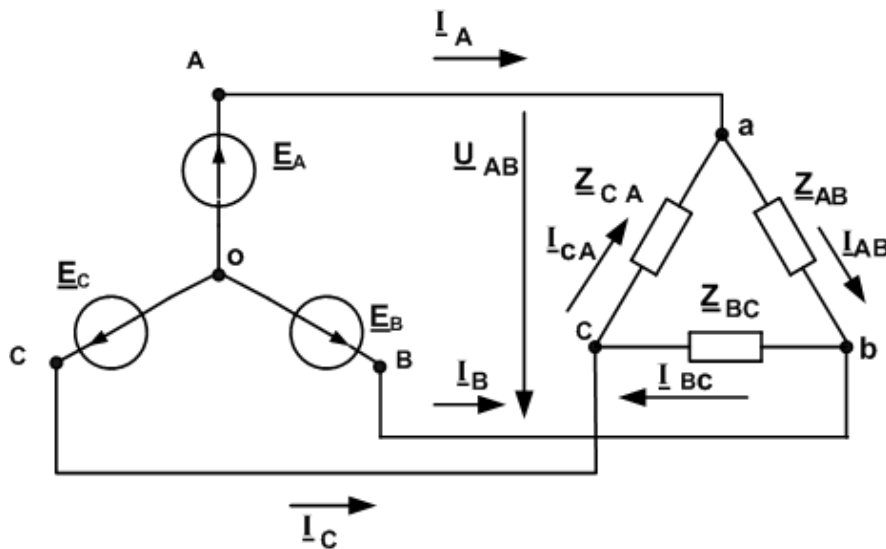


Рис. 6.4. Соединение звезда – треугольник

К фазным нагрузкам приложены равные линейные напряжения  $U_L = \sqrt{3}E$ . Поэтому фазные нагрузки могут быть несимметричными. Фазные токи вычисляют по формуле вида:  $\underline{I}_{AB} = \frac{\underline{U}_{AB}}{\underline{Z}_{AB}}$ . Линейные токи определяем по формулам вида:  $\underline{I}_{AB} = \frac{\underline{U}_{AB}}{\underline{Z}_{AB}}$ .

### Мощность в трехфазной цепи

При любом соединении и любой нагрузке комплексная мощность фазы нагрузки равна:  $\tilde{S} = \underline{U}_\phi \underline{I}_\phi^*$ . Суммарная комплексная мощность трех фаз:  $\tilde{S}_\Sigma = \tilde{S}_A + \tilde{S}_B + \tilde{S}_C$ . Отсюда можно получить выражения для полной активной мощности  $P_\Sigma = P_A + P_B + P_C$  и полной реактивной мощности  $Q_\Sigma = Q_A + Q_B + Q_C$ .

При симметричной нагрузке  $P_A = P_B = P_C = P_\phi$  полная активная мощность  $P_\Sigma = 3U_\phi I_\phi \cos \varphi = \sqrt{3}U_L I_L \cos \varphi$ , где  $\varphi$  – сдвиг фазы фазного тока относительно одноименного фазного напряжения.

### 6.2. Вопросы для самопроверки и подготовки к лабораторной работе

1. Что такое трехфазная система ЭДС?
2. Принцип работы трехфазного машинного генератора.
3. Основные схемы соединения трехфазных цепей.
4. Достоинства и недостатки соединения звезда-звезда с нулевым проводом. Векторные диаграммы токов и напряжений при несимметричной емкостной нагрузке.
5. Достоинства и недостатки соединения звезда-звезда без нулевого провода. Понятие смещения нейтрали. Векторные диаграммы токов и напряжений при несимметричной резистивной нагрузке.
6. Достоинства и недостатки соединения звезда-треугольник. Векторные диаграммы токов и напряжений при комплексной резистивно-емкостной симметричной нагрузке.
7. Соотношения между фазными и линейными токами и

напряжениями в трехфазных цепях.

8. Активная, реактивная и полная мощность в трехфазной цепи.
9. Измерения активной мощности в трехфазной цепи.

### 6.3. Лабораторная работа № 6

#### Исследование трехфазных электрических цепей

**Цель работы:** исследование режимов работы трехфазных цепей переменного тока при различных способах соединения симметричных и несимметричных нагрузок. Построение векторных диаграмм токов и напряжений в трехфазных цепях.

#### Описание схемы измерений

Схема компьютерного моделирования показана на рис. 6.5. Напряжения на активных и емкостных нагрузках измеряются вольтметрами VM1, VM2, VM3. Токи в линейных проводах измеряются амперметрами AM1, AM2, AM3. Ток нейтрали измеряется амперметром AM4. Напряжение смещения нейтрали измеряется вольтметром VM4. Все измерительные приборы надо установить в режим «АС». Нейтральный провод подключается ключом «К». Для создания несимметричных нагрузок надо изменять номиналы резисторов и емкостей.

#### Лабораторное задание

1. Собрать схему измерений рис. 6.5 с нейтральным проводом (ключ К замкнут). В генераторах напряжений установить амплитуду 120 В, частоту 50 Гц,  $\varphi_A=0$ ,  $\varphi_B=-120^\circ$ ,  $\varphi_C=+120^\circ$ .
2. В режиме *Analysis-Transient* на интервале 40 мс получить графики фазных напряжений и зарисовать их. По графикам измерить амплитуды и фазовые сдвиги  $e_A, e_B, e_C$ . Записать результаты.

#### А. Исследование соединения звезда-звезда

3. Подключить к трехфазному генератору соединенную звездой симметричную активную нагрузку из сопротивлений  $R_a, R_b, R_c$ . Для этого можно установить очень большие значения номиналов конденсаторов (например,  $10e+6$ , что соответствует  $10^{-7}$  Ф). В режиме *Analysis-AC Analysis-Table of AC results* изме-

рить вольтметрами напряжения на резисторах, напряжение смещения нейтрали и амперметром ток нейтрали. Результаты записать в таблицу 6.1 (опыт 1)

4. Разомкнуть нейтральный провод. Повторить измерения п.3. Результаты записать в таблицу 6.1 (опыт 2).

5. Увеличить по указанию преподавателя одно из фазных сопротивлений в два раза. Повторить измерения п.п. 3 и 4. Результаты записать в таблицу 6.1 (опыт 3,4).

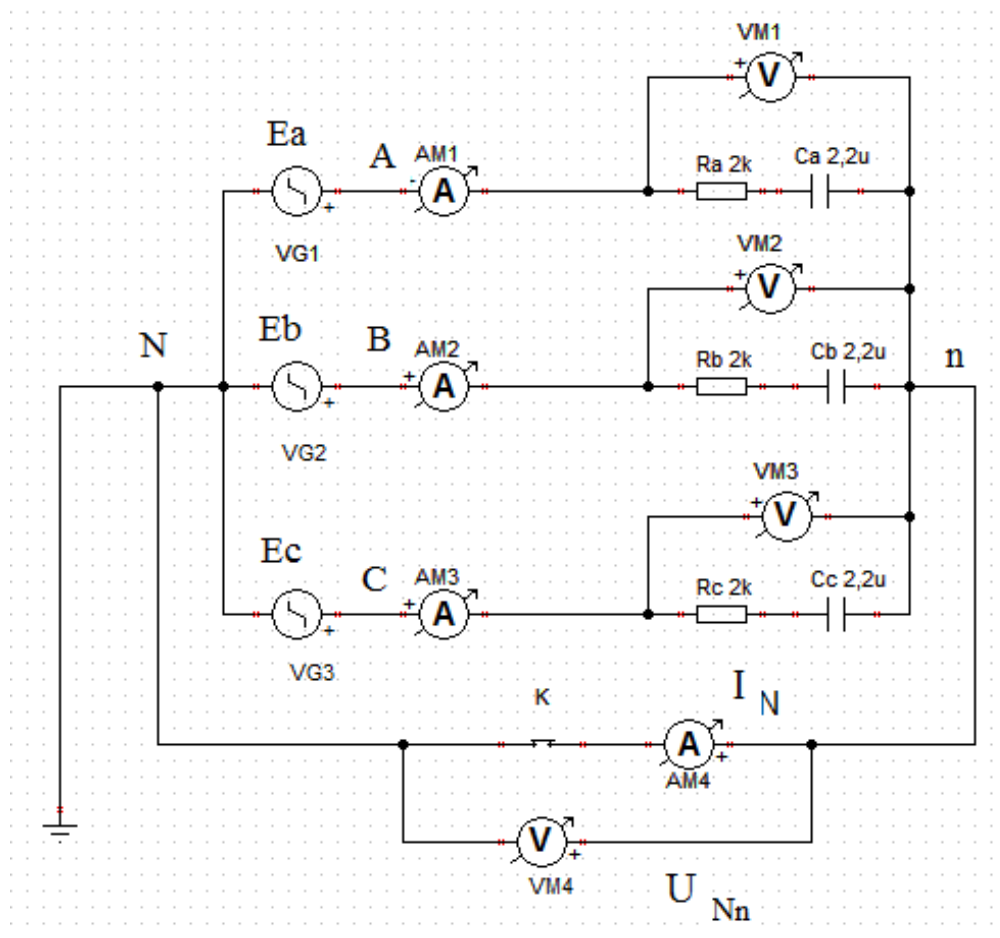


Рис. 6.5. Схема компьютерного моделирования

6. Подключить к генератору соединенную звездой симметричную емкостную нагрузку  $C_a, C_b, C_c$ . Номиналы конденсаторов установить по указанию преподавателя в пределах от 2 мкФ до 5 мкФ. Повторить измерения п.п.3-5. Результаты записать в таблицу 6.1.

7. Подключить к генератору соединенную звездой ком-

плексную нагрузку  $\underline{Z}_A, \underline{Z}_B, \underline{Z}_C$ . Повторить измерения п.п. 3-5. Результаты записать в таблицу 6.1 (опыты 9-12).

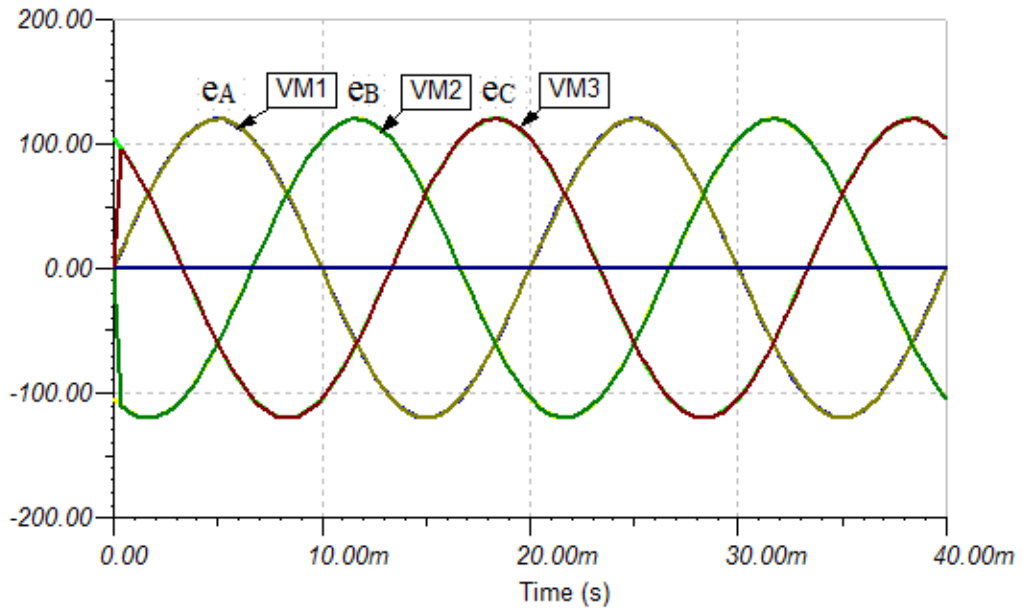


Рис. 6.6. Графики фазных напряжений

Таблица 6.1

Опыт	Вид нагрузки	Кол. пров.	$U_{Ra}$	$U_{Rb}$	$U_{Rc}$	$U_{Ca}$	$U_{Cb}$	$U_{Cc}$	$U_{oo'}$	$I_N$
1	Сим. R	4								
2	Сим. R	3								
3	Несим. R	4								
4	Несим. R	3								
5	Сим. C	4								
6	Сим. C	3								
7	Несим. C	4								
8	Несим. C	3								
9	Сим. Z	4								
10	Сим. Z	3								
11	Несим. Z	4								
12	Несим. Z	3								
13	КЗ $\underline{Z}_A$	3								
14	ХХ $\underline{Z}_A$	3								

#### Б. Короткое замыкание фазы нагрузки

8. Подключить к генератору соединенную звездой симметричную комплексную нагрузку  $\underline{Z}_A, \underline{Z}_B, \underline{Z}_C$  без



нейтрального провода. Закоротить перемычкой нагрузку  $\underline{Z}_A$ . Провести измерения и записать результаты в таблицу 6.1 (опыт 13).

### В. Обрыв линейного провода

9. Подключить к генератору соединенную звездой симметричную комплексную нагрузку  $\underline{Z}_A, \underline{Z}_B, \underline{Z}_C$  без нейтрального провода. Отключить линейный провод фазы А. Провести измерения и записать результаты в таблицу 6.1 (опыт 14).

### Г. Исследование соединения звезда-треугольник

10. Схема измерений для соединения звезда-треугольник показана на рис. 6.7. Токи в фазах нагрузки обозначены  $\underline{I}_{ab}, \underline{I}_{bc}, \underline{I}_{ca}$ .

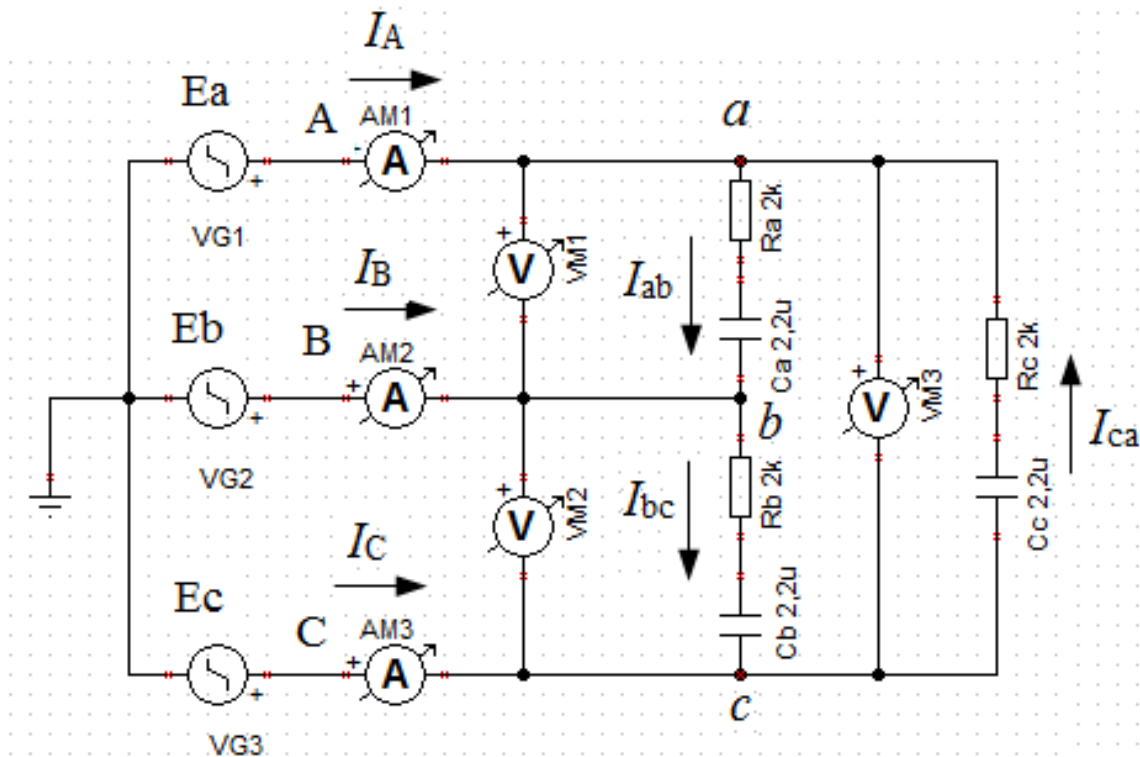


Рис. 6.7. Соединение звезда-треугольник

10. Исследовать работу цепи при комплексной симметричной нагрузке  $\underline{Z}_{ab}, \underline{Z}_{bc}, \underline{Z}_{ca}$ , соединенной треугольником. Измерить линейные напряжения, линейные токи и напряжения на всех элементах нагрузки. Результаты измерений записать в таблицу 6.2.

11. По указанию преподавателя замкнуть *один* из элементов ( $R$  или  $C$ , но не оба) в одной из фазных нагрузок. Повторить измерения по п.10. Результаты измерений записать в таблицу 6.2.

Таблица 6.2

Соединение звезда-треугольник											
Симметричная нагрузка											
$U_{ab}$	$U_{bc}$	$U_{ca}$	$I_A$	$I_B$	$I_C$	$U_{Ra}$	$U_{Ca}$	$U_{Rb}$	$U_{Cb}$	$U_{Rc}$	$U_{Cc}$
Несимметричная нагрузка											
$U_{ab}$	$U_{bc}$	$U_{ca}$	$I_A$	$I_B$	$I_C$	$U_{Ra}$	$U_{Ca}$	$U_{Rb}$	$U_{Cb}$	$U_{Rc}$	$U_{Cc}$

### Домашнее задание

1. По результатам измерений таблицы 6.1 для каждого варианта нагрузок построить векторные диаграммы напряжений и токов в трехфазной цепи. Объяснить особенности режимов работы трехпроводной и четырехпроводной цепи при различных нагрузках.

2. Для соединения звезда – звезда рассчитать теоретически при несимметричных нагрузках в четырехпроводной системе ток нейтрали, а в трехпроводной системе напряжение смещения нейтрали. Сравнить расчетные и экспериментальные результаты.

3. Для режима короткого замыкания нагрузки фазы А в трехпроводной системе рассчитать напряжения на элементах фазных нагрузок В и С.

4. Для режима обрыва линейного провода рассчитать напряжения и токи в фазных нагрузках В и С.

5. По результатам измерений таблицы 6.2 для соединения звезда – треугольник построить векторные диаграммы напряжений и токов. По диаграммам определить сдвиг фаз между линейными напряжениями и токами в нагрузках. Рассчитать активные и реактивные мощности в нагрузках. Определить комплексные значения токов в нагрузках  $\underline{I}_{ab}$ ,  $\underline{I}_{bc}$ ,  $\underline{I}_{ca}$ . Вычислить по формулам линейные токи  $\underline{I}_A$ ,  $\underline{I}_B$ ,  $\underline{I}_C$  и сравнить с экспериментальными значениями этих токов.

## ЧАСТЬ 2. ЭЛЕКТРОНИКА

### Глава 7. ИССЛЕДОВАНИЕ ПОЛУПРОВОДНИКОВЫХ ДИОДОВ, СТАБИЛИТРОНОВ И ТИРИСТОРОВ

**Цель работы.** Исследование вольтамперных характеристик и типовых схем включения выпрямительного диода, стабилитрона и тиристора.

#### 7.1. Теоретические сведения

Полупроводниковым диодом называют прибор, который имеет два вывода и содержит один (или несколько) электронно-дырочных переходов. Электронно-дырочный переход это тонкий слой между двумя частями полупроводникового кристалла, в котором одна часть имеет электронную проводимость (N-область), а другая часть имеет дырочную проводимость (P-область). Электронно-дырочный переход называют *p-n* –переходом. Электронную проводимость имеет, например, четырехвалентный кристалл кремния с примесью пятивалентного фосфора. Такой полупроводник имеет неподвижные положительные ионы, свободные электроны, называется полупроводником *n*-типа, а соответствующую примесь называют донорной. Дырочную проводимость имеет кристалл кремния с примесью трехвалентного индия. Такой кристалл имеет неподвижные отрицательные ионы, недостаток электронов, называется полупроводником *p*-типа, а соответствующую примесь называют акцепторной. Дырка является фиктивным носителем заряда, образуется в кристалле на месте отсутствующего электрона, имеет положительный заряд, равный по величине заряду электрона.

Принцип работы *p-n* –перехода показан на рис. 7.1. В кристалле кремния, имеющем *n* – область и *p*- область, в результате встречного движения противоположных зарядов в области с меньшей их концентрацией на границе областей возникает диффузный ток и собственное электрическое поле  $E_{\text{собств}}$ . На границе раздела двух областей происходит скачкообразное изменение знака объемного заряда, возникает контактная разность потенциалов  $\psi_k$ , напряженность собственного электрического поля мак-

симальна и создает потенциальный барьер  $\Delta U$ , препятствующий дальнейшему прохождению диффузного тока.

Если к внешним контактам  $p$ - $n$  перехода А и К подключить отрицательное напряжение  $U_{AK} < 0$ , то созданное этим напряжением внешнее электрическое поле в полупроводнике будет складываться с  $E_{собств.}$ ,  $p$ - $n$  переход останется закрытым и во внешней цепи будет существовать незначительный по величине обратный ток  $I_{обр.}$ , обусловленный током проводимости неосновных носителей и называемый током насыщения  $I_s$ .

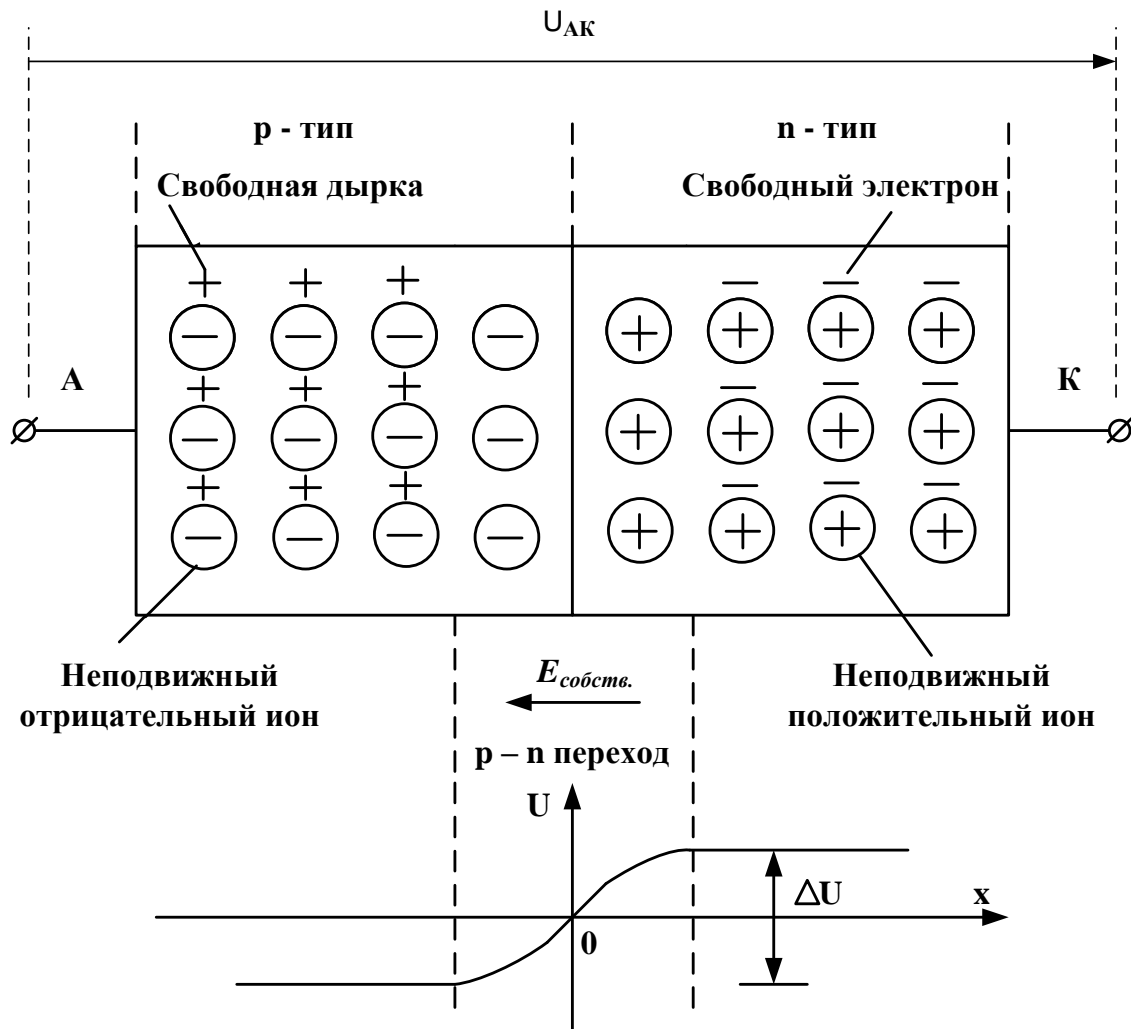


Рис. 7.1. Условное изображение  $p$ - $n$  перехода

Если к внешним контактам  $p$ - $n$  перехода А и К подключить положительное напряжение  $U_{AK} > 0$ , то созданное этим напря-

жением внешнее электрическое поле в полупроводнике будет компенсировать  $E_{собств.}$ , вызывать прямое смещение  $p$ - $n$  перехода,  $p$ - $n$  переход откроется и во внешней цепи появится диффузионный ток  $I_{диф.}$ , вызванный диффузией основных носителей, преодолевающих потенциальный барьер. Величина потенциального барьера составляет для разных материалов от 0,6 В до 1,2 В.

При открытом  $p$ - $n$  переходе прямой ток во внешней цепи кроме диффузионного тока содержит ток проводимости, протекающий в противоположном направлении. Полный ток при прямом смещении  $p$ - $n$  перехода определяется уравнением Эберса-Молла:

$$I_{np} = I_{диф} - I_s = I_s (e^{U/\varphi_T} - 1) \quad (7.1)$$

При температуре  $T = 300K$  тепловой потенциал  $\varphi_T = 25mB$ , поэтому уже при  $U = 0,1B$  формулу (7.1) можно упростить:

$$I = I_s e^{U/\varphi_T} \quad (7.2)$$

Дифференциальное сопротивление  $p$ - $n$  перехода можно определить по формуле:

$$\frac{1}{r_{диф}} = \frac{dI}{dU} = \frac{1}{\varphi_T} (I + I_s), \text{ откуда получим: } r_{диф} = \frac{\varphi_T}{(I + I_s)} \quad (7.3)$$

Вольтамперная характеристика  $p$ - $n$  перехода показана на рис. 7.2а. Прямое напряжение не превышает контактной разности потенциалов  $\psi_k$ . Обратное напряжение ограничивается пробоем  $p$ - $n$  перехода. В закрытом состоянии через  $p$ - $n$  переход проходит малый по величине ток  $I_{обр}$ . Как видно,  $p$ - $n$  переход пропускает ток в одном направлении и может использоваться для выпрямления синусоидальных токов. При лавинном пробое происходит резкое увеличение числа подвижных носителей зарядов, ток через  $p$ - $n$  переход неограниченно возрастает, а напряжение на нем остается неизменными. Это используется для стабилизации напряжения. Лавинный пробой обратим, свойства полупроводника восстанавливаются после снятия напряжения. Однако вслед за

лавинным пробоем может произойти тепловой пробой, который разрушает полупроводник.

*Полупроводниковым диодом* называется полупроводниковый прибор, имеющий два вывода и один выпрямляющий  $p$ - $n$  переход. Структура полупроводникового диода показана на рис. 7.2б, условное обозначение диода показано на рис. 7.2в.

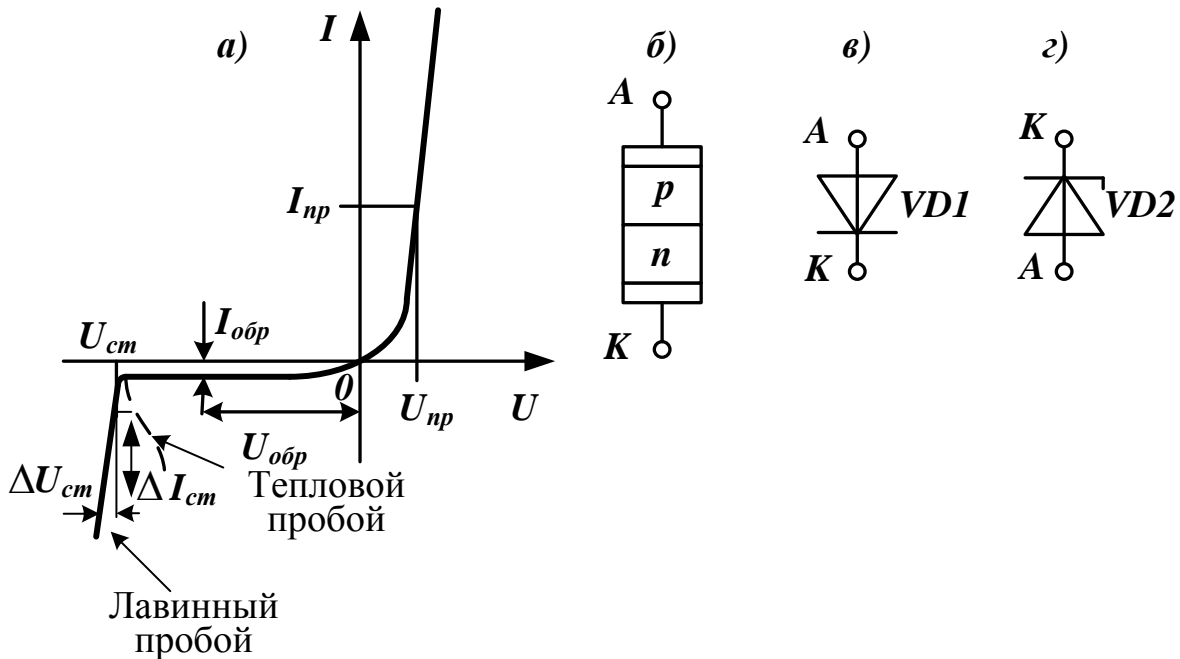


Рис. 7.2. Вольтамперная характеристика  $p$ - $n$  перехода

Электрод, подключенный к области  $p$  называют анодом, а электрод, подключенный к области  $n$ , называют катодом. Выпрямительные полупроводниковые диоды используют для выпрямления токов, величиной от десятков миллиампер до десятков ампер. При протекании большого тока через  $p$ - $n$  переход в объеме полупроводника падает значительное напряжение. С учетом этого вольтамперная характеристика приобретает вид:

$$I = I_s \cdot e^{\frac{(U - IR)}{\varphi_T}}, \text{ где } R \text{ — называют последовательным сопротивлением.}$$

Высокочастотные диоды детектируют сигналы на частотах до десятков мегагерц. Выпрямительные диоды при высоких обратных напряжениях имеют необратимый тепловой пробой (пунктирная линия на рис. 7.2а).

*Стабилитроном* называют полупроводниковый диод, работающий в режиме лавинного пробоя и предназначенные для стабилизации постоянного напряжения. Условное обозначение стабилитрона показано на рис. 7.2.г. По графику ВАХ на участке лавинного пробоя можно найти дифференциальное сопротивление стабилитрона:

$$R_{\text{диф.см}} = \frac{\Delta U_{\text{см}}}{\Delta I_{\text{см}}} \quad (7.4)$$

Мощность рассеяния у стабилитронов составляет от сотен милливатт до десяти ватт.

*Тиристором* называют полупроводниковый прибор с двумя устойчивыми состояниями и тремя или более последовательно включенными  $p$ - $n$  переходами. Наиболее распространенная структура управляемого тиристора с четырьмя чередующимися слоями полупроводников  $p$ - и  $n$ - типов показана на рис. 7.3. Кроме анодного и катодного выводов управляемый тиристор имеет еще вывод управляющего электрода УЭ. УЭ может подключаться к ближайшей к катоду  $p$ - области (тиристор с катодным управлением) или к ближайшей к аноду  $n$ - области (тиристор с анодным управлением).

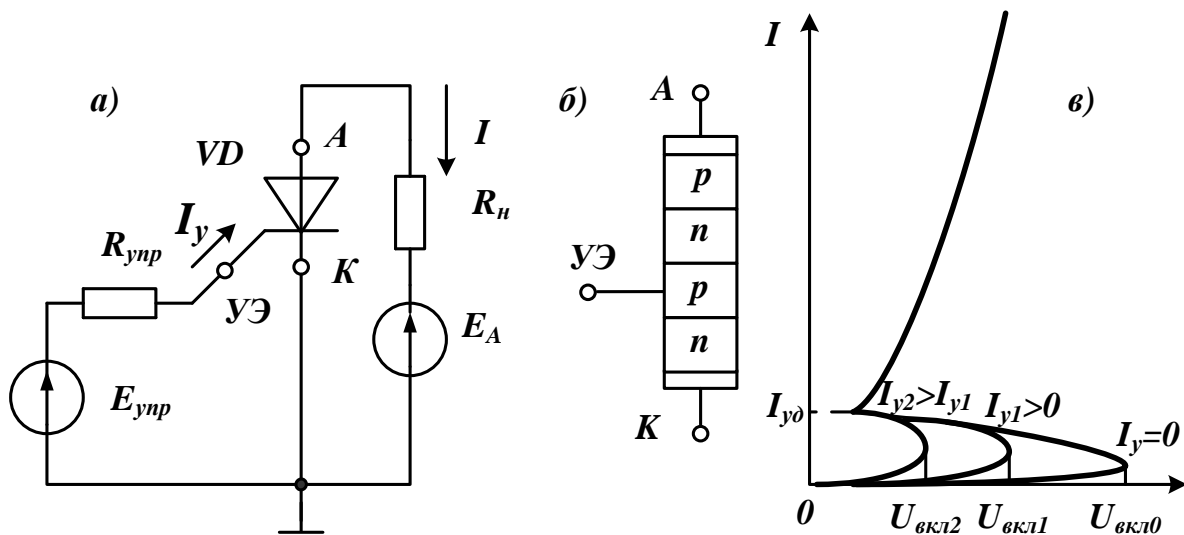


Рис. 7.3. Схема включения (а), структура (б) и вольтамперная характеристика (в) тиристора с катодным управлением

На рис. 7.3 показана схема включения тиристора с катодным управлением. Источник напряжения  $E_{\text{упр}}$  через сопротивление

$R_{упр}$  создает в управляющем электроде  $VЭ$  ток управления  $I_y$ . В цепи анода  $I$  при возрастании анодного напряжения  $U$  остается малым до напряжения включения  $U_{вкл}$ , которое зависит от тока управления. После открывания тиристора анодный ток скачком увеличивается и переходит на участок ВАХ открытого состояния. Для выключения тиристора надо уменьшить анодный ток до значения тока удержания  $I_{уд}$  или поменять полярность напряжения на аноде.

## 7.2. Лабораторная работа №7

### Исследование полупроводниковых диодов, стабилитронов и тиристоров

**Цель работы:** Исследование вольтамперных характеристик (ВАХ) и типовых схем включения полупроводникового диода, стабилитрона и тиристора.

1. Собрать схему компьютерного моделирования полупроводникового диода и стабилитрона рис. 7.4.

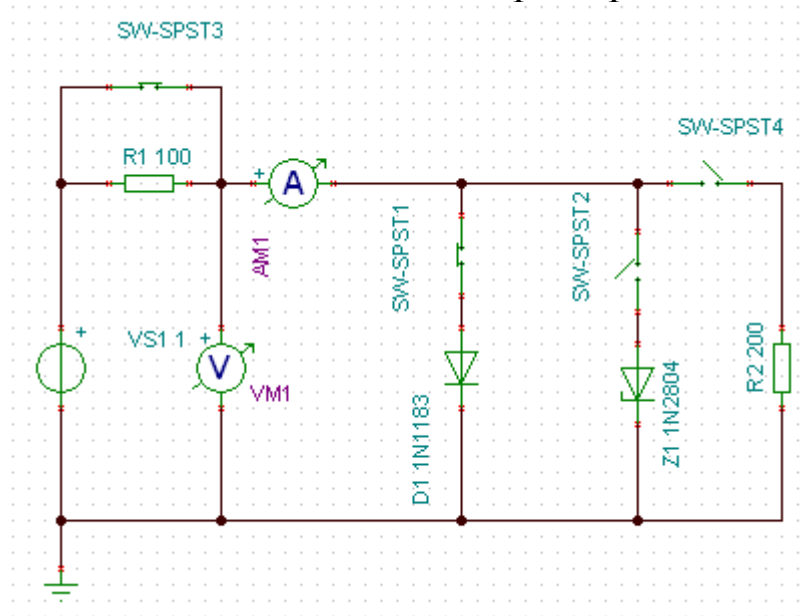


Рис. 7.4. Схема компьютерного моделирования диода и стабилитрона

В схеме использован источник постоянного напряжения VS1, диод D1 1N183 (марку диода надо взять по указанию преподавателя), стабилитрон Z1 (марку взять по указанию преподавателя), балластный резистор R1, резистор нагрузки R2.




Измерительными приборами служат вольтметр VM1 и амперметр AM1. Переключения в схеме осуществляются четырьмя ключами SW.

#### А. Исследование полупроводникового диода

1. Замкнуть ключи 1 и 3, разомкнуть ключи 2 и 4. Для изменения состояния ключа надо подвести к нему курсор, получить изображение черной вертикальной стрелки и щелкнуть левой кнопкой мыши.

2. Установить напряжение источника VS1 равным 1В (это не влияет на результаты последующего анализа).

3. Для снятия возможных предыдущих установок многовариантного параметрического анализа на панели инструментов командой *Выбор управляемого объекта*  выделите резистор  $R_2$ , в окне *Resistor  $R_2$*  нажмите *Select*, в окне *Parameter Stepping* нажмите *Remove*.

4. В строке меню выберите *Analysis-DC- Analysis-DC Transfer Characteristic*. В диалоговом окне переходных характеристик на постоянном токе *DC Transfer Characteristic* (рис. 7.5) установите начальное значение анализа *Start value* – 200m, конечное значение анализа *End value* 800m, входная переменная *Input* VS1. Нажмите *OK*.

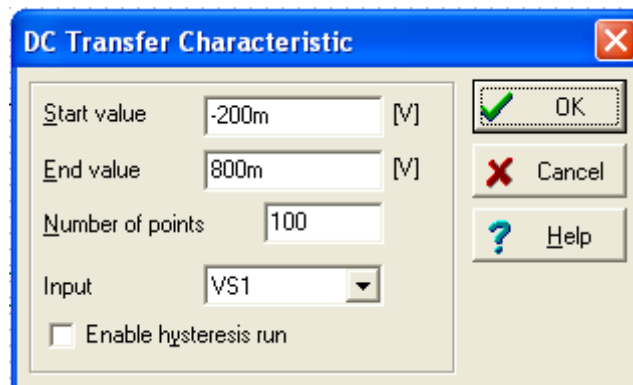




Рис. 7.5. Окно DC Transfer Characteristic для диода

Откроется окно результатов с двумя графиками (рис. 7.6).

Для идентификации графиков в строке инструментов выберите *Auto label* , подведите курсор со значком синусоиды к графику до появления крестика и щелкните левой кнопкой

мышью. Появится метка графика. Можно выбрать кнопку *Legend*  и получить таблицу графиков с цветной маркировкой.

Удалим из результатов линейный график напряжения VM1. Для этого подводим курсор к графику VM1, выделяем его, щелкнув левой кнопкой, и нажимаем *Delete*.

5. Изменим масштаб графика по вертикальной оси. Для этого подводим курсор к вертикальной оси, выделяем ее левой кнопкой (ось становится красной), правой кнопкой мыши открываем диалоговое окно и выбираем *Properties*. В окне установки осей (рис. 7.7) установим нижний предел 0, верхний предел 6. Нажимаем ОК и получаем красивый график вольтамперной характеристики диода, который можно показать преподавателю и друзьям (рис. 7.8). По графику видно, что диод начинает открываться при положительных напряжениях 0,6-0,7 В. При напряжении 0,8 В ток диода достигает 6,5 А.

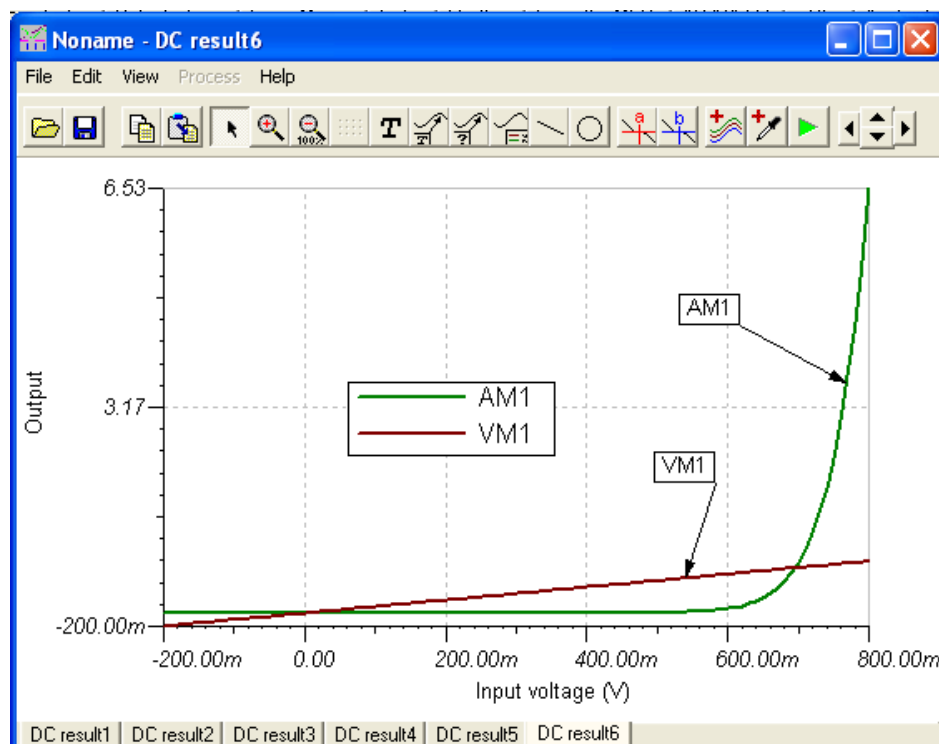


Рис. 7.6. Графики результатов анализа *DC Transfer Characteristic*

### Б. Исследование стабилитрона

6. Исследуем стабилитрон без нагрузки. Для этого в схеме рис. 7.4 замкнуть ключи 2 и 3, разомкнуть ключи 1 и 4. В режиме

*Analysis-DC- Analysis-DC Transfer Characteristic* устанавливаем начальное значение -8В, конечное значение 2В (рис. 7.9).

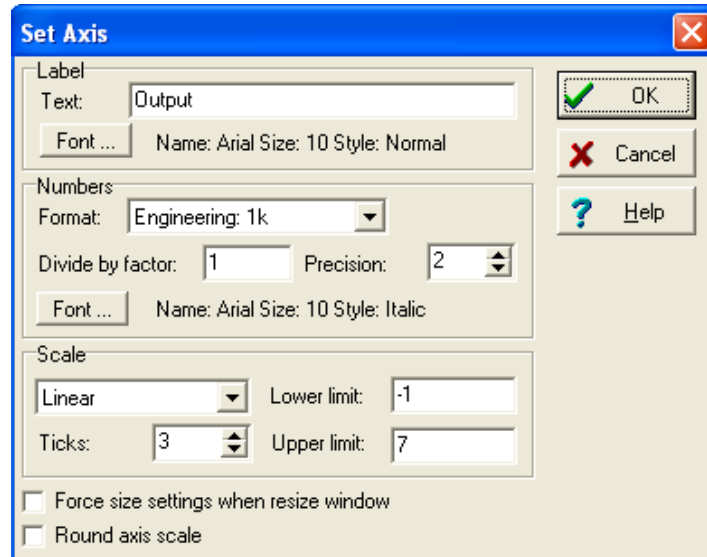


Рис. 7.7. Окно установки осей

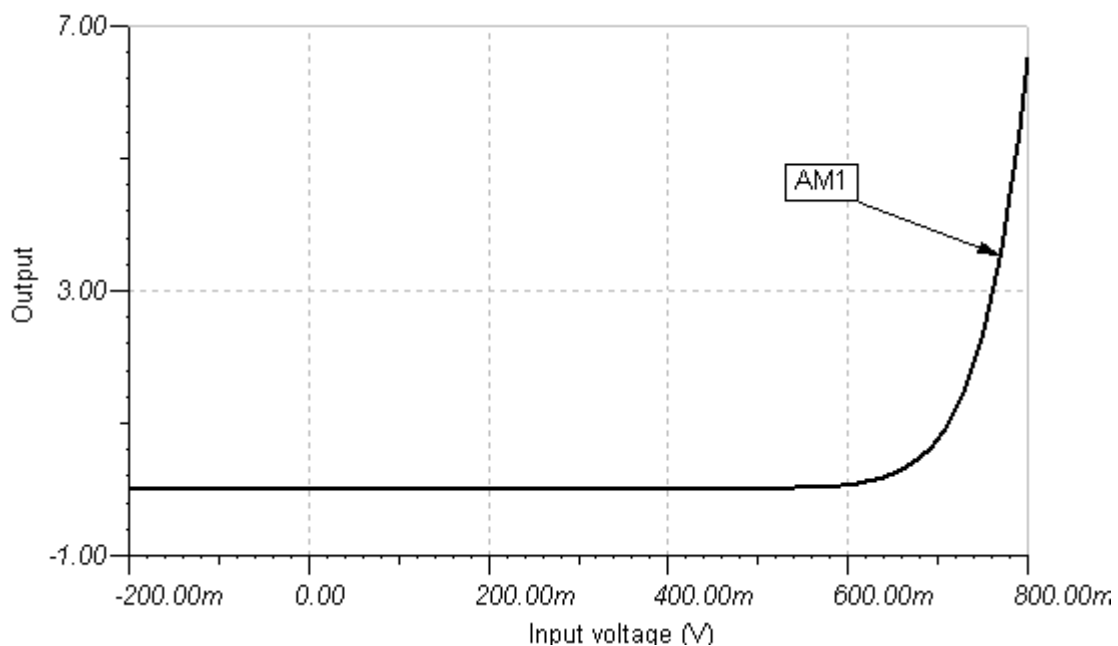


Рис. 7.8. ВАХ полупроводникового диода

Проводим анализ и получаем график ВАХ (рис. 7.10). Пределы по осям графика надо выставить в окне *Set Axis*. Правая ветвь ( $U > 0$ ) аналогична прямой ветви ВАХ полупроводникового диода. При напряжении  $U > 0,7\text{В}$  стабилитрон открывается как обычный диод. Левая ветвь ( $U < 0$ ) до напряжения -6В аналогична ветви обратного тока диода.

При этом ток через стабилитрон практически равен 0. При напряжении 6,8В в данном стабилитроне происходит лавинный пробой и на практически вертикальной падающей ветви тока выполняются стабилизация напряжения.

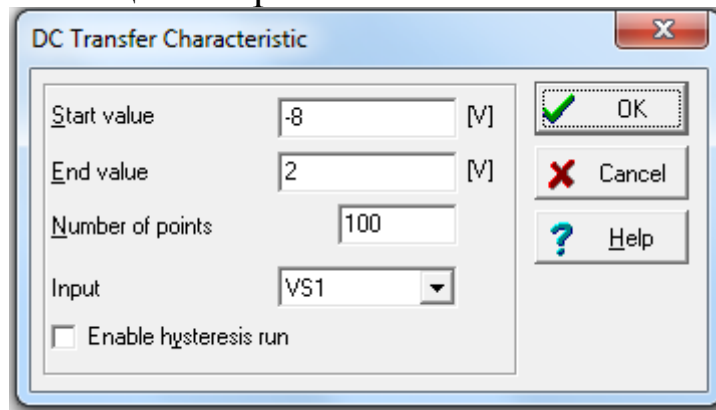


Рис. 7.9. Окно *DC Transfer Characteristic* для стабилитрона

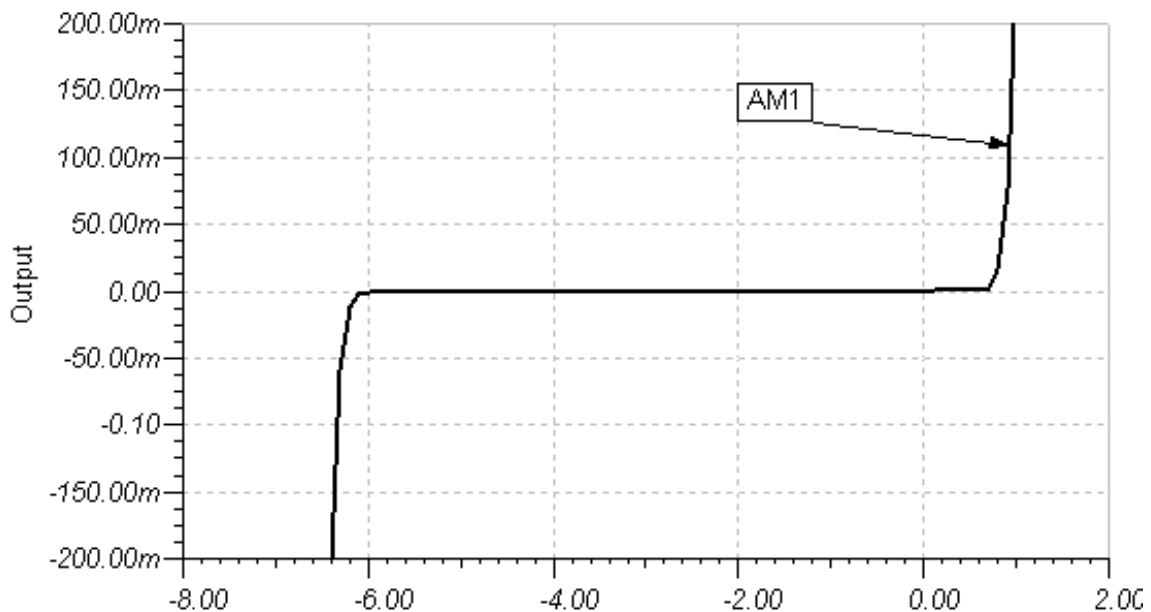


Рис. 7.10. ВАХ стабилитрона

7. Исследуем стабилизатор напряжения без нагрузки. Схема простейшего стабилизатора без нагрузки показана на рис. 7.11. Стабилитрон включен в закрытом состоянии последовательно с балластным сопротивлением  $R_1$ .

Выбираем в меню режим *Analysis-DC-Analysis-DC Transfer Characteristic*. Изменяем напряжение VS1 от -10В до +10В. В графике ВАХ по вертикальной оси устанавливаем пределы -2В и 10В, число отметок (*ticks*) равно 7.

ВАХ стабилитрона без нагрузки показана на рис. 7.12. При отрицательных входных напряжениях  $U < -0,7\text{В}$  стабилитрон работает как открытый диод.

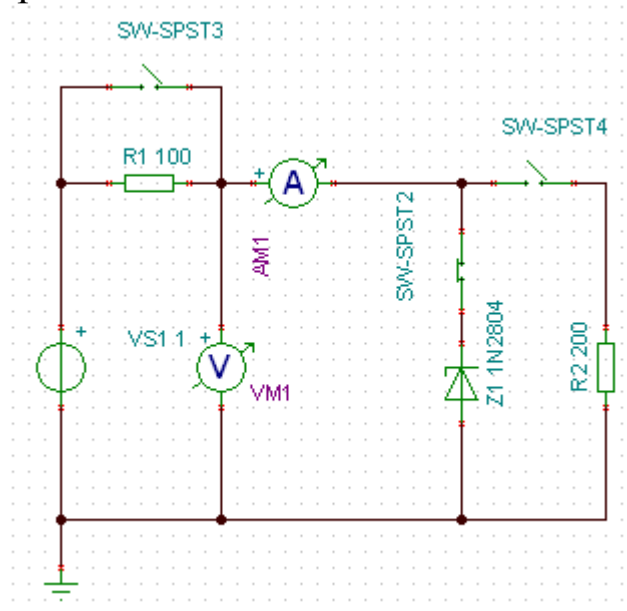


Рис. 7.11. Схема стабилизатора на стабилитроне

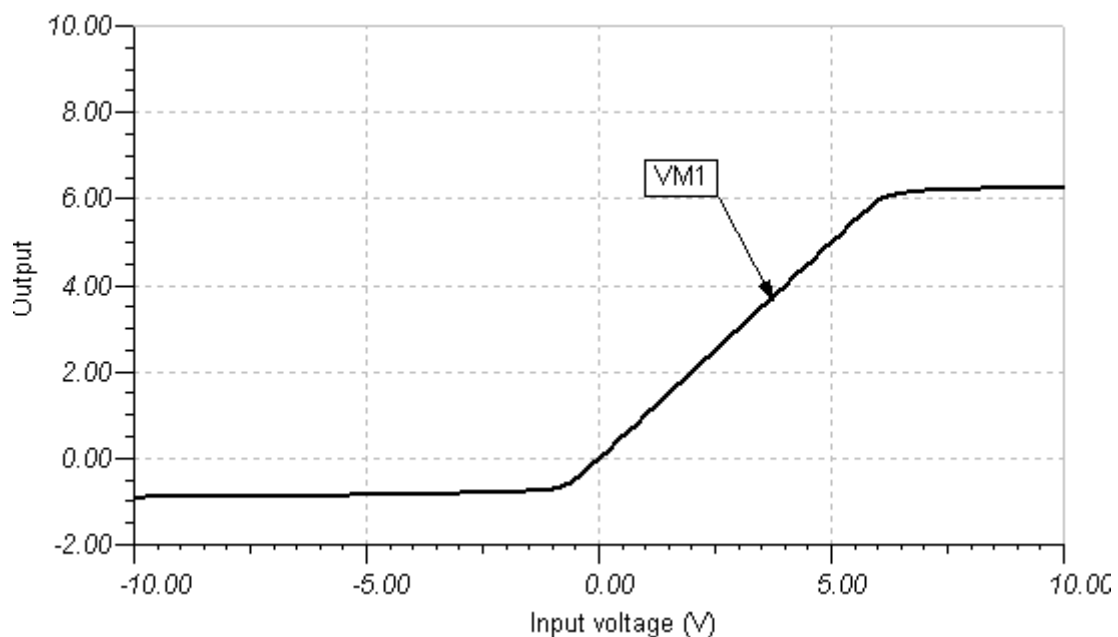


Рис. 7.12. ВАХ стабилизатора без нагрузки

Напряжение на нем составляет  $-0,7\text{В}$ . При положительных напряжениях стабилитрон сначала закрыт и напряжение на нем повторяет возрастающее входное напряжение  $VS1$ . При напряжении  $U=6,8\text{В}$  происходит лавинный пробой стабилитрона и напряжение стабилизируется на уровне  $6,8\text{В}$ .

8. Исследуем стабилизатор напряжения с нагрузкой. Для этого в схеме рис. 7.11 замкнем ключ 4. Резистор R2 надо сделать управляемым объектом. Начальное значение сопротивления 100 Ом, конечное значение 400 Ом, число вариантов 4. Проводим Analysis-DC-Analysis-DC Transfer Characteristic, изменяя VS1 в пределах от -10В до 20В. Графики ВАХ (рис. 7.13) показывают, что с уменьшением нагрузки увеличивается входное напряжение VS1, при котором начинается работа стабилизатора. Рассчитать минимальное требуемое напряжение VS1 можно, используя метод эквивалентного генератора. Так при  $R_2=100\text{Ом}$  минимальное напряжение VS1 должно быть 13,6В (в два раза выше напряжения стабилизации стабилитрона).

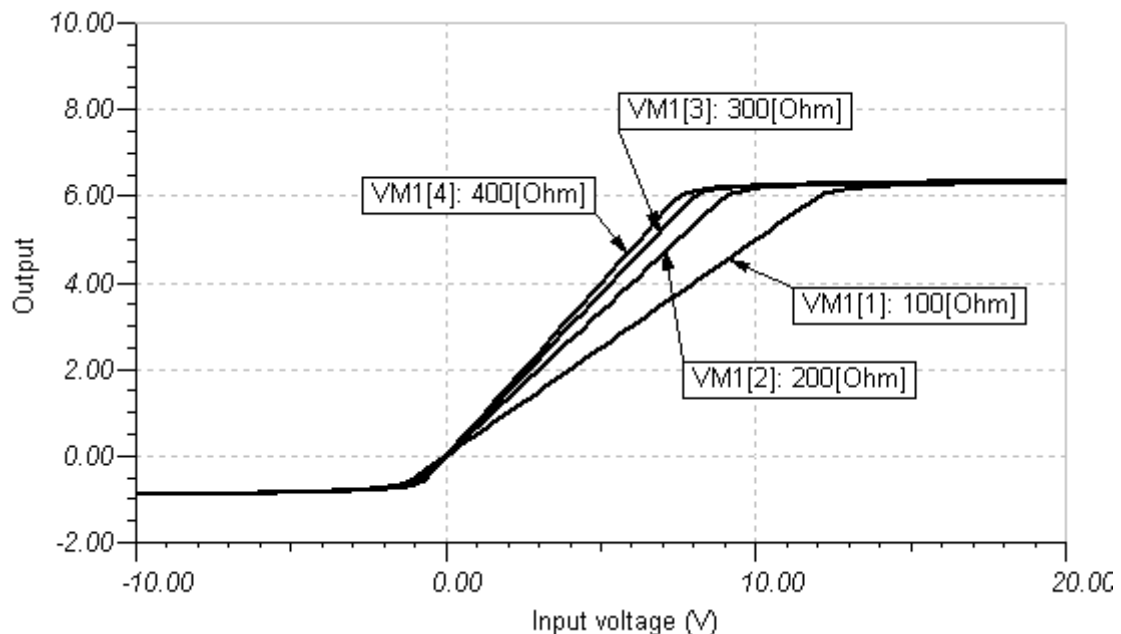


Рис. 7.13. Графики ВАХ стабилизатора при разных нагрузках

## В. Исследование тиристора

9. Собираем схему моделирования тиристора (рис. 7.14). В схеме применен тиристор 2N1595. Анод тиристора через амперметр подключен к источнику постоянного напряжения VS1, управляющий электрод подключен к источнику тока IS1. Выделяем тиристор на рабочем поле, открываем *Properties*, в окне *U1-Thyristor* открываем *Type* и изучаем параметры тиристора (рис. 7.15). Пороговый ток включения (*Gate trigger current*) составляет 5 мА. Поэтому мы будем исследовать

характеристики тиристора для управляющих токов от 1,8 мА до 2,4 мА.

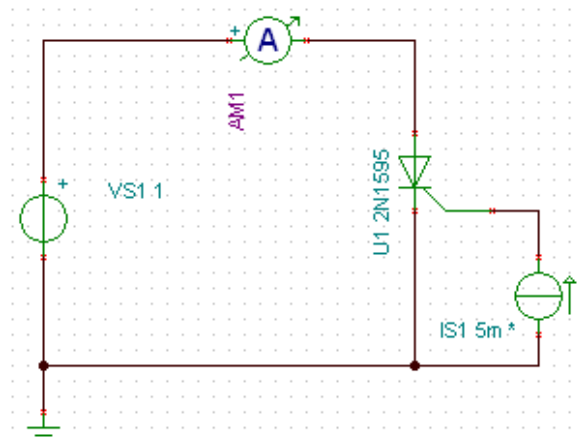


Рис. 7.14. Моделирование тиристора

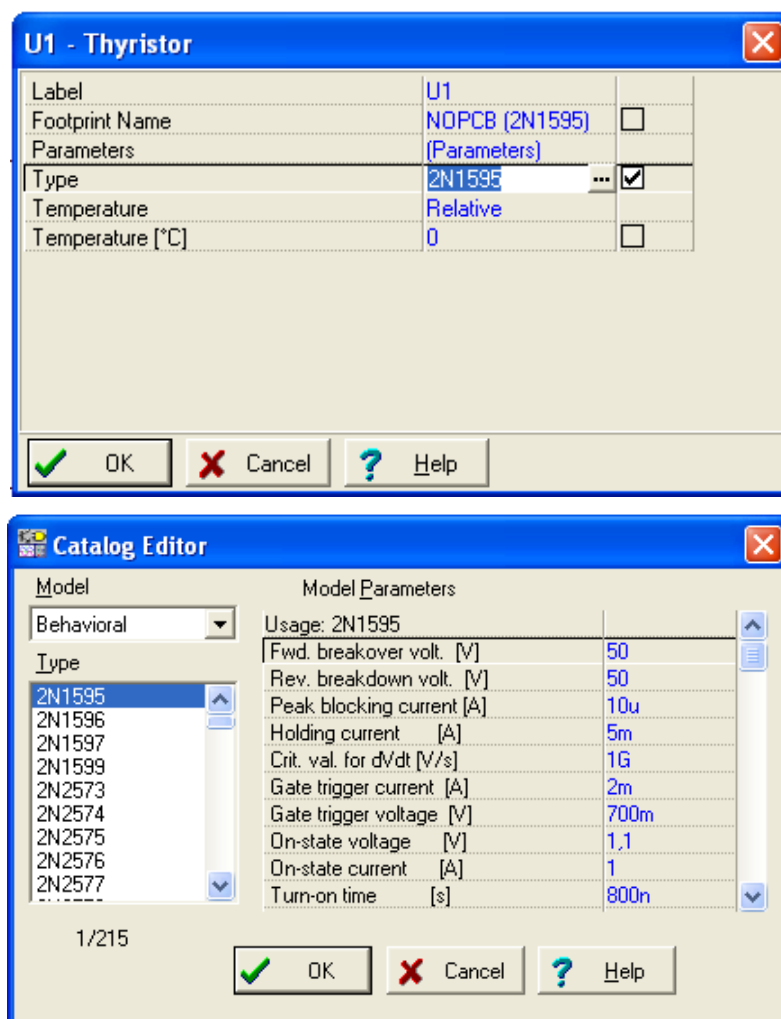


Рис. 7.15. Окна параметров тиристоров

10. Сделаем источник тока IS1 переменным параметром и установим пределы изменения 1,8мА – 2,4мА, число вариантов 4. Проводим *Analysis-DC-Analysis-DC Transfer Characteristic*, изменяя VS1 в пределах от 0 до 10В. Полученные ВАХ показаны на рис. 7.16. Как видно из графиков при значении управляющего тока 1,8 мА тиристор остается закрытым до напряжения на аноде 10 В. Управляющий ток 2 мА открывает тиристор при анодном напряжении 3 В. Управляющий ток 1,5 мА открывает тиристор при напряжении 0,75 В. После открывания графики ВАХ сливаются и тиристор может быть заменен статическим сопротивлением  $R_{cm} \approx \frac{8B}{20A} = 0,4 Ом$ .

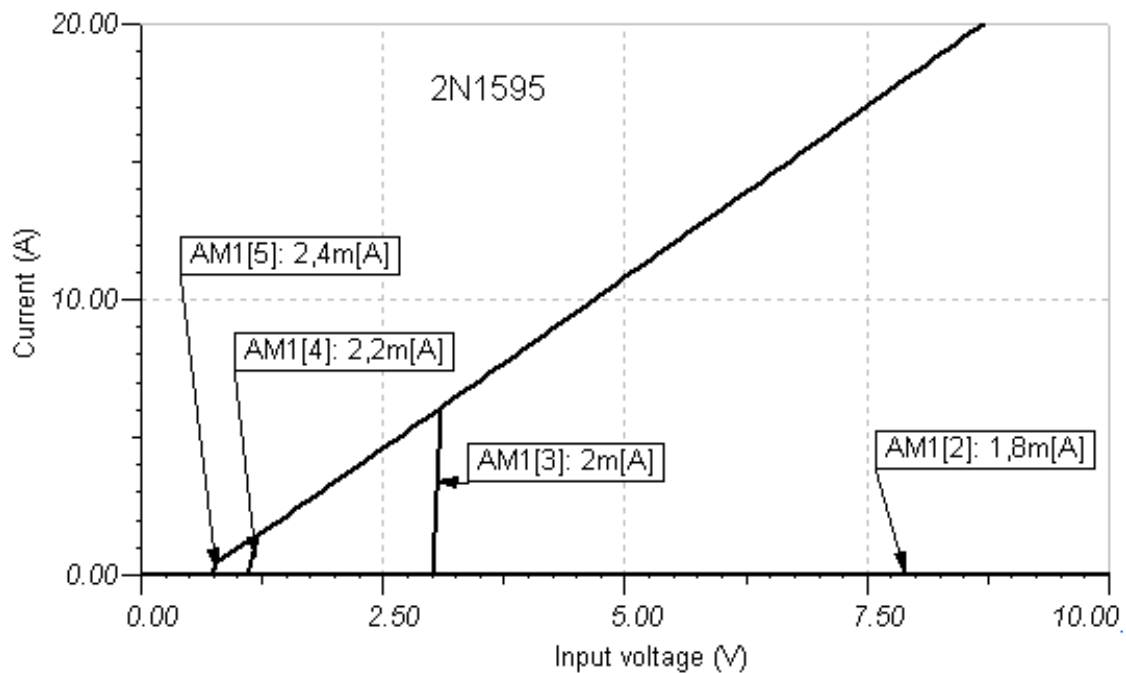


Рис. 7.16. ВАХ тиристора при различных значениях тока управления

### Домашнее задание

1. По графику вольтамперной характеристики диода (п.6) найти дифференциальное и статическое сопротивление диода для значений прямого тока  $I_{пр}$  1 мА и 5 мА.

2. По вольтамперной характеристике стабилитрона (п.7) определить напряжение стабилизации, соответствующее току  $I_{VD2}=100$  мА.



3. Рассчитать дифференциальное сопротивление стабилитрона  $R_{диф.см} = \frac{\Delta U_{см}}{\Delta I_{см}}$  и коэффициент стабилизации

$$k_{см} = \frac{\Delta U_{вх}}{\Delta U_{см}}.$$

4. Используя данные п.8 лабораторного задания и  $R_{диф.см}$ , рассчитать для  $U_{вх}=10В$  выходное напряжение на нагрузке  $R_2=200\text{ Ом}$  и  $100\text{ Ом}$  стабилитрона по формуле:

$$U_{вых} = U_{вх} \frac{R_{диф.см} \cdot R_2}{R_2(R_{диф.см} + R_1) + R_{диф.см} \cdot R_1} + U_{см} \frac{R_{10} \cdot R_2}{R_2(R_{диф.см} + R_1) + R_{диф.см} \cdot R_1} \quad (7.5)$$

Сравнить результаты расчета и эксперимента.

6. По вольтамперным характеристикам тиристора (п.10) при разных значениях тока управления определить анодный ток включения  $I_A$  и анодное напряжение включения  $U_A$ .

## Глава 8. НЕЛИНЕЙНЫЕ ЦЕПИ ПОСТОЯННОГО ТОКА

### 8.1. Краткие теоретические сведения и методы расчета нелинейных цепей постоянного тока

Резисторы, вольтамперные характеристики (ВАХ) которых не являются прямыми линиями, называются нелинейными резисторами (НР), или в более общем определении нелинейными элементами (НЭ). ВАХ НЭ получают экспериментально, подключив НЭ к регулируемому источнику питания и измеряя напряжение на зажимах НЭ и ток через НЭ.

Нелинейные электрические цепи постоянного тока содержат один или несколько нелинейных элементов (НЭ) с нелинейными вольт-амперными характеристиками.

Нелинейными элементами в цепях постоянного тока могут быть полупроводниковые диоды, стабилитроны, тиристоры, транзисторы, лампы накаливания. В нелинейных цепях не выполняется принцип наложения. Поэтому нельзя применять

методы контурных токов, узловых напряжений и т.п. Расчеты ведут графическими методами с использованием нелинейных характеристик.

### Статическое и дифференциальное сопротивление нелинейного резистора

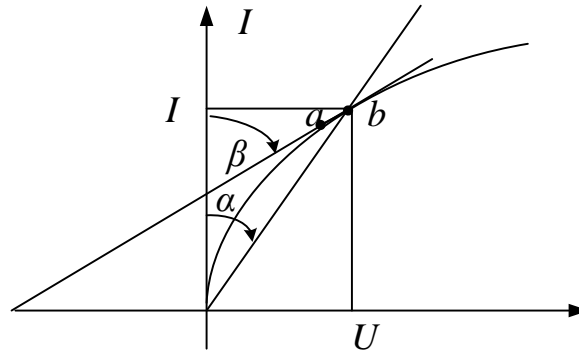


Рис. 8.1. Расчет статического и дифференциального сопротивления

Статическое сопротивление  $R_{cm} = U/I$ . В точке «b»

$$R_{cm} = \operatorname{tg} \alpha \frac{m_U}{m_I}.$$

Дифференциальное сопротивление на малом линейном участке  $ab$ :  $R_{диф} = \frac{dU}{dI} = \operatorname{tg} \beta \frac{m_U}{m_I}$ .

На малом участке  $ab$  нелинейный резистор можно заменить линейной моделью и пользоваться линейными методами расчетов.

### Последовательное соединение линейного и нелинейного резистора

При последовательном соединении для каждого значения тока суммируются напряжения на линейном и нелинейном элементах. Заданы ВАХ нелинейного элемента  $I = f(U_{нэ})$  и линейного резистора. Суммируя напряжения, находим результирующую ВАХ  $I = f(U_{нэ} + U_R)$ . На результирующей ВАХ находим точку  $q$  и ток в точке  $m$ .

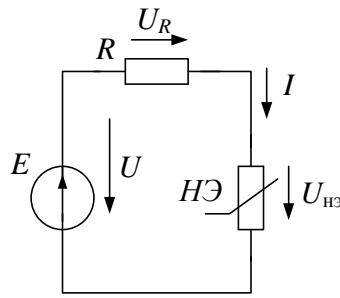


Рис. 8.2. Схема последовательного соединения линейного и нелинейного резистора

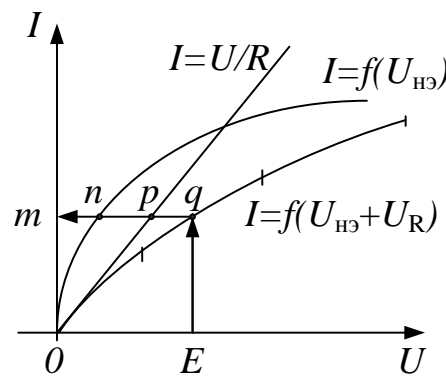


Рис. 8.2. Построение результирующей ВАХ последовательного соединения

Второй способ расчета состоит в следующем. По схеме имеем уравнение:  $U_{HЭ} = E - IR$  или  $I = \frac{E}{R} - \frac{U_{HЭ}}{R}$ . Это уравнение для тока называется нагрузочная прямая.

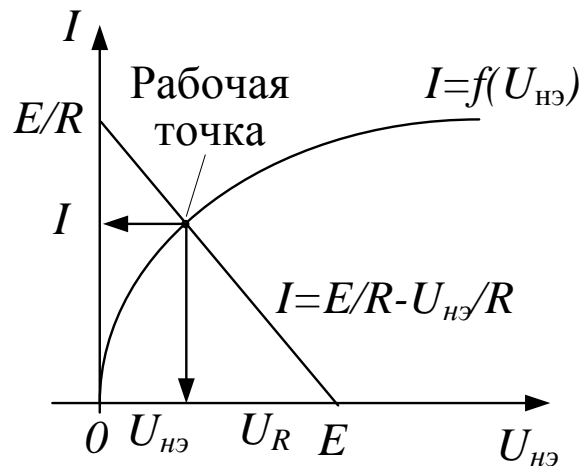


Рис. 8.3. Расчет рабочей точки на нагрузочной прямой

Строим графики ВАХ и нагрузочную прямую. Точка пересечения называется рабочей точкой. Находим в ней ток ток и напряжение  $U_{HЭ}$ .

Сложную цепь с одним НЭ можно заменить активным двухполюсником и эквивалентным генератором.

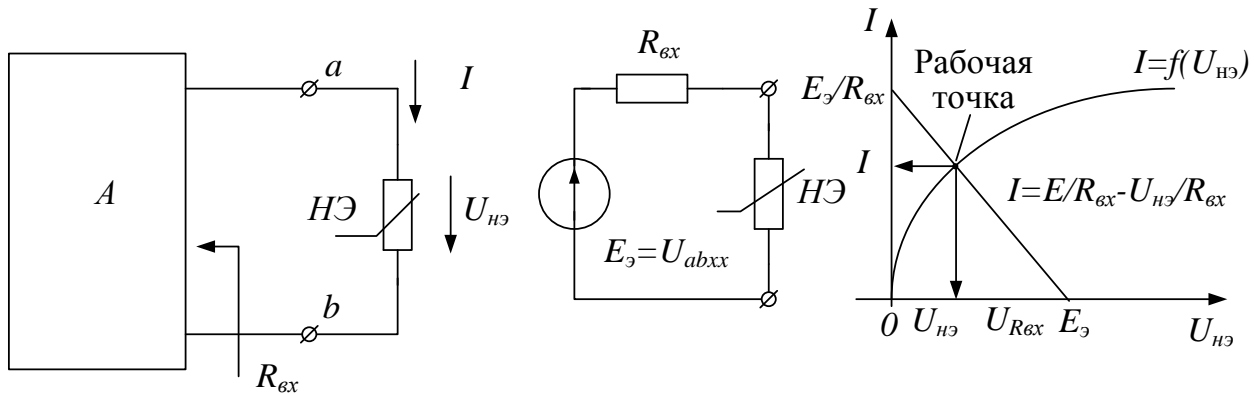


Рис. 8.4. Замена сложной линейной цепи эквивалентным генератором

#### Последовательное соединение двух нелинейных элементов

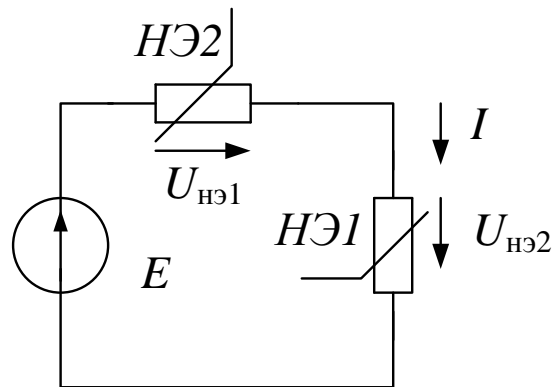


Рис. 8.5. Последовательное соединение двух нелинейных элементов

В цепи складываются напряжения на двух НЭ:  $E = U_{HЭ1} + U_{HЭ2}$ . Решение выполняют построением результирующей ВАХ, суммируя напряжения по оси абсцисс (рис. 8.6), или строят график  $I = f_2(E - U_{HЭ1})$ , зеркально отображая ВАХ второго НЭ относительно вертикальной оси  $E$ , и находят точку пересечения ВАХ (рис. 8.7).

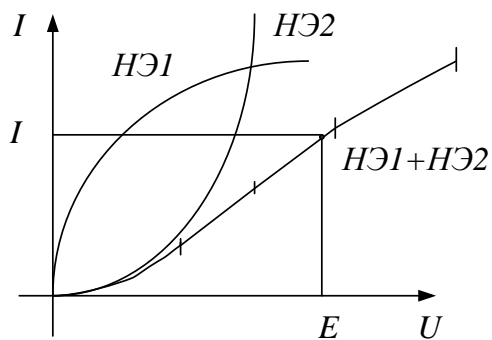


Рис. 8.6. Суммирование ВАХ

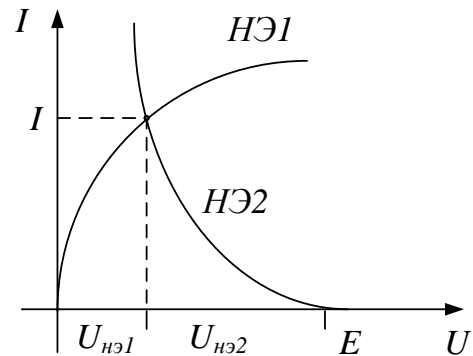


Рис. 8.7. Пересечение ВАХ

### Параллельное соединение НЭ

Входной ток  $I$  равен сумме токов через нелинейные элементы. Расчет можно провести, суммируя токи через НЭ для каждого значения напряжения и строя результирующую ВАХ.

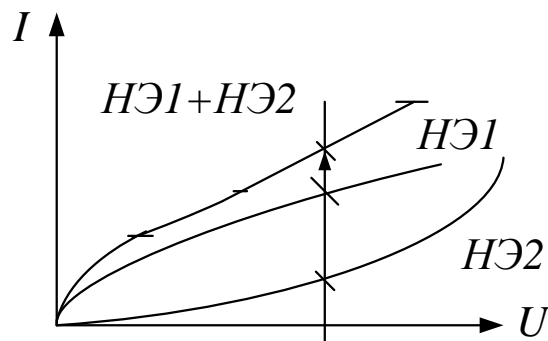
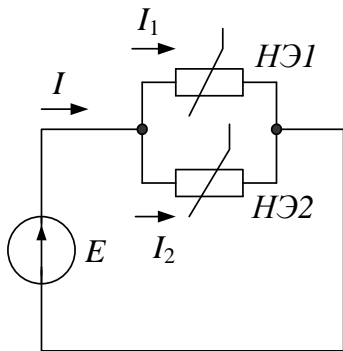


Рис. 8.8. Построение результирующей ВАХ параллельного соединения НЭ

### Расчет разветвленной цепи методом двух узлов

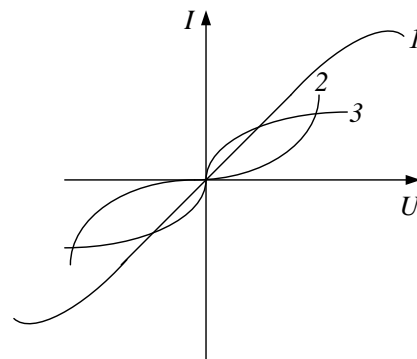
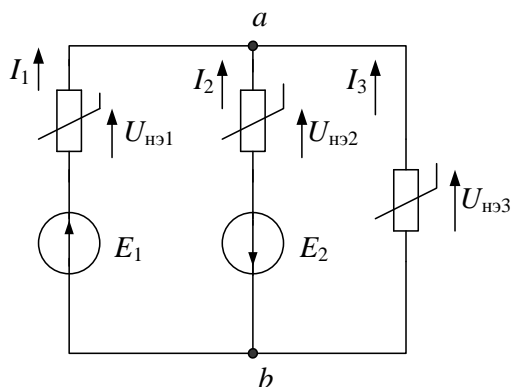


Рис. 8.9. Разветвленная нелинейная цепь

Нелинейная цепь имеет два узла и три ветви. ВАХ нелинейных элементов (кривые 1,2,3) заданы (рис. 8.9).

Примем для определенности  $E_1 = 3E_2$ .

По первому закону Кирхгофа:  $I_1 + I_2 + I_3 = 0$ .

По второму закону Кирхгофа:

$$U_{ab} = E_1 - U_{нэ1}, U_{ab} = -E_2 - U_{нэ2}, U_{ab} = -U_{нэ3}.$$

Выразим напряжения на нелинейных элементах:

$$U_{нэ1} = E_1 - U_{ab}, U_{нэ2} = -E_2 - U_{ab}, U_{нэ3} = -U_{ab}.$$

Построим графики токов в нелинейных элементах от  $U_{ab}$ , преобразуя ВАХ с учетом источников напряжения. Так в первой ветви  $U_{ab} = E_1 - U_{нэ1}$  напряжение на нелинейном элементе  $U_{нэ1} = E_1 - U_{ab}$  будет равно нулю, если  $U_{ab} = E_1$  и будет возрастать, если  $U_{ab} < E_1$ . Поэтому график ВАХ НЭ1 сместится по оси абсцисс в точку  $E_1$  и будет зеркальным отображением исходной ВАХ (рис. 8.10).

Аналогично построим графики токов для ветвей 2 и 3. Суммируем графики токов, получаем результирующую ВАХ (пунктирная линия) и находим выполнение условия  $I_1 + I_2 + I_3 = 0$ . В результате получаем токи в ветвях.

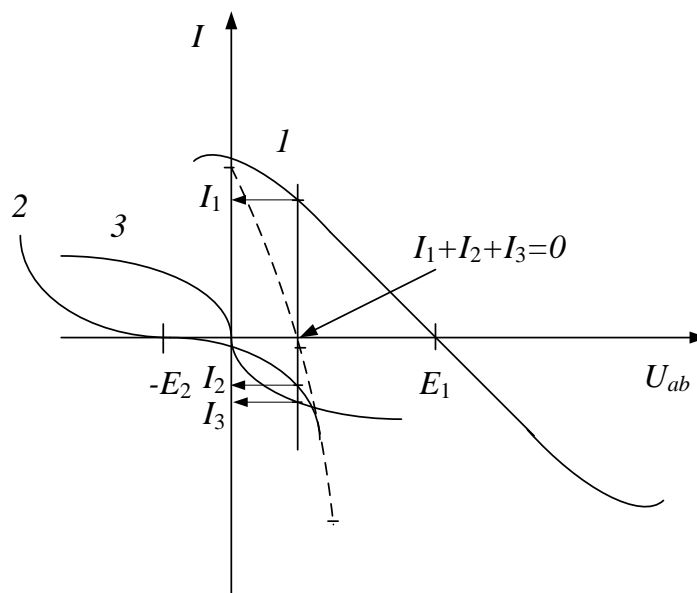


Рис. 8.10. Графический расчет разветвленной цепи

## **8.2. Вопросы для самопроверки и задания для подготовки к лабораторной работе**

1. Чем отличаются нелинейные элементы электрических цепей от линейных?
2. Какие свойства имеют вольтамперные характеристики нелинейных резисторов?
3. Как определить статическое и динамическое сопротивление нелинейного резистора?
4. Какие электрические цепи называются нелинейными?
5. Чем отличаются методы расчета нелинейных и линейных цепей?
7. Как экспериментально определяют вольтамперные характеристики нелинейных элементов?
8. Как рассчитать ток в цепи, содержащей источник напряжения и последовательно соединенные линейный и нелинейный резисторы?
9. Как рассчитать ток в цепи, содержащей источник напряжения и параллельно соединенные два нелинейных резистора?
10. Как методом двух узлов рассчитать разветвленную цепь с тремя нелинейными ветвями, содержащими источники напряжения и нелинейные резисторы?
11. Поясните, почему в схеме с тиристором (рис. 9.5а) возможно возникновение колебаний.

## **8.3. Лабораторная работа №8**

### **Исследование нелинейных электрических цепей постоянного тока**

**Цель работы** - определение вольтамперных характеристик нелинейных элементов, исследование режимов работы неразветвленных и разветвленных нелинейных электрических цепей.

#### **Описание схемы моделирования**

Схема моделирования показана на рис. 8.11. Модели нелинейных элементов НЭ1, НЭ2, НЭ3, НЭ4 содержат диоды, стабилитроны, транзисторы, резисторы и формируют несколько видов нелинейных ВАХ. Модели НЭ подключаются к внешнему

источнику напряжения  $E_0$  ключами [1] – [4]. К нелинейным элементам подключены источники напряжения  $E_1 – E_4$ . Резистор  $R_1$  является нагрузкой нелинейных элементов и может отключаться ключом [5]. Ключ [6] позволяет включить НЭ3 и НЭ4 последовательно. Ключ [7] отключает источник напряжения  $E_0$  от НЭ2-НЭ4. Резисторы  $R_{1и}$ ,  $R_{2и}$ ,  $R_{3и}$ ,  $R_{4и}$  служат для измерения токов в ветвях цепи. Конкретные модели и параметры элементов могут быть заданы преподавателем.

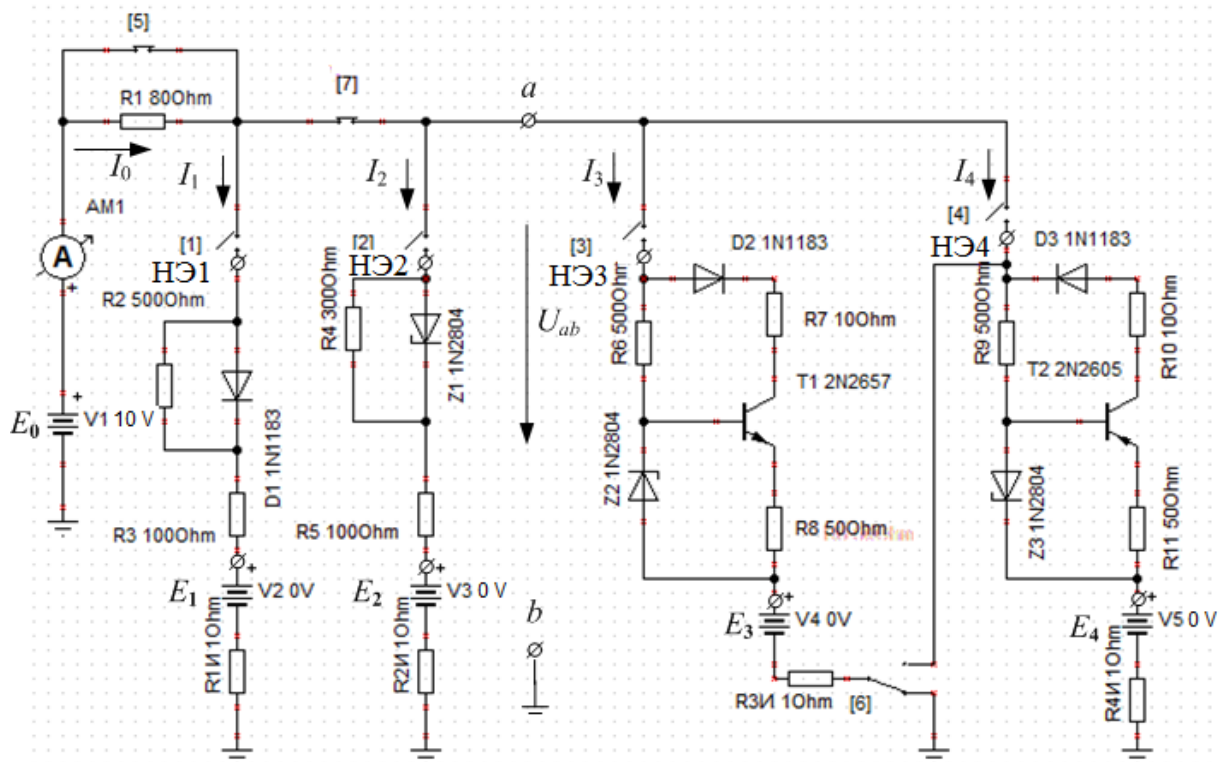


Рис. 8.11. Схема моделирования нелинейных цепей

### Лабораторное задание

#### Часть 1. Опытное получение ВАХ нелинейных резисторов, используемых в работе

1. Подключить к источнику напряжения  $E_0$  нелинейный элемент НЭ1 без нагрузки, замкнув ключи [1] и [5]. Остальные ключи разомкнуть. Источники напряжения  $E_1 - E_4$  установить равными нулю. Ключ [6] замкнуть на землю. Исследовать ВАХ НЭ1 в диапазоне напряжений  $-20\text{В} - +20\text{В}$ . Для этого в режиме *Analysis – DC Analysis – DC Transfer Characteristic* установить *Start value -20V, End value 20V* (рис. 8.12) и получить ВАХ (рис. 8.13).



Зарегистрировать в протоколе график ВАХ.

2. По номеру бригады выбрать из таблицы 8.1 значения нагрузки  $R_1$  и напряжения  $E_0$  и рассчитать координаты нагрузочной прямой. Используя средства рисования программы TINA-8, построить нагрузочную прямую и найти ток в цепи при включении нагрузки.

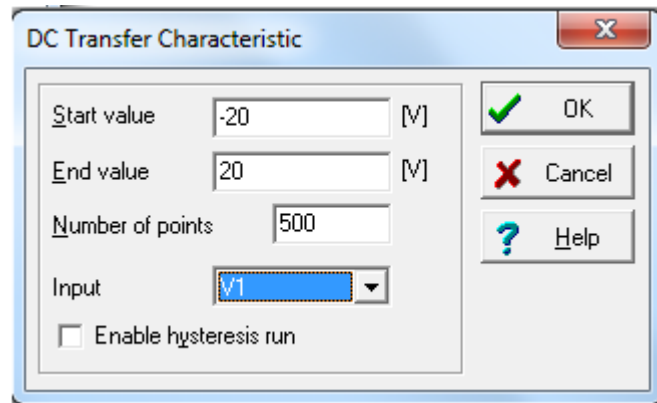


Рис. 8.12. Установка диапазона моделирования ВАХ

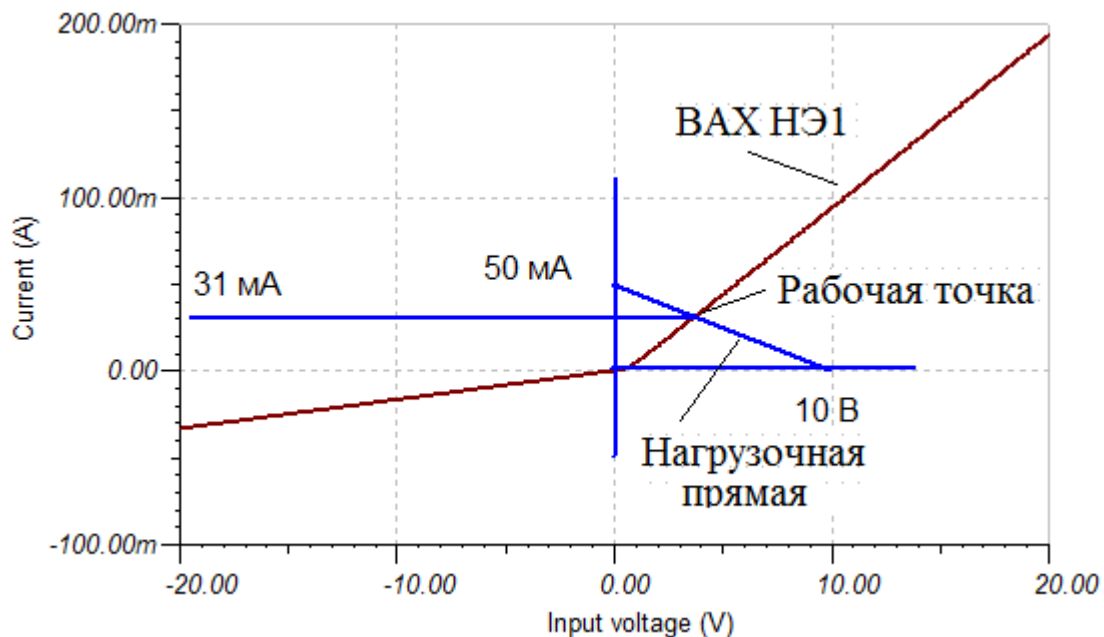


Рис. 8.13. ВАХ НЭ1 с нагрузочной прямой

3. Включить нагрузку  $R_1$ , установить заданное в таблице 8.1 значение  $E_0$  и в режиме *Analysis – DC Analysis-Table of DC results* определить входной ток  $I_0$ . Сравнить с результатом расчета.

4. Для нелинейных элементов НЭ2-НЭ4 повторить исследования по п.1-3.

### Соединения нелинейных элементов

5. Для каждой бригады в таблице 8.1 заданы номинальные значения источника напряжения  $E_0$ , линейного резистора  $R_1$ , и модели (НЭ-А, НЭ-Б) нелинейных элементов, включенных параллельно.

Таблица 8.1

№№ бриг.	1	2	3	4	5	6	7	8	9	10	11	12
$E_0$	6	8	10	-6	-8	-10	6	8	10	-6	-8	-10
$R_1$	120	100	80	80	120	100	80	100	120	100	120	80
НЭ-А	НЭ2	НЭ2	НЭ2	НЭ1	НЭ3	НЭ3	НЭ1	НЭ1	НЭ4	НЭ4	НЭ2	НЭ3
НЭ-Б	НЭ1	НЭ4	НЭ3	НЭ2	НЭ1	НЭ4	НЭ3	НЭ4	НЭ2	НЭ1	НЭ3	НЭ2

Включить параллельно нелинейные модели НЭ-А и НЭ-Б. Повторить исследования по п. 1-3.

6. Включить последовательно нелинейные модели НЭ3 и НЭ4. Повторить исследования по п.1-3.

7. Подключить НЭ-А. Включить соответствующий выбранному НЭ источник напряжения ( $E_1 - E_4$ ) и сделать его параметры переменными, например:  $E_3 = -5V, 0V, +5V$ . В режиме *Analysis – DC Analysis – DC Transfer Characteristic* зарегистрировать смещение ВАХ по оси напряжения (рис. 8.14).

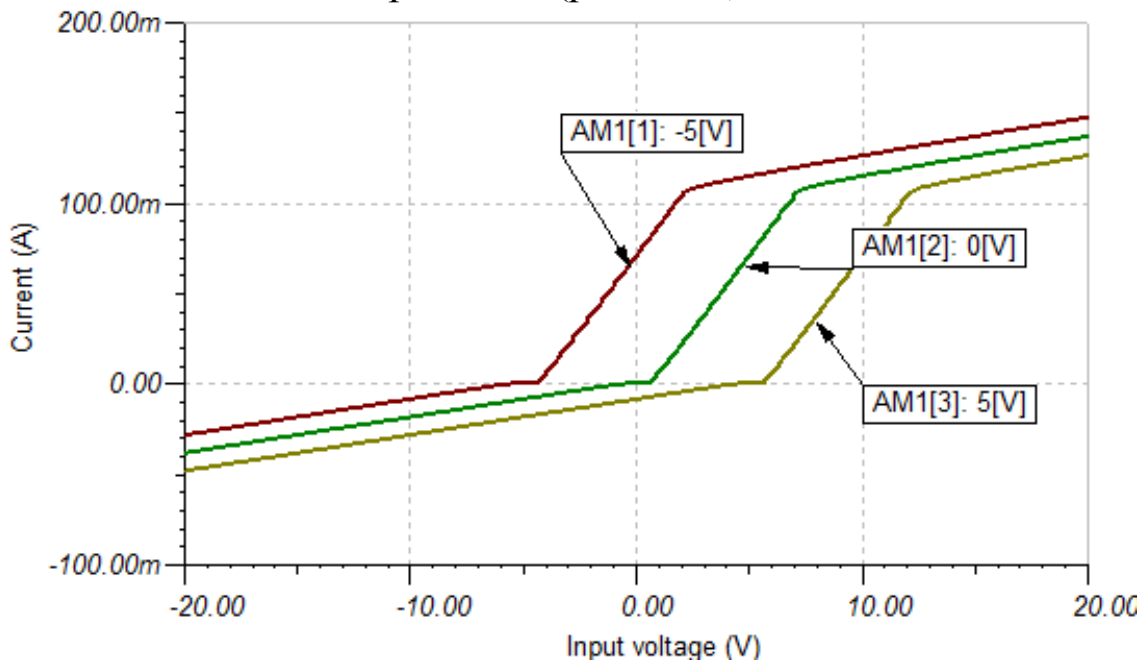


Рис. 8.14. ВАХ НЭ3 при разных значениях напряжения смещения

Отменить переменный параметр источника напряжения, используя *Remove* на вкладке *Parameter Stepping*.

### Часть 3. Исследование разветвленной цепи с тремя нелинейными элементами

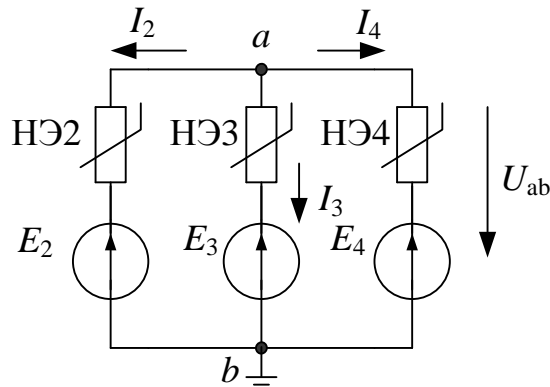


Рис. 8.15. Схема разветвленной нелинейной цепи

8. Собрать цепь по рис. 8.15, разместив в ветвях нелинейные элементы НЭ2, НЭ3, НЭ4. Ключом [7] отключить источник напряжения  $E_0$ . Значения  $E_2$ ,  $E_3$  и  $E_4$  в вольтах с учетом их полярности для каждой бригады даны в таблице 8.2.

Таблица 8.2

№№ бриг.	1	2	3	4	5	6	7	8	9	10	11	12
$E_2$	10	10	6	10	10	10	-10	-10	-6	-8	-10	8
$E_3$	0	-8	-6	-10	0	0	0	0	10	8	-10	0
$E_4$	8	0	0	0	-6	6	-6	10	0	0	0	10

Тщательно зарисовать схему с заданными параметрами источников напряжения в протокол лабораторной работы.

9. Используя режим *Analysis – DC Analysis-Table of DC results* определить токи в измерительных резисторах  $R_{2и}$ ,  $R_{3и}$ ,  $R_{4и}$  и записать токи во всех ветвях с учетом их направлений. Найти напряжение  $U_{ab}$  между узлами. Проверить выполнение первого закона Кирхгофа.

10. Ключом [7] подключить источник напряжения  $E_0$ . В режиме *Analysis – DC Analysis – DC Transfer Characteristic* получить ВАХ трех параллельно включенных нелинейных элементов из

п.8. В точке ВАХ с нулевым значением тока найти  $U_{ab}$  и сравнить с результатом из п.9.

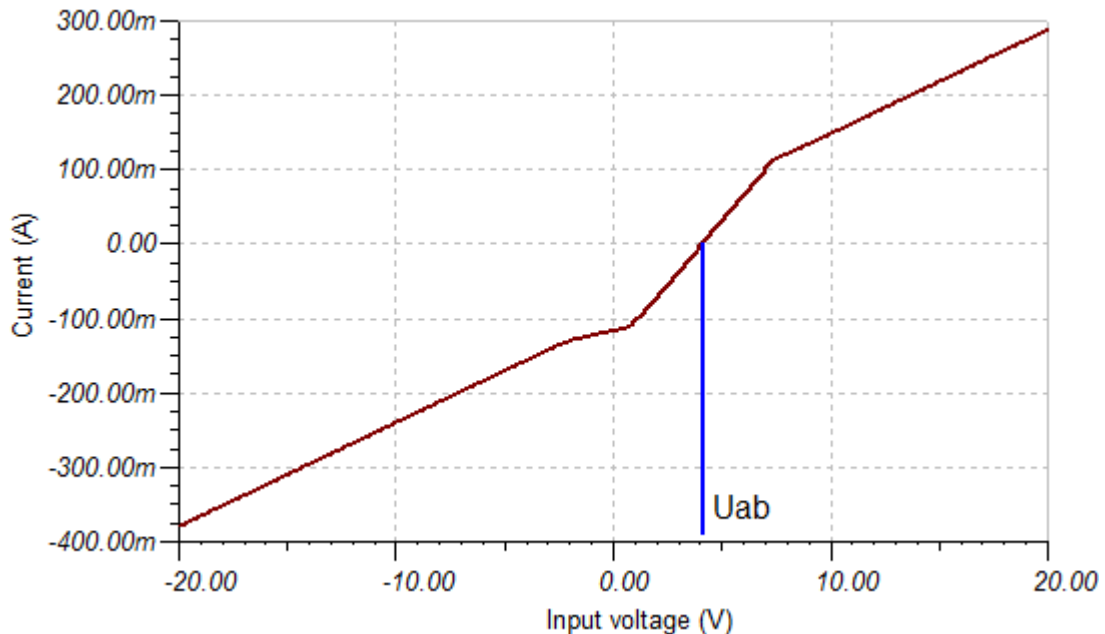


Рис. 8.16. ВАХ параллельного соединения трех НЭ

### Домашнее задание

1. Построить графики ВАХ исследованных нелинейных элементов и объяснить принципы их формирования.
2. Для исследованных НЭ найти токи и напряжения в последовательном соединении НЭ с заданным в таблице 8.1 источником напряжения и линейным резистором.
3. Построить результирующую ВАХ для параллельного соединения двух НЭ по п.5. Графически найти режим цепи для заданных в таблице 8.1 параметров и сравнить с экспериментом.
4. Построить результирующую ВАХ для последовательного соединения двух НЭ (п.6). Двумя методами рассчитать режим в цепи и сравнить с результатами эксперимента.
5. Произвести графический расчет токов в разветвленной цепи (п.8) методом двух узлов и сопоставить результаты опыта и расчета.
6. При оформлении отчета рекомендуем использовать методы численного расчета нелинейной цепи с использованием программы Mathcad [3].

## Глава 9. ВЫПРЯМИТЕЛИ НА ПОЛУПРОВОДНИКОВЫХ ДИОДАХ

### 9.1. Краткое теоретическое введение

#### Выпрямление переменного тока

В данной главе проводится анализ схем однополупериодного и двухполупериодного выпрямления переменного тока с использованием полупроводниковых диодов. ВАХ реального неуправляемого диода (кривая 1, рис 9.1) имеет ветвь прямого тока при  $u > 0$  и ветвь обратного тока при  $u < 0$ . Обратный ток  $i_{обр}$  у качественных диодов очень невелик (единицы микроампер). Прямой ток может достигать у мощных диодов десятков ампер. При теоретическом исследовании процессов выпрямления реальный диод мы заменяем идеальным, имеющим прямоугольную ВАХ (кривая 2, рис. 9.1).

На рис. 9.2а показана простейшая *схема однополупериодного выпрямления*, работающая на резисторную нагрузку. При входном напряжении  $u(t) = U_m \cdot \sin \omega t$  ток и напряжение на  $R_n$  имеют вид положительных полуволн рис. 9.2б. Моменты отпирания и запираания диода определяются соответственно моментами перехода напряжения и тока через нулевые значения.

В мостовой *схеме двухполупериодного выпрямления*, рис. 9.3, при входном напряжении  $u(t) = U_m \cdot \sin \omega t$  ток в нагрузку поступает в каждый полупериод (рис. 9.4), и имеет форму двух положительных полуволн  $i_n(t) = \frac{U_m}{R_n} \cdot |\sin \omega t|$ . В положительные полупериоды входного напряжения диоды VD<sub>1</sub> и VD<sub>2</sub> открыты, а VD<sub>3</sub> и VD<sub>4</sub> закрыты, в отрицательные полупериоды диоды VD<sub>1</sub> и VD<sub>2</sub> заперты, а VD<sub>3</sub> и VD<sub>4</sub> открыты.

Напряжение на нагрузке  $R_n$  равно  $u_n(t) = U_m \cdot |\sin \omega t|$  и будет повторять по форме кривую тока.

Функции  $i_n(t)$ ,  $u_n(t)$  в этих случаях состоят из суммы постоянной составляющей и гармоник.

В *схеме однополупериодного выпрямления* постоянные составляющие напряжения или средние за период значения напря-

жения  $U_0 = \frac{1}{T} \int_0^T u_n dt$  и тока  $I_0 = \frac{1}{T} \int_0^T i_n dt$  равны:  $U_0 = U_m/\pi$ ,  $I_0 = I_m/\pi$ . Первая, вторая и четвертая гармоники напряжения имеют амплитуды соответственно  $U_m/2$ ,  $2U_m/3\pi$ ,  $2U_m/15\pi$ .

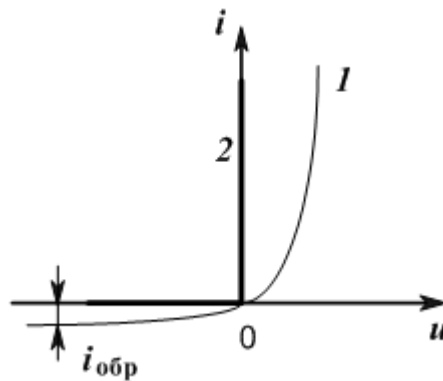


Рис. 9.1. Вольтамперная характеристика реального (1) и идеального (2) диода

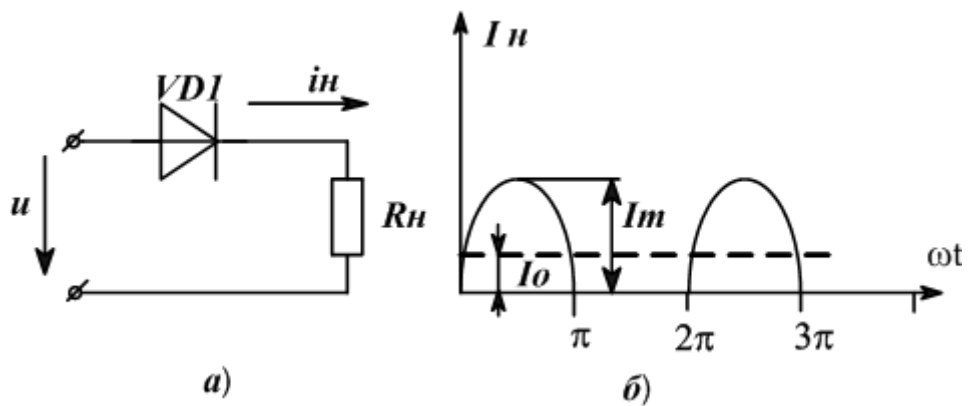


Рис 9.2. Схема однополупериодного выпрямителя

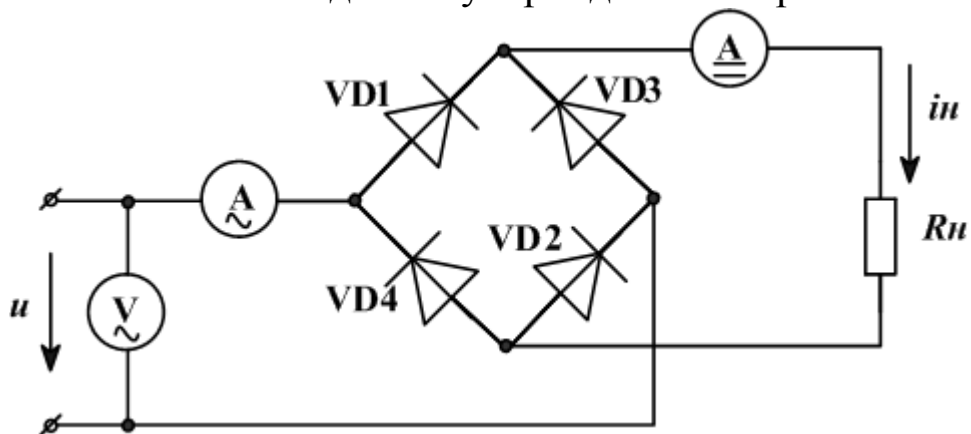


Рис. 9.3. Схема двухполупериодного выпрямителя

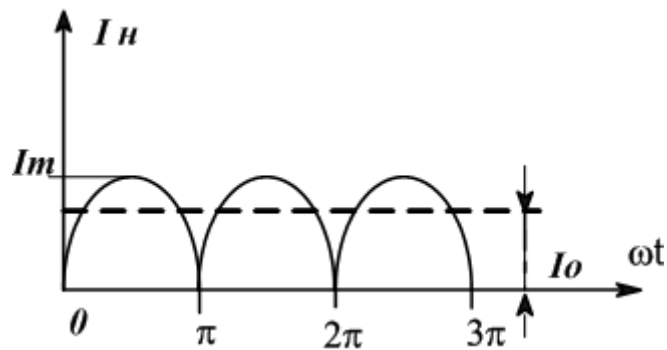


Рис. 9.4. Диаграмма тока в нагрузке двухполупериодного выпрямителя

Действующее значение переменного тока в нагрузке

$$I = \sqrt{\frac{1}{T} \int_0^T i_n^2 dt}.$$

Для схемы двухполупериодного выпрямления

$$I = \frac{I_m}{\sqrt{2}},$$

то есть такое же, как для синусоидального тока.

Для схемы однополупериодного выпрямления действующее значение тока в  $\sqrt{2}$  раз меньше, чем в схеме двухполупериодного выпрямления.

#### Сглаживание пульсаций выпрямленного тока, емкостной фильтр

Проанализируем работу схемы однополупериодного выпрямления при наличии емкостного фильтра (рис. 9.5).

В открытом состоянии диода  $\omega t_1 \leq \omega t \leq \omega t_2$  (рис. 9.6) напряжение  $u = U_m \sin \omega t$  приложено к нагрузке  $R_n, C$ . Емкостный элемент схемы в эти моменты времени заряжается, ток через диод равен сумме токов через резистивный и емкостной элементы. В момент времени  $t_2$  ток через диод равен нулю, диод закрывается. Угол за-  
пира-  
ния диода равен:  $\omega t_2 = \arctg(-\omega R_n C) = \pi - \arctg(\omega R_n C)$ , ток через диод  $i(\omega t_2) = 0$ , напряжение на конденсаторе  $u_c(\omega t_2) = U_m \sin \omega t_2$ . После закрытия диода, начиная от  $t_2$  до  $(T + t_1)$ , происходит разряд конденсатора  $C$  на резистор  $R_n$  по экспоненциальному закону  $u_c = U_m \sin \omega t_2 e^{-(t-t_2)/R_n C}$ . Кривая  $u_c(t)$  приведена на рис. 9.6. В момент  $t_1$  входное напряжение становится равным напряжению на

емкостном элементе, диод открывается. Для определения момента открытия диода  $t_1$  запишем равенство:

$$U_m \sin(\omega t_1) = U_m \sin(\omega t_2) e^{-\frac{2\pi + \omega t_1 - \omega t_2}{\omega R_n C}} \quad (9.1)$$

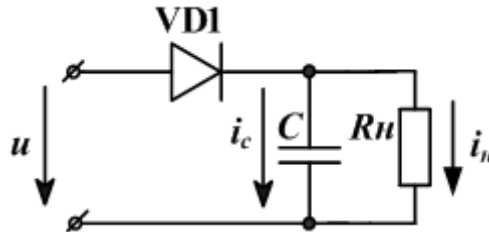


Рис. 9.5. Однополупериодный выпрямитель с емкостным фильтром

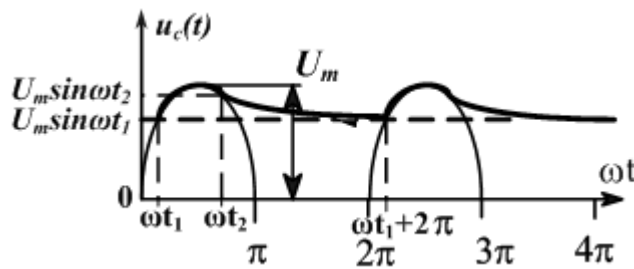


Рис. 9.6. Напряжение на емкости фильтра

Величину ёмкости  $C$  практически выбирают так, чтобы при заданной нагрузке выполнялось соотношение  $\omega R_n C > 1$ , тогда напряжение на ёмкости спадает относительно медленно.

Схема двухполупериодного выпрямителя с емкостным фильтром отличается от рис. 9.3 тем, что параллельно сопротивлению нагрузки  $R_n$  включается емкость  $C$ .

Решение уравнения (9.1) можно выполнить численно, используя Mathcad.

При  $\omega R_n C > 10$  (с погрешностью 5%) можно принять  $\omega t_2 = \frac{\pi}{2}$ , для расчёта  $\omega t_1$  пригодна приближенная формула:

$\sin(\omega t_1) = e^{-\frac{1.5\pi + \omega t_1}{\omega R_n C}}$ . При этом следует принять значение  $\omega t_1 < \pi/2$ .



Зная  $\omega t_1$  и  $\omega t_2$ , найдём постоянную составляющую напряжения на нагрузке  $U_0$ , как среднее значение за период  $T$ , в угловом измерении за  $2\pi$  для однополупериодного выпрямителя и  $\pi$  - для двухполупериодного выпрямителя:

$$U_{01} = \frac{1}{2\pi} \left[ \int_{\omega t_1}^{\omega t_2} U_m \sin(\omega t) d\omega t + \int_{\omega t_2}^{(2\pi + \omega t_1)} u_c(t) d\omega t \right].$$

Рассчитанные в Mathcad графики формы выпрямленного напряжения на нагрузке приведены на рис. 9.7. В расчетах принято, что амплитуда переменного напряжения  $U_m = 10\text{ В}$ ,  $m = \omega R_n C = 5$ ,  $U_{01}, UC1$  - постоянная составляющая и форма напряжения на нагрузке в однополупериодном выпрямителе,  $U_{02}, UC2$  - постоянная составляющая и форма напряжения на нагрузке в двухполупериодном выпрямителе.

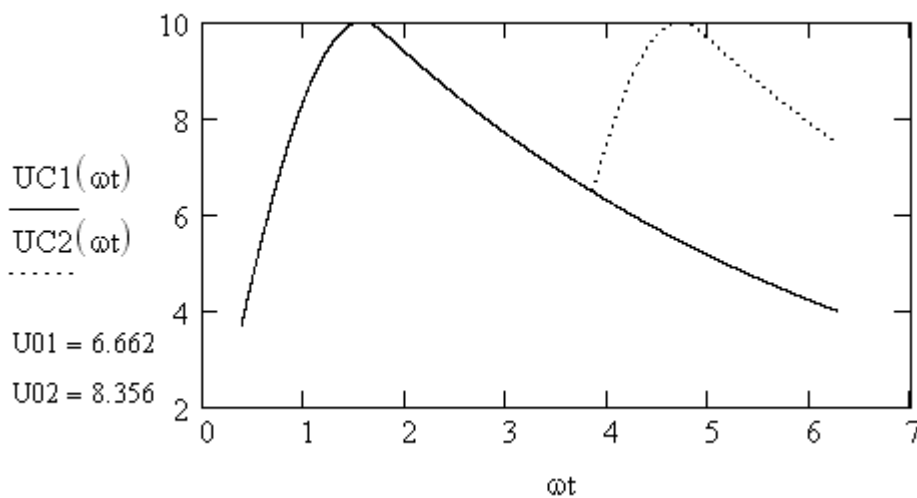


Рис. 9.7. Графики напряжения на нагрузке в однополупериодном ( $UC1(\omega t)$ ) и двухполупериодном ( $UC2(\omega t)$ ) выпрямителе при  $m = \omega R_n C = 5$

Степень пульсации напряжения или тока в нагрузке можно оценить коэффициентом пульсации  $K_{\text{п}} = (U_{\text{max}} - U_{\text{min}}) / U_0$ .

Если  $m > 100-200$ , емкость  $C$  не успевает разряжаться за время периода  $T$  и напряжение на нагрузке будет практически равно амплитуде (пику) входного напряжения  $U_m$ . Такой

выпрямитель называется пиковым детектором и применяется в радиотехнических устройствах для детектирования сигналов.

### П-образный фильтр низких частот

П-образный фильтр низких частот включают между выпрямителем и нагрузкой.

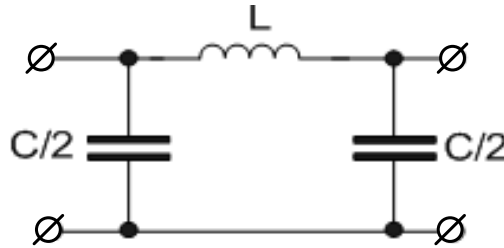


Рис. 9.8. П – образный  $LC$ - фильтр низких частот

Наибольшее сглаживание пульсаций получают в симметричном фильтре. Для фильтра типа "К" параметр  $k = \sqrt{\frac{L}{C}} = R_n$ ,

$\underline{Z}_1 = j\omega L$ ,  $2\underline{Z}_2 = -j\frac{2}{\omega C}$ . Коэффициент передачи по напряжению для гармонических составляющих пульсаций можно вычислить по формуле:

$$K_U(\omega) = \left| \frac{R_n}{\left(1 + \frac{\underline{Z}_1}{2\underline{Z}_2}\right) \cdot R_n + \underline{Z}_1} \right| \quad (9.2)$$

Частота среза ФНЧ  $\omega_c = \frac{2}{\sqrt{LC}}$  для однополупериодного выпрямителя должна быть в 2-3 раза меньше частоты первой гармоники, а для двухполупериодного выпрямителя в 2-3 раза меньше частоты второй гармоники.

## 9.2. Вопросы для самопроверки и подготовки к лабораторной работе

1. Нарисуйте вольтамперные характеристики идеального и реального диода.

2. Нарисуйте схему однополупериодного выпрямителя и объясните его назначение и работу.

3. Нарисуйте схему двухполупериодного выпрямителя и объясните его назначение и работу.

4. Как рассчитать постоянное напряжение в активной нагрузке однополупериодного и двухполупериодного выпрямителя без сглаживающего фильтра? На сколько отличаются эти напряжения?

5. Для чего применяют сглаживающий емкостной фильтр в выпрямителях?

6. Как меняется напряжение на емкости сглаживающего фильтра в однополупериодном выпрямителе?

7. Как меняется напряжение на емкости сглаживающего фильтра в двухполупериодном выпрямителе?

8. Как рассчитать постоянное напряжение в активной нагрузке однополупериодного и двухполупериодного выпрямителя со сглаживающим фильтром? Какое наибольшее значение может иметь это напряжение и при каких условиях?

9. Сравните достоинства и недостатки однополупериодного и двухполупериодного выпрямителя.

10. Как определить требуемую полосу пропускания сглаживающего  $LC$ -фильтра, работающего с выпрямителями?

### 9.3. Лабораторная работа №9

#### Исследование выпрямителей на полупроводниковых диодах

**Цель работы** заключается в изучении работы одно- и двухполупериодных схем выпрямления, сглаживания пульсаций с помощью простейших фильтров, расчета токов и напряжений в нагрузке и сопоставлении результатов расчета и эксперимента.

#### Лабораторное задание

1. Схема моделирования выпрямителей показана на рис. 9.10. Генератор синусоидального напряжения  $V_{G1}$  подключается к диодному мосту из диодов  $D1$ ,  $D2$ ,  $D3$ ,  $D4$ . Ключами [1] и [2] можно установить режим однополупериодного или двухполупериодного выпрямления. Нагрузка  $R_1=1$  кОм подключается к диодам непосредственно или с использованием сглаживающих

фильтров ( $L_1=10$  мГн,  $C_1=C_2=20$  мкФ). Вспомогательный резистор  $R_2=1$  Ом требуется для корректности расчетов в программе TINA-8 и не влияет на точность моделирования.

#### А. Исследование однополупериодного выпрямителя

2. Схема для компьютерного моделирования однополупериодного выпрямителя без сглаживающего фильтра показана на рис. 9.9. В ней ключ [1] разомкнут, ключ [2] находится в нижнем положении, ключ [L] замкнут, ключи [C1], [C2] разомкнуты. Выпрямление выполняется диодом D1.

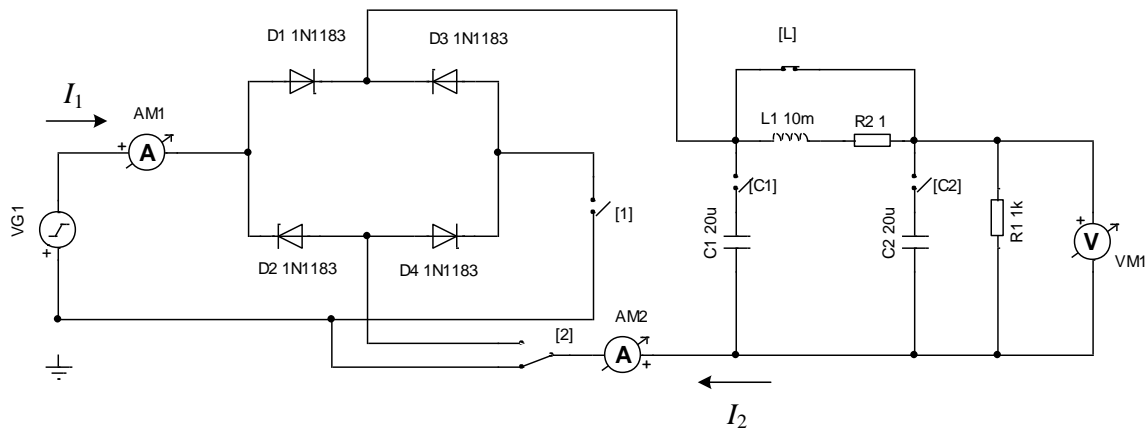


Рис. 9.9. Схема компьютерного моделирования выпрямителей

3. Установить на генераторе частоту синусоидального сигнала по указанию преподавателя в диапазоне от 50 до 200 Гц, амплитуду 10 В.

4. В режиме *Analysis-Transient* получить графики напряжений на выходе генератора (VG1) и на нагрузке (VM1) (рис. 9.10). В окне результатов удалить графики VG1 и VM1. В меню результатов выбрать *Edit – Post-processor-AM2-Add-Ok*. Получим совпадающие по форме графики токов  $I_{\sim}$  и  $I_{=}$ .

5. Измерить значения постоянной составляющей и первой гармоники напряжений и токов в однополупериодном выпрямителе.

#### Важное пояснение.

В программе TINA-8 измерительные приборы (вольтметр, амперметр, мультиметр) измеряют только постоянные и гармонические токи и напряжения. Поэтому в схеме рис. 9.10 эти

приборы поставлены для обозначения выходных измеряемых параметров (*Output*) и не могут давать правильные значения в таблицах результатов. Все измерения несинусоидальных величин надо проводить с использованием **анализа Фурье**.

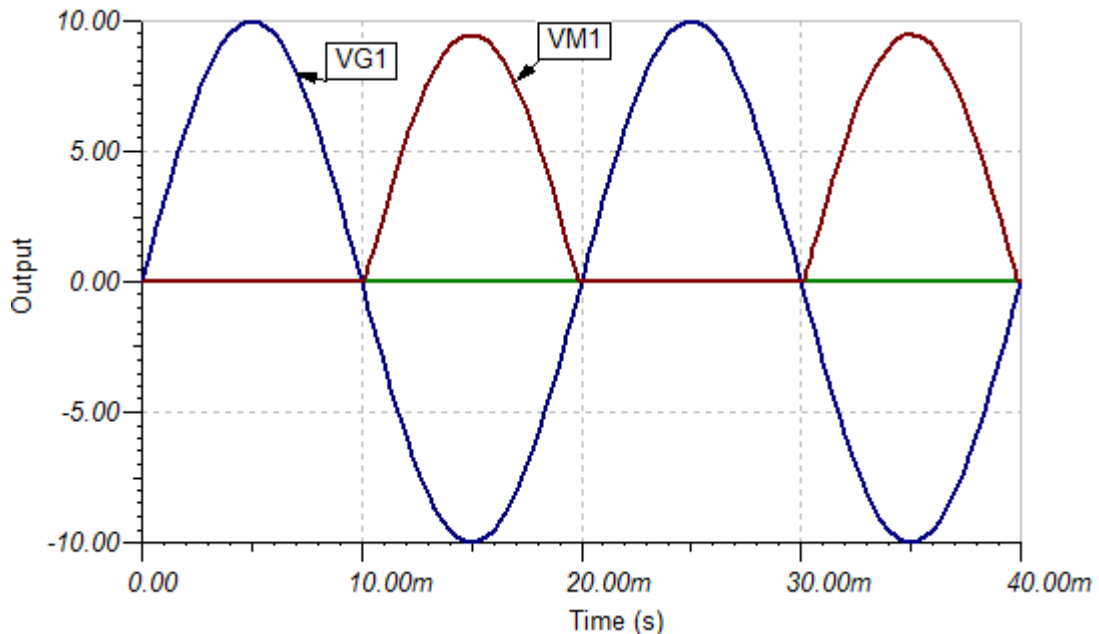


Рис. 9.10. Графики напряжений однополупериодного выпрямителя

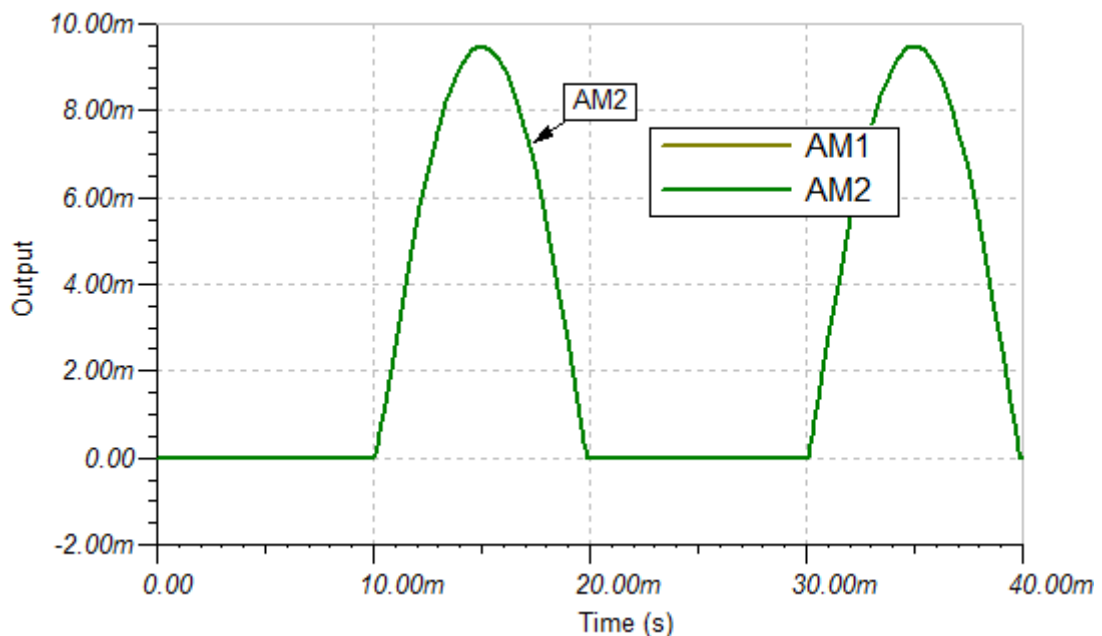


Рис. 9.11. Графики токов однополупериодного выпрямителя

Выбрать в главном меню *Analysis- Fourier Analysis- Fourier Series*. В окне *Format* выбрать *Aeff, Beff*. При этом будут вычис-

ляться действующие значения постоянной составляющей и гармоник. В окне Output выбрать VM1. Нажать Calculate. В таблице получим действующие значения постоянной составляющей 2,94 В ( $k=0$ ), первой гармоники – 3,31 В ( $k=1$ ), второй гармоники -1,48 В ( $k=2$ ) и т.д. Знаки минус учитывают начальные фазы гармоник и несущественны для исследования выпрямителя.

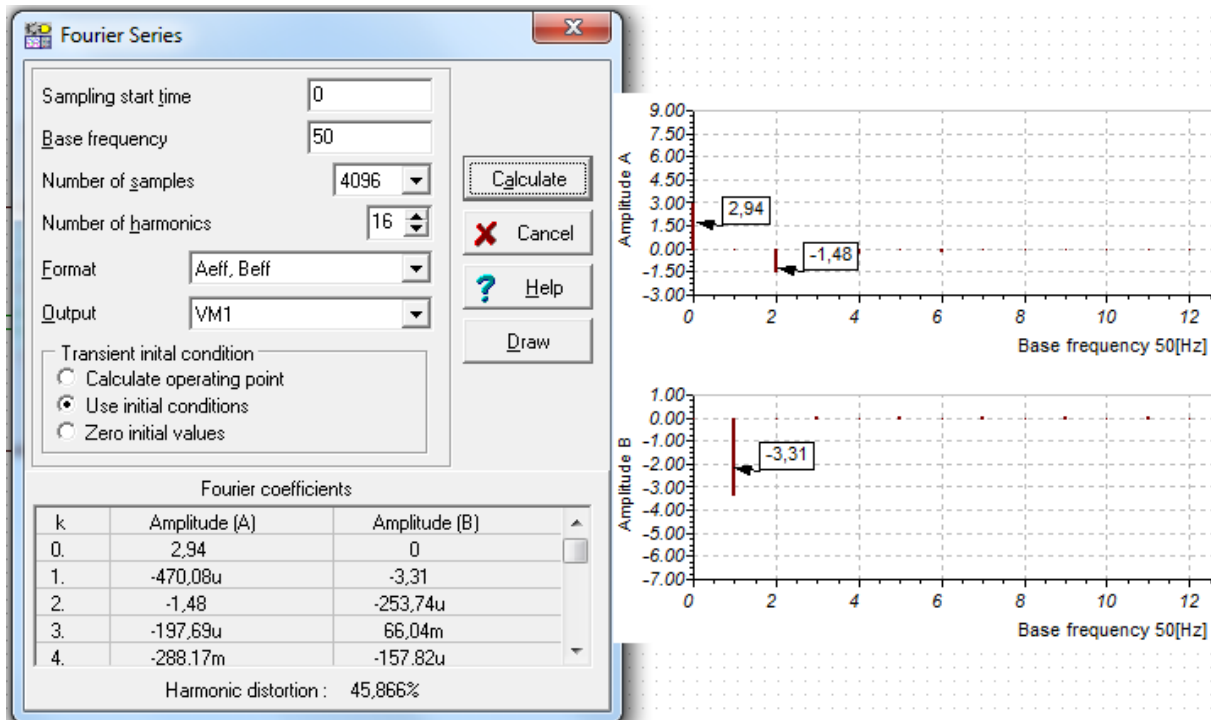


Рис. 9.12. Спектр Фурье напряжения на нагрузке однополупериодного выпрямителя

6. В окне *Fourier Series – Output* выбрать AM1. Исследовать спектр входного тока  $I_1$ . В схеме рис. 9.9 однополупериодного выпрямителя с активной нагрузкой без сглаживающего фильтра входной ток совпадает с выходным.

7. Подключить параллельно сопротивлению нагрузки конденсаторы  $C_1$  и  $C_2$ . Повторить исследования по п.4-6. Анализ Фурье показывает увеличение постоянной составляющей до 3,69 В (рис. 9.16).

#### Б. Исследование двухполупериодного выпрямителя

8. В схеме рис. 9.9 установить режим двухполупериодного выпрямления без сглаживающего фильтра. Для этого замкнуть

ключи [1] и [L], разомкнуть ключи [C1] и [C2], ключ [2] переключить в верхнее положение.

Повторить исследования по п.4-7 для VM1, AM1, AM2.

Зарегистрировать все графики и действующие значения напряжений и токов.

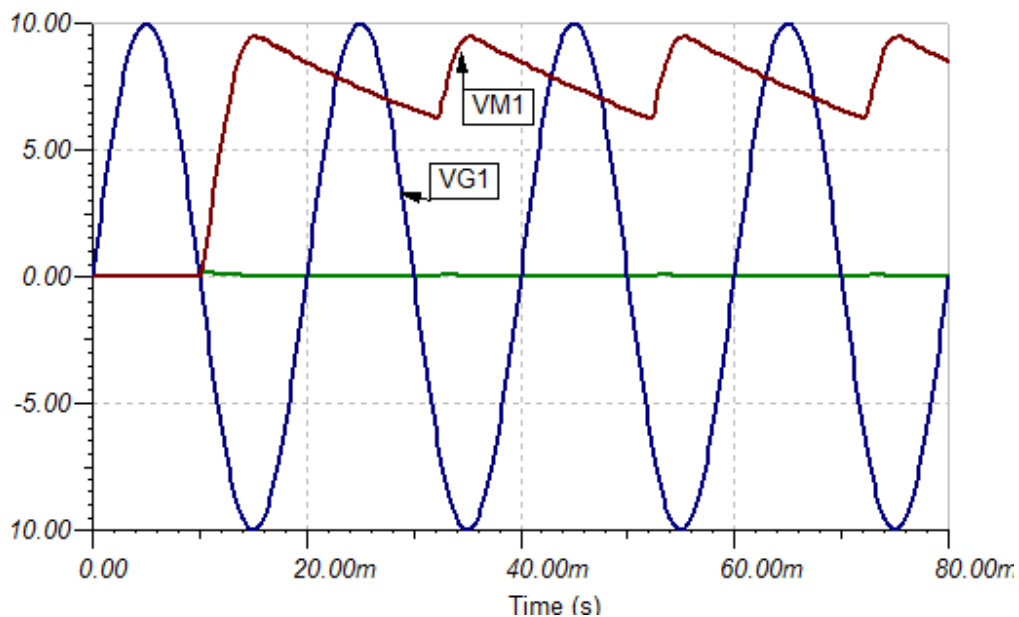


Рис. 9.13. Графики напряжений однополупериодного выпрямителя с емкостным фильтром

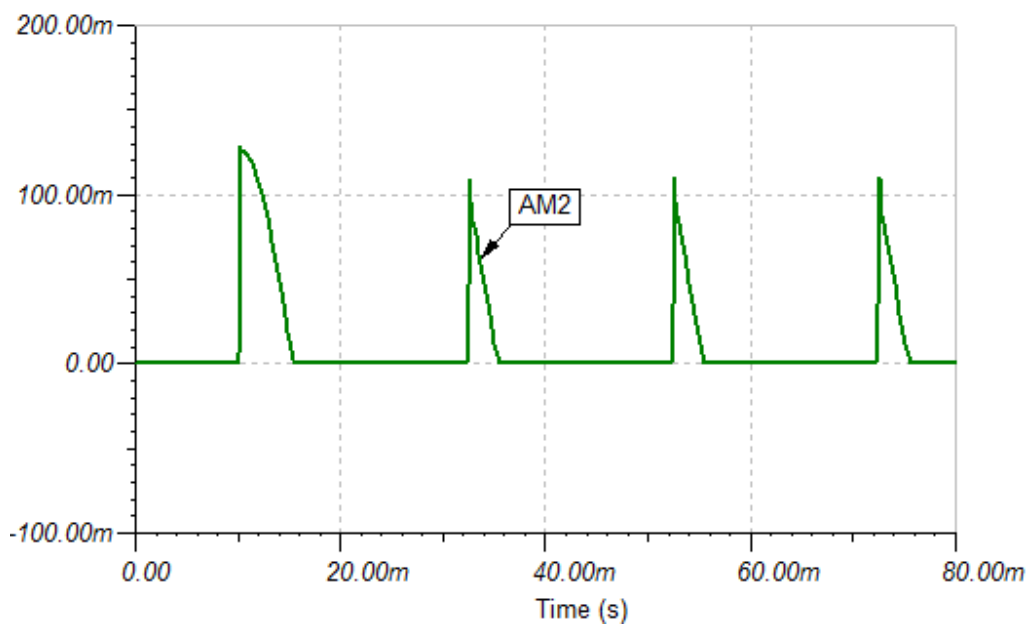


Рис. 9.14. Графики тока однополупериодного выпрямителя с емкостным фильтром

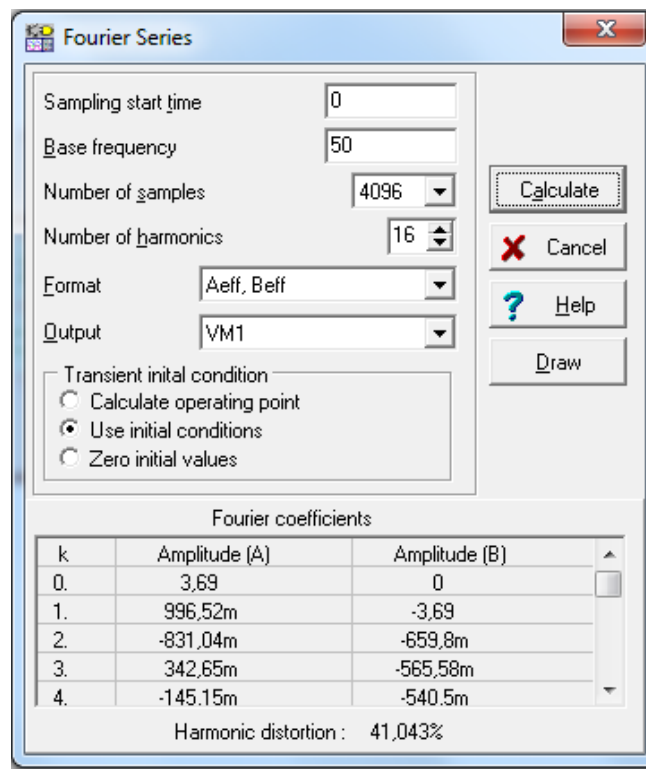


Рис. 9.15. Спектр Фурье напряжения на нагрузке однополупериодного выпрямителя с емкостным фильтром

9. Подключить к емкостям  $C_1$  и  $C_2$  индуктивность  $L_1$  так, чтобы образовался П-образный сглаживающий ФНЧ. Рассчитать частоту среза ФНЧ по формуле  $f_c = \frac{1}{\pi\sqrt{LC}}$ . Установить частоту сигнала генератора  $f > 1,5f_c$ . Повторить исследования двухполупериодного выпрямителя с П-образным LC- фильтром.

Для этого в режиме *Analysis-Transient* исследования провести в интервале 0-20 мс и 20-40мс, когда переходные процессы закончатся.

Сохранив в режиме *Analysis-Transient* установку интервала 20-40 мс, исследовать спектр VM1, AM1, AM2 при значении *Sampling start time* 20 m. Наблюдать возрастание постоянной составляющей и уменьшение пульсаций (рис. 9.16).

### Домашнее расчетное задание

1. Построить графики напряжения на нагрузке для всех исследованных схем. Объяснить форму полученных графиков.
2. Для исследованных схем выпрямителей определить по



экспериментальным данным  $U_{\max}$ ,  $U_{\min}$ , постоянные составляющие  $U_0$ ,  $I_0$ , первые, вторые и третьи гармоники  $U_{(1)}$ –  $U_{(3)}$ , коэффициент пульсаций  $K_{\Pi}$  и сделать выводы о свойствах выпрямителей и сглаживающих цепей.

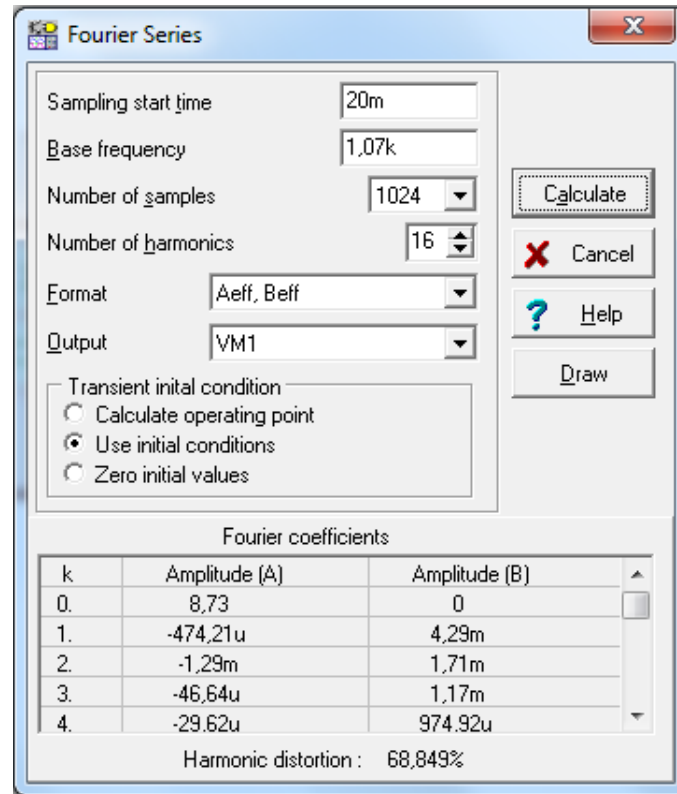


Рис. 9.16. Спектр Фурье напряжения на нагрузке двухполупериодного выпрямителя с  $LC$ - фильтром

3. Используя частоту и напряжение сигнала из п.9, рассчитать и построить спектр напряжения на выходе диодного моста двухполупериодного выпрямителя с идеальными диодами. Рассчитать коэффициент передачи сглаживающего П-образного ФНЧ на постоянном напряжении и второй гармонике сигнала.

## Глава 10. ИССЛЕДОВАНИЕ ХАРАКТЕРИСТИК БИПОЛЯРНОГО ТРАНЗИСТОРА И УСИЛИТЕЛЯ НА БИПОЛЯРНОМ ТРАНЗИСТОРЕ

### 10.1. Теоретические сведения

Биполярным транзистором называют полупроводниковый прибор, имеющий два взаимодействующих между собой  $p$ - $n$  перехода. В зависимости от последовательности чередования обла-

стей с различным типом проводимости различают  $n-p-n$  транзисторы и  $p-n-p$  транзисторы. Транзистор называется биполярным потому, что физические процессы в нем связаны с движением носителей обоих знаков (свободных дырок и электронов). Трехслойная структура  $n-p-n$  транзистора показана на рис. 10.1а. На рис. 10.1б показано условное обозначение  $n-p-n$  транзистора, на рис. 10.1в – условное обозначение  $p-n-p$  – транзистора.

Средний слой биполярного транзистора называют базой **Б**, один крайний слой называют коллектором **К**, другой крайний слой называют эмиттером **Э**. В зависимости от полярности напряжений, приложенных к электродам транзистора различают следующие режимы его работы: линейный (усилительный), насыщения, отсечки, инверсный. В линейном режиме эмиттерный переход смещен в прямом направлении, а коллекторный - в обратном. В режиме насыщения оба перехода смещены в прямом направлении. В режиме отсечки оба перехода смещены в обратном направлении. В инверсном режиме коллекторный переход смещен в прямом направлении, а эмиттерный в обратном.

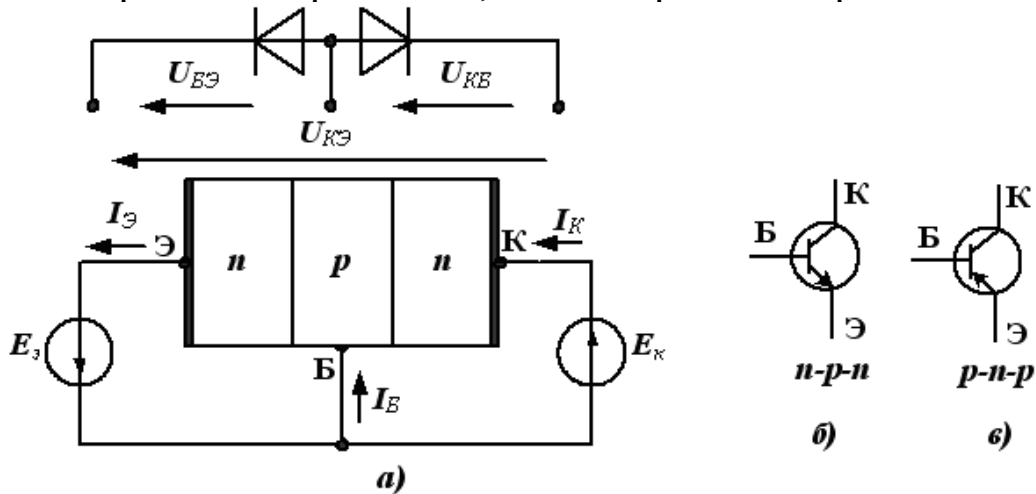


Рис. 10.1. Структура  $n-p-n$  транзистора (а) и условные обозначения  $n-p-n$  транзистора (б) и  $p-n-p$  – транзистора.

Биполярные транзисторы применяются в схемах усилителей, генераторов и преобразователей электрических сигналов, изготавливаются из кремния, германия или арсенида галлия и делятся на низкочастотные (до 3 МГц), среднечастотные (до 30 МГц), высокочастотные (до 300 МГц) и сверхвысокочастотные (более 300 МГц). По мощности

транзисторы бывают маломощные (до 300 мВт), средней мощности (до 1,5 Вт) и большой мощности (более 1,5 Вт).

Работа транзистора основана на управлении токами электродов в зависимости от приложенных к его переходам напряжений. В линейном режиме приложенное к базе напряжение  $U_{БЭ}$  (для  $n-p-n$  транзистора  $U_{БЭ} > 0$ ) открывает переход база-эмиттер. Свободные электроны инжектируются из эмиттера в базу, образуя ток эмиттера  $I_Э$  в цепи эмиттера. Большая часть электронов, инжектированных из эмиттера в базу, втягивается сильным электрическим полем  $p-n$  перехода между базой и коллектором, образуя ток коллектора  $I_K$  в цепи коллектора. Незначительная часть свободных электронов, инжектированных из эмиттера в базу, образует ток  $I_B$ .

В схеме рис. 10.1а база является общим электродом входной и выходной цепи. Такая схема включения биполярного транзистора называется *схемой с общей базой (ОБ)*. Для усиления сигналов применяют также схемы включения биполярных транзисторов с *общим коллектором (ОК)* и *общим эмиттером (ОЭ)*.

Схема с общим эмиттером наиболее распространена, исследуется в лабораторной работе и показана на рис. 10.2. В этой схеме напряжение на нелинейном переходе база-эмиттер  $U_{БЭ} = E_B - I_B R_B$ . Напряжение на переходе коллектор-эмиттер  $U_{КЭ} = E_K - I_K R_K$ .

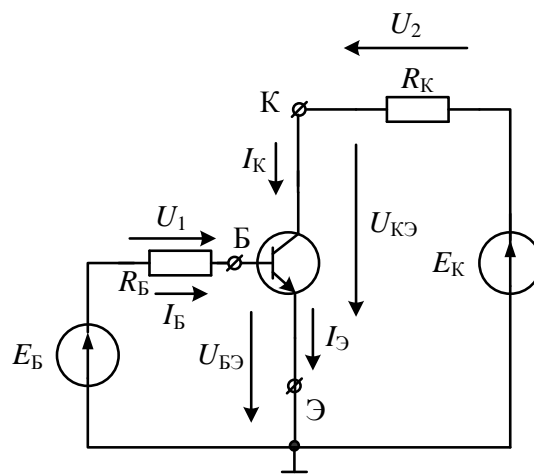


Рис. 10.2. Схема включения транзистора с общим эмиттером

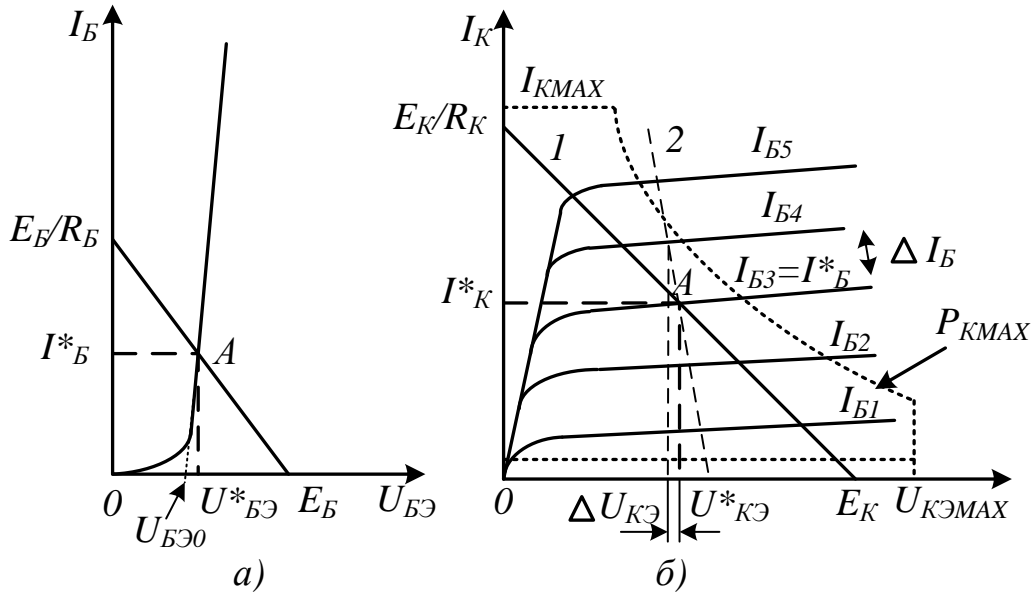


Рис. 10.3. Входная (а) и выходные (б) характеристики биполярного транзистора

Расчет статического режима транзистора для усиления малого сигнала проводят графически. Сначала на выходных характеристиках (рис. 10.3.б) проводят нагрузочную прямую для заданных  $E_K, R_K$  и находят номинальный ток базы  $I_B^*$ , при котором напряжение  $U_{КЭ}$  примерно составляет  $E_K/2$ . Затем по входной характеристике для заданного  $E_B$  находят  $R_B$ .

В линейном режиме усиления малого сигнала биполярный транзистор описывают системой уравнений четырехполюсника в Н- параметрах:

$$u_{БЭ} = h_{11} \cdot i_B + h_{12} \cdot u_{КЭ} \quad (10.1)$$

$$i_K = h_{21} \cdot i_B + h_{22} \cdot u_{КЭ}$$

$$\text{где } h_{11} = \frac{\Delta u_{БЭ}}{\Delta i_B} \Big|_{u_{КЭ}=\text{const}}, \quad h_{12} = \frac{\Delta u_{БЭ}}{\Delta u_{КЭ}} \Big|_{i_B=\text{const}},$$

$$h_{21} = \frac{\Delta i_K}{\Delta i_B} \Big|_{u_{КЭ}=\text{const}}, \quad h_{22} = \frac{\Delta i_K}{\Delta u_{КЭ}} \Big|_{i_B=\text{const}} \quad (10.2)$$

Н – параметры биполярного транзистора можно рассчитать по вольтамперным характеристикам и определить экспериментально. Их типовые значения находятся в пределах:

$$h_{11} = 10^3 - 10^4 \text{ Ом}, \quad h_{12} = 2 \cdot 10^{-4} - 2 \cdot 10^{-3},$$

$$h_{21} = 20 - 200, \quad h_{22} = 10^{-5} - 10^{-6} \text{ См}.$$

Пренебрегая малым значением параметра  $h_{12}$ , получим схему замещения биполярного транзистора, включенного по схеме с ОЭ, в режиме малого сигнала (рис. 10.4). В этой схеме  $h_{11} = R_{вх}$ ,  $1/h_{22} = R_{вых}$  - входное и выходное сопротивления;  $h_{21} \cdot i_B$  - источник тока, управляемый током базы  $i_B$ . Таким образом, биполярный транзистор представляет собой источник тока, управляемый током.

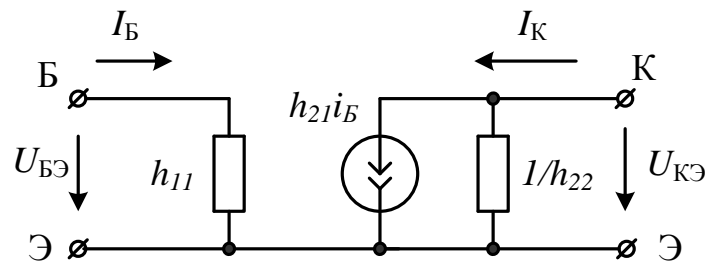


Рис. 10.4. Схема замещения биполярного транзистора на постоянном токе и низких частотах

Эта схема замещения используется на постоянном токе и низких частотах, когда инерционность транзистора можно не учитывать. В более общем случае  $h$ -параметры транзистора являются комплексными величинами, в схему замещения добавляются емкости между базой и коллектором  $C_K$  и базой и эмиттером  $C_Э$ .

Для работы в линейном режиме на выходных характеристиках транзистора (рис. 10.3.б) в режиме покоя выбирают рабочую точку А в центре линии нагрузки 1 цепи коллектора. В рабочей точке по выходным характеристикам находят ток коллектора  $I_K^*$  и ток базы  $I_B^*$ . Область рабочих режимов транзистора на рис. 10.3.б отмечена пунктирными линиями и ограничивается максимальными допустимыми значениями тока коллектора  $I_{КМАХ}$ , напряжения  $U_{КМАХ}$ , мощности рассеяния  $P_{КМАХ} \approx U_{КЭ} I_{КЭ}$  и нелинейными искажениями при малых значениях тока коллектора.

Для стабилизации рабочей точки в линейных усилительных каскадах обычно применяют схему с общим эмиттером и отрицательной обратной связью (рис. 10.5). Резисторы  $R_1$ ,  $R_2$  задают номинальный ток базы. Резистор  $R_3$  создает отрицательную обратную связь по постоянному току и служит для стабилизации режима транзистора. Емкость  $C_3$  называется блокировочной, устраняет отрицательную обратную связь по переменной составляющей и увеличивает усиление. Входной переменный сигнал через разделительную емкость  $C_1$  поступает на базу транзистора и усиливается. Усиленный выходной сигнал с резистора  $R_K$  через разделительную емкость  $C_2$  поступает на нагрузку  $R_H$ , которой может быть следующий усилительный каскад.

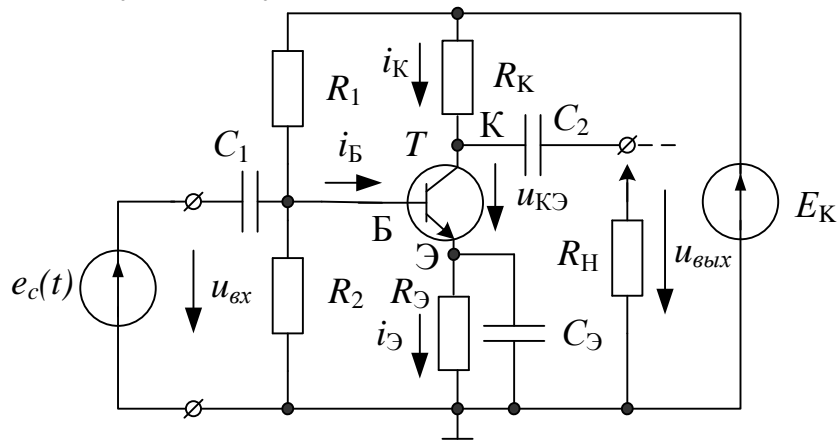


Рис. 10.5. Схема усилительного транзисторного каскада с общим эмиттером

Если напряжение входного сигнала  $u_{вх}$  невелико, то работу усилительного транзисторного каскада можно представить в виде наложения режима покоя с постоянным источником ЭДС  $E_K$  и с постоянными составляющими тока базы  $I_B^*$ , тока коллектора  $I_K^*$  и тока эмиттера  $I_E^*$ , соответствующими точке А на рабочей характеристике, и режима малого сигнала с переменными составляющими  $i_B$ ,  $i_K$ ,  $u_{вх}$ ,  $u_{вых}$ .

В режиме покоя рабочая точка находится на пересечении нагрузочной прямой  $I_K = \frac{E - U_{КЭ}}{R_K + R_3}$  с выходной ВАХ, соответствующей номинальному току базы  $I_B^*$ .

Схема замещения режима малого сигнала на низких частотах показана на рис. 10.6.

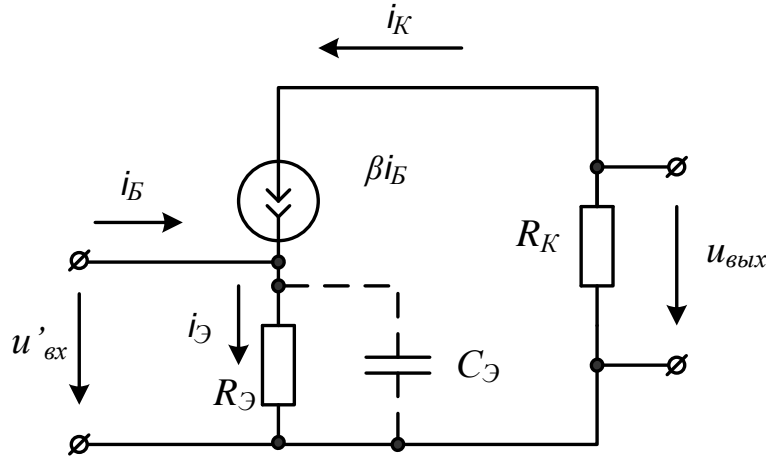


Рис. 10.6. Схема замещения усилительного транзисторного каскада для малого переменного сигнала

В схеме замещения рис. 10.6 сопротивления  $R_1$  и  $R_2$  схемы рис. 10.5 не учитываются, емкости для переменного сигнала сначала считаются короткозамкнутыми.

Для схемы замещения без учета емкостей коэффициент усиления по напряжению в режиме холостого хода:

$$\underline{K}'_{Ux} = \frac{u_{blyx}}{u_{ex}} = -\frac{R_K}{R_3 + r_3} \quad (10.3)$$

где  $r_3 = \frac{25 \text{ мВ}}{I_3}$  - дифференциальное сопротивление перехода база-эмиттер,  $I_3$  - постоянный ток эмиттера.

Отрицательное значение комплексного коэффициента усиления напряжения отражает изменение фаз выходного напряжения на  $180^\circ$  относительно входного напряжения.

Если в схеме учесть емкость  $C_3$ , то коэффициент усиления в режиме холостого хода станет равным:

$$K_{Ux} = -\frac{R_K}{R_3 + r_3} \sqrt{1 + (\omega C_3 R_3)^2} \quad (10.4)$$

Входное сопротивление по переменному току определяется как параллельное соединение входного сопротивления транзи-

стора  $r_{БЭ} = h_{11} = \beta r_{Э}$  и сопротивления  $R_B$ , которое служит для установки рабочей точки каскада.

$$\text{В схеме (рис. 10.5) } R_B = \frac{R_1 R_2}{R_1 + R_2}, R_{ex} = \frac{r_{БЭ} R_B}{r_{БЭ} + R_B} \quad (10.5)$$

Входная разделительная емкость  $C_1$  образует с входным сопротивлением  $R_{ex}$  делитель напряжения и коэффициент передачи входной цепи составит

$$K_{ВЦ} = \frac{R_{ex} \cdot \omega C_1}{\sqrt{1 + (R_{ex} \cdot \omega C_1)^2}} \quad (10.6)$$

С учетом (10.4), (10.6) коэффициент усиления транзисторного каскада с общим эмиттером на низких частотах можно рассчитать по формуле:

$$K_{УХНЧ} = K_{УХ} \cdot K_{ВЦ} \quad (10.7)$$

С учетом сопротивления нагрузки  $R_H$  на высокой частоте для малого переменного сигнала соответствует нагрузочная прямая 2, показанная на рис. 10.3 пунктирной линией и определяемая уравнением:

$$u_{КЭ} = -\frac{R_K R_H}{R_H + R_K} i_K \quad (10.8)$$

Ток в цепи нагрузки равен:

$$i_H = -\frac{R_K}{R_H + R_K} i_K \quad (10.9)$$

На высоких частотах применяют более точные модели транзисторов. Наиболее распространенными являются модели, основанные на схеме замещения Джиаклетто (рис. 10.7), в которой сопротивление  $r_{б}$  - распределенное сопротивление базы,  $g_{э}$  и  $C_{э}$  - отражают полную проводимость эмиттерного перехода,  $g_{к}$  и  $C_{к}$  - учитывают влияние коллекторного перехода, проводимость  $g_{кэ}$  учитывает связь между эмиттером и коллектором. Усиительные свойства транзистора учтены крутизной  $S$ .



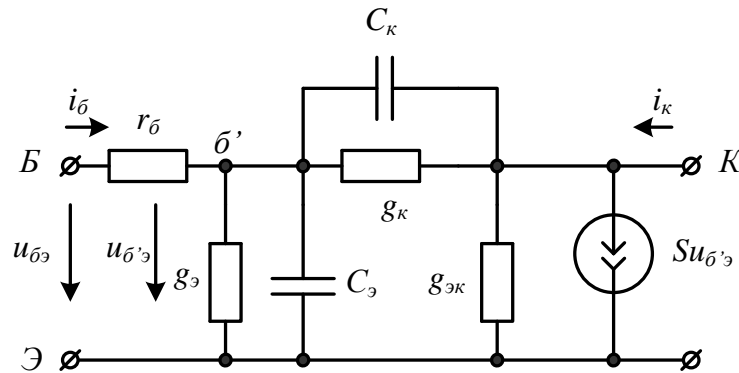


Рис. 10.7. Схема замещения транзистора на высокой частоте

## 10.2. Вопросы для самопроверки и подготовки к лабораторной работе

1. Устройство и принцип работы биполярных транзисторов.
2. В чем отличие р-п-р и п-р-п транзистора?
3. Схемы включения биполярных транзисторов.
4. Входные характеристики биполярного транзистора и методы их измерения.
5. Выходные характеристики биполярного транзистора и методы их измерения.
6. Уравнения биполярного транзистора в системе Н-параметров.
7. Физический смысл и методы измерения Н-параметров биполярных транзисторов.
8. Схема замещения биполярного транзистора на постоянном токе и низких частотах.
9. Схема усилительного транзисторного каскада с общим эмиттером.
10. Выбор рабочей точки транзисторного усилителя для малых сигналов.
11. Чем обеспечивается режим транзисторного усилителя по постоянному току и стабилизация рабочей точки?
12. Расчет коэффициента усиления транзисторного усилителя в режиме холостого хода.
13. Расчет коэффициента передачи входной цепи транзисторного усилителя.

14. Расчет коэффициента усиления транзисторного усилителя на низких частотах с учетом входной цепи.

### 10.3. Лабораторная работа №10

#### Исследование характеристик биполярного транзистора и усилителя на биполярном транзисторе


**Цель работы:** Исследование вольтамперных характеристик биполярного транзистора и усилителя на его основе.

#### Лабораторное задание

А. Исследование входной характеристики биполярного транзистора в схеме с общим эмиттером и определение статического коэффициента передачи тока

1. Собрать схему, показанную на рис. 10.8. В компьютерной модели (рис. 10.8) использован транзистор BC140 (аналог отечественного транзистора КТ630). Модель транзистора может быть задана преподавателем.

Транзистор работает в усилительном режиме: эмиттерный переход смещён в прямом направлении, а коллекторный переход в обратном направлении (на эмиттер поступает отрицательный потенциал, а на базу и коллектор положительный). В этом режиме транзистор обеспечивает максимальное усиление сигнала по току, напряжению и мощности.

Для размещения на схеме транзистора выберите во вкладке *Semiconductors*  *NPN Bipolar Transistor*.

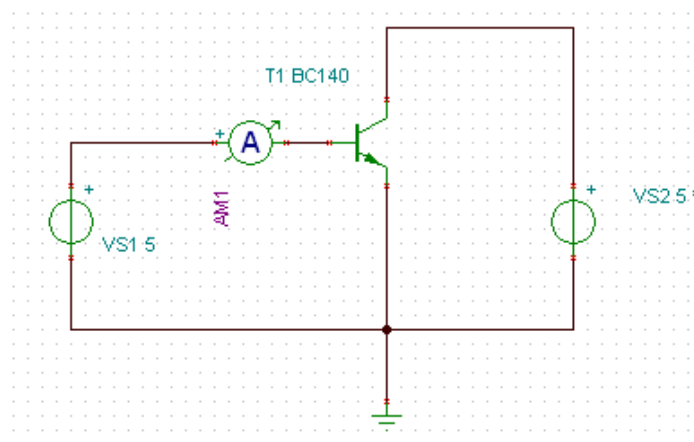



Рис. 10.8. Схема компьютерного моделирования биполярного транзистора

2. В схеме установить  $VS1 = VS2 = 5$  В. Ток базы транзистора измеряется амперметром  $AM1$ .

3. Для снятия входных характеристик транзистора при различных значениях  $U_{кэ}$  воспользуйтесь командой *Select Control Object*  выделите  $VS2$  – *Select* – и установите параметры *Start Value*=5, *End value*=15, *Number of cases* =3.

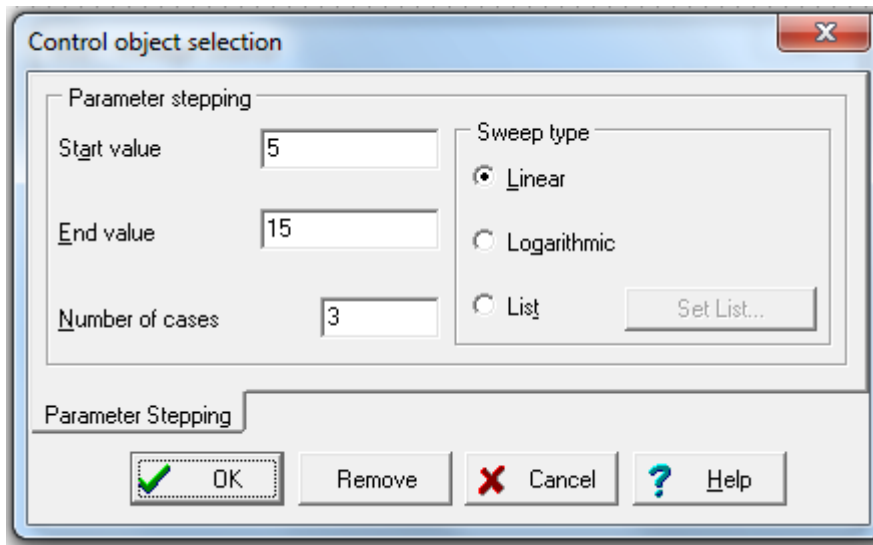


Рис. 10.9 Окно настройки многовариантного анализа

4. В строке меню выберите *Analysis – DC Analysis – DC Transfer Characteristic*. В диалоговом окне установите начальное значение анализа *Start value*=5В, *End value*=15В, входная переменная *Input*  $VS1$ . Нажмите ОК.

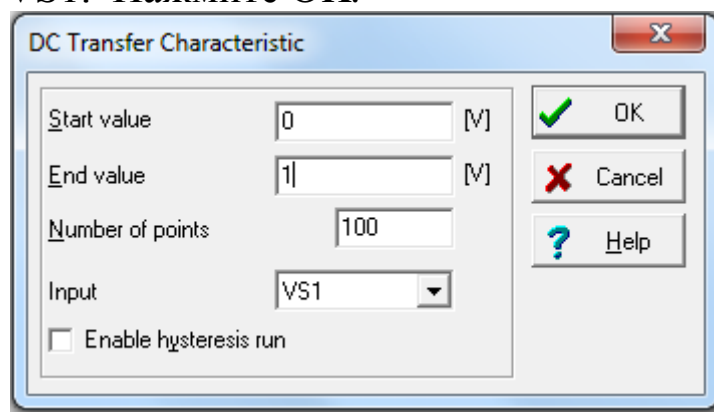



Рис. 10.10. Окно DC Transfer Characteristic

5. Откроется окно результатов с четырьмя графиками. Для идентификации графиков выберите *Auto Label*  и укажите на интересующий график.

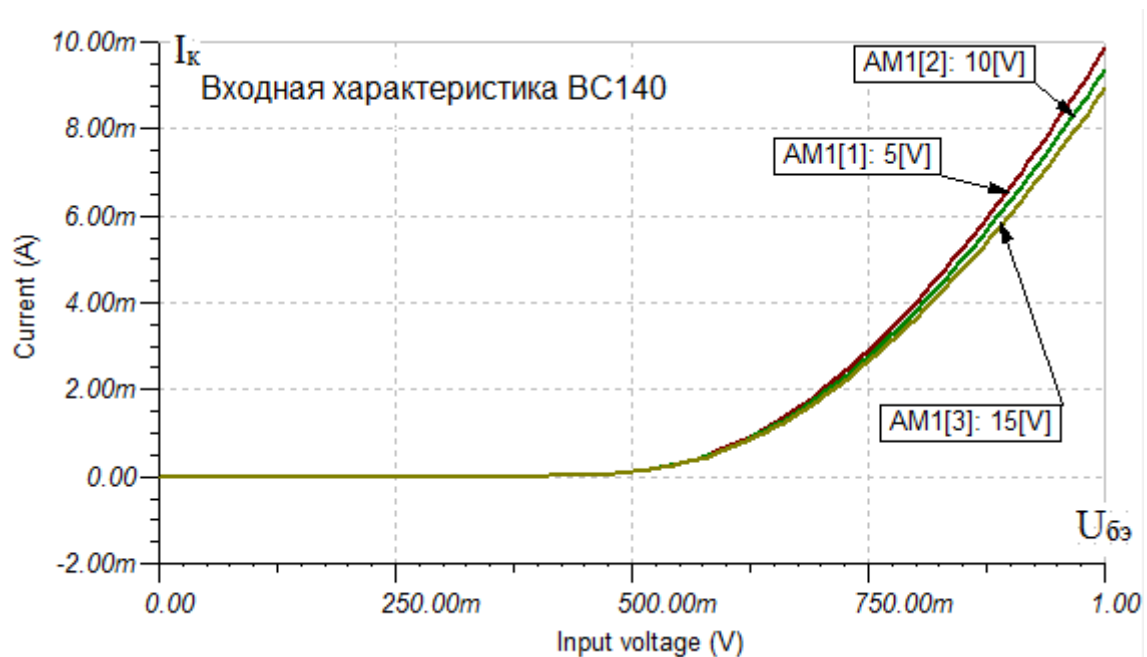


Рис. 10.11. Входные вольтамперные характеристики транзистора  
Б. Исследование выходных характеристик биполярного транзистора в схеме с общим эмиттером

6. Схема для снятия выходных характеристик биполярного транзистора показана на рис. 10.12. К базе транзистора подключается источник тока.

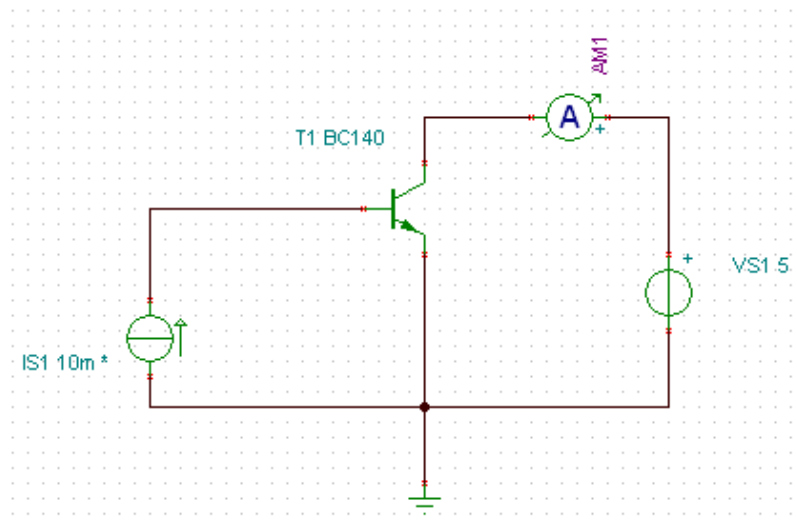


Рис. 10.12. Схема исследования выходных характеристик транзистора

7. Для снятия выходной характеристики при различных значениях тока базы нужно сделать источник тока IS1

управляемым объектом. Начальное значение тока 250мкА, конечное значение 2 мА, число вариантов 8. Выполняем *Analysis–DC Analysis – DC Transfer Characteristic*, изменяя VS1 от 0В до 10В.

При увеличении тока базы транзистора уменьшается высота потенциального барьера эмиттерного перехода, что обуславливает увеличение инжекции носителей заряда, а, следовательно, и увеличение тока через коллектор.

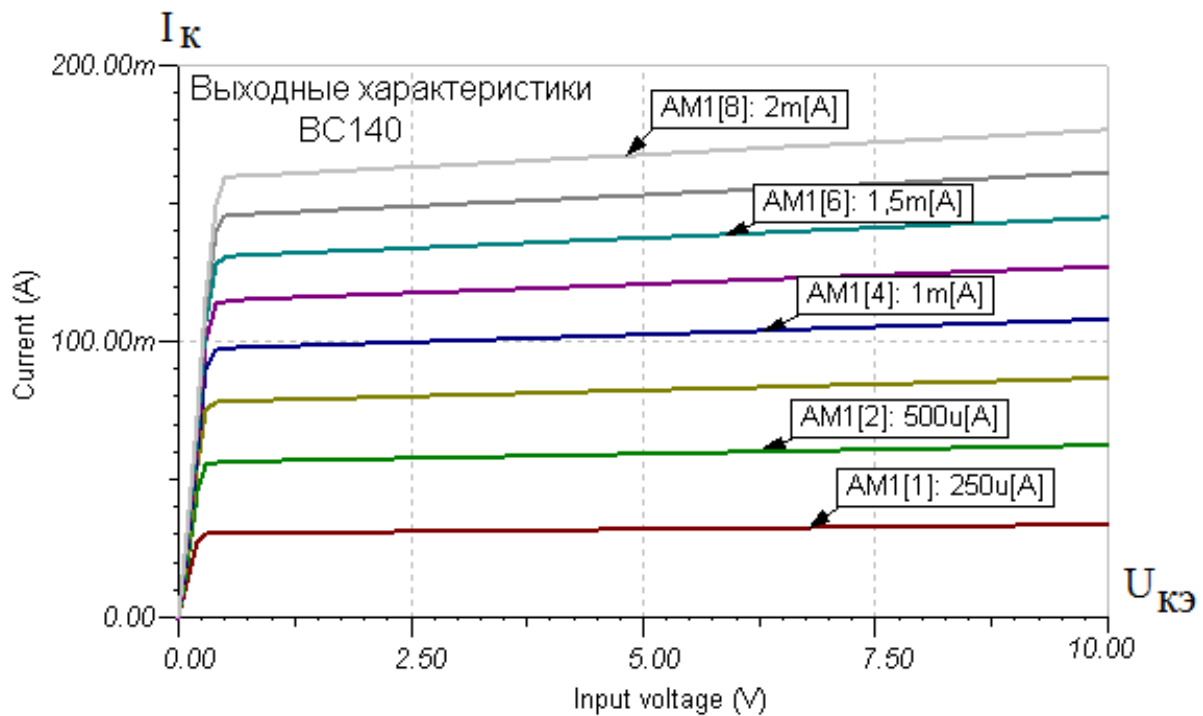


Рис. 10.13. Графики ВАХ транзистора при разных значениях тока базы

#### В. Выбор рабочей точки транзисторного каскада с общим эмиттером

8. Собрать схему транзисторного усилителя рис. 10.14. Установить напряжение питания VS1=10В. Напряжение питания VS1 и номиналы резисторов могут быть заданы преподавателем. Переменный входной сигнал не подключать, ключ 1 должен быть разомкнут.

9. Измерить и записать значения постоянной составляющей тока коллектора  $I_K(AM1)$  и напряжения  $U_{кз}(VM1)$ .

Измерение напряжений и токов в схеме можно выполнить и без включения измерительных приборов. Чтобы получить полный отчёт обо всех напряжениях и токах в схеме, выберете в главном меню *Analysis – DC Analysis – Table of DC results*.

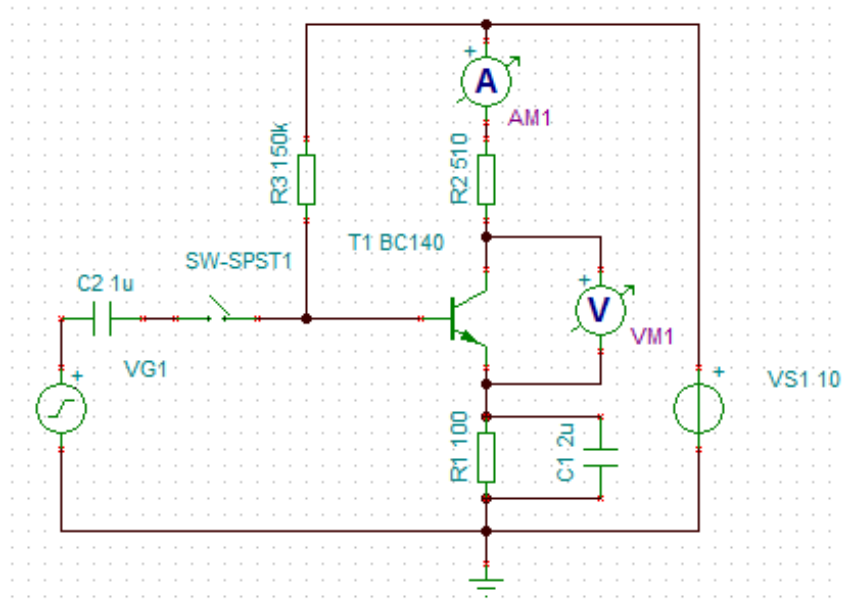



Рис. 10.14. Схема усилительного транзисторного каскада с общим эмиттером

Voltages/Currents	
AM1	6,74mA
VM1	5,88V
VP_1	10V
VP_2	679,99mV
VP_3	0V
VP_4	1,16V
VP_5	10V
VP_6	6,56V
VP_7	1,16V
Show <input checked="" type="checkbox"/> Nodal Voltages <input type="checkbox"/> Currents <input type="checkbox"/> Other Voltages <input checked="" type="checkbox"/> Outputs	
<div> <span>Cancel</span> <span>Help</span> </div>	

Рис. 10.15. Таблица результатов анализа схемы на постоянном токе

10. Регулируя сопротивление  $R_3$ , можно установить напряжение  $U_{кз}=5\text{В}$ . Программа TINA8 позволяет выполнить это в автоматическом режиме. Для этого инструментов выбора цели оптимизации *Select optimization target*  выделяем вольтметр VM1. В открывшемся окне *Optimization – Target Settings* выбираем *DC Goal Function*. Устанавливаем значение Value =5.

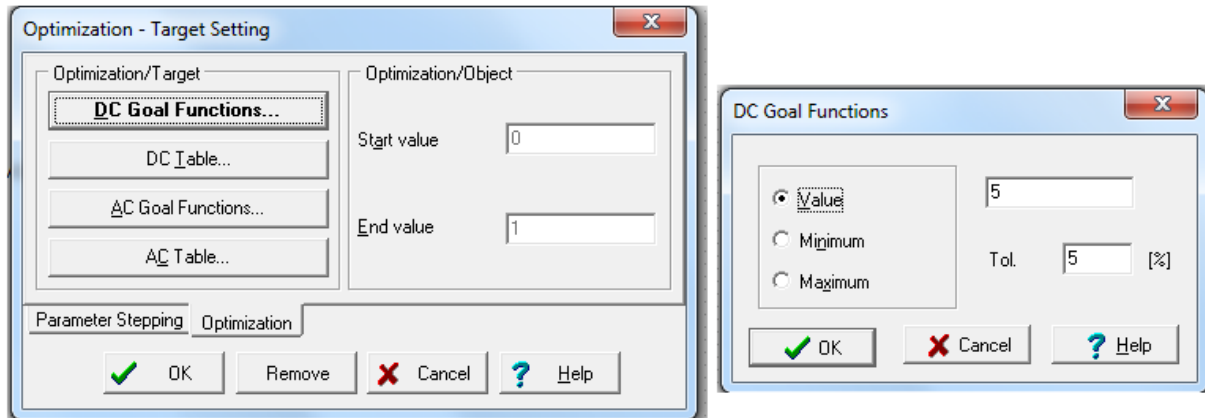



Рис. 10.16. Окно установки целей оптимизации

Инструментом выбора управляемого элемента  выбираем резистор  $R_3$ . В окне  $R_3$  выбираем *Select – Optimization*, устанавливаем *Start value*=120k, *End value* =180k. В главном меню выбираем *Analysis – Optimization – DC Optimization*. В окне *Optimization Settings* (рис. 10.17) выбираем *Simple Search* и линейное сканирование.

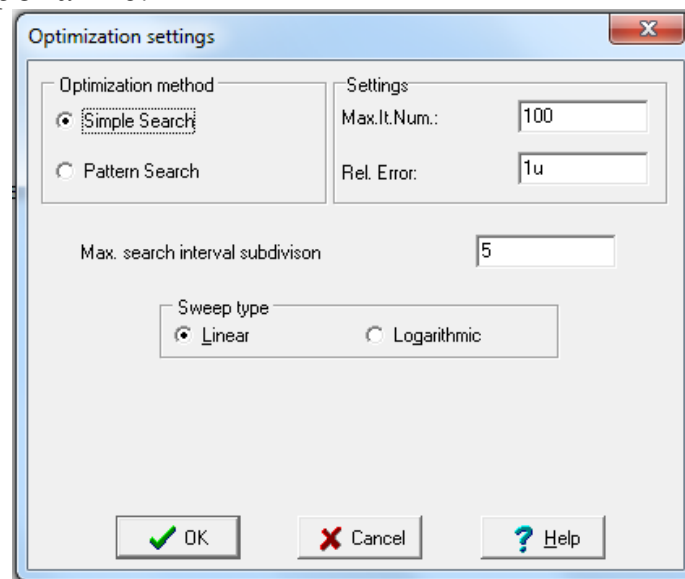


Рис 10.17. Окно установок оптимизации

После вычисления получаем результат оптимального выбора нагрузки (рис. 10.18):

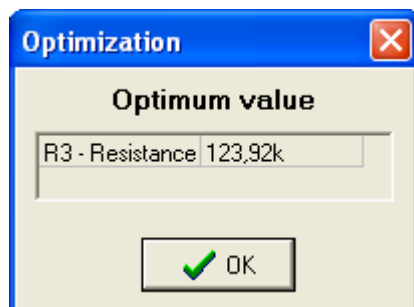


Рис. 10.18. Результат оптимизации сопротивления  $R_3$

11. Оптимальное значение резистора  $R_3$  автоматически устанавливается в схеме. Повторно проведём измерения. Отчёт о напряжениях и токах в схеме после оптимизации (рис. 10.19).

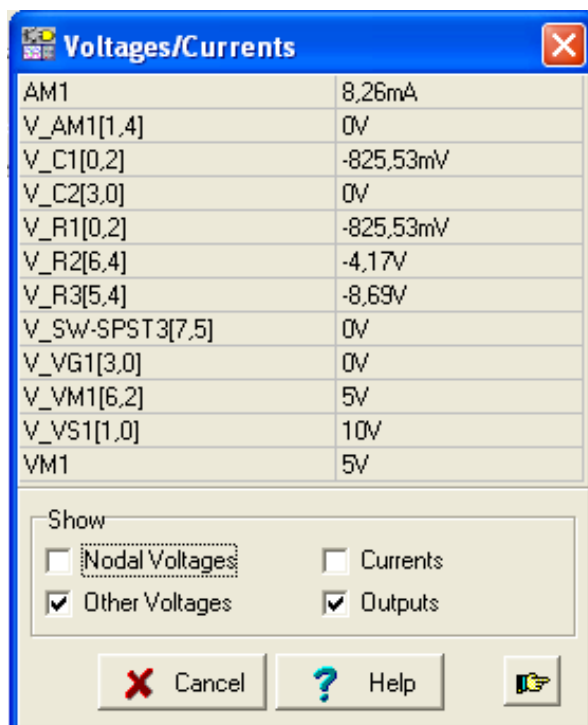


Рис. 10.19. Токи и напряжения в схеме после оптимизации

Г. Исследование работы транзисторного усилителя с общим эмиттером в режиме малого сигнала

12. Собрать схему на рисунке 10.21. Подключить источник переменного сигнала, замкнув ключ 1. Амплитуда генератора  $DC\ Level = 0$ , параметр *Signal* установить *Sinusoidal* с амплитудой 50mV и частотой 1кГц.



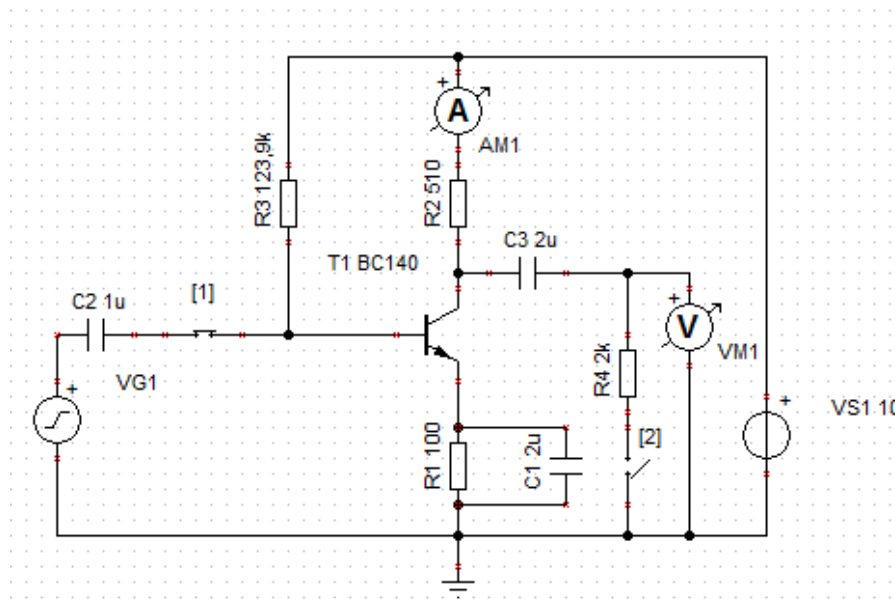


Рис. 10.20. Схема исследования транзисторного усилителя в режиме малого сигнала

13. Исследовать амплитудно-частотные и фазо-частотные характеристики транзисторного усилителя в режиме холостого хода. Ключ 2 разомкнуть. В главном меню выбираем *Analysis – AC Analysis – AC Transfer Characteristic*. Частота меняется от 10Гц до 100КГц, масштаб логарифмический. В меню *Diagram* отметить галочкой *Amplitude & Phase*.

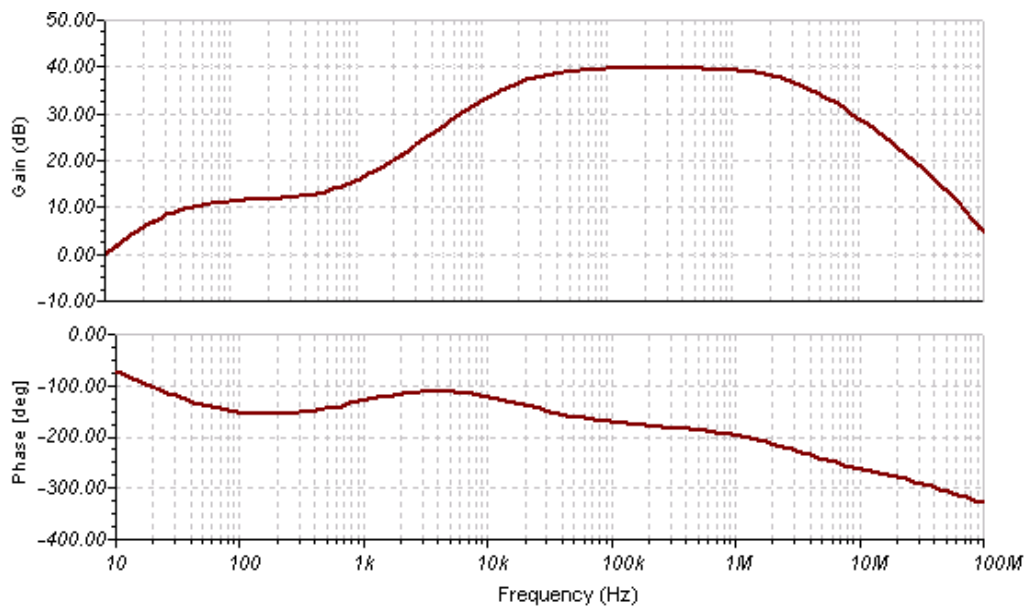


Рис. 10.21. АЧХ и ФЧХ транзисторного усилителя в режиме холостого хода

14. Подключить к транзисторному усилителю нагрузку  $R_4=2\text{кОм}$ . Для этого замкнуть нужно ключ 2. Повторить измерения по п.13.

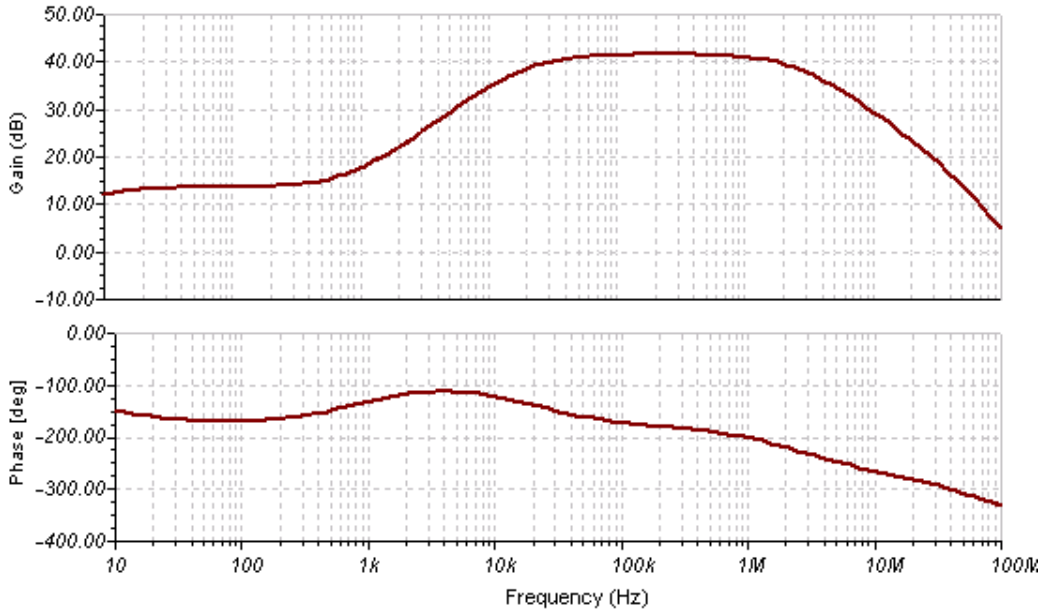


Рис. 10.22. АЧХ и ФЧХ транзисторного усилителя с подключенной нагрузкой

#### Д. Исследование искажений выходного сигнала

15. В схеме (рис. 10.20) с подключенной нагрузкой установить частоту сигнала 20 кГц. Амплитуду сигнала генератора VG1 сделать управляемым параметром и задать 10 значений от 10 мВ до 100 мВ. В режиме *Analysis-Transient* получить графики выходного сигнала на интервале 200-300 мкс (рис. 10.23).

16. Отключить управление амплитудой генератора VG1, командой *Remove* в окне *Parameter Stepping*. Установить амплитуду сигнала 10 мВ и выполнить *Analysis- Fourier Analysis- Fourier Series* для действующих значений выходного напряжения VM1. Время начала расчета *Sampling start time* должно быть 200 мкс, чтобы переходные процессы успели закончиться. Записать рассчитанные нелинейные искажения (*Harmonic Distortion* = 3,45%), которые определяются как отношение действующего значения напряжения или тока всех высших гармоник к действующему значению напряжения или тока основной частоты.

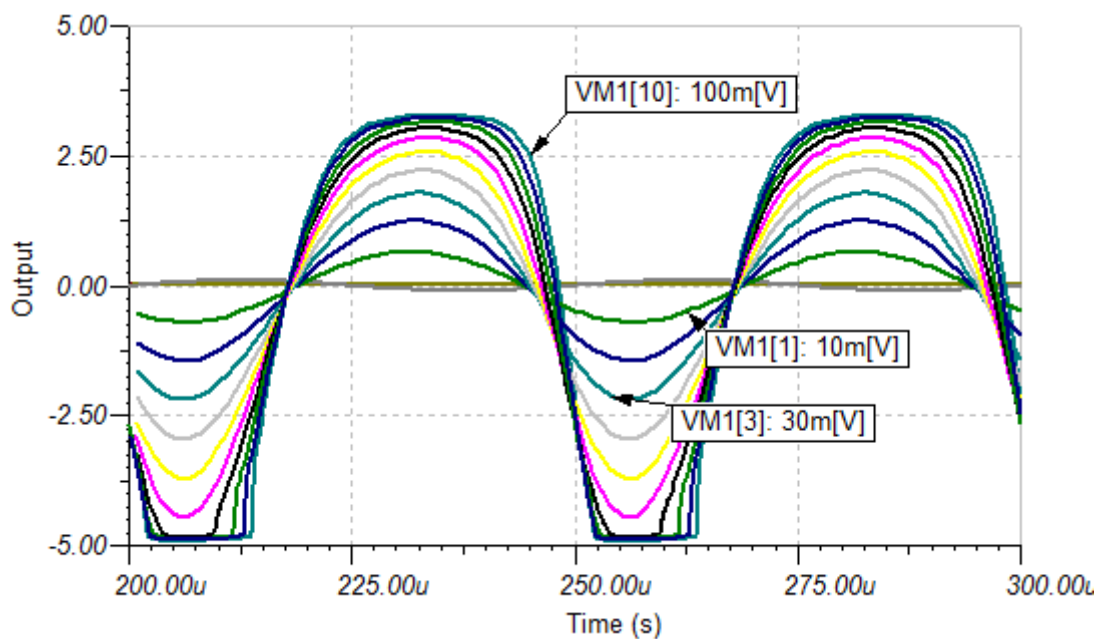


Рис. 10.23. Графики искажений выходного сигнала  
17. Повторить измерение нелинейных искажений по п.16 для значений амплитуды 30 мВ, 50 мВ и 100 мВ.

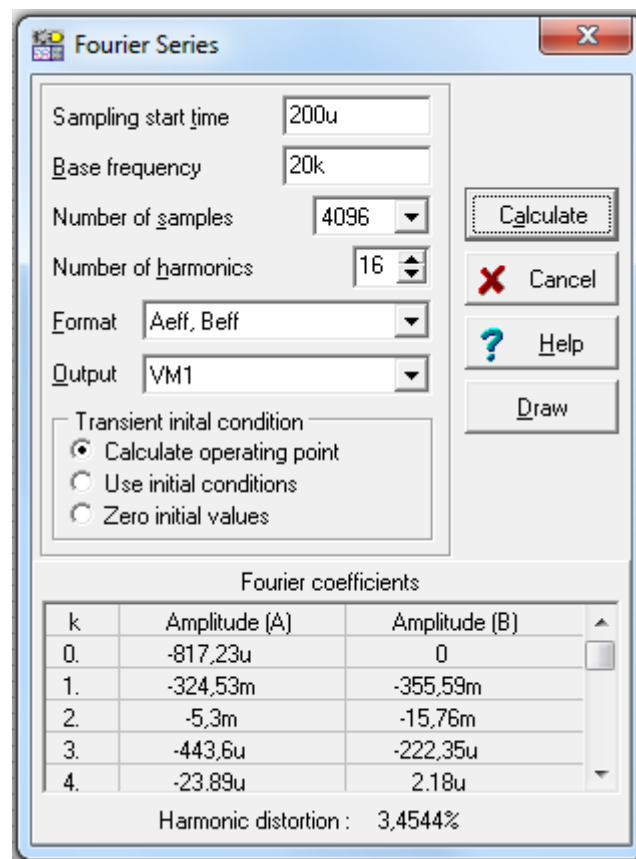


Рис. 10.24. Фурье – анализ нелинейных искажений

### Домашнее задание

1. По данным экспериментов построить графики входной характеристики, семейство выходных характеристик биполярного транзистора и зависимость статического коэффициента передачи тока  $\beta$  от тока базы.
2. Построить для схемы транзисторного усилителя (рис. 10.20) линии нагрузки по постоянному току и по переменному сигналу на высокой частоте.
3. Для рабочей точки А по графикам входной и выходных характеристик найти по формулам (10.2) параметры  $h_{11}$ ,  $h_{21}$ ,  $h_{22}$ . Нарисовать схему замещения транзистора по постоянному току с  $H$ -параметрами (рис. 10.4).
4. По формулам (10.4) - (10.7) рассчитать коэффициенты усиления транзисторного каскада на частотах 200Гц, 5кГц и 20кГц в режиме холостого хода. Сравнить результаты расчетов с экспериментальными данными (рис. 10.21).
5. По графикам входной характеристики и выходных характеристик проиллюстрировать причины возникновения нелинейных искажений выходного сигнала, которые наблюдались в п.15.
6. По результатам исследований п.п. 16-17 построить график зависимости нелинейных искажений от амплитуды входного сигнала. Определить динамический диапазон входного сигнала, в котором нелинейные искажения не превышают 5%.

## **Глава 11. ИССЛЕДОВАНИЕ ХАРАКТЕРИСТИК ПОЛЕВОГО ТРАНЗИСТОРА И УСИЛИТЕЛЯ НА ПОЛЕВОМ ТРАНЗИСТОРЕ**

### **11.1. Теоретическое введение**

Полевыми или униполярными транзисторами называются полупроводниковые приборы, в которых изменение тока производится изменением проводимости проводящего канала с помощью электрического поля, перпендикулярного направлению тока. Прохождение тока в канале только одним типом зарядов. Электроды, подключенные к каналу, называются стоком (Drain) и истоком (Source). Управляющий электрод называется затвором

(Gate). Напряжение управления прикладывается между затвором и истоком.

В зависимости от выполнения затвора униполярные транзисторы делятся на две группы: с управляющим  $p-n$  переходом и с изолированным затвором на основе конструкции металл-диэлектрик-полупроводник (так называемые МДП-транзисторы).

Устройство полевого транзистора с управляющим  $p-n$  переходом показано на рис. 11.1.

Между истоком  $I$  и стоком  $C$  расположен  $n$ -канал из полупроводника  $n$  – типа и включен источник напряжения положительным полюсом к стоку. В  $n$ -канале есть ток проводимости  $I_C$ , значение которого зависит от сопротивления канала, связанного с его шириной. Ширину канала можно изменять, включив между затвором  $З$  и истоком  $I$  источник управляющего напряжения  $E_3$  отрицательным полюсом к затвору. Передаточные характеристики полевых транзисторов, которые выражают зависимость тока стока от напряжения затвор-исток  $I_C(U_{ЗИ})$ , показаны на рис. 11.4.

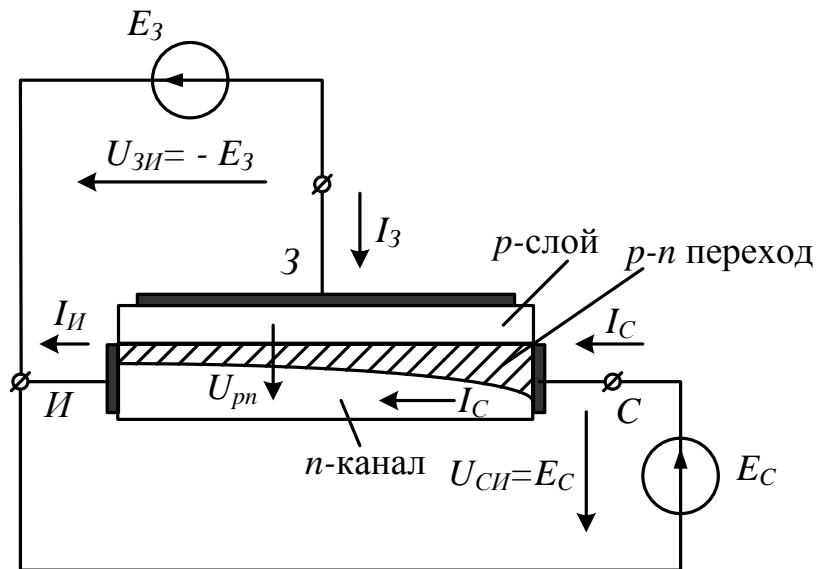


Рис. 11.1. Устройство полевого транзистора с управляющим  $p-n$  переходом

Устройство полевого транзистора с изолированным затвором показано на рис. 11.2.

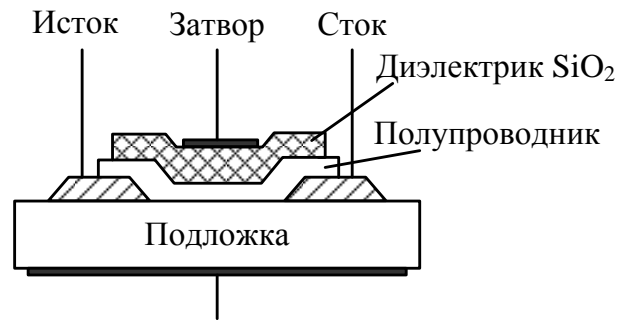


Рис. 11.2. Устройство полевого транзистора с изолированным затвором

В полевых транзисторах с изолированным затвором электрод затвора изолирован от полупроводникового канала с помощью слоя диэлектрика из двуокиси кремния  $\text{SiO}_2$ . Ток утечки затвора пренебрежимо мал. Полупроводниковый канал может быть обеднен носителями заряда или обогащен ими. При обедненном канале электрическое поле затвора повышает его проводимость, поэтому канал называется *индуцированным*. Если канал обогащен носителями, то он называется *встроенным*. Электрическое поле в этом случае в зависимости от полярности напряжения  $U_{\text{зи}}$  может приводить либо к обеднению канала носителями зарядов, либо к обогащению его. В результате изменяется проводимость канала.

Проводимость канала может быть электронной или дырочной. Если канал имеет электронную проводимость, то он называется *n* - каналом. Каналы с дырочной проводимостью называются *p* – каналами. Подложка *П* является полупроводником, отличающимся по проводимости от канала. Как правило, подложку соединяют с истоком.

Схематические изображения полевых транзисторов показаны на рис. 11.3.

Важное значение имеют передаточные характеристики полевых транзисторов, позволяющие определить полярность управляющего напряжения, направление тока в канале и диапазон изменения управляющего напряжения (рис. 11.4).

Полевые транзисторы с каналом *n*-типа имеют положительный ток и работают при положительном напряжении на стоке, а полевые транзисторы с каналом *p*-типа имеют отрицательный ток

и работают при отрицательном напряжении на стоке. Характеристики полевых транзисторов с управляющим  $p-n$  переходом при нулевом напряжении  $U_{зи}$  имеют максимальное значение тока  $I_{снач}$ . При увеличении запирающего напряжения ток стока уменьшается и при напряжении отсечки  $U_{отс}$  становится близким к нулю.

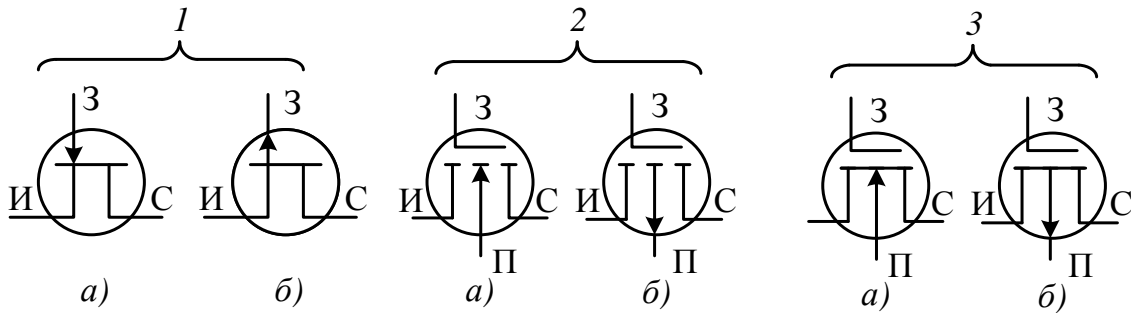


Рис. 11.3. Схематические изображения полевых транзисторов: 1 - с управляющим  $p-n$  переходом; 2- с индуцированным каналом; 3 - со встроенным каналом; а - для канала  $n$  - типа, б - для канала  $p$  - типа.

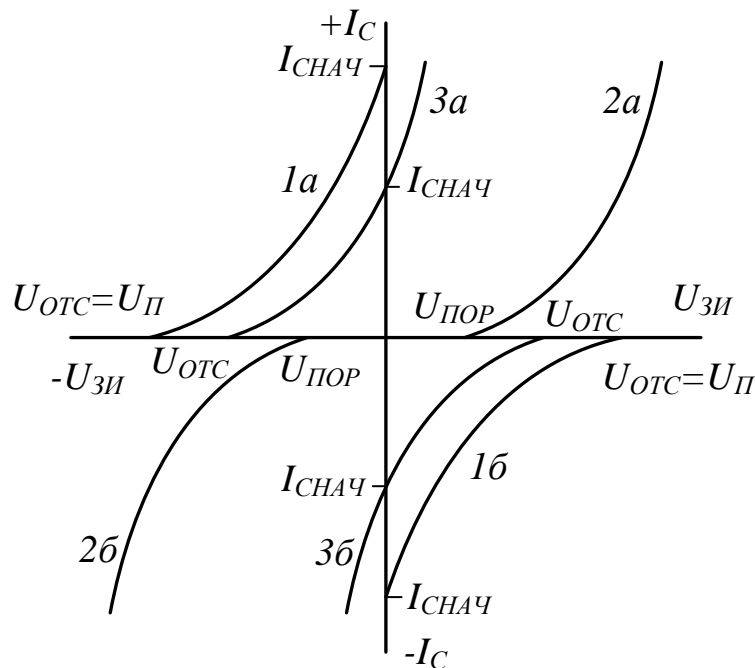


Рис. 11.4. Передаточные характеристики полевых транзисторов разных типов

Характеристики транзисторов с индуцированным каналом при нулевом напряжении на затворе имеют нулевой ток. Ток сто-

ка появляется при напряжении на затворе больше порогового и увеличивается с ростом напряжения  $U_{ЗИ}$ .

Характеристики транзисторов со встроенным каналом при нулевом напряжении на затворе имеют начальное значение тока  $I_{СНАЧ}$ . Эти транзисторы работают как при положительных, так и при отрицательных напряжениях на затворе.

Выходные характеристики МДП - транзистора с индуцированным каналом  $n$  – типа показаны на рис. 11.5.

В линейной области полевой транзистор используется как сопротивление, управляемое напряжением на затворе, а в области насыщения – как усилительный элемент. Усилительные свойства определяются крутизной вольтамперной характеристики:

$$S = \left| \frac{di_C}{dU_{ЗИ}} \right|.$$

Упрощенная схема усилительного каскада на полевом транзисторе с общим истоком показана на рис. 11.6а. Источник напряжения  $E_3$  создает требуемое напряжение смещение на затворе. Источник напряжения  $E_C$  – напряжение питания цепи стока. Источник переменного сигнала  $u_C$  подключен между затвором и истоком. На рис. 11.6б показана схема замещения усилительного каскада на полевом транзисторе в области низких частот для малых сигналов. Переменное входное напряжение  $u_{ЗИ}$  преобразуется управляемым источником тока в переменный ток стока  $i_C$ , который создает в нагрузке выходное напряжение  $u_{СИ}$ .

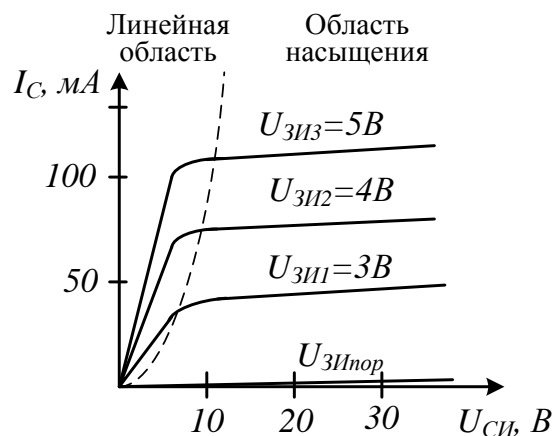


Рис. 11.5. Выходные характеристики полевого транзистора КП902



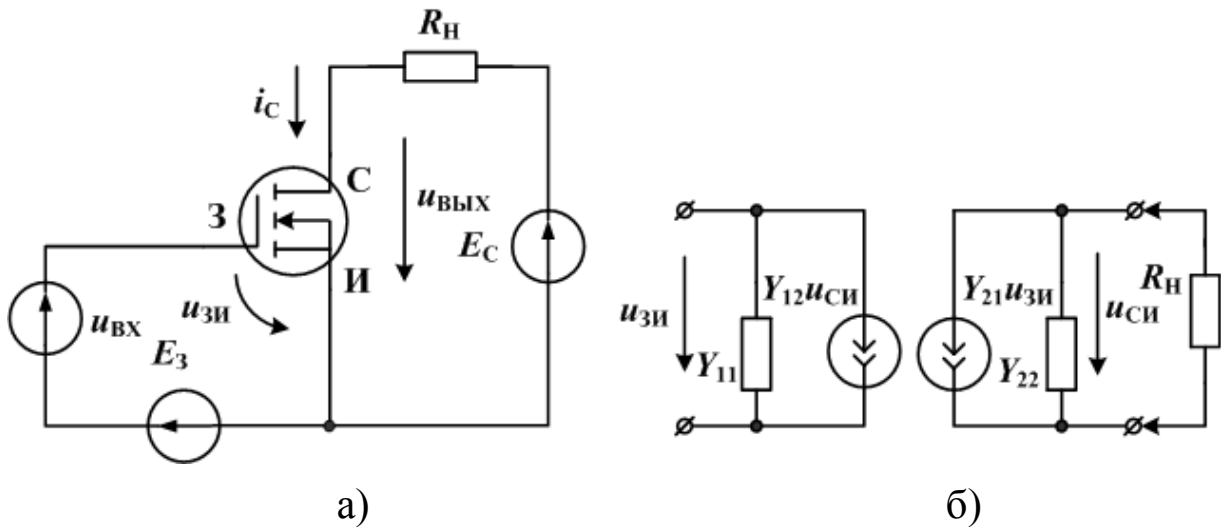


Рис. 11.6. Схема усилителя на полевом транзисторе (а) и схема замещения в  $Y$ - параметрах

Этой схеме замещения (без учета нагрузки) соответствуют уравнения полевого транзистора в  $Y$ - параметрах:

$$\begin{aligned} i_3 &= y_{11}u_{зи} + y_{12}u_{си} \\ i_c &= y_{21}u_{зи} + y_{22}u_{си} \end{aligned} \quad (11.1)$$

В этих уравнениях  $y_{11}$  - проводимость утечки затвора транзистора,  $y_{22}$  - выходная проводимость,  $y_{21}=S$  - крутизна полевого транзистора (или проводимость прямой передачи),  $y_{12}$  - проводимость обратной передачи. Как правило, считают  $y_{11}=y_{12}=0$ . Выходная проводимость  $y_{22} = \frac{1}{R_{\text{ВЫХ}}}$ , причем  $R_{\text{ВЫХ}}$  составляет 30кОм и более.

Схема усилительного каскада с общим истоком, которая исследуется в аналоговой лаборатории, показана на рис. 11.7.

Источник постоянного напряжения  $E_1$  создает режим по постоянному току в цепи стока. Источник  $E_2$  создает смещение на затворе, которое регулируется делителем из  $R_1$  и  $R_2$ . Усилительный каскад может работать как резистивный усилитель. В этом случае индуктивность  $L_1$  следует замкнуть перемычкой и нагрузкой транзистора в цепи стока будет сопротивление  $R_C$ . Для

уменьшения искажений в резистивном усилителе напряжение смещения затвора выбирают таким, чтобы  $U_{СИ} \approx \frac{E_1}{2}$ .

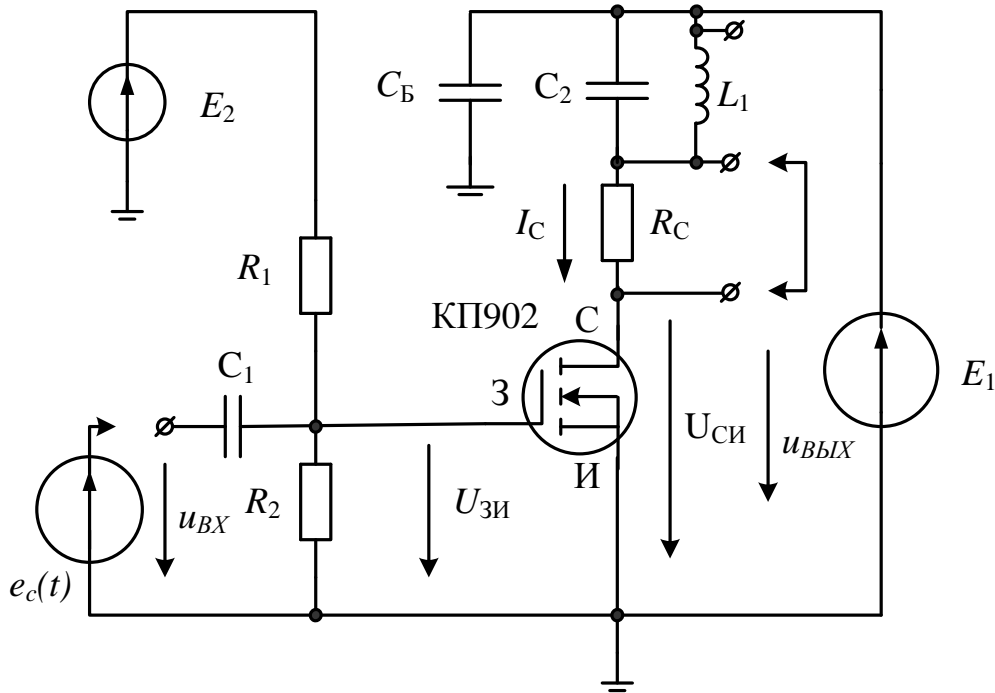


Рис. 11.7. Схема усилительного каскада на полевом транзисторе

Входное сопротивление каскада без учета разделительной емкости  $C_1$  равно:

$$R_{BX} = \frac{R_1 \cdot R_2}{R_1 + R_2} \quad (11.2)$$

Коэффициент усиления каскада по напряжению для малого переменного сигнала в режиме холостого хода без учета  $C_1$  равен:  $K'_{Ux} = -SR_C$  (выходное сопротивление полевого транзистора  $R_{ВЫХ} \approx 30$  кОм много больше, чем  $R_C$  и не учитывается в резистивном усилителе). С учетом коэффициента передачи входной цепи коэффициент усиления по напряжению составит:

$$K_{Ux} = SR_C K_{ВЦ} = SR_C \frac{R_{BX} \cdot \omega C_1}{\sqrt{1 + (R_{BX} \cdot \omega C_1)^2}} \quad (11.3)$$

В резонансном усилителе на полевом транзисторе в цепи стока включен параллельный колебательный контур, образован-

ный индуктивностью  $L_1$  и емкостью  $C_2$ . Конденсатор  $C_B$  является блокировочным и шунтирует на высокой частоте источник напряжения  $E_1$ .

В резонансном усилителе на полевом транзисторе на средних частотах нагрузкой усилительного каскада является параллельное соединение комплексного сопротивления параллельного контура и выходного сопротивления полевого транзистора:

$$\underline{Z}_c = \frac{\underline{Z}_k R_{\text{ВЫХ}}}{\underline{Z}_k + R_{\text{ВЫХ}}} \quad (11.4)$$

По схеме замещения полевого транзистора вычислим выходное напряжение на контуре:

$$u_{\text{ВЫХ}}(f) = \frac{\frac{-S u_{\text{ВХ}} R_{\text{рез}} R_{\text{ВЫХ}}}{R_{\text{рез}} + R_{\text{ВЫХ}}}}{\sqrt{1 + Q_{\text{экв}}^2 \left( \frac{f}{f_{\text{рез}}} - \frac{f_{\text{рез}}}{f} \right)^2}} \quad (11.5)$$

где  $R_{\text{рез}} = \frac{\rho^2}{R_k}$  - резонансное сопротивление контура;

$f_{\text{рез}} = \frac{1}{2\pi\sqrt{LC}}$  - резонансная частота контура;  $\rho = \sqrt{\frac{L}{C}}$  - характеристическое сопротивление контура;  $R_k$  - сопротивление потерь в контуре ( $R_k \approx 10 \text{ Ом}$ );  $Q = \frac{\rho}{R_k}$ ;  $Q_{\text{экв}} = \frac{Q}{1 + \frac{R_{\text{рез}}}{R_{\text{ВЫХ}}}}$  - эквивалентная

добротность контура с учетом потерь в катушках и внутреннего сопротивления источника сигнала  $R_{\text{ВЫХ}}$ .

## 11.2. Вопросы для самопроверки и подготовки к лабораторной работе

1. Устройство и принцип действия полевого транзистора.
2. Перечислите типы затворов полевых транзисторов и нарисуйте схематические изображения полевых транзисторов разных типов.

3. Методы измерения передаточных характеристик полевых транзисторов.

4. Как выглядят передаточные характеристики полевых транзисторов с управляющим  $p$ - $n$  -переходом?

5. Как выглядят передаточные характеристики полевых транзисторов с индуцированным каналом?

6. Как выглядят передаточные характеристики полевых транзисторов со встроенным каналом?

7. Методы измерения и вид выходных характеристик полевых транзисторов.

8. Схема замещения и уравнения полевого транзистора в  $Y$  – параметрах.

9. Физический смысл и методы определения  $Y$ -параметров полевых транзисторов.

10. Схема резистивного усилительного каскада на полевом транзисторе с общим истоком.

11. Выбор рабочей точки транзисторного усилителя для малых сигналов.

12. Схема резонансного усилительного каскада на полевом транзисторе с общим истоком.

13. Как рассчитать коэффициент усиления резистивного усилителя?

14. Как рассчитать коэффициент усиления резонансного усилителя?

### **11.3. Лабораторная работа №5**

#### **Исследование характеристик полевого транзистора и усилителей на полевом транзисторе**

##### **А. Исследование передаточной характеристики полевого транзистора с общим истоком**

1. Выбрать полевой транзистор по указанию преподавателя. Открыть свойства транзистора *Properties* и выписать в протокол основные параметры: пороговое напряжение (*Threshold voltage*), максимальное напряжение исток-сток (*Max. drain-source*), максимальное напряжение исток-затвор (*Max. drain-gate*), максимальное обратное напряжение затвор-исток (*Max. gate-drain*), макси-

мальный ток истока (*Max. drain current*), максимальный прямой ток затвора (*Max. forward gate current*), максимальная мощность рассеяния (*Max. power dissipation*). На закладке *Help*

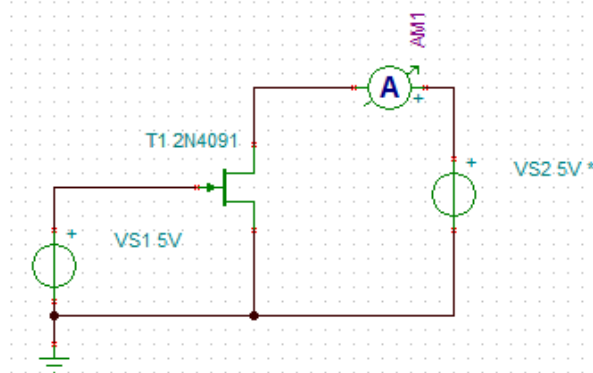


Рис. 11.8. Схема исследования полевого транзистора.

2. Собрать схему рис. 11.8. В схеме рис. 11.8 переменным параметром сделать напряжение на стоке VS2. *Start value*=5В, *End value* =15В, *Number of cases*=3. Провести *Analysis- DC Analysis – DC Transfer Characteristic...* Установить *Input VS1*. Параметры *Start value* и *End value* выбрать с учетом типа транзистора и передаточных характеристик (рис. 11.4).

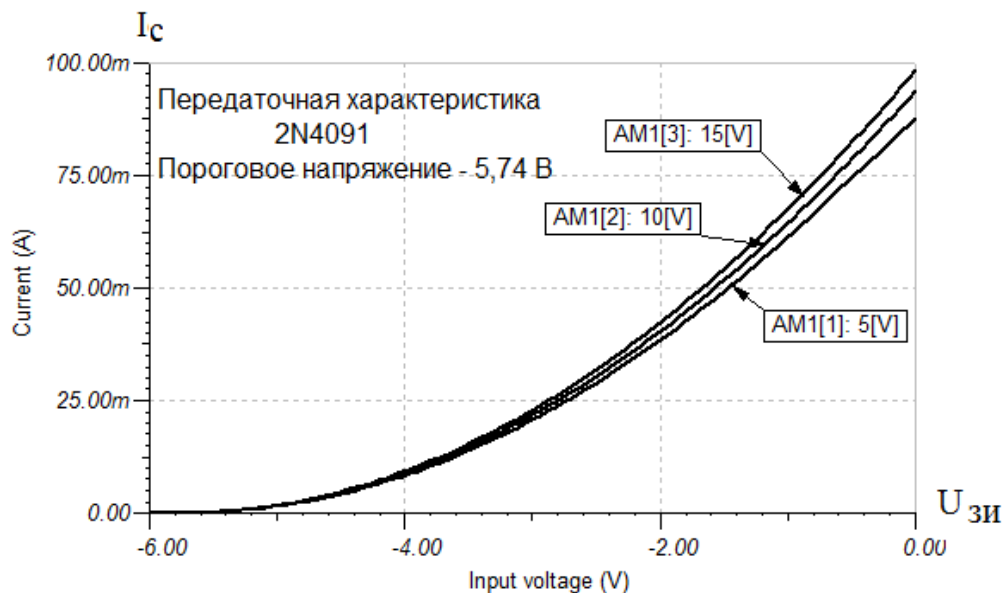


Рис. 11.9. Передаточная характеристика полевого транзистора Б. Исследование выходных характеристик полевого транзистора в схеме с общим истоком

3. В схеме рис. 11.8 переменным параметром выбрать напряжение затвор-исток VS1. Провести *Analysis- DC Analysis – DC Transfer Characteristic...* Установить *Start value* и *End value* в соответствии с типом транзистора. *Number of cases=6*. Провести *Analysis- DC Analysis – DC Transfer Characteristic...* Установить: *Input VS2. Start value=0B, End value* по типу транзистора.

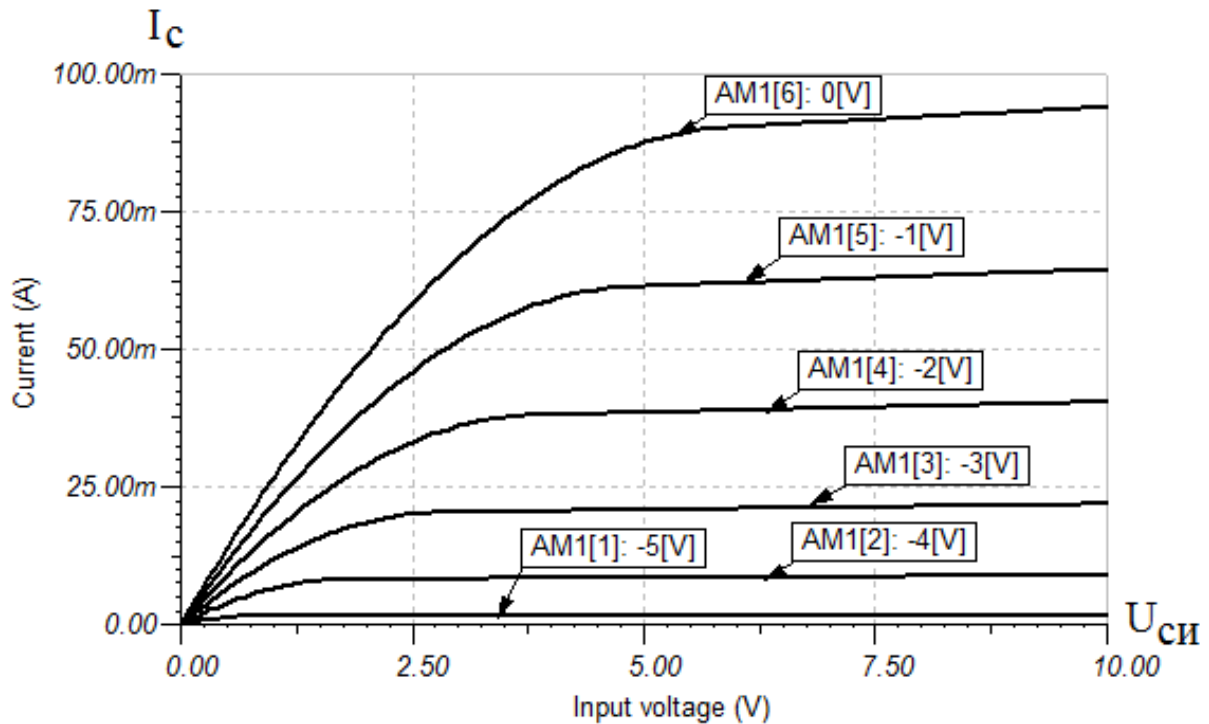


Рис. 11.10. Выходные характеристики полевого транзистора

Семейство выходных характеристик (рис. 11.10) в программе TINA-8 легко получить для широкой номенклатуры транзисторов, имеющейся в каталоге программы. В отличие от программ Electronics Workbench и Multisim эти характеристики получаются очень быстро.

#### В. Исследование работы резистивного транзисторного усилителя с общим истоком в режиме малого сигнала

4. Исследовать резистивный усилитель. Для этого замкнуть ключ SW1 и разомкнуть ключ SW2. Амплитуду источника гармонического сигнала установить 200мВ, частоту 0,2 кГц, форма сигнала – синусоидальный.

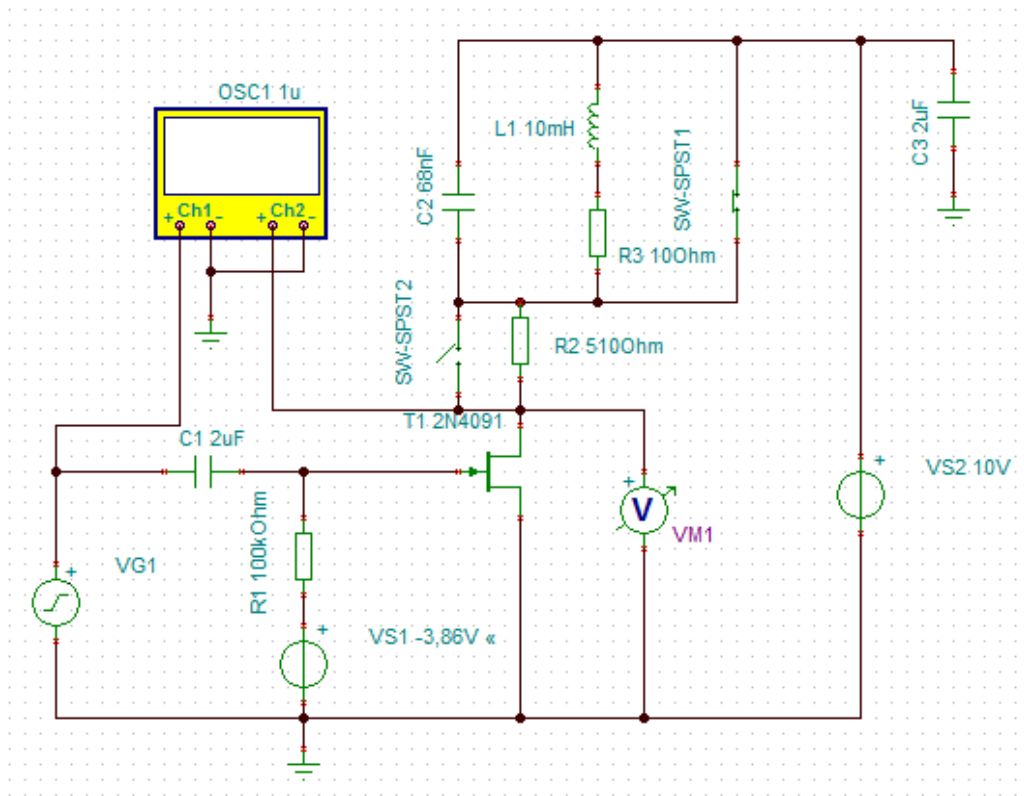




Рис. 11.11. Схема усилителя на полевом транзисторе

5. Проведем оптимизацию напряжения на затворе VS1, при котором напряжение на стоке составит 5В. Для этого инструментом оптимизации  выделяем вольтметр VM1. В окне *Optimization-Target Setting* выбираем *DC Goal Functions* и устанавливаем требуемое значение (*Value*) 5В. Элементом выбора управляемого объекта  выделяем источник напряжения VS1, нажимаем *Select* и в режиме *Optimization* устанавливаем *Start value* -4,8В и *End value* -3,2 В. Проводим *Analysis-Optimization-DC Optimization*, находим оптимальное значение  $VS1 = -3,86В$  и, нажав *OK*, устанавливаем это значение в схеме.

Г. Исследование работы резистивного транзисторного усилителя с общим истоком в режиме малого сигнала

6. Исследуем выходной сигнал в режиме *Analysis – AC Analysis – Time function...* Устанавливаем: *Start value* = 0с, *End value* = 20мс.

По графикам видно, что усиление составляет около 5, выходной сигнал инвертирован относительно входного.

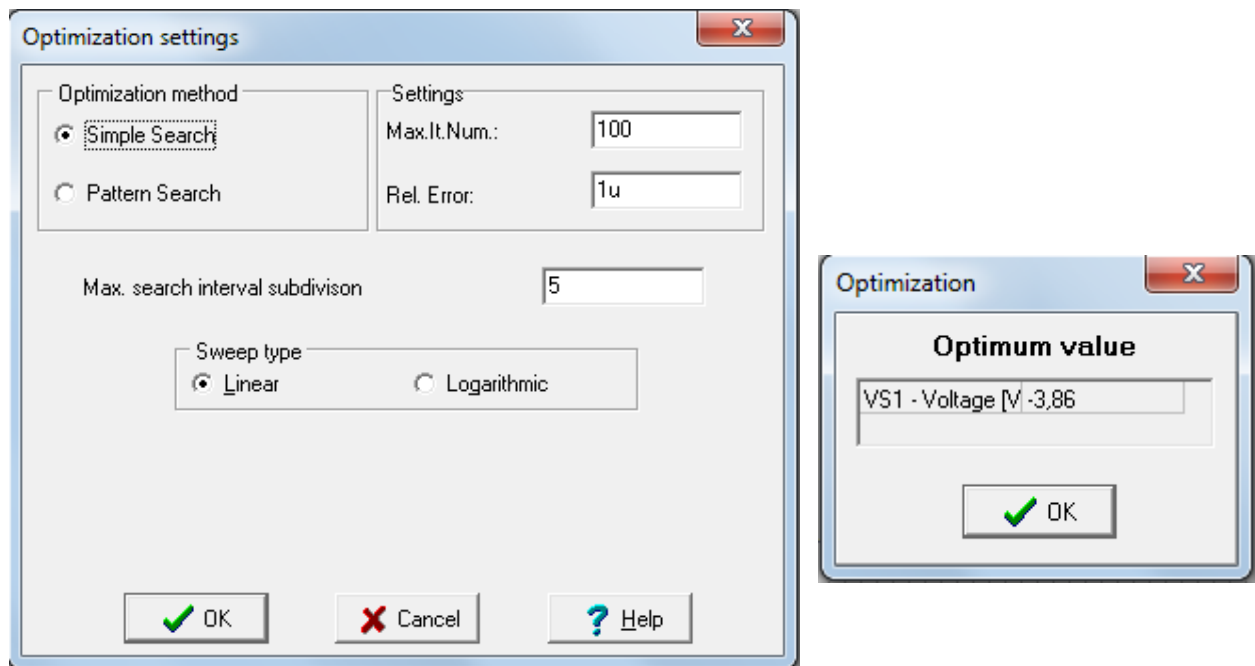


Рис. 11.12. Оптимизация напряжения на затворе.

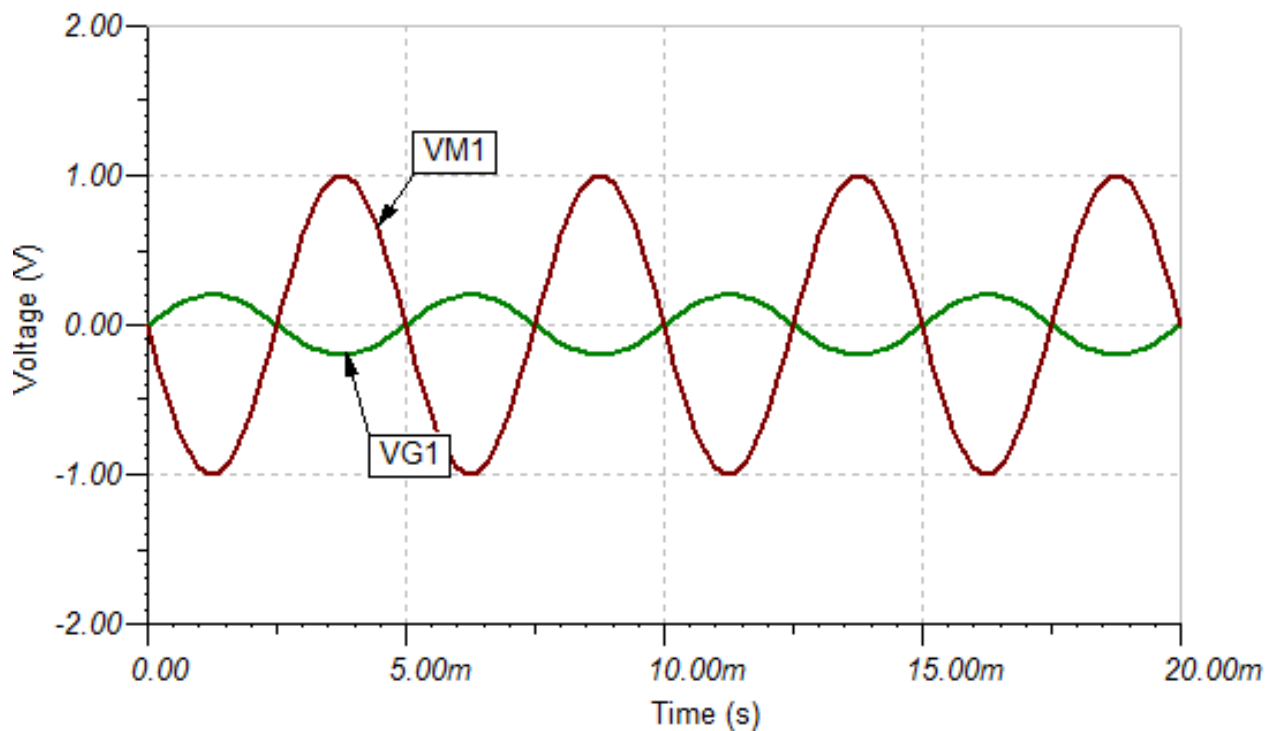


Рис. 11.13. Осциллограммы входного и выходного сигналов

7. Рассчитать коэффициент усиления по напряжению

$$K_{Ux} = \frac{U_{вых}}{U_{вх}}.$$



Д. Исследование работы резонансного транзисторного усилителя с общим истоком в режиме малого сигнала

8. Замкнем ключ SW2 и разомкнем ключ SW1. Установим амплитуду генератора 50мВ и частоту 1кГц.

9. Проведем анализ АЧХ: *AC Analysis – AC Transfer Characteristic*. Установить пределы изменения частоты от 1кГц до 10кГц и логарифмический масштаб.

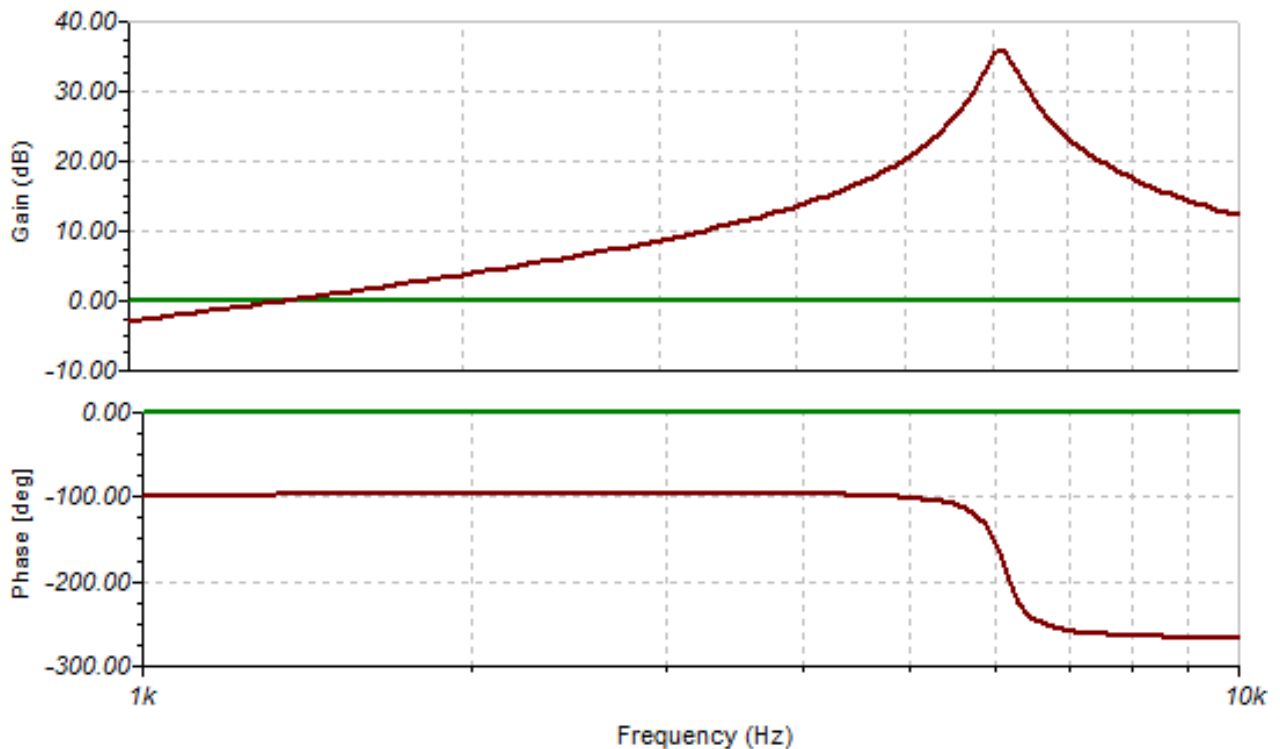


Рис. 11.14. АЧХ транзисторного резонансного усилителя с ОИ

10. Более точно определим резонансную частоту. Для этого пределы установим от 5 до 7 кГц и выберем линейную шкалу. По графику АЧХ (рис. 11.15) видно, что резонанс наступает на частоте 6,1 кГц. Линейное усиление составляет на резонансе примерно 37. Сдвиг фаз выходного сигнала относительно входного сигнала равен  $180^\circ$ .

11. Установим в генераторе частоту 6,1 кГц. Проведем анализ постоянных напряжений и токов в схеме. Как видно, при смещении на затворе  $-3,86\text{В}$  в режиме резонансного усилителя за счет малого сопротивления потерь  $R_3=10\text{ Ом}$  напряжение на истоке увеличивается до 9,9 В.

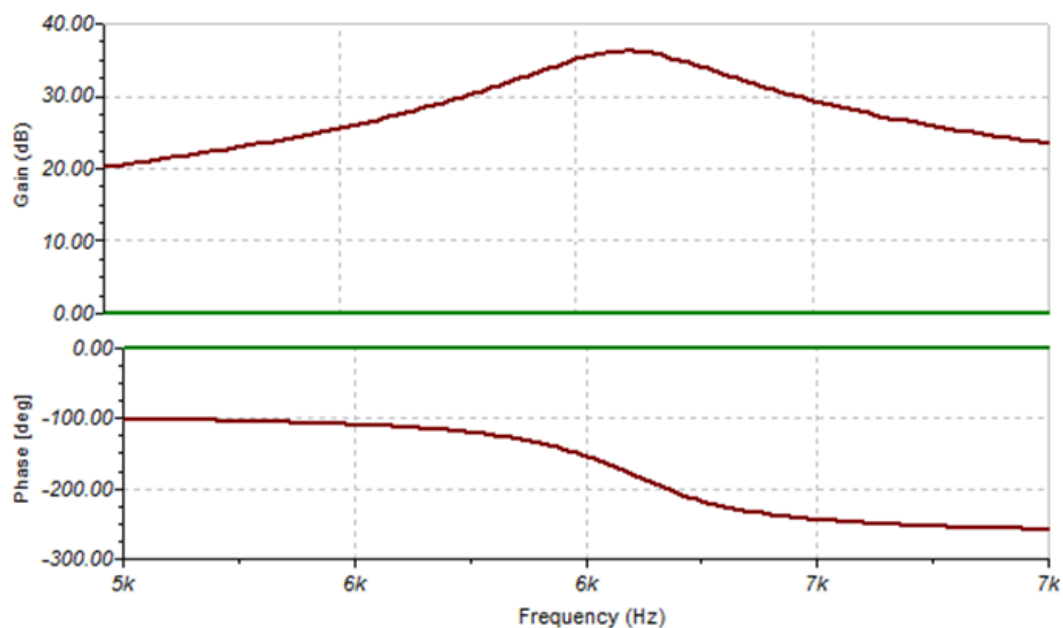


Рис 11.15. Определение резонансной частоты

Voltages/Currents	
I_L1[6,3]	-10,31mA
I_R1[2,1]	-18,03pA
I_R2[5,7]	0A
I_R3[7,6]	-10,31mA
I_VG1[4,0]	0A
I_VS1[2,0]	18,03pA
I_VS2[3,0]	-10,31mA
VM1	9,9V
VP_1	-3,86V
VP_2	-3,86V
VP_3	10V
VP_4	0V
VP_5	9,9V
VP_6	10V
VP_7	9,9V

Show
☒ Nodal Voltages
☒ Currents
☐ Other Voltages
☒ Outputs

Cancel
Help

Рис. 11.16. Таблица постоянных напряжений и токов в схеме

Установим амплитуду генератора 200мВ. Исследуем выходной сигнал с помощью осциллографа. В меню *T&M – Oscilloscope* выполним настройку осциллографа. Развертка 50 мкс/дел, усилен-

ние первого канала 200 мВ, усиление второго канала 5В, вход *Coupling*–AC. Каналы переключаются в блоке *Channel*. Осциллограмму надо наблюдать в установившемся режиме, выждав 5-10 секунд после выполнения команды *Run*.

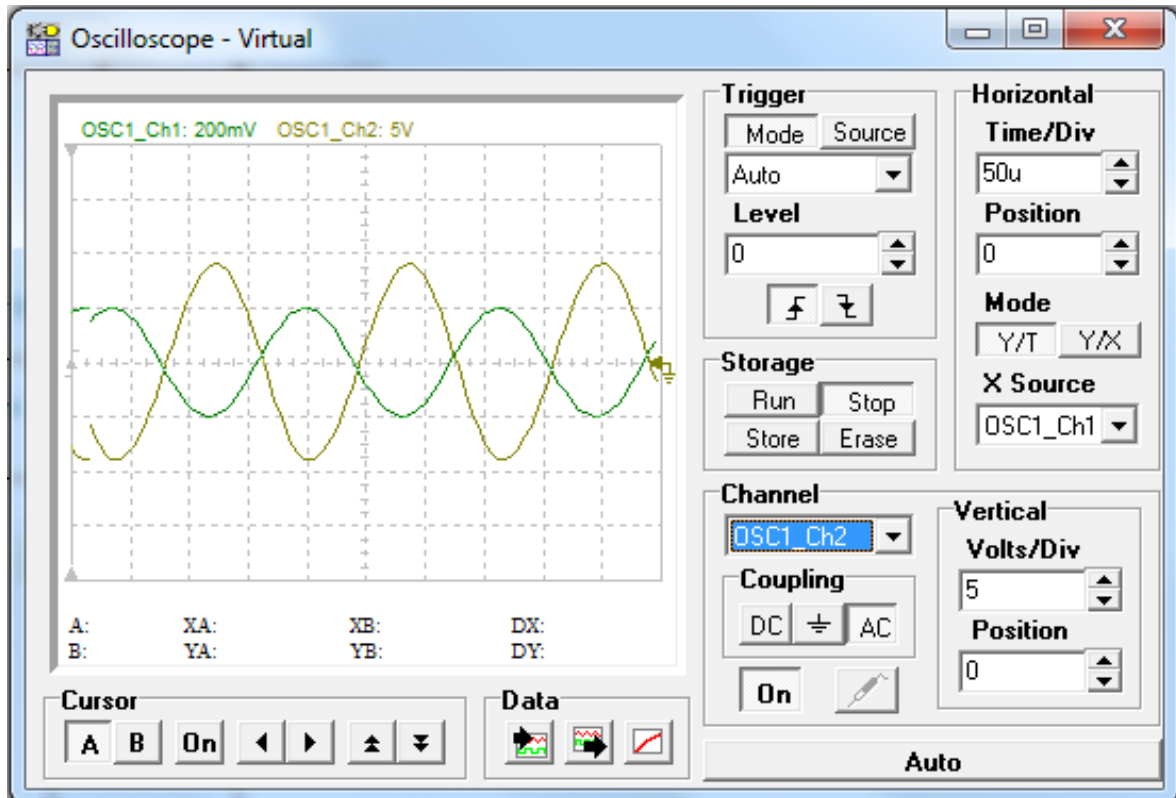


Рис. 11.17. Осциллограммы в резонансном режиме (входной сигнал Ch1, выходной сигнал Ch2)

По осциллограмме амплитуда напряжения на контуре 8 В.

Если на панели *Data* осциллографа нажать *Export Curve*, получим результаты в графической форме (рис. 11.18).

12. Расчет амплитуды напряжения на контуре в резонансном режиме:  $U_2 = U_{ген} R_{рез} S = \frac{U_{ген} L S}{C R}$ , где  $S$  – крутизна ВАХ. Для значений  $L = 10^{-2} \text{ Гн}, C = 68 \text{ нФ}, R = 10 \text{ Ом}, S = 2,66 \cdot 10^{-3} \text{ мА/В}$  получим  $U_2 = 7,824 \text{ В}$ .

Как видно из графиков, амплитуда выходного сигнала около 8В. Входной сигнал имеет амплитуду 200мВ. Таким образом, усиление в резонансном режиме составляет 40.

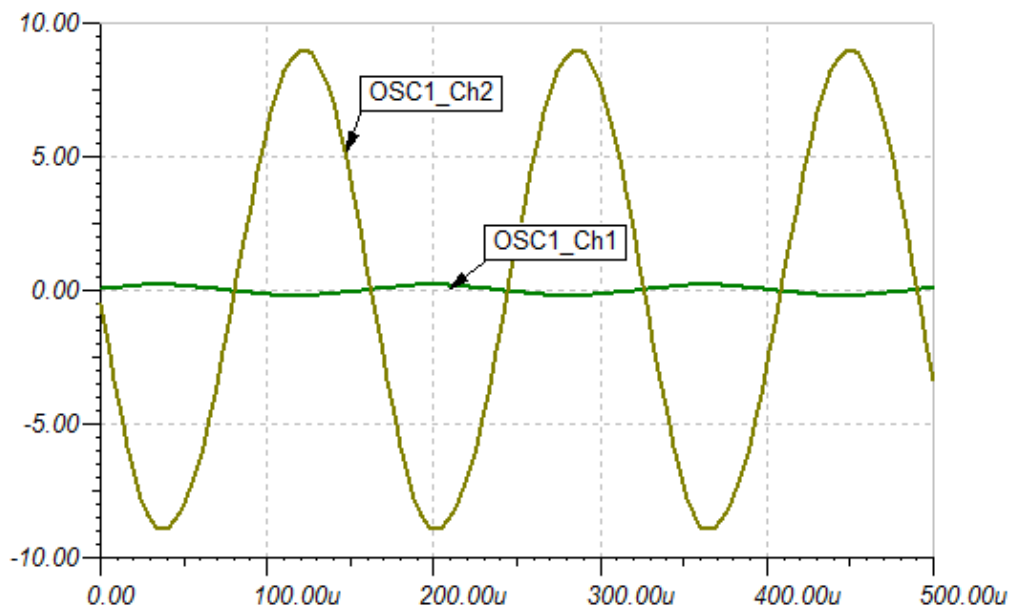


Рис. 11.18. Графики из осциллографа после нажатия *Export Curve*

#### Г. Исследование искажений выходного сигнала в резистивном усилителе

13. Восстановим схему резистивного усилителя. Установим частоту входного сигнала 20 кГц. Амплитуду будем устанавливать равной 200 мВ. В режиме *Analysis-Transient* на интервале 500 мкс – 1 мс получим графики входного и выходного сигнала (рис. 11.19).

Проведем Фурье – анализ выходного сигнала. Для этого выбираем *Analysis- Fourier Analysis- Fourier Series* для действующих значений выходного сигнала OSC1\_Ch2. Время начала расчета *Sampling start time* должно быть 500 мкс, чтобы переходные процессы успели закончиться. Записать рассчитанные нелинейные искажения (*Harmonic Distortion* = 2,086%) (рис. 11.20).

14. Повторить исследования по п.14 для амплитуды выходного сигнала 500мВ, 1В и 2В.

#### Домашнее задание

1. По результатам экспериментов построить графики передаточной характеристики, семейство выходных характеристик полевого транзистора и найти крутизну характеристики  $S$  при напряжении на стоке и токе стока, соответствующим рабочей точке.

2. Построить для схемы транзисторного усилителя (рис. 11.11) на выходных характеристиках линию нагрузки по постоянному току и отметить положение рабочей точки по п.6.

3. Построить график амплитудно-частотной характеристики резистивного усилителя. По формулам (11.2) - (11.3) рассчитать коэффициенты усиления транзисторного каскада на частотах 200 Гц, 5 кГц и 20 кГц. Сравнить результаты расчетов с экспериментальными данными.

4. Построить график амплитудно-частотной характеристики резонансного транзисторного усилителя. По графику АЧХ определить резонансную частоту и полосу пропускания усилителя. Рассчитать экспериментальное значение

эквивалентной добротности  $Q_{\text{экв}} = \frac{f_{\text{рез}}}{\Delta f}$ , добротность параллельного контура  $Q = \frac{\rho}{R_{\text{к}}}$  и его резонансное сопротивление

$R_{\text{рез}} = \frac{\rho^2}{R_{\text{к}}}$ . Из формулы для эквивалентной добротности

$Q_{\text{экв}} = \frac{Q}{1 + \frac{R_{\text{рез}}}{R_{\text{вых}}}}$  вычислить выходное сопротивление транзистора

$R_{\text{вых}}$ . Из формулы (11.5) вычислить значение крутизны транзистора  $S$ .

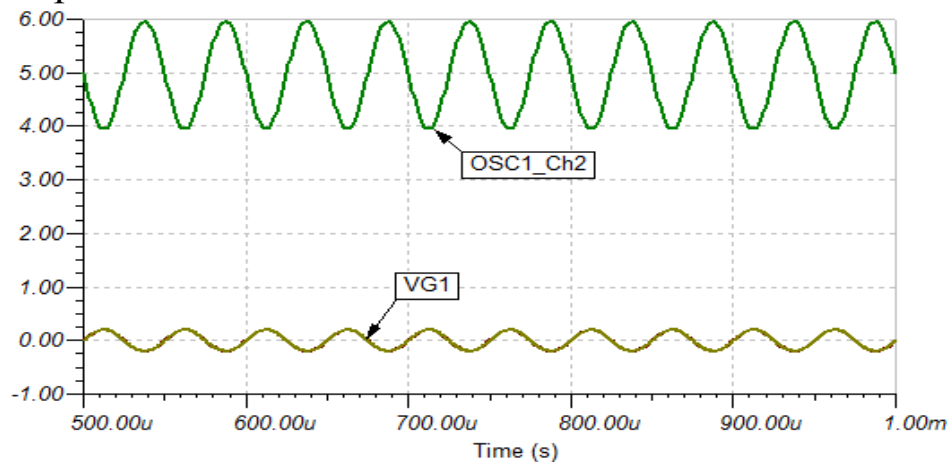


Рис. 11.19. Диаграммы выходного сигнала для  $U_{\text{вх}}=200$  мВ

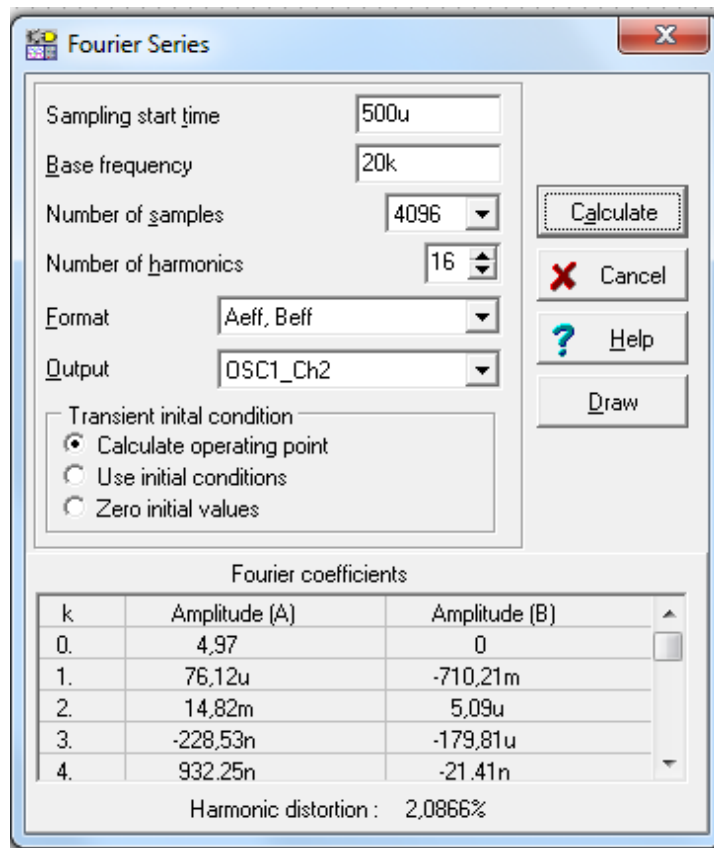


Рис. 11.20. Окно Фурье-анализа выходного сигнала

5. По графикам передаточной характеристики и выходных характеристик проиллюстрировать причины возникновения нелинейных искажений выходного сигнала, которые наблюдались в п.14 и 15. Отметить на нагрузочной прямой по постоянному току перемещение рабочей точки, соответствующей максимальному входному сигналу.

6. Построить график зависимости нелинейных искажений от амплитуды входного сигнала и определить диапазон входных сигналов, для которых нелинейные искажения не превышают 5%.

## Глава 12. ЭЛЕКТРИЧЕСКИЕ ЦЕПИ С ОПЕРАЦИОННЫМИ УСИЛИТЕЛЯМИ

### 12.1. Теоретическое введение

Операционные усилители в цепях постоянного и переменного тока

Операционные усилители (ОУ) выполняются в виде интегральных микросхем и имеют в полосе частот от 0 до десятков килогерц

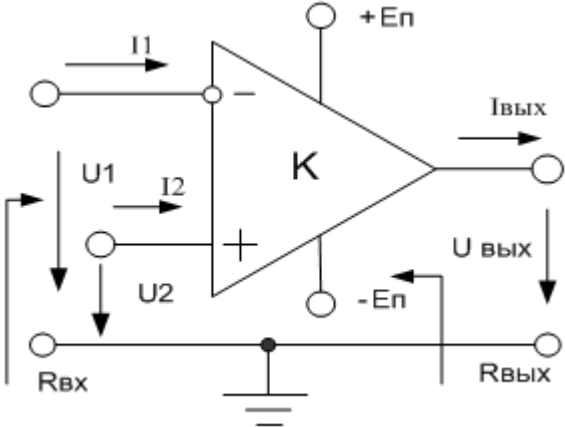
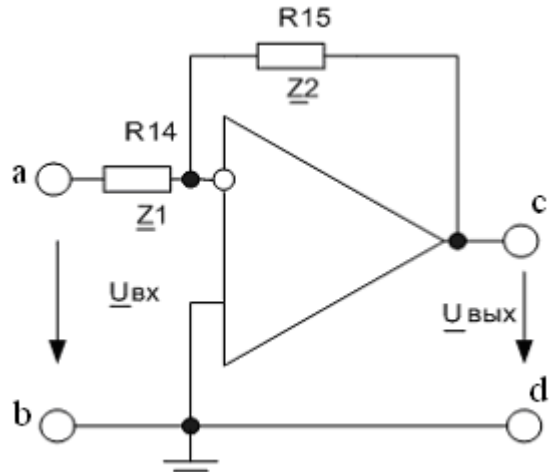
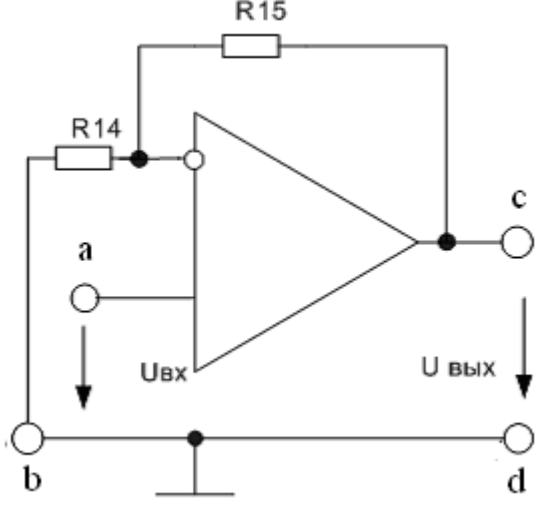
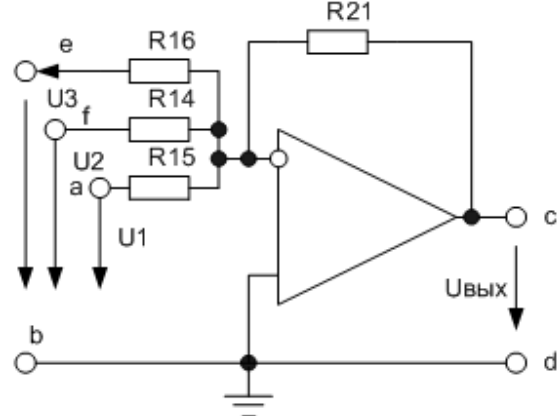
(современные ОУ до сотен мегагерц) собственный коэффициент усиления  $K'_U$  не менее нескольких тысяч. Обозначение ОУ на схемах показано на рис. 12.1. Вход 1, обозначенный знаком (-), называют инвертирующим. Вход 2, обозначенный знаком (+), называют неинвертирующим. Входы питания  $+E_{\Pi}$  и  $-E_{\Pi}$  на схемах электрических цепей часто не обозначают. Выходное напряжение  $\underline{U}_{\text{вых}} = K'_U(\underline{U}_2 - \underline{U}_1)$  в области низких частот совпадает по фазе с разностью  $\underline{U}_2 - \underline{U}_1$ . Поскольку  $K'_U$  весьма велик, а  $\underline{U}_{\text{вых}}$  ограничено ( $|\underline{U}_{\text{вых}}| < |E_{\Pi}|$ ), то разность  $\underline{U}_2 - \underline{U}_1 = U_{\gamma} \rightarrow 0$ . Эту разность называют дифференциальным входным напряжением или виртуальным нулем.

Свойства идеального ОУ без внешних обратных связей представлены на рис. 12.1. Эти свойства используют при расчетах схем с ОУ.

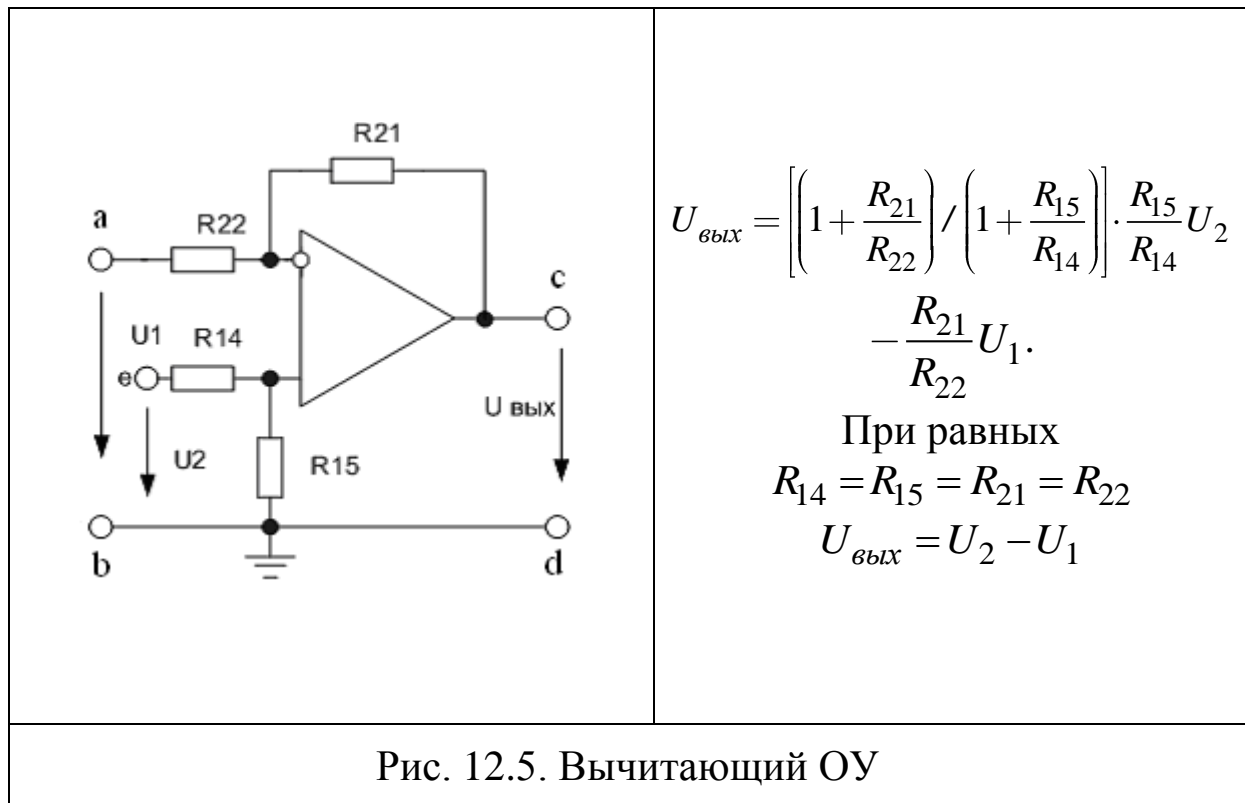
Технические характеристики реальных ОУ отличаются от идеальных. *Дифференциальный коэффициент усиления*  $K'_U = \frac{\Delta U_{\text{вых}}}{\Delta(U_2 - U_1)}$  имеет конечную величину, которая лежит в пределах  $10^3$ - $10^5$ . *Входное сопротивление*  $R'_{\text{вх}}$  составляет от единиц кОм до 1000 МОм. *Выходное сопротивление*  $R'_{\text{вых}}$  лежит в пределах от единиц до сотен Ом. *Частота единичного усиления* от сотен килогерц до сотен мегагерц. *Скорость нарастания напряжения* (В/мкс), определяющая переходные характеристики ОУ, может составлять от десятков мВ/мкс до сотен В/мкс. Внешние элементы образуют внешние обратные связи (ОС) операционного усилителя. ОУ с ОС имеет передаточную функцию, которая определяется параметрами элементов и схемой включения ОС.

При соответствующем выборе ОС операционный усилитель можно использовать для сложения, вычитания, дифференцирования, интегрирования сигналов, а также для получения различных функциональных зависимостей. За способность выполнять различные математические функции ОУ и получил название «операционный усилитель».

Таблица 12.1

 $K'_U = \infty, U_2 - U_1 = 0,$ $I_{ex1} = 0, I_{ex2} = 0,$ $R'_{ex} = \infty, R'_{exl} = 0$	 $K'_U = \frac{U_{вых}}{U_{вх}} = -\frac{R_{15}}{R_{14}},$ $K'_U(p) = \frac{U_{вых}(p)}{U_{вх}(p)} = -\frac{Z_2(p)}{Z_1(p)}$
Рис. 12.1. Обозначение и свойства идеального ОУ	Рис. 12.2. Инвертирующий ОУ
 $K'_U = \frac{U_{вых}}{U_{вх}} = \frac{R_{14} + R_{15}}{R_{14}}$	 $U_{вых} = -\left(\frac{R_{21}}{R_{15}}U_1 + \frac{R_{21}}{R_{14}}U_2 + \frac{R_{21}}{R_{16}}U_3\right)$
Рис. 12.3. Неинвертирующий ОУ	Рис. 12.4. Инвертирующий сумматор





В Таблицах 12.1, 12.2 и 12.3 показаны примеры схем с ОУ, которые исследуются в лабораторной работе, и основные расчетные формулы. Нумерация пассивных элементов обратных связей соответствует аналоговому стенду МЭЛ.

#### Частотно-зависимые звенья с операционными усилителями

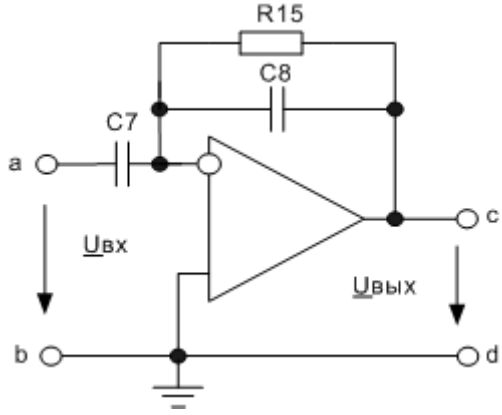
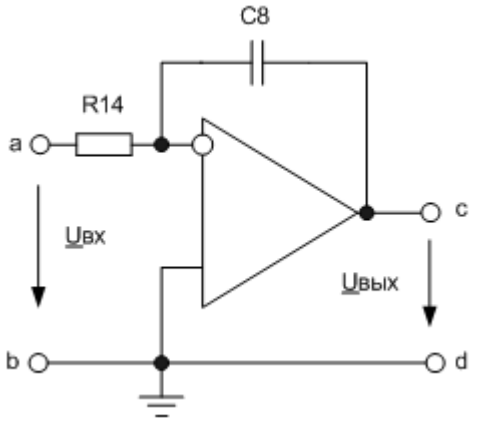
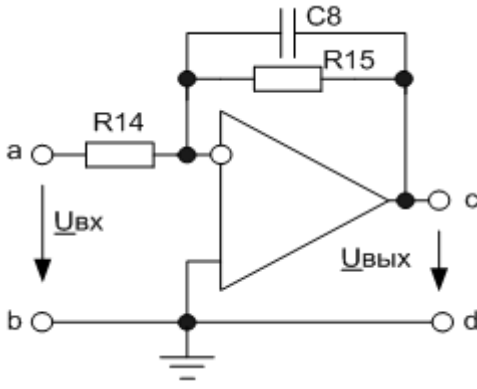
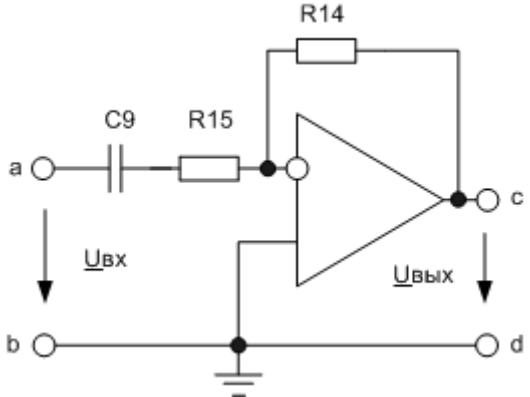
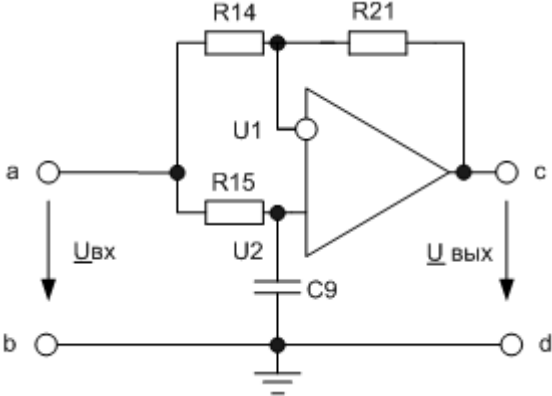
Простейшие частотно-зависимые звенья с операционными усилителями показаны в таблице 12.2.

Четыре первые схемы соответствуют обобщенному инвертирующему усилителю (рис. 12.2) с операторным коэффициентом передачи

$$K'_U(p) = \frac{U_{\text{вых}}(p)}{U_{\text{вх}}(p)} = - \frac{Z_2(p)}{Z_1(p)} \quad (12.1)$$

Подставляя в (12.1) комплексные сопротивления  $\underline{Z}_1(j\omega)$  и  $\underline{Z}_2(j\omega)$ , можно вычислить амплитудно-частотную характеристику звена ( $|\underline{K}'_U(j\omega)|$ ) и фазочастотную характеристику звена ( $\text{Arg}(\underline{K}'_U(j\omega))$ ).

Таблица 12.2

	
Рис. 12.6. Дифференцирующее звено с коррекцией	Рис. 12.7. Интегрирующее звено
	
Рис. 12.8. Активный фильтр низких частот первого порядка	Рис. 12.9. Активный фильтр высоких частот первого порядка
	$\underline{K}'_U(j\omega) = \frac{1 - j\omega RC_9}{1 + j\omega RC_9},$ $ \underline{K}'_U(j\omega)  = 1,$ $\varphi = -2\arctg(\omega RC_9)$
Рис. 12.10. Фазовращатель	

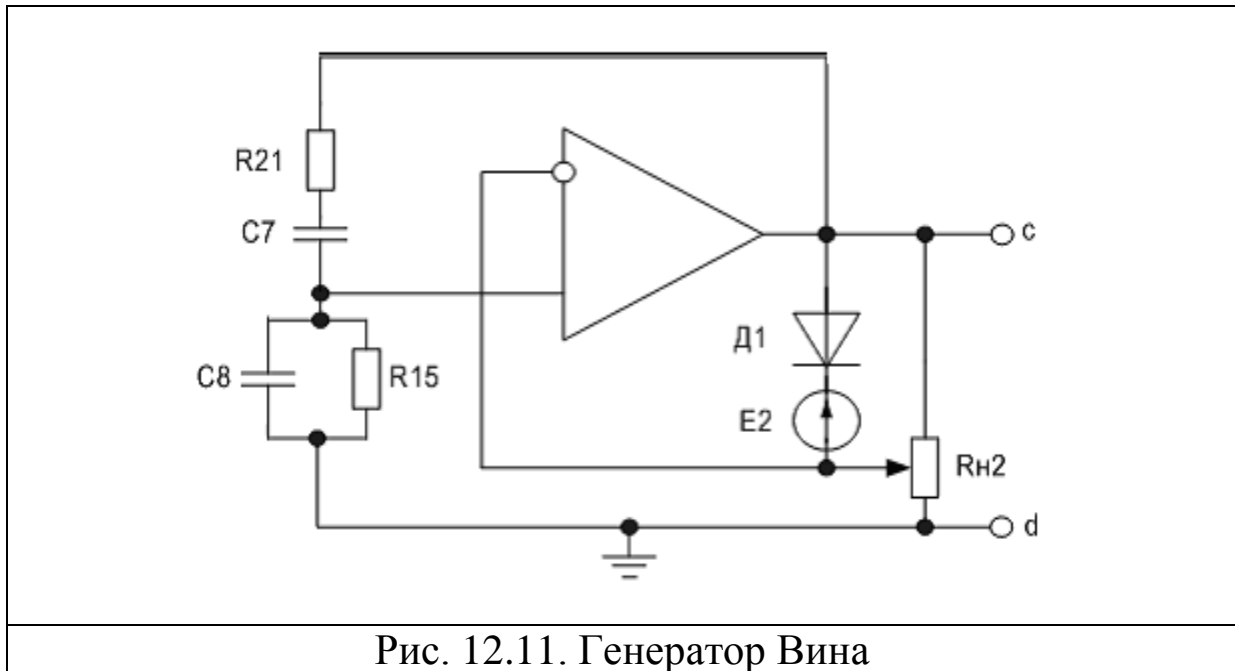


Рис. 12.11. Генератор Вина

Так, например, для активного ФНЧ первого порядка (рис. 12.7) АЧХ будет определяться формулой:

$$K'_U(\omega) = \frac{K}{\sqrt{1 + \left(\frac{\omega}{\omega_p}\right)^2}}, \text{ где } K = \frac{R_{15}}{R_{14}}, \omega_p = \frac{1}{R_{15}C_8} \quad (12.2)$$

Для фазовращателя (рис. 12.10) составим уравнения с учетом свойств идеального ОУ:

$$U_1(p) = \frac{(U_{\text{ex}}(p) - U_{\text{вых}}(p))R_{21}}{R_{14} + R_{21}} = U_2(p) = \frac{U_{\text{ex}}(p) \cdot \frac{1}{pC_9}}{R_{14} + \frac{1}{pC_9}}.$$

Отсюда при равных резисторах получим:

$$\frac{U_{\text{ex}}(p) - U_{\text{вых}}(p)}{2U_{\text{ex}}(p)} = \frac{1}{1 + pRC_9} \text{ и } \frac{U_{\text{вых}}(p)}{U_{\text{ex}}(p)} = \frac{1 - pRC_9}{1 + pRC_9} \quad (12.3)$$

Для комплексной частотной характеристики

$$\underline{K}'_U(j\omega) = \frac{1 - j\omega RC_9}{1 + j\omega RC_9} \text{ модуль является постоянным и равным 1, а}$$

фаза  $\varphi = -2\arctg(\omega RC_9)$ . Изменяя сопротивление  $R$  или емкость  $C_9$ , можно установить фазовый сдвиг в диапазоне от  $0^\circ$  до  $-180^\circ$ .

В генераторе Вина (рис. 12.11) при равных сопротивлениях  $R_{21}=R_{15}=R$  и емкостях  $C_7=C_8$  на квазирезонансной частоте

$f_k = \frac{1}{2\pi RC_8}$  фазовый сдвиг в цепи обратной связи равен нулю, а

петлевой коэффициент передачи  $\beta=1/3$ . Для самовозбуждения коэффициент усиления усилителя  $K$  должен быть больше 3. Это достигается регулировкой резистора  $R_{н2}$ . Диод и источник напряжения  $E_2$  требуются для стабилизации режима генерации.

**Активные фильтры второго порядка**

Активные фильтры второго порядка содержат один или несколько ОУ с частотно-зависимыми обратными связями. В цепях ОС применяют резисторы и конденсаторы. Поэтому такие фильтры называют активные  $RC$ -цепи ( $ARC$ -цепи). Активные фильтры позволяют получить разнообразные частотные характеристики коэффициента передачи в диапазоне частот от нуля до нескольких мегагерц. Они более компактны и технологичны по сравнению с  $LC$  – фильтрами, не требуют применения индуктивностей.

Порядок активного фильтра определяется наибольшей степенью переменной  $p$  в знаменателе его передаточной функции. Фильтры высокого порядка имеют лучшие частотные характеристики.

Передаточные функции активных фильтров рассчитывают по уравнениям для операторной схемы замещения с учетом свойств операционного усилителя. Комплексную частотную характеристику получают заменой  $p$  на  $j\omega$  в передаточной функции. Амплитудно-частотные характеристики равны модулю комплексной частотной характеристики.

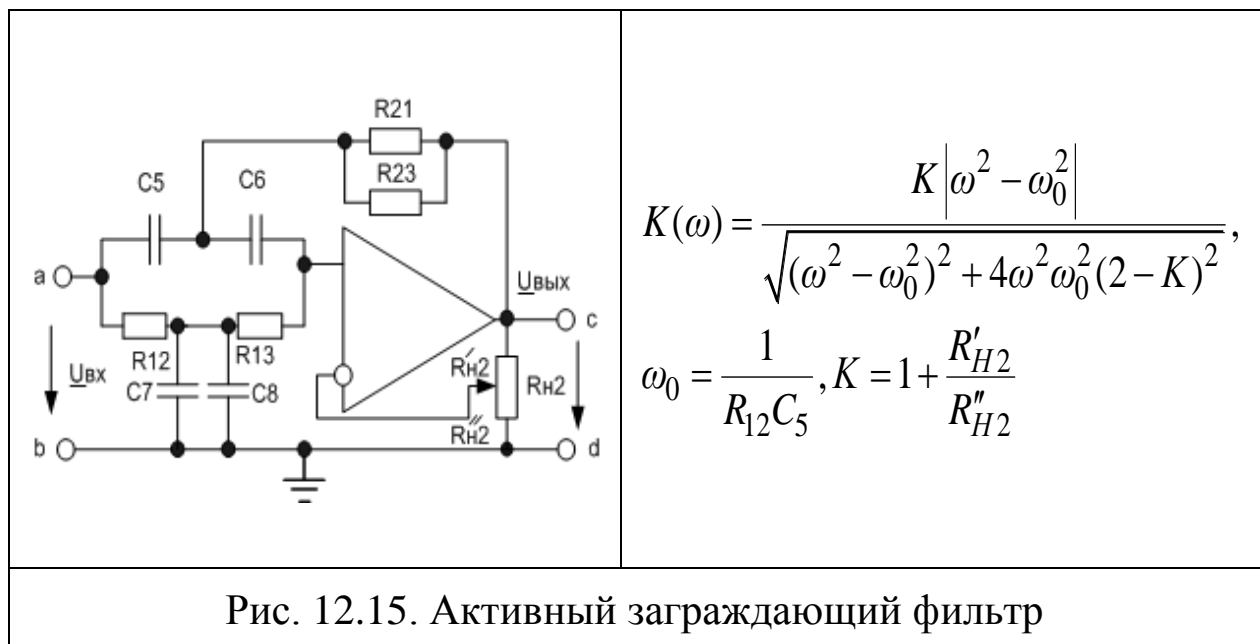
В лабораторной работе исследуются активные фильтры второго порядка с одним ОУ. Схемы фильтров и расчетные формулы показаны в Таблице 12.3.

## **12.2. Вопросы для самопроверки и подготовки к лабораторной работе**

1. Нарисуйте схему операционного усилителя, объясните назначение выводов.

Таблица 12.3

	$K(\omega) = \frac{K\omega_0^2}{\sqrt{(\omega^2 - \omega_0^2)^2 + \omega^2(\omega_0/q)^2}},$ $K = R_{21}/R_{14}, \quad \omega_0^2 = \frac{1}{R_{15} \cdot R_{21} \cdot C_8 \cdot C_9},$ $q = \sqrt{\frac{R_{15} \cdot C_8}{R_{21} \cdot C_9}} \cdot \frac{1}{1 + R_{15}/R_{14}}$
Рис. 12.12. Активный фильтр низких частот	
	$K(\omega) = \frac{K\omega^2}{\sqrt{(\omega^2 - \omega_0^2)^2 + \omega^2(\omega_0/q)^2}},$ $K = \frac{C_7}{C_7 + C_6}; \omega_0^2 = \frac{1}{R_{14} \cdot R_{12} \cdot C_0 \cdot C_5};$ $C_0 = C_6 + C_7; q = \frac{1}{(1 + \frac{C_0}{C_5})} \sqrt{\frac{R_{12} \cdot C_0}{R_{14} \cdot C_5}}$
Рис. 12.13. Активный фильтр высоких частот	
	$K(\omega) = \frac{K\omega(\omega_0/q)}{\sqrt{(\omega^2 - \omega_0^2)^2 + \omega^2(\omega_0/q)^2}},$ $K = \frac{R_{15}K_0}{R_{15} + R_{14}}; K_0 = q^2(1 + C_8/C_7);$ $R_0 = \frac{R_{14} \cdot R_{15}}{R_{14} + R_{15}}; \omega_0^2 = \frac{1}{R_0 \cdot R_{21} \cdot C_7 \cdot C_8};$ $q = \sqrt{\frac{R_{21} \cdot C_7}{R_0 \cdot C_8}} \cdot \frac{1}{1 + C_7/C_8}$
Рис. 12.14. Активный полосовой фильтр	



2. Какими свойствами обладает идеальный операционный усилитель?

3. Какие параметры входят в технические характеристики реальных операционных усилителей?

4. Что такое «обратная связь» и как она влияет на свойства операционного усилителя?

5. Выведите формулу дифференциального коэффициента усиления инвертирующего ОУ (рис. 12.2).

6. Выведите формулу дифференциального коэффициента усиления неинвертирующего ОУ (рис. 12.3).

7. Выведите формулу для операторного коэффициента передачи интегрирующего звена с ОУ (рис. 12.7).

8. Нарисуйте схему фазовращателя с ОУ. Определить, на какой частоте фазовращатель даст сдвиг фазы  $-90^\circ$ , если все сопротивления равны 10 кОм, а емкость равна 22 нФ.

9. Для чего применяют генератор Вина? Какие условия должны выполняться для самовозбуждения этого генератора?

10. Чем обусловлено название «активные фильтры»? Поясните их достоинства и недостатки по сравнению с реактивными LC-фильтрами.

11. Чем определяется порядок активного фильтра и как влияет порядок на частотные свойства фильтра?

12. Изобразите ожидаемые графики АЧХ четырех активных фильтров, которые показаны в таблице 12.3.

### 12.3. Лабораторная работа №6

#### Электрические цепи с операционными усилителями

**Цель работы:** изучение типовых схем включения операционных усилителей (ОУ) и изучение их свойств, изучение типовых частотно-зависимых звеньев с ОУ, первого и второго порядка.

#### Лабораторное задание

##### А. Исследование операционных усилителей в цепях постоянного и переменного тока

1. Собрать схему инвертирующего ОУ (рис. 12.16), выбрав по указанию преподавателя операционный усилитель из панели *Semiconductors-Operational Amplifier*. Открыть меню *Parameters-Type-Catalog Editor* и выписать основные параметры усилителя: *Open loop gain* (усиление без обратной связи), *Input resistance* (входное сопротивление), *Output resistance* (выходное сопротивление), *Maximum slew rate* (скорость нарастания выходного напряжения), *Maximum Supply Voltage* (максимальное напряжение питания), *Maximum Input Current* (максимальный входной ток), *Maximum Output Current* (максимальный выходной ток).

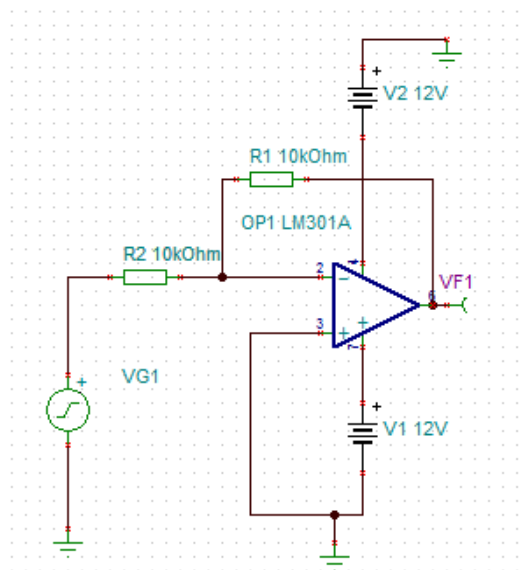


Рис. 12.16. Схема инвертирующего ОУ

2. Установить в генераторе VG1 амплитуду 1В и частоту 100Гц. Исследовать амплитудно-частотную и фазочастотную характеристики инвертирующего ОУ в режиме *Analysis-AC Analysis- AC Transfer Characteristic (Start Frequency 10 Hz, End Frequency 10 MHz, Sweep Type –Logarithmic)*.

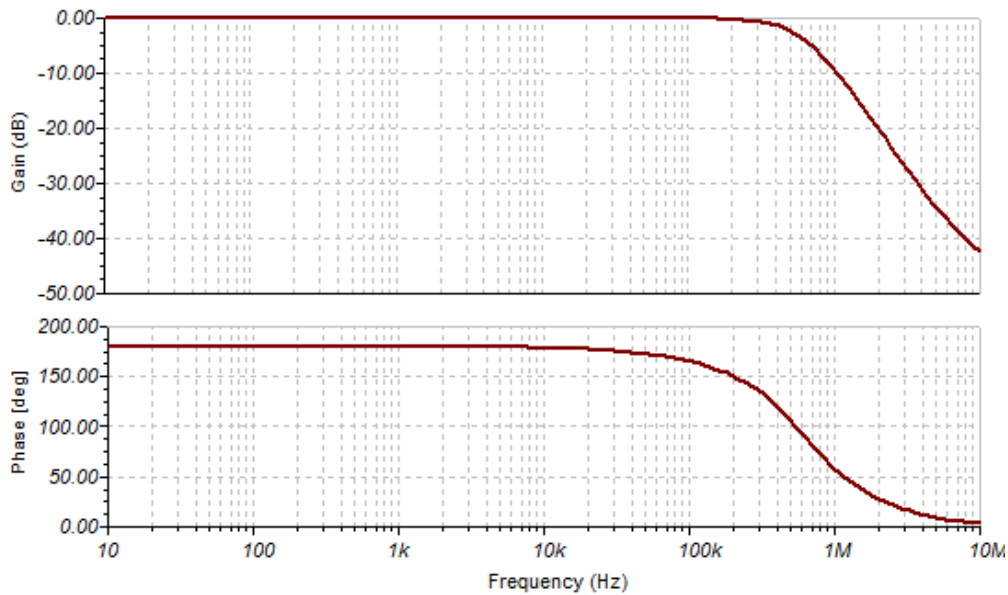


Рис. 12.17. АЧХ и ФЧХ усилителя на ОУ

3. Собрать схему инвертирующего сумматора рис. 12.18.

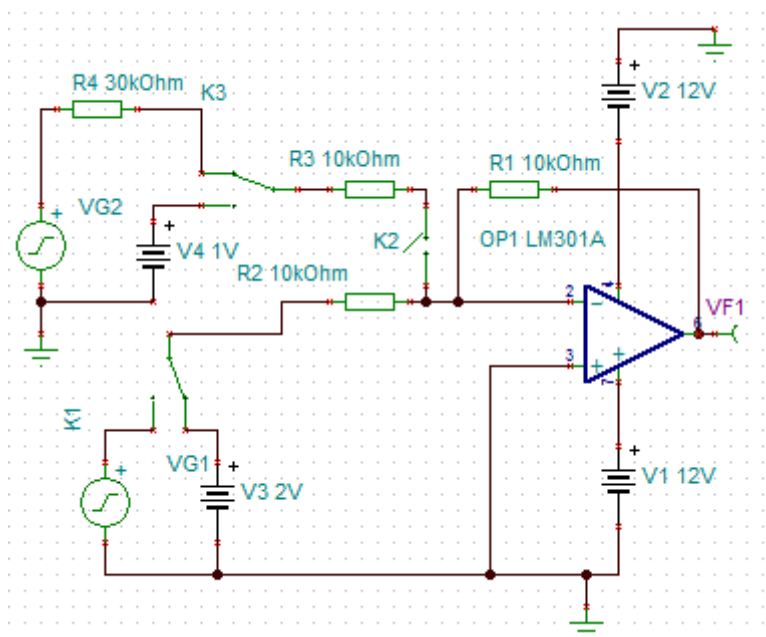


Рис. 12.18. Схема инвертирующего сумматора на ОУ



В схеме рис. 12.18 обозначить ключи К1, К2, К3, разомкнуть К2 и подключить к инвертирующему входу ОУ источник напряжения V3, равный 2В. Используя режим *Analysis-DC Analysis- Table of DC results*, найти и записать напряжение на выходе VF1.

4. Замкнуть ключ К2, подключить к инвертирующему входу источник напряжения V4, равный 1В. Измерить и записать напряжение на выходе VF1.

5. Установить в генераторе VG1 амплитуду 1В, частоту 100 Гц. В генераторе VG2 установить амплитуду 1В, частоту 1кГц. Ключ К2 замкнуть и подключить к входу ОУ генераторы VG1 и VG2. В режиме *Analysis-Time Functions* получить графики входных напряжений и напряжения на выходе VF1. Объяснить форму выходного напряжения.

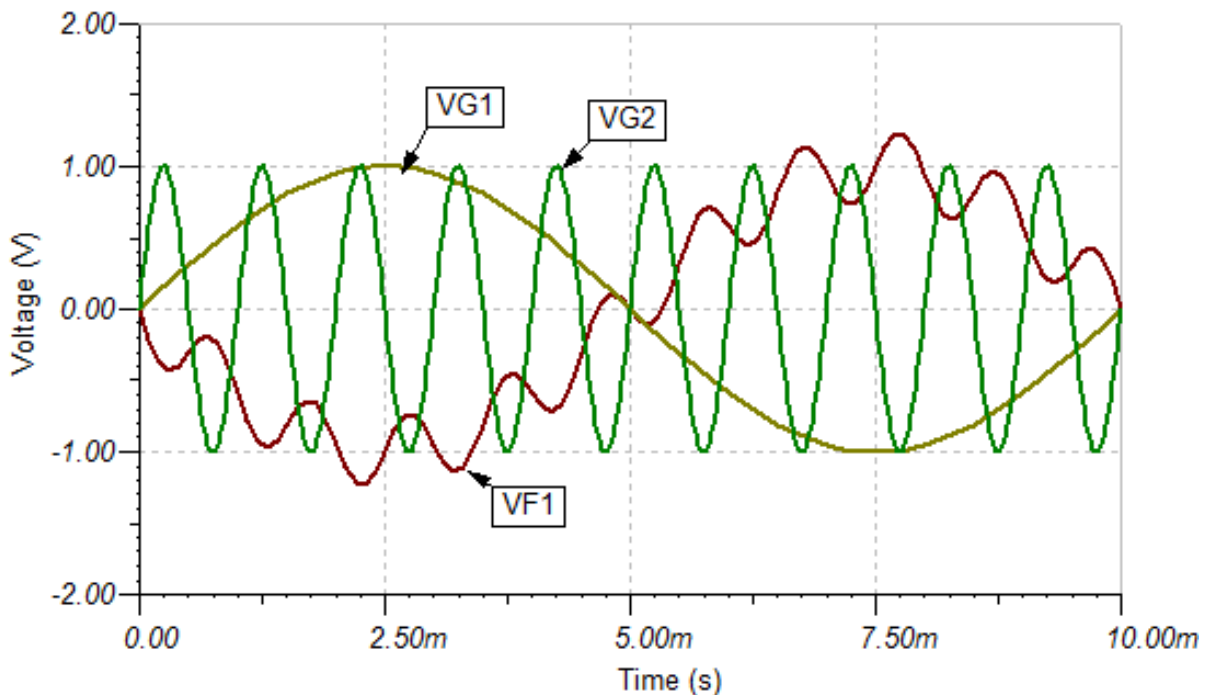


Рис. 12.19. Графики сигналов в инвертирующем ОУ

6. Собрать схему неинвертирующего ОУ (рис. 12.20). Установить в генераторе VG1 синусоидальный сигнал с амплитудой 1В и частотой 100 Гц. В режиме *Analysis-Time Functions* получить графики сигналов на входе и выходе ОУ. Объяснить характер графиков.

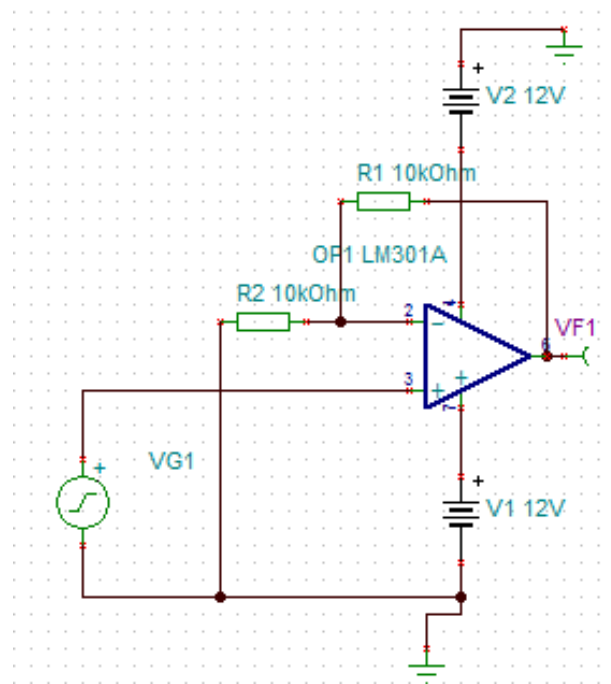


Рис. 12.20. Схема неинвертирующего ОУ

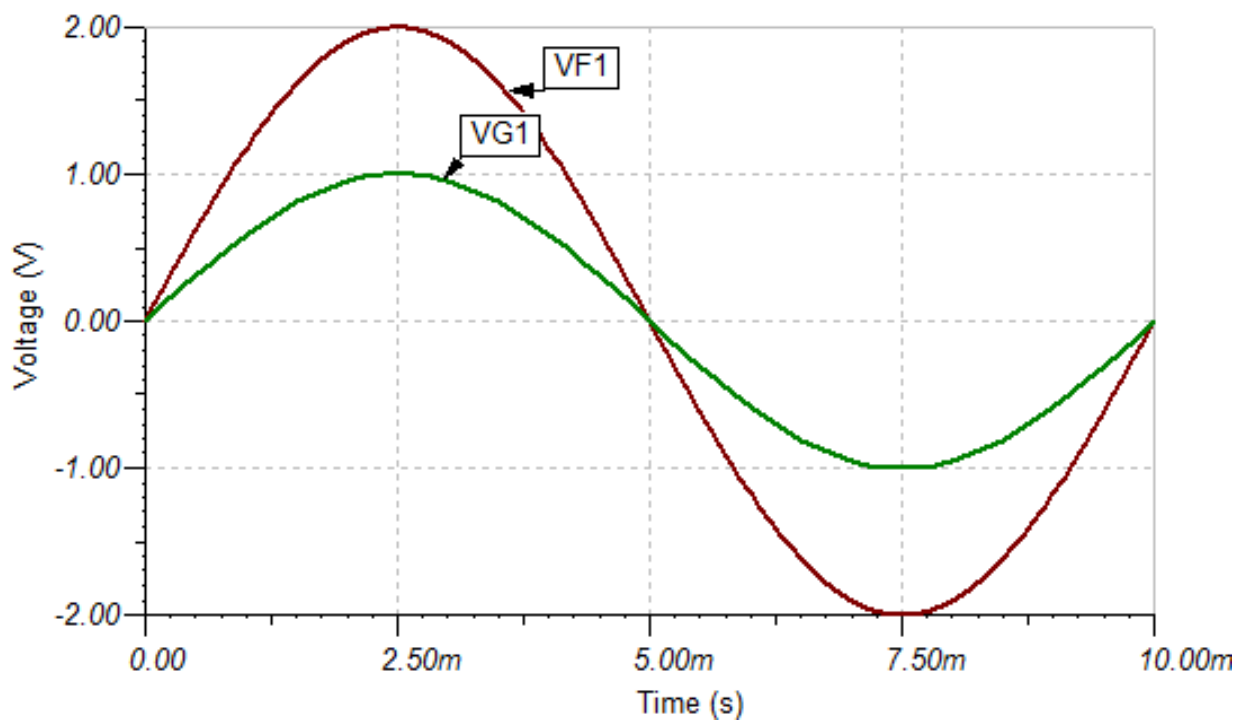


Рис. 12.21. Графики сигналов в неинвертирующем ОУ

7. Собрать схему вычитающего ОУ (рис. 12.22). Установить VG1: 1V, 100 Hz; VG2: 500mV, 100 Hz. Провести *Analysis-Time Functions* и получить графики сигналов на входе и выходе ОУ. Объяснить характер графиков.

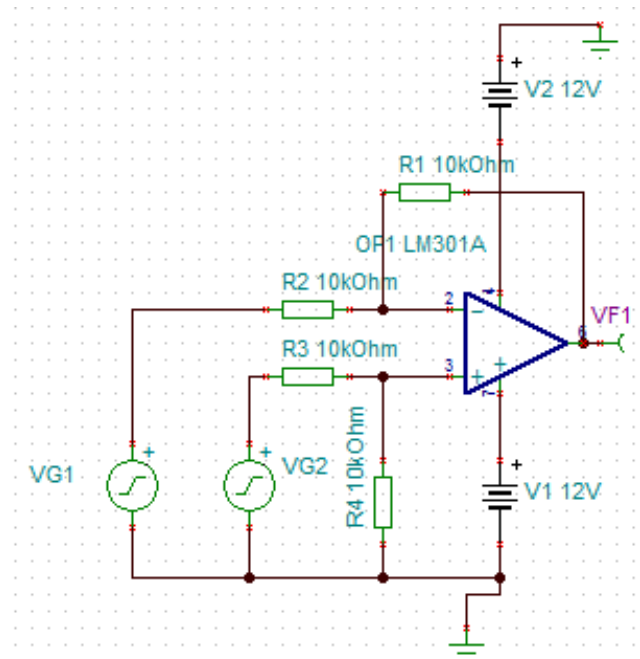


Рис. 12.22. Вычитающий ОУ

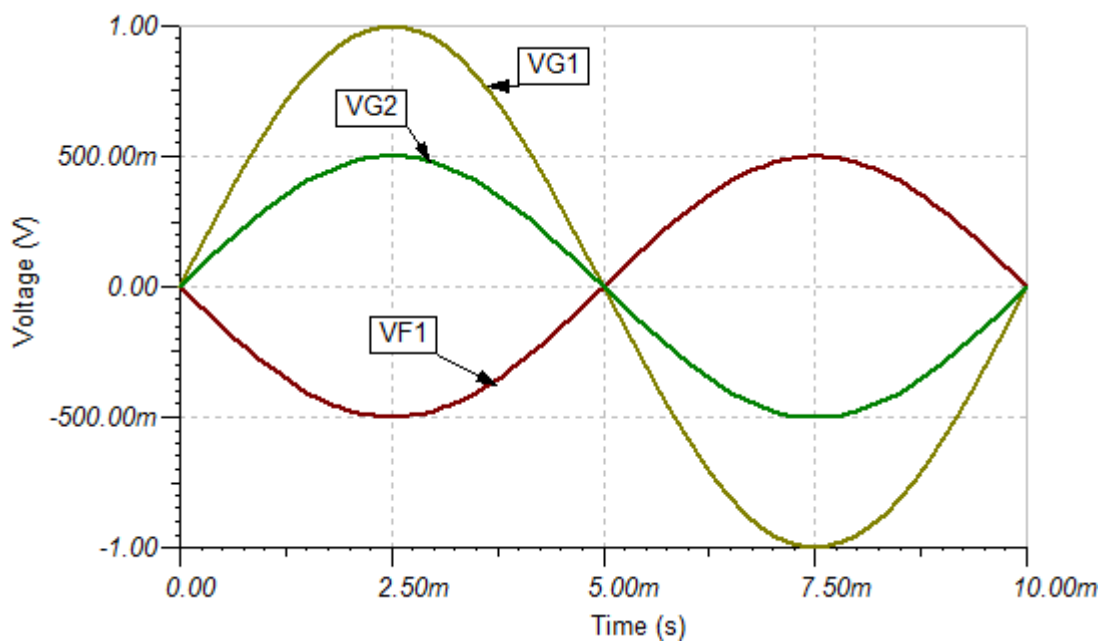


Рис. 12.23. Графики сигналов в вычитающем усилителе

### Б. Исследование частотно-зависимых звеньев с операционными усилителями

8. Собрать схему дифференциального звена (рис. 12.24). Провести анализ *Analysis-AC Analysis- AC Transfer Characteristic* в диапазоне от 10 Гц до 10 кГц.

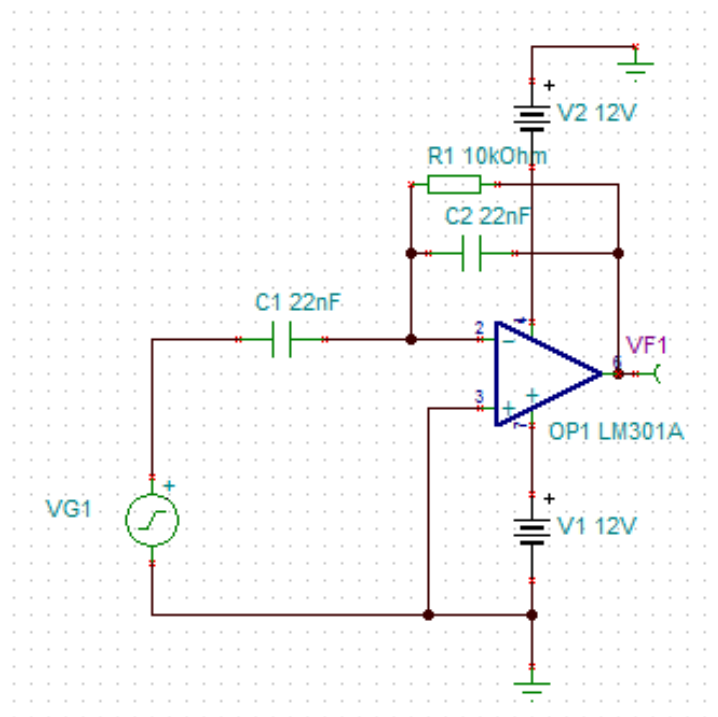


Рис. 12.24. Дифференцирующий усилитель

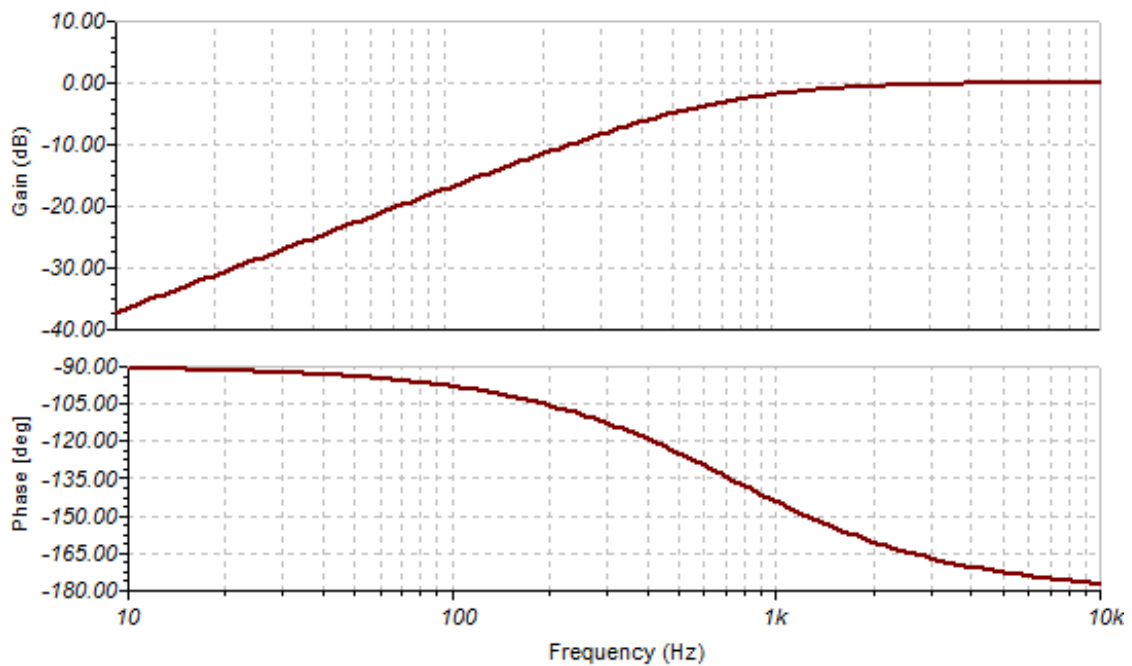


Рис. 12.25. Частотные характеристики дифференцирующего усилителя

9. Установить в генераторе VG1 сигнал прямоугольной формы с амплитудой 100 мВ и частотой 50 Гц. В режиме *Transient* исследовать выходной сигнал VF1. Пояснить форму графиков.

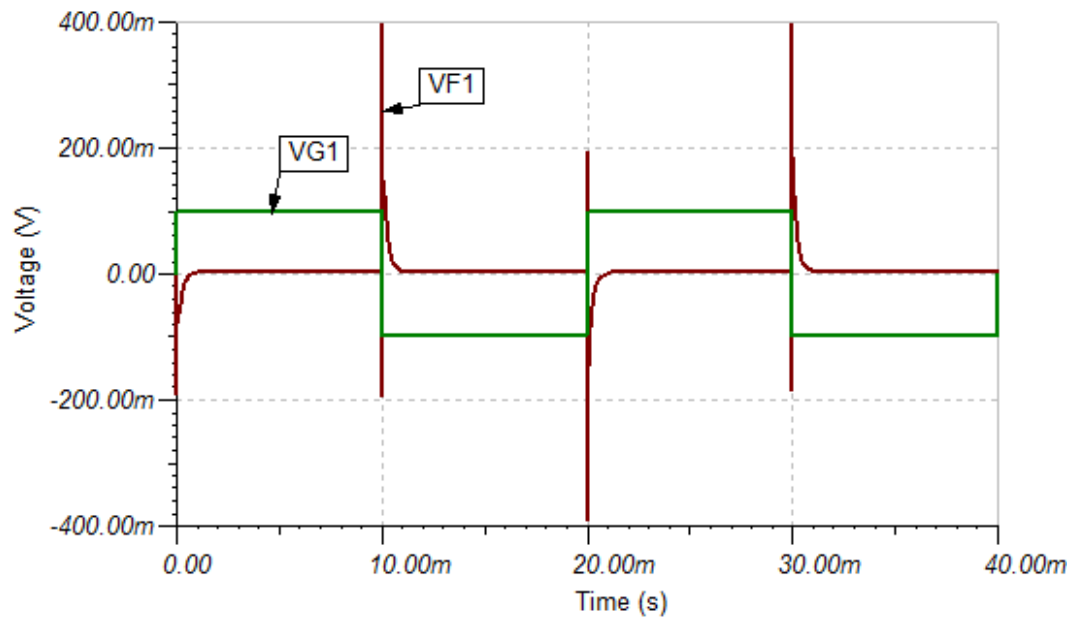


Рис. 12.26. Входной и выходной сигналы дифференцирующего усилителя

10. Собрать схему интегрирующего звена рис. 12.27.

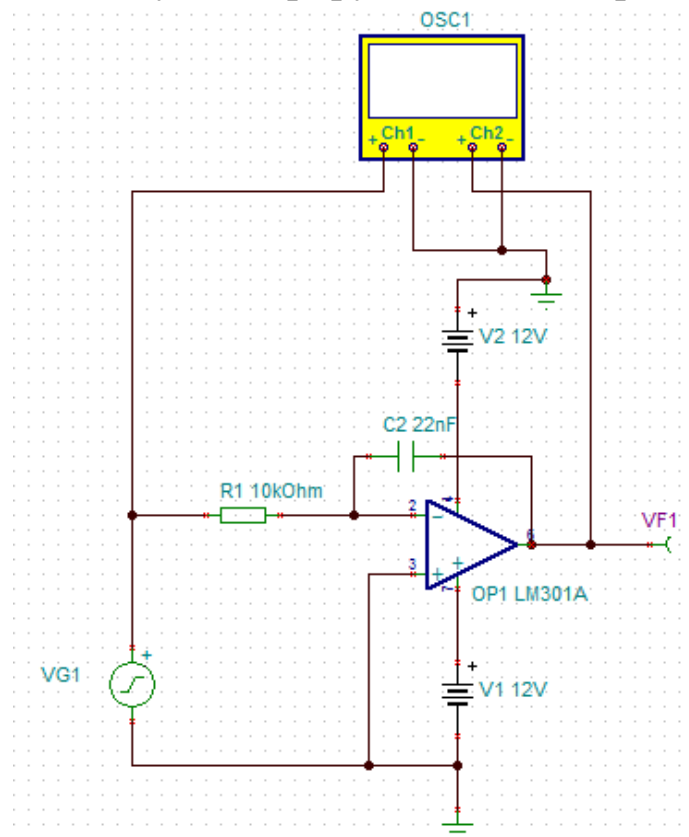


Рис. 12.27. Схема интегрирующего звена

Провести анализ *Analysis-AC Analysis- AC Transfer Characteristic* в диапазоне от 10 Гц до 10 кГц.

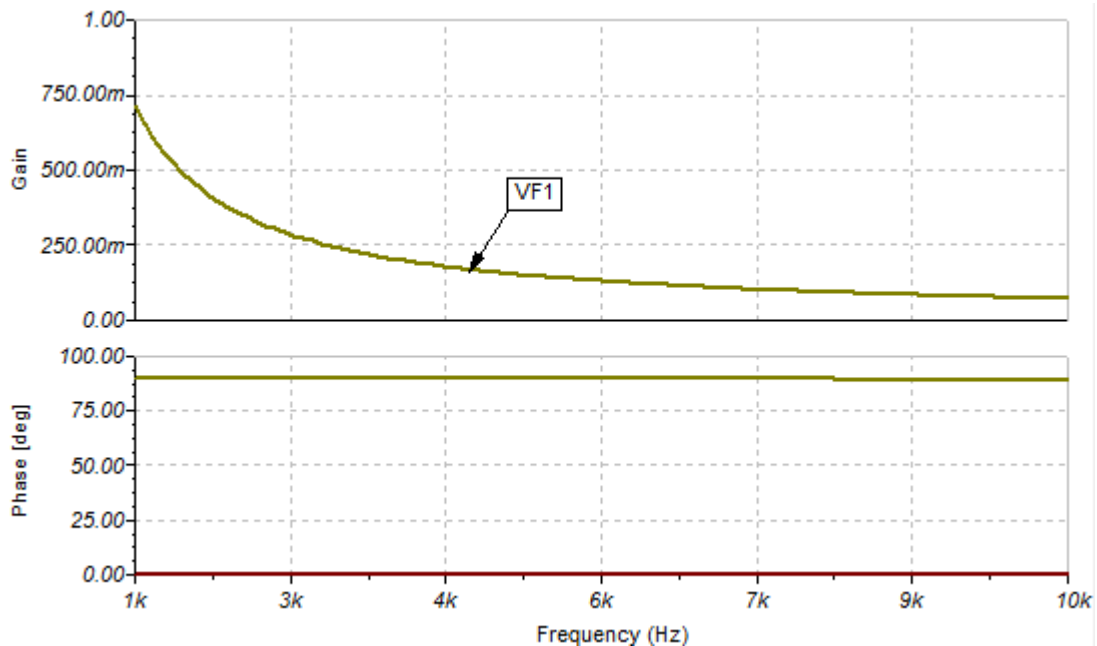


Рис. 12.28. Частотные характеристики интегрирующего звена в линейном масштабе.

В соответствии с формулой 12.1 комплексная частотная характеристика интегрирующего звена равна:

$$\underline{K}(j\omega) = -\frac{j}{\omega C_2} = j \frac{1}{\omega R_1 C_2} = j \frac{1}{2\pi f 10^4 \cdot 22 \cdot 10^{-9}} = j \frac{723}{f}.$$

Амплитудно-частотная характеристика на частоте 4 кГц равна:

$$K(\omega) = |\underline{K}(j\omega)| = \frac{723}{4000} = 0,18.$$

Фазочастотная характеристика на всех частотах равна  $+90^\circ$ .

Частотные характеристики в логарифмическом масштабе показаны на рис. 12.29.

11. Установить в генераторе VG1 сигнал прямоугольной формы с амплитудой 100 мВ и частотой 50 Гц. Для заданного ОУ типа LM301A в меню *Properties* установить смещение входного напряжения *Input offset voltage* =  $-1\text{mV}$ . Это смещение компенсирует «уход нуля» ОУ в интеграторе. Для других типов ОУ тре-

буется подбор напряжения смещения. В режиме *Transient* исследовать выходной сигнал VF1. Пояснить форму графиков.

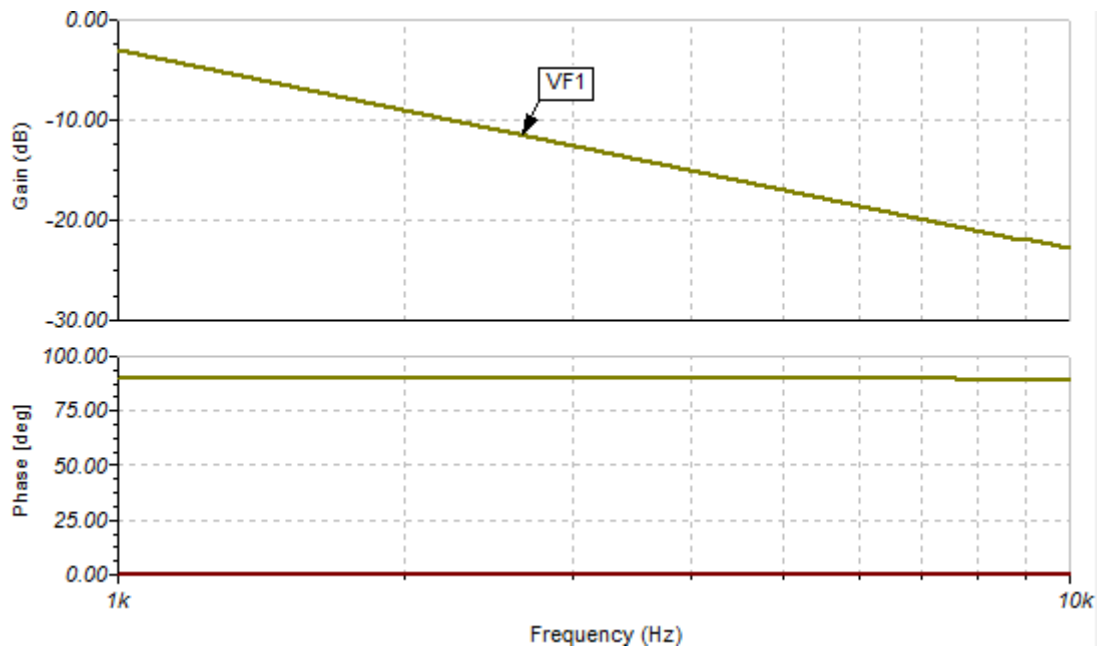


Рис. 12.29. Частотные характеристики интегрирующего звена в логарифмическом масштабе

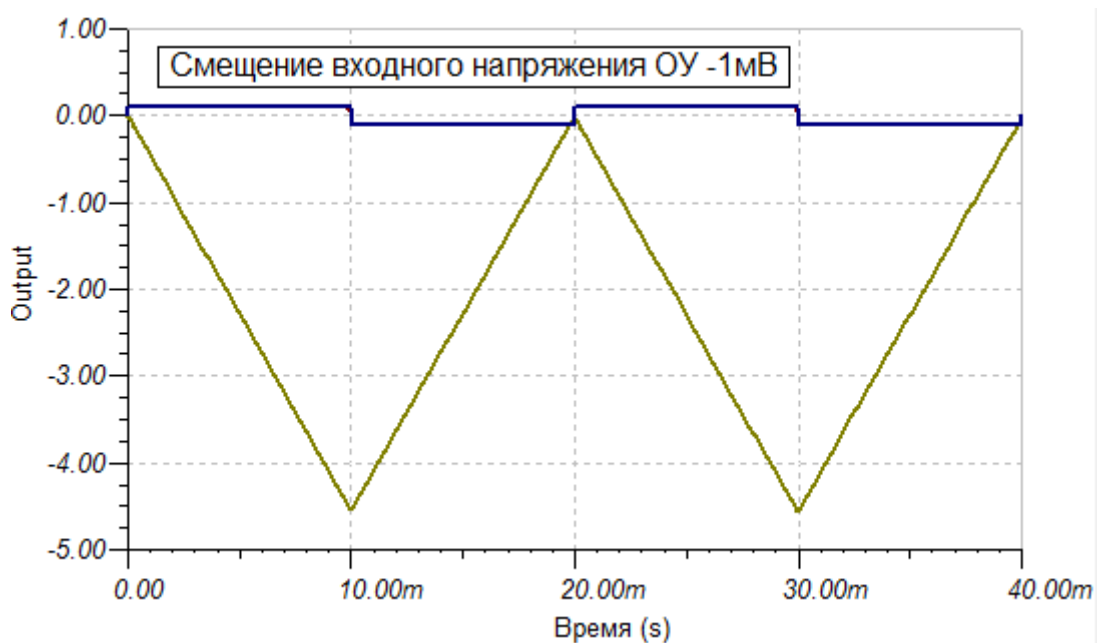


Рис. 12.30. Выходной сигнал интегратора

Наблюдать графики выходного напряжения на осциллографе, установив длительность развертки 10 мс.

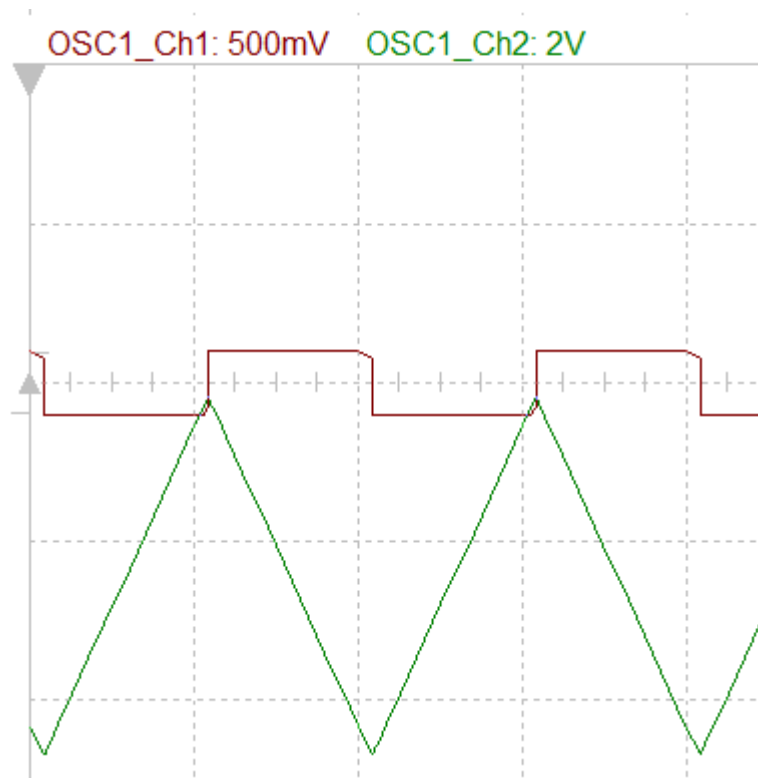


Рис. 12.31. Осциллограммы выходного сигнала интегратора

12. Собрать схему активного фильтра нижних частот первого порядка (рис. 12.32).

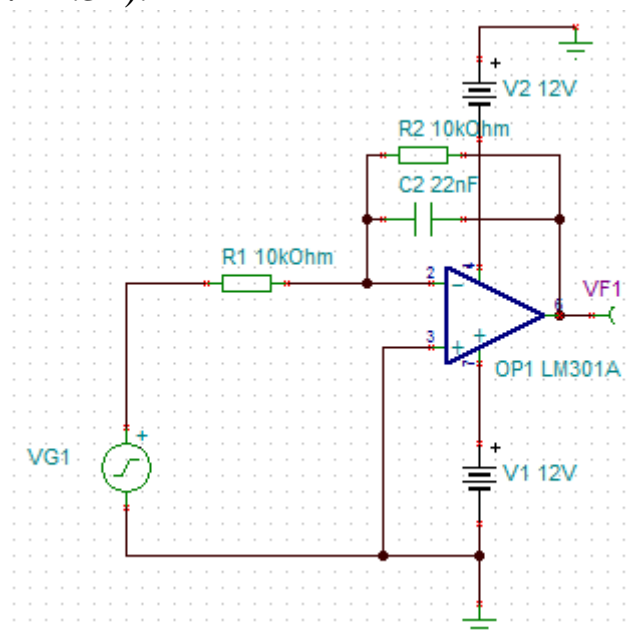


Рис. 12.32. Активный ФНЧ первого порядка

Провести анализ *Analysis-AC Analysis- AC Transfer Characteristic* в диапазоне от 10 Гц до 10 кГц.



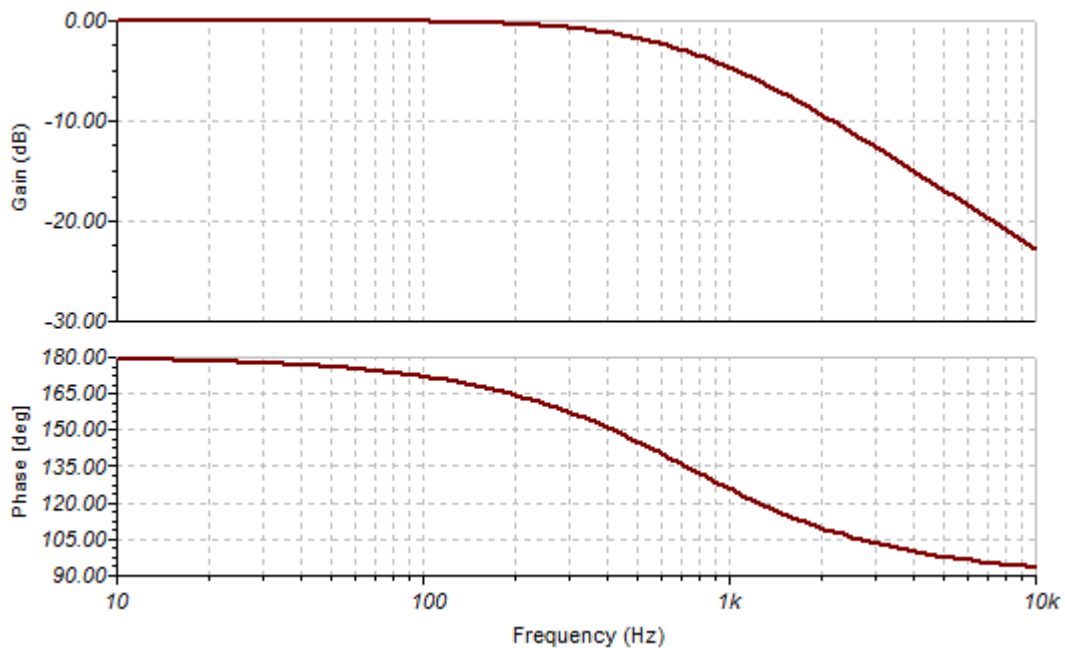


Рис. 12.33. Частотные характеристики активного ФНЧ первого порядка

13. Установить в генераторе VG1 сигнал прямоугольной формы с амплитудой 100 мВ и частотой 50 Гц. В режиме *Transient* исследовать выходной сигнал VF1. Пояснить форму графиков.

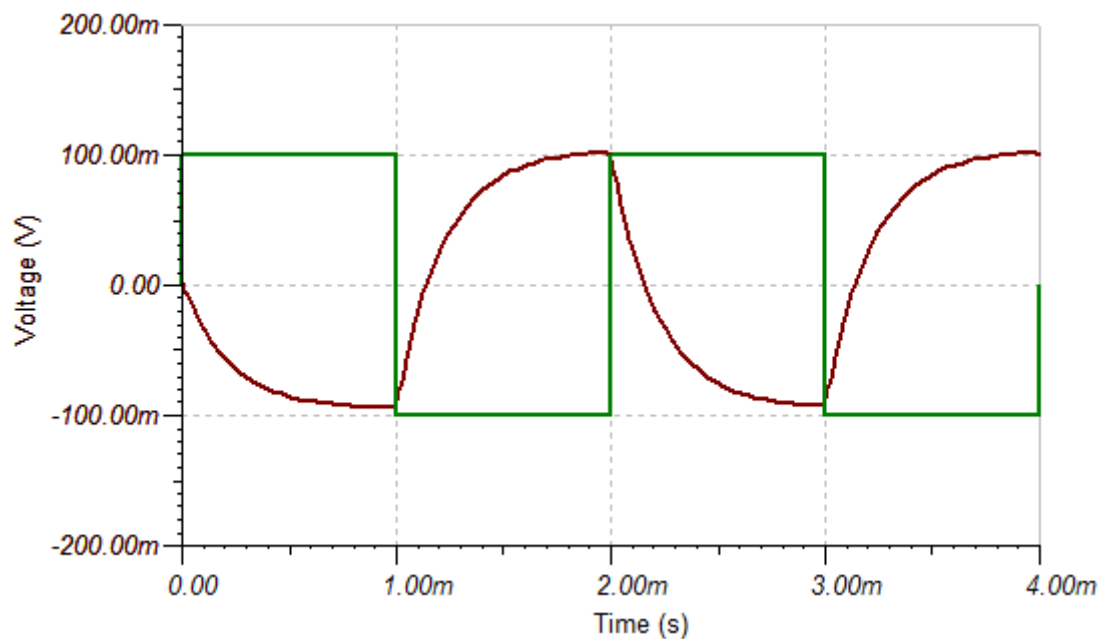


Рис. 12.34. Прохождение прямоугольных импульсов через активный ФНЧ первого порядка

14. Собрать схему активного фильтра высоких частот (рис. 12.35).

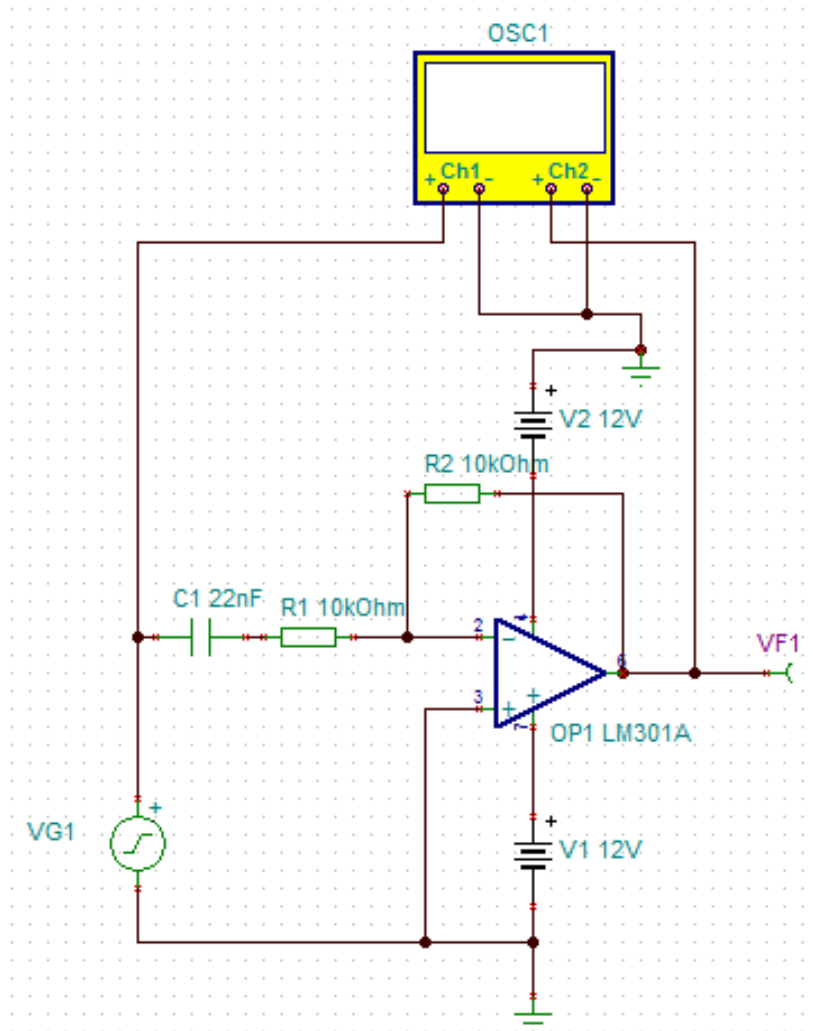


Рис. 12.35. Активный ФВЧ первого порядка

Исследовать частотные характеристики активного ФВЧ и пояснить их форму.

15. Установить в генераторе VG1 сигнал прямоугольной формы с амплитудой 100 мВ и частотой 50 Гц. В режиме *Transient* исследовать выходной сигнал VF1. Пояснить форму графиков.

16. Собрать схему фазовращателя (рис. 12.38). Исследовать частотные характеристики. Убедиться в том, что АЧХ фазовращателя постоянна и равна 1, а ФЧХ изменяется от  $0^\circ$  до  $-180^\circ$ .

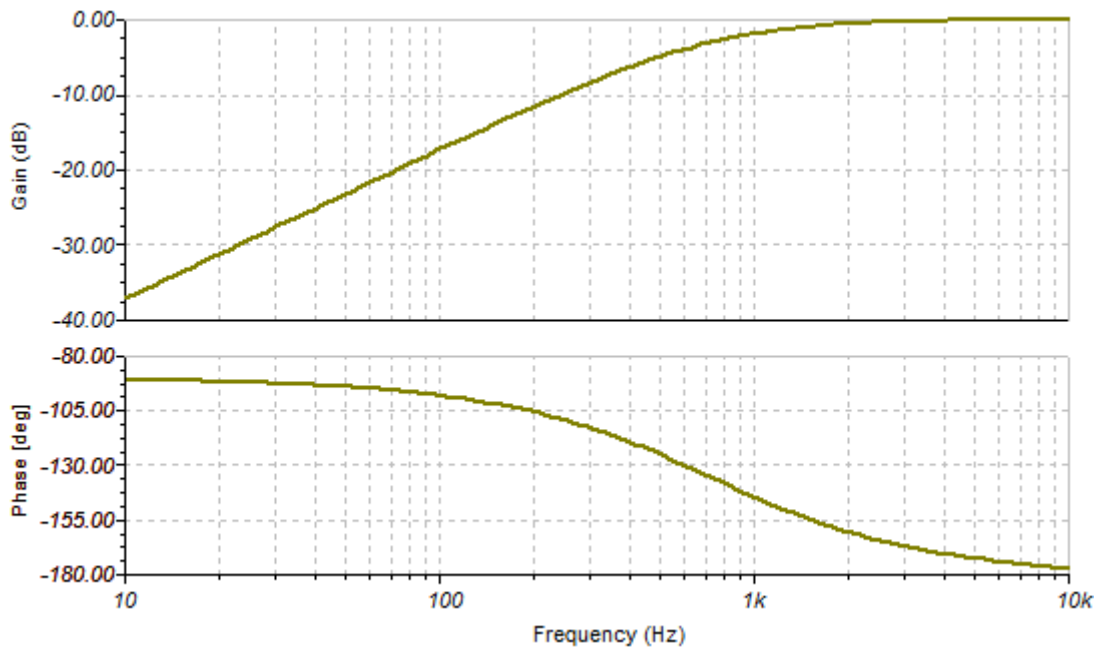


Рис. 12.36. Частотные характеристики активного ФВЧ

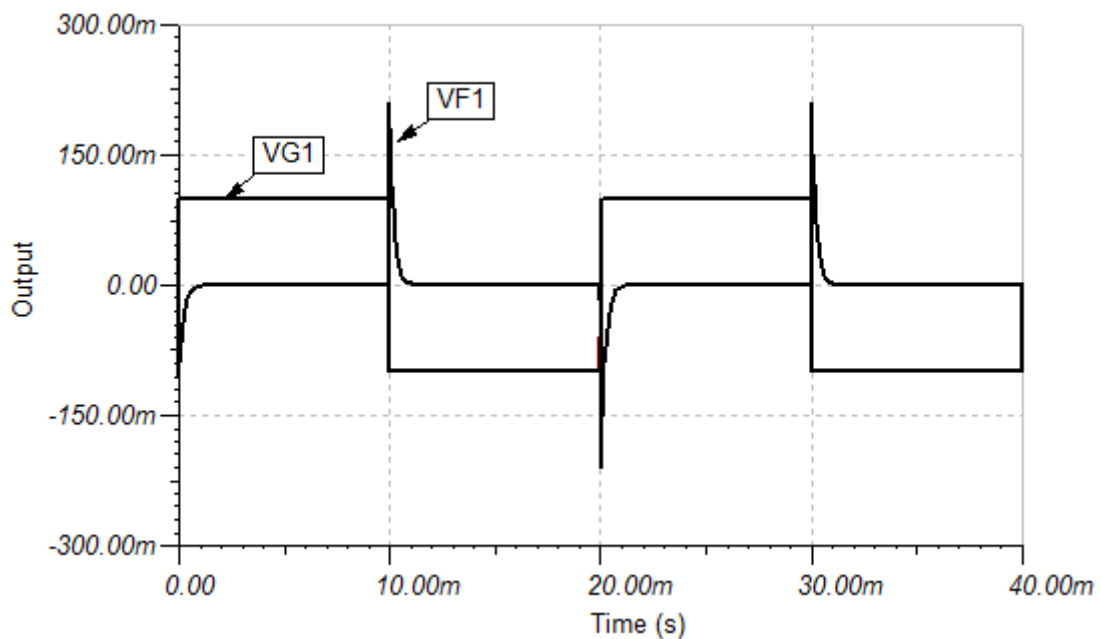


Рис. 12.37. Прохождение прямоугольных импульсов через активный ФВЧ первого порядка

17. Собрать схему генератору Вина рис. 12.40. Установить значения источников напряжений, показанные на схеме. Для значений установки переменного резистора *Setting*, равных 50%, 60%, 70%, 80%, провести *Analysis – Transient*. Зарисовать и объяснить диаграммы выходного напряжения.

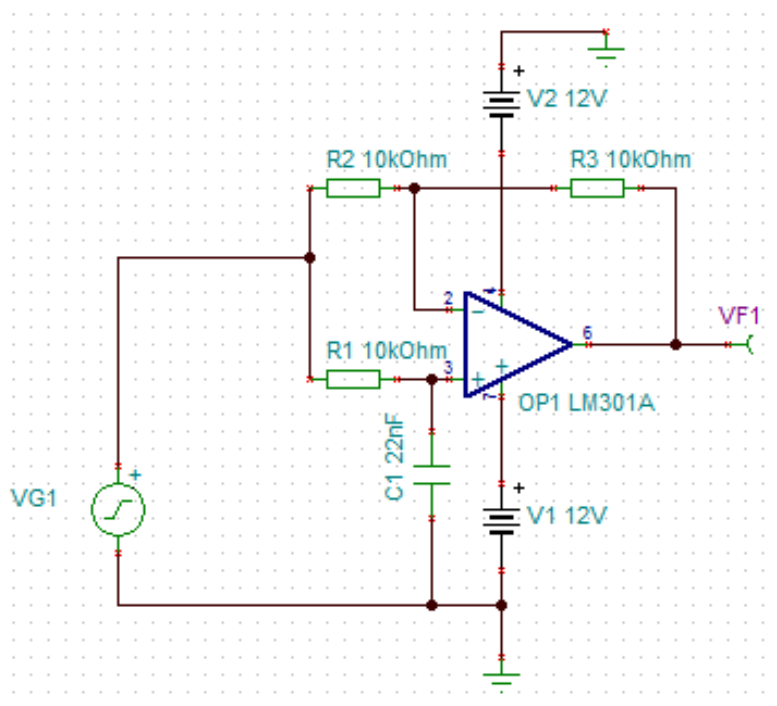


Рис. 12.38. Фазовращатель

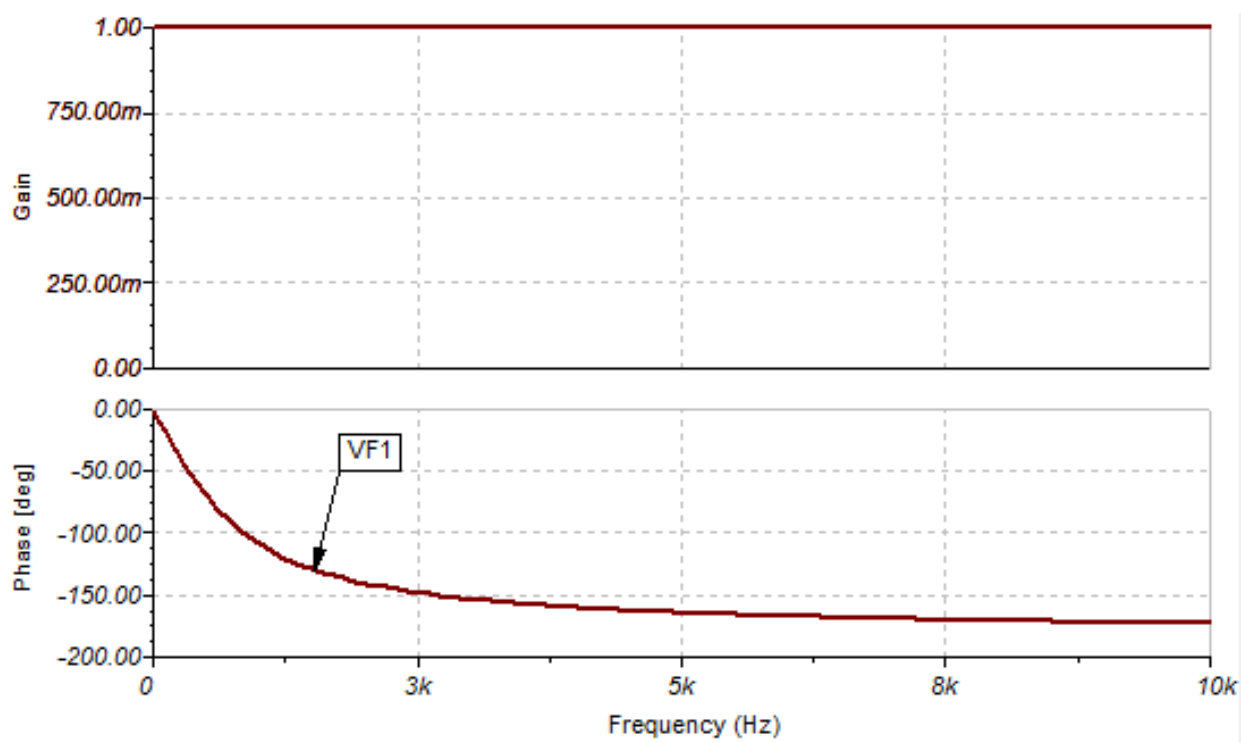


Рис. 12.39. Частотные характеристики фазовращателя

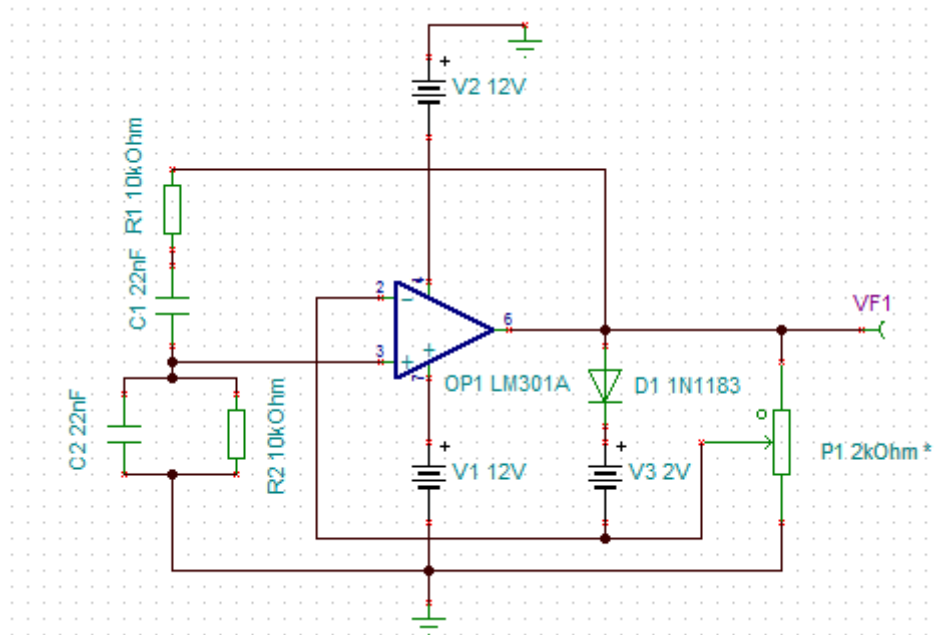


Рис. 12.40. Генератор Вина

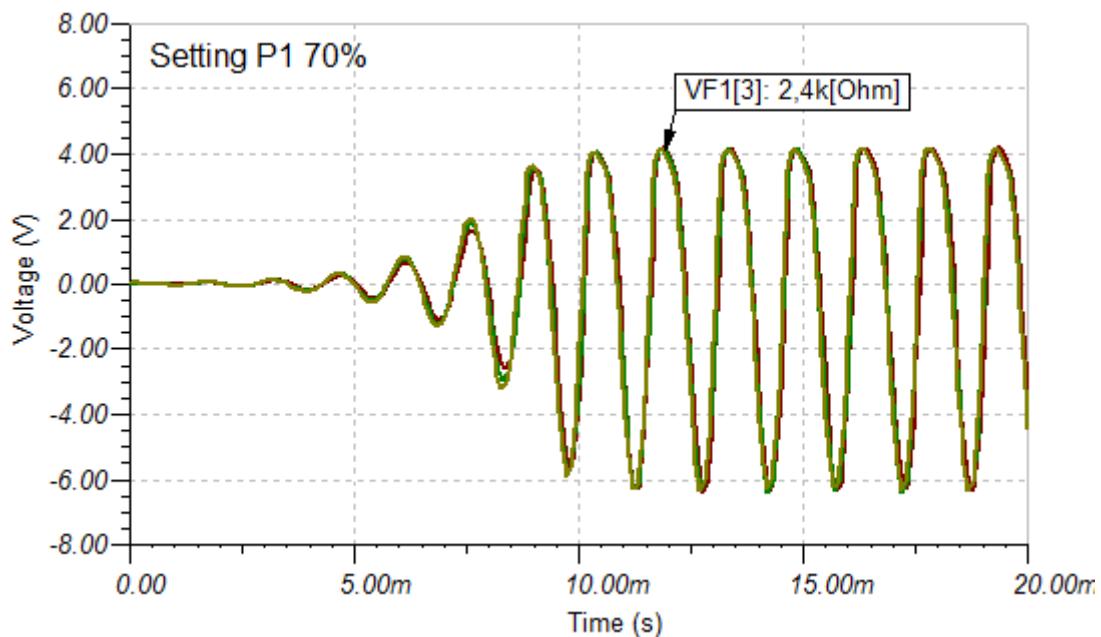


Рис. 12.41. Колебания в генераторе Вина

18. Собрать схему ФНЧ второго порядка (рис. 12.42). Провести *Analysis-AC Analysis- AC Transfer Characteristic* в диапазоне от 10 Гц до 10 кГц. Объяснить вид АЧХ и ФЧХ (рис. 12.43). Сравнить частотные характеристики ФНЧ первого и второго порядка.

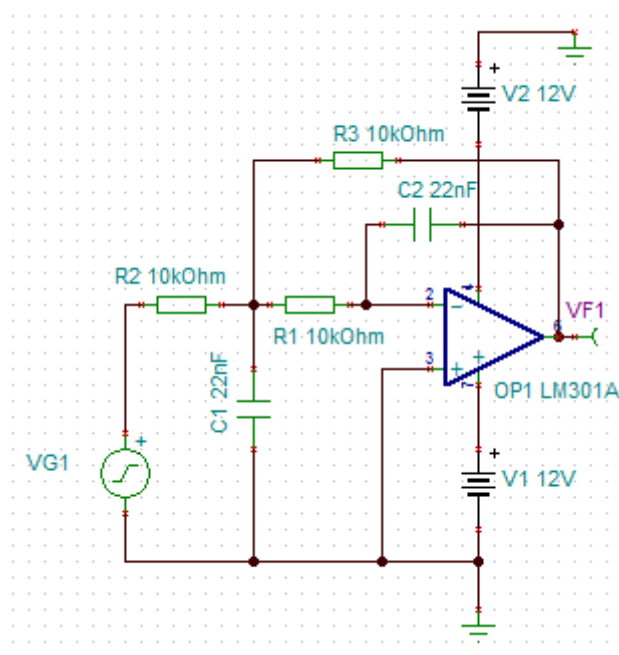


Рис. 12.42. Активный ФНЧ второго порядка

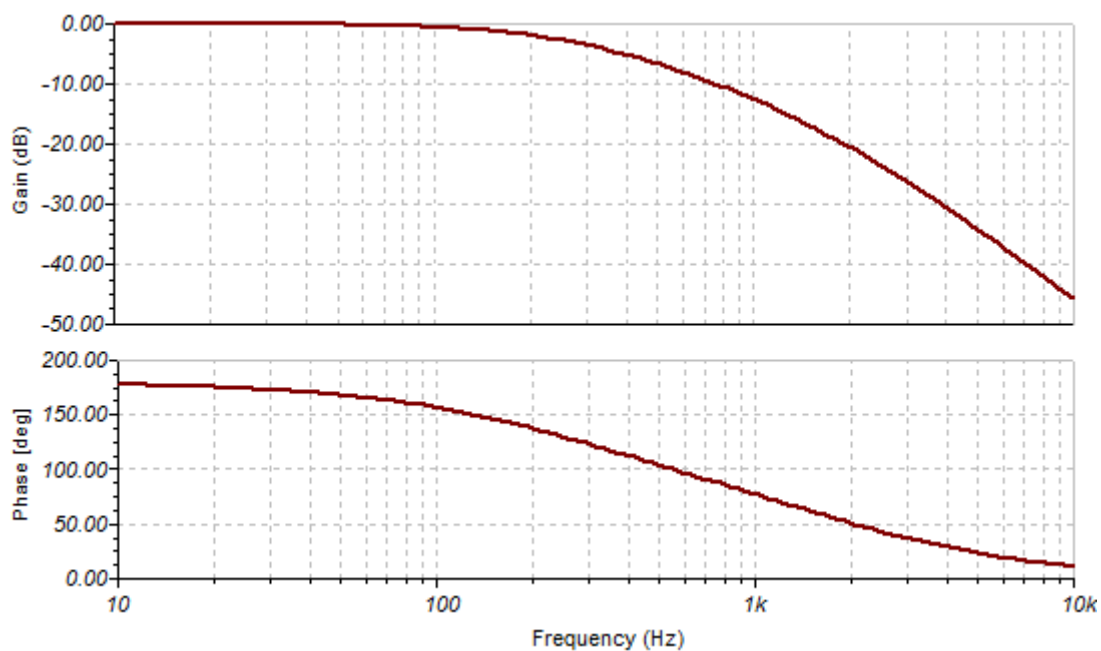


Рис. 12.43. АЧХ и ФЧХ активного ФНЧ второго порядка

19. Собрать схему ФВЧ второго порядка (рис. 12.44). Провести *Analysis-AC Analysis- AC Transfer Characteristic* в диапазоне от 10 Гц до 10 кГц. Объяснить вид АЧХ и ФЧХ (рис. 12.45). Сравнить частотные характеристики ФВЧ первого и второго порядка.

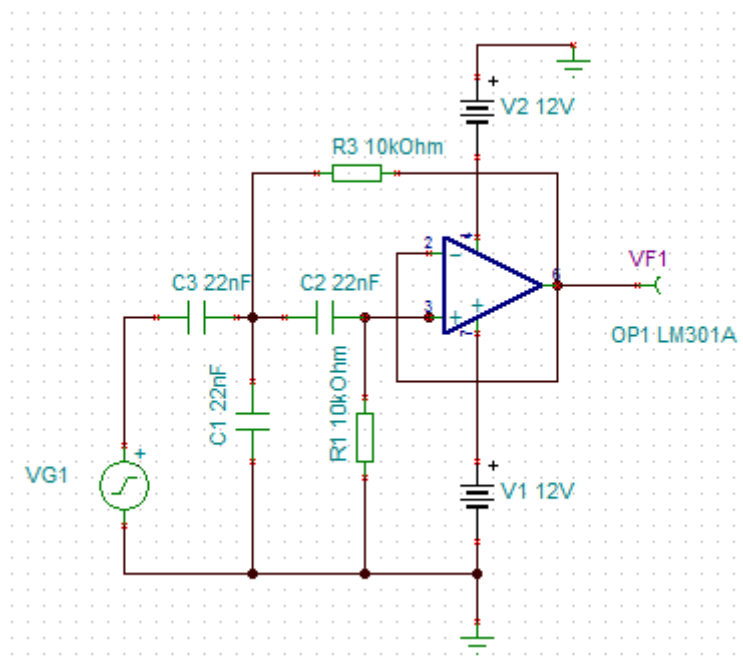


Рис. 12.44. Активный ФВЧ второго порядка

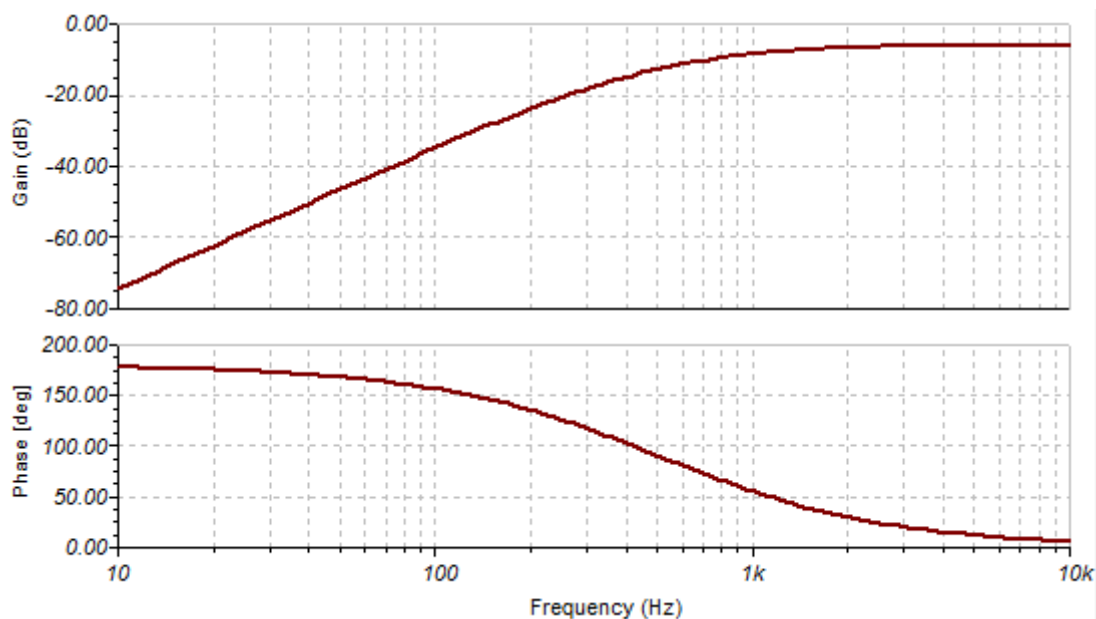


Рис. 12.45. АЧХ и ФЧХ активного ФВЧ второго порядка

### Домашнее задание

1. По экспериментальным данным построить амплитудно-частотные характеристики инвертирующего ОУ и неинвертирующего ОУ и определить полосу пропускания при слабом сигнале по уровню 3 дБ.

2. Рассчитать предельную полосу усиления гармонического сигнала с амплитудой 200 мВ для ОУ со скоростью нарастания 50 мВ/мкс.

3. Для неинвертирующего ОУ с сопротивлением  $R_{15}=10$  кОм рассчитать сопротивление  $R_{14}$ , при котором усиление составит 3.

4. Все входы инвертирующего сумматора (рис. 12.4) объединены и подключены к напряжению 1 В. Рассчитать выходное напряжение ОУ.

5. Для вычитающего ОУ найти соотношения сопротивлений, при которых выходной сигнал будет равен:  $U_{вых} = \frac{1}{2}U_2 - 2U_1$ .

6. Вывести теоретические выражения для комплексных коэффициентов передачи, амплитудно-частотных и фазочастотных характеристик звеньев рис. 12.5 - 12.9.

7. Рассчитать и построить теоретические АЧХ и ФЧХ звеньев рис. 12.6 - 12.9.

8. Построить экспериментальные графики АЧХ и ФЧХ звеньев рис. 12.6 - 12.9 и сравнить с соответствующими теоретическими зависимостями.

9. Для активных фильтров второго порядка по экспериментальным АЧХ найти частоту среза.

10. По формулам АЧХ определить, какие элементы определяют частоту среза активных ФНЧ и ФВЧ второго порядка.

11. По формулам АЧХ определить, какие элементы определяют резонансную частоту и добротность полосового и заграждающего активных фильтров второго порядка.

## **Глава 13. АВТОГЕНЕРАТОРЫ ГАРМОНИЧЕСКИХ КОЛЕБАНИЙ**

### **13.1. Теоретическое введение**

*Автогенератором называют устройство, которое преобразует энергию источника постоянного напряжения или тока в энергию гармонических колебаний. Автогенератор гармонических колебаний является нелинейным устройством с положительной*



обратной связью и содержит, как правило, колебательный контур. Обобщенная структурная схема автогенератора с внешней обратной связью показана на рис. 13.1. Она содержит усилитель с комплексным коэффициентом усиления  $\underline{K}(j\omega)$  и частотно-избирательную цепь положительной обратной связи с комплексным коэффициентом передачи  $\underline{\beta}(j\omega)$ .

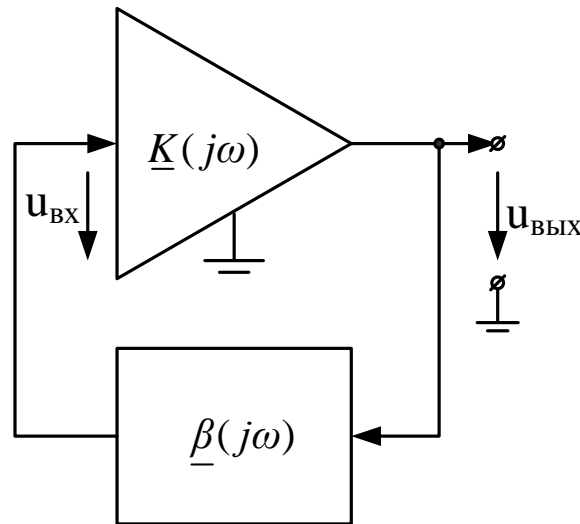


Рис. 13.1. Структурная схема автогенератора с обратной связью

Работу автогенератора можно разделить на два этапа: этап возбуждения колебаний и этап стационарного режима. На этапе возбуждения в автогенераторе вследствие начальных флуктуаций входного напряжения в усилителе и наличия частотно-зависимой положительной обратной связи возникают колебания и их амплитуда постепенно нарастает. По мере нарастания амплитуды уменьшается коэффициент усиления усилителя, амплитуда колебаний стабилизируется и автогенератор переходит в стационарный режим.

Рассмотрим условие возникновения колебаний. На входе усилителя (рис. 13.1) действует сигнал с комплексным действующим значением  $\underline{U}_{\text{вх}}$ . При этом на выходе усилителя будет сигнал  $\underline{U}_{\text{вых}} = \underline{U}_{\text{вх}} \cdot \underline{K}(j\omega)$ . С выхода усилителя колебания через цепь положительной обратной связи вновь поступают на вход усилителя, поэтому:

$$\underline{U}_{\text{вх}} = \underline{U}_{\text{вых}} \cdot \underline{\beta}(j\omega) \text{ и } \underline{U}_{\text{вых}}(1 - \underline{K}(j\omega) \cdot \underline{\beta}(j\omega)) = 0 \quad (13.1)$$

Из уравнения (13.1) следует, что напряжение на выходе усилителя  $\underline{U}_{вых}$  может быть отличным от нуля только при выполнении условия:

$$1 - \underline{K}(j\omega) \cdot \underline{\beta}(j\omega) = 0 \quad (13.2)$$

Отсюда получаем *условие возникновения колебаний*:

$$\underline{K}(j\omega) \cdot \underline{\beta}(j\omega) = 1, \quad (13.3)$$

где  $\underline{K}(j\omega) \cdot \underline{\beta}(j\omega)$  называют петлевым усилением усилителя с обратной связью.

Условие возникновения колебаний (13.3) распадается на два условия, которые называют условиями баланса амплитуд и фаз:

$$\begin{cases} |\underline{K}(j\omega) \cdot \underline{\beta}(j\omega)| = 1 \\ \arg(\underline{K}(j\omega) \cdot \underline{\beta}(j\omega)) = \phi_k + \phi_\beta = 2\pi n, \end{cases} \quad (13.4)$$

где  $n$  - любое целое число.

Первое условие (13.4) баланса амплитуд означает, что в стационарном режиме полное петлевое усиление на рабочей частоте автогенератора должно быть равно единице. В качестве элементов, регулирующих петлевое усиление, используют или пассивные нелинейные элементы (термисторы, варисторы и др.) или транзисторы в режиме регулируемого усиления.

Второе условие (13.4) баланса фаз означает, что полный фазовый сдвиг в замкнутом контуре автогенератора должен быть равен  $2\pi n$ , где  $n$  - любое целое число. Условие баланса фаз позволяет определить частоту генерируемых автоколебаний. Если условие баланса фаз выполняется только на одной частоте, то колебания будут гармоническими.

Наиболее распространенными автогенераторами гармонических колебаний являются генераторы, в которых цепь положительной обратной связи выполнена на последовательных или параллельных резонансных контурах. Применяют автогенераторы с трансформаторной обратной связью, трехточечные генераторы с индуктивной и емкостной обратной связью. В данной работе исследуется автогенератор на полевом транзисторе с резонансным контуром в цепи стока и трансформаторной обратной связью.

Упрощенная схема генератора на полевом транзисторе и его схема замещения показаны на рис. 13.2.

Режим работы схемы автогенератора по постоянному току устанавливается с помощью источника питания стока  $E_c$  и источника смещения затвора  $E_3$ . В схеме использован параллельный колебательный контур  $L_k C_k$ . Сопротивление потерь  $R_k$  учитывает потери на элементах контура в индуктивности и емкости. Усилитель генератора выполнен на полевом транзисторе с индуцированным каналом  $n$ -типа. Положительная обратная связь в цепь затвора осуществляется через обмотку связи  $L_c$ , индуктивно связанную с катушкой  $L_k$  контура. При этом важное значение имеет правильное включение катушки связи, которая должна обеспечивать поворот фазы примерно на  $\pi$  и выполнение условия баланса фаз. Схема замещения автогенератора (рис. 13.2б) составлена для малого переменного сигнала и источники постоянного питания и смещения в ней не учитываются.

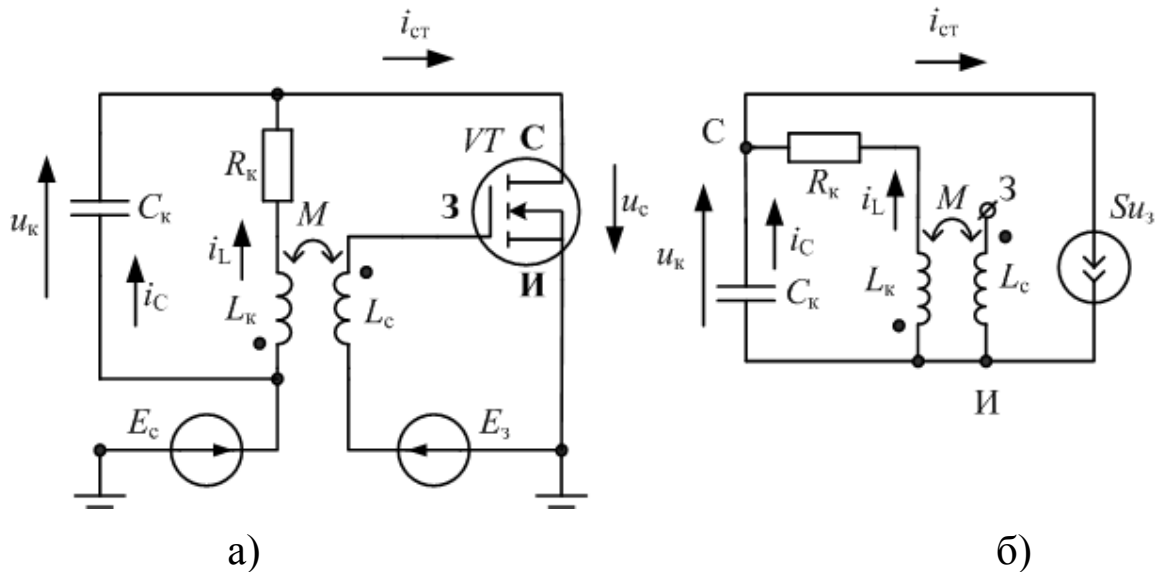


Рис. 13.2. Схема автогенератора на полевом транзисторе (а) и его схема замещения (б)

По схеме замещения (рис. 13.2б) составим основные уравнения автогенератора:

$$i_{ct} = Su_3, \quad u_3 = M \frac{di_L}{dt}, \quad i_{ct} = SM \frac{di_L}{dt},$$

где  $i_{\text{ст}}$  - ток стока,  $S$  - крутизна полевого транзистора,  $u_3$  - напряжение на затворе,  $M$  – взаимная индуктивность.

Далее выразим:

напряжение на конденсаторе контура  $u_c = R_k i_L + L_k \frac{di_L}{dt}$ ,

ток в конденсаторе  $i_C = C_k \frac{du_C}{dt} = R_k C_k \frac{di_L}{dt} + L_k C_k \frac{d^2 i_L}{dt^2}$ ,

ток стока  $i_{\text{ст}} = i_L + i_C = i_L + R_k C_k \frac{di_L}{dt} + L_k C_k \frac{d^2 i_L}{dt^2} = SM \frac{di_L}{dt}$ .

Преобразуем последнее уравнение к виду:

$$\frac{d^2 i_L}{dt^2} + \left( \frac{R_k}{L_k} - \frac{SM}{L_k C_k} \right) \frac{di_L}{dt} + \frac{1}{L_k C_k} i_L = 0 \quad (13.5)$$

Введем обозначения:  $\omega_0 = \frac{1}{\sqrt{L_k C_k}}$  - резонансная частота контура без потерь;  $\alpha = \frac{1}{2} \left( \frac{R_k}{L_k} - \frac{SM}{L_k C_k} \right)$  - коэффициент затухания контура.

Преобразуем уравнение (13.5) к виду:

$$\frac{d^2 i_L}{dt^2} + 2\alpha \frac{di_L}{dt} + \omega_0^2 i_L = 0. \quad (13.6)$$

Решение уравнения (13.6) имеет вид:

$$i_L = I_{mL} e^{-\alpha t} \sin \omega t, \quad (13.7)$$

где  $\omega = \sqrt{\omega_0^2 - \alpha^2}$  - частота колебаний в контуре.

Из уравнения (13.7) следует, что если  $\alpha > 0$  колебания в контуре затухают, если  $\alpha < 0$  - нарастают. При  $\alpha = 0$  в контуре устанавливается режим стационарных колебаний, определяемый формулой:  $i_{L\text{уст}} = I_{mL} \sin \omega t$ .

Таким образом, условие возбуждения колебаний в контуре можно записать в виде:

$$S > \frac{R_k C_k}{M} = S_{кр} \quad (13.8)$$

Значение коэффициента затухания можно записать в виде:

$$\alpha = \frac{1}{2L_k} \left( R_k - \frac{SM}{C_k} \right) = \frac{1}{2L_k} R_k - R_{вн} \quad (13.9)$$

где  $R_{вн} = \frac{SM}{C_k}$  - отрицательное вносимое сопротивление.

Таким образом, положительная обратная связь приводит к созданию отрицательного вносимого сопротивления, которое может компенсировать сопротивление потерь контура и создавать незатухающие колебания. Регулировать отрицательное вносимое сопротивление можно изменением магнитной связи  $M$  и изменением крутизны полевого транзистора путем изменения напряжения на затворе полевого транзистора  $E_3$ . При увеличении напряжения на затворе крутизна  $S$  уменьшается.

В стационарном режиме работы автогенератора установление амплитуды колебаний происходит за счет изменения крутизны транзистора с ростом амплитуды колебаний. Приближенная зависимость крутизны от напряжения колебаний на затворе транзистора имеет вид:

$$S(u_3) = S_0 - bu_3^2, \quad (13.10)$$

где  $S_0$  - крутизна при нулевом напряжении на затворе.

График изменения крутизны по приближенной формуле (13.10) показан на рис. 13.3 сплошной линией. С ростом напряжения колебаний на затворе крутизна снижается до значения  $S_{раб}$ , которое определяет напряжение колебаний на затворе в стационарном режиме:

$u_{3.уст.} = \sqrt{\frac{S_0 - S_{раб}}{b}}$ . Напряжение на контуре

найдем с учетом коэффициента трансформации  $n = \frac{L_k}{M}$ :

$$u_k \approx \frac{L_k}{M} u_{3.уст.} \quad (13.11)$$

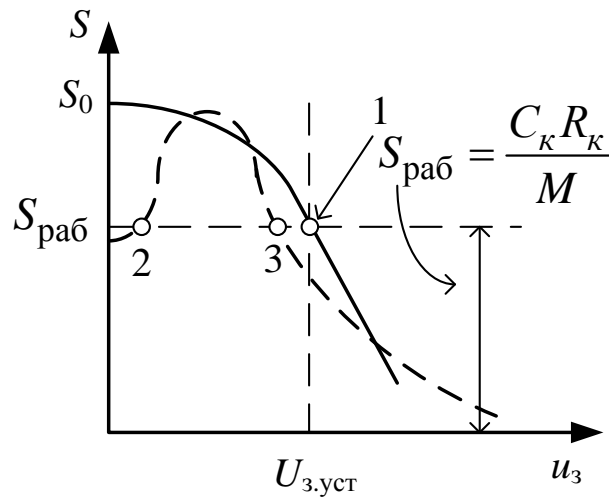


Рис. 13.3. Зависимость крутизны от напряжения колебаний на затворе транзистора

В автогенераторе происходит мягкий режим возбуждения с плавным увеличением амплитуды колебаний и с одним устойчивым состоянием в точке 1.

Если крутизна транзистора изменяется немонотонно (пунктирная кривая на рис. 13.3), происходит жесткий режим возбуждения, выходные колебания возникают резко, скачком и соответствуют устойчивой точке 3. Точка 2 является неустойчивой.

#### Расчет автогенератора в Mathcad

Подставим в уравнение (13.10)  $u_3 = M \frac{di_L}{dt}$ . Тогда получим:

$$S(u_3) = S_0 - bM^2 \left( \frac{di_L}{dt} \right)^2 \quad (13.12)$$

В уравнении (13.5) обозначим:

$$y_1 = i_L(t), \quad \frac{dy_1}{dt} = y_2 \quad (13.13)$$

Запишем уравнение (13.10) в виде уравнений состояния:

$$\begin{aligned} \frac{dy_1}{dt} &= y_2 \\ \frac{dy_2}{dt} &= \omega_0^2 \left[ \left[ S_0 - bM^2 (y_2)^2 \right] M y_2 - R_k C_k y_2 - y_1 \right] \end{aligned} \quad (13.14)$$

Нелинейные дифференциальные уравнения (13.14) решаются в Mathcad с использованием функции  $\text{rkfixed}(y, x1, x2, m, F)$ , которая реализует метод Рунге-Кутты четвертого порядка. Аргументами функции являются:  $y$  – вектор начальных условий размерности  $n$  ( $n$  – порядок дифференциального уравнения);  $x1$  и  $x2$  – граничные точки интервала, на котором ищется решение дифференциального уравнения (начальные условия, заданные в векторе  $y$  соответствуют значению решения в точке  $x1$ );  $m$  – число точек, в которых ищется приближенное решение;  $F$  – вектор, которым заданы производные дифференциального уравнения.

### Программа расчета

ORIGIN := 1

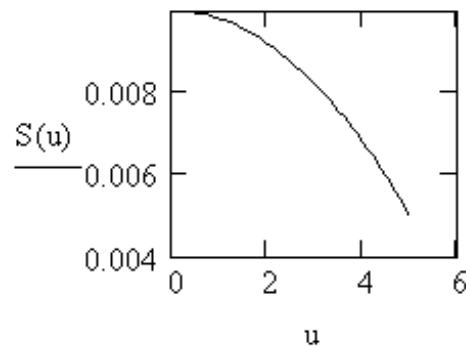
$L := 10^{-2}$      $C := 68 \cdot 10^{-9}$      $R := 10$      $M := 5 \times 10^{-4}$

$\omega := \frac{1}{\sqrt{L \cdot C}}$      $\omega = 3.835 \times 10^4$

$T := \frac{2 \cdot \pi}{\omega}$      $T = 1.638 \times 10^{-4}$

$SO := 10^{-2}$      $b := 2 \cdot 10^{-4}$      $u := 0, 0.1 \dots 5$      $S(u) := SO - b \cdot u^2$

График крутизны транзистора

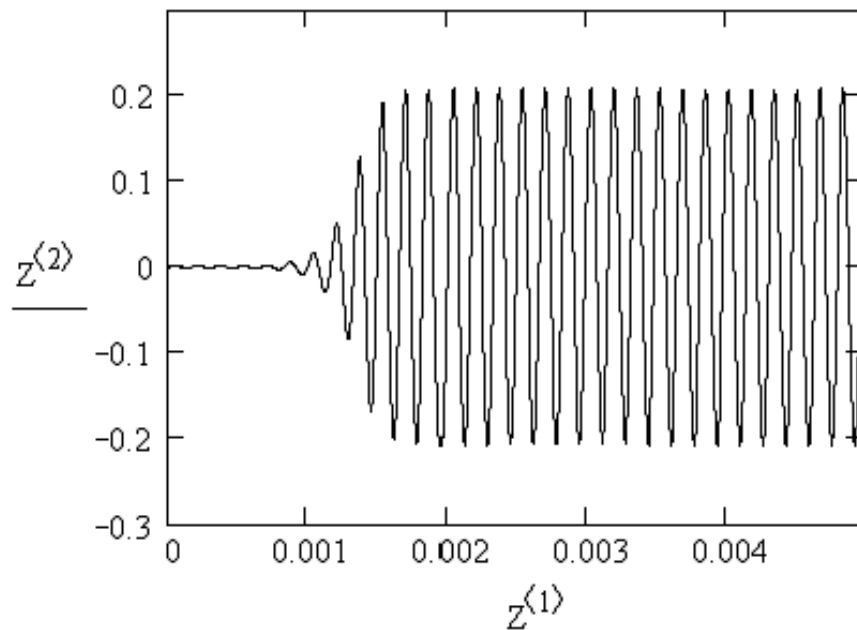


$y := \begin{pmatrix} 0 \\ 0.5 \end{pmatrix}$

$F(t, y) := \begin{bmatrix} y_2 \\ \omega^2 \cdot \left[ \left[ SO - b \cdot M^2 \cdot (y_2)^2 \right] \cdot M \cdot y_2 - R \cdot C \cdot y_2 - y_1 \right] \end{bmatrix}$

$Z := \text{rkfixed}(y, 0, 5 \cdot 10^{-3}, 1001, F)$

## График тока в индуктивности



## Фазовый портрет

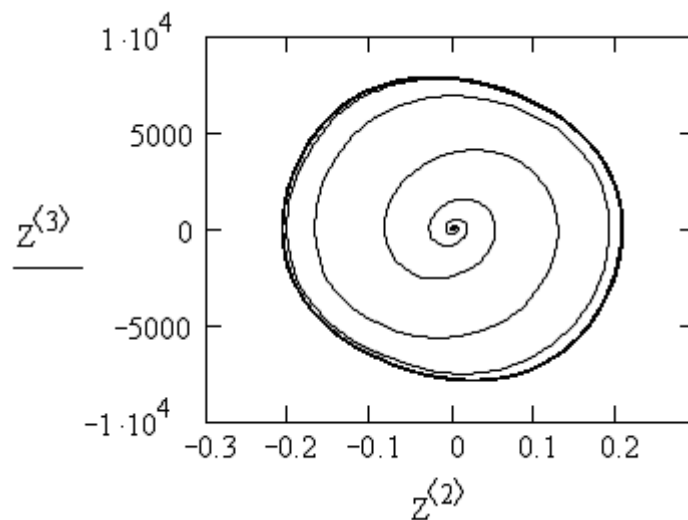


Рис. 13.4. График и фазовый портрет возникновения колебаний

В результате расчетов в Mathcad получен график тока в индуктивности  $i_L(t) = Z^{(2)}$ , показывающий процесс возникновения колебаний и переход в установившийся режим с амплитудой тока в индуктивности контура 0,2 А. По оси абсцисс отложено время  $t = Z^{(1)}$ . На фазовом портрете по оси абсцисс отложен ток в индуктивности  $i_L(t) = Z^{(2)}$ , а по оси ординат отложена произ-



водная тока  $\frac{di_L}{dt} = Z^{<3>}$ . В исследованном автогенераторе наблюдается мягкий режим самовозбуждения, фазовый портрет имеет вид раскручивающейся спирали с устойчивым предельным циклом.

### **13.2. Вопросы для самопроверки и подготовки к лабораторной работе**

1. Определение и назначение автогенераторов гармонических колебаний.
2. Обобщенная схема и принцип функционирования автогенератора с обратной связью.
3. Что такое петлевое усиление?
4. Какие условия должны выполняться для возникновения колебаний в автогенераторе?
5. Что означает баланс амплитуд и баланс фаз в автогенераторе?
6. Нарисуйте схемы автогенераторов с колебательными контурами.
7. Объясните работу автогенератора с резонансным контуром и трансформаторной обратной связью.
8. При каком значении крутизны полевого транзистора в автогенераторе возникают колебания?
9. Как найти отрицательное вносимое сопротивление в автогенераторе на полевом транзисторе с трансформаторной обратной связью?
10. Что такое мягкий и жесткий режим возбуждения колебаний?
11. Что такое фазовый портрет автоколебаний?

### **13.3. Лабораторная работа №13**

#### **Исследование автогенератора гармонических колебаний**

**Цель работы.** Исследование условий возникновения колебаний и режимов генерации в автогенераторе на полевом транзисторе с трансформаторной связью.

## Лабораторное задание

1. Собрать схему компьютерного моделирования рис. 13.5. В модели автогенератора использован полевой транзистор с управляющим  $p$ - $n$ -переходом и каналом  $n$ -типа. Выбирать надо такие транзисторы, у которых напряжение отсечки (*Threshold voltage*) между затвором и истоком составляет от -6 до -4В. К таким транзисторам в библиотеке программы TINA-8 относятся, например, 2N3970, 2N4091, 2N4391, 2N4392, 2N4856, 2N4859, 2N4861. Индуктивно связанные катушки M1 (*Coupled Inductors*) из меню *Basic* имеют индуктивности  $L_{1's}$  и  $L_{2's}$  по 10 мГн (могут быть заданы преподавателем). Взаимную индуктивность  $M$  установить равной 1 мГн (рис. 13.6). Резисторы  $R_2$  и  $R_3$  моделируют потери в катушках. Индуктивность  $L_2$  и емкость  $C_2$  образуют параллельный колебательный контур. Источник напряжения  $E_1$  (VS1) создает отрицательное смещение на затворе транзистора. Источник напряжения  $E_2$  (VS2) создает напряжение питания стока. Первый канал осциллографа измеряет напряжение на затворе транзистора, второй канал измеряет напряжение на стоке.

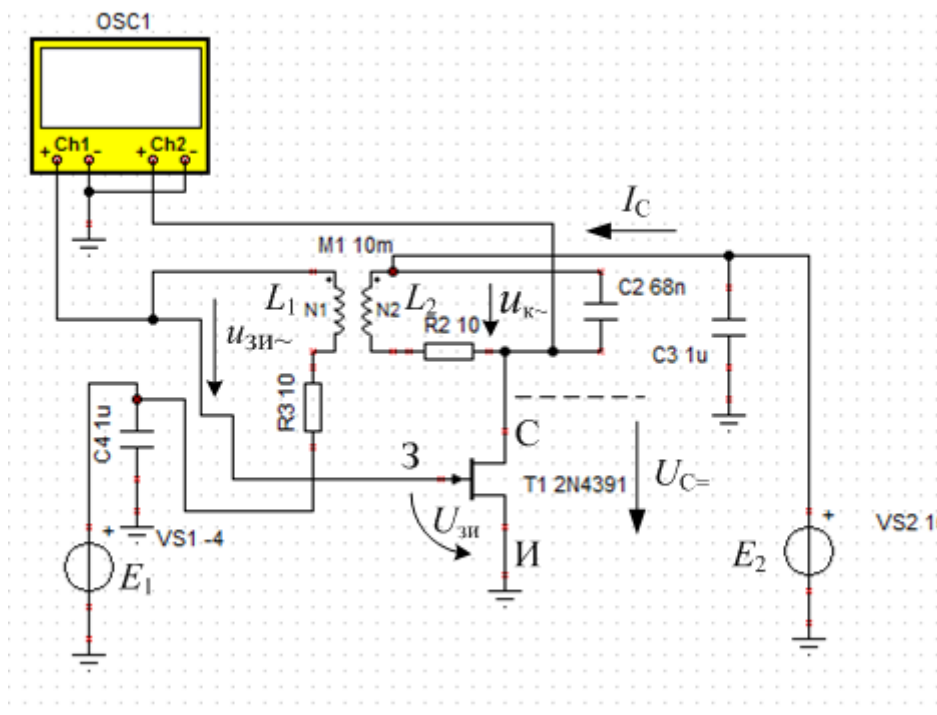


Рис. 13.5. Схема моделирования автогенератора

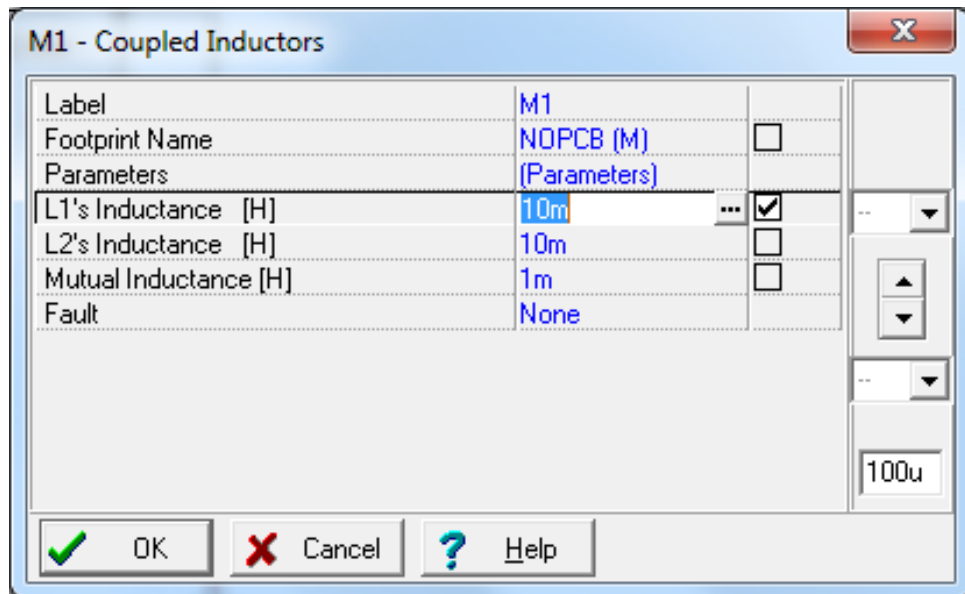


Рис. 13.6. Окно установки параметров катушек

2. Рассчитать резонансную частоту колебательного контура генератора по формуле:  $f_0 = \frac{1}{2\pi\sqrt{L_2 C_2}}$ .

3. Открыть лицевую панель осциллографа в меню T&M. Установить в осциллографе длительность развертки 50 мкс/дел, усиление по каналу 1 – 500 мВ/дел, усиление по каналу 2 – 5 В/дел. Включить два канала по входу переменного сигнала AC.

Исследование зависимости параметров автогенератора от напряжения затвор исток

В таблице параметров транзистора определить напряжение отсечки (*Threshold voltage*) и установить напряжение на затворе  $U_{зи} = U_{отс}$ . Включить осциллограф в режим *Run* и убедиться в отсутствии колебаний. Установить напряжение на затворе  $U_{зи} = U_{отс} + 0,5V$  и наблюдать осциллограммы колебаний.

4. Измерить осциллографом  $u_{к\sim}, u_{зи}$ . С помощью маркета измерить период колебаний  $T$ . Ток  $I_c$  и  $U_{зи}$  измерить в режиме *Analysis – DC Analysis-Table of DC results*. Записать эти измерения в таблицу 13.1. Рассчитать частоту колебаний  $f$  и записать в таблицу 13.1.

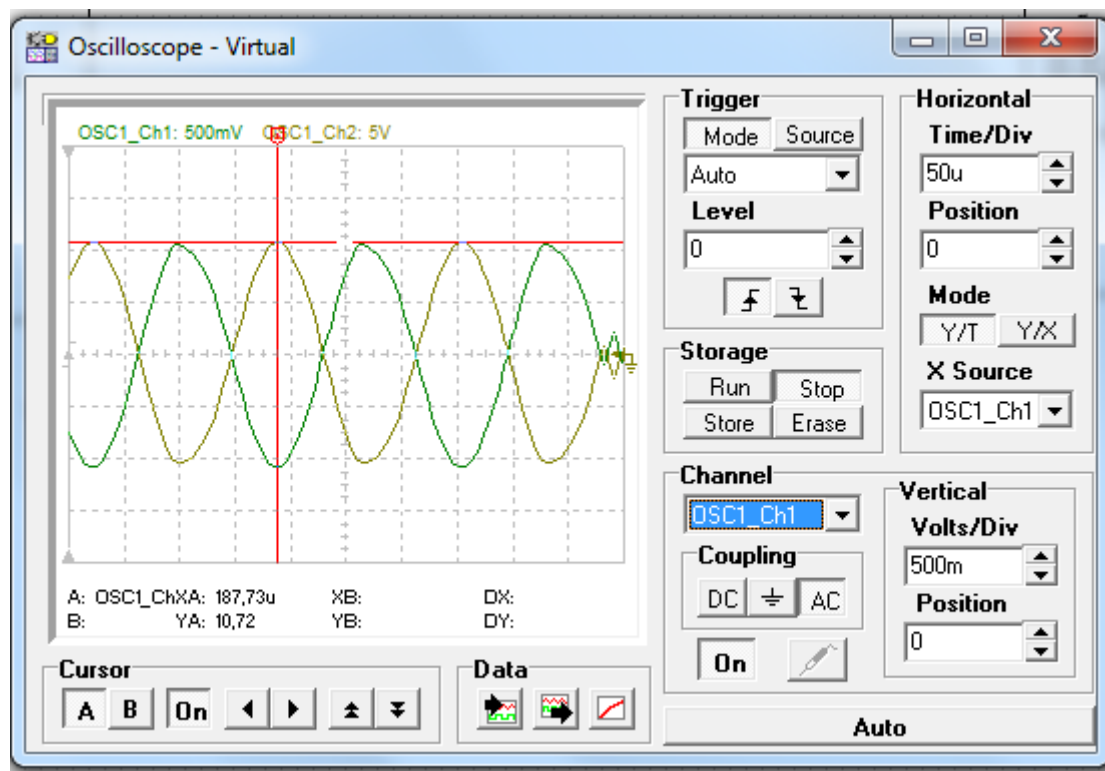


Рис. 13.7. Установка режимов осциллографа  
Используя *Exprot curves* в меню *Data* осциллографа, зарегистрировать графики колебаний (рис. 13.8).

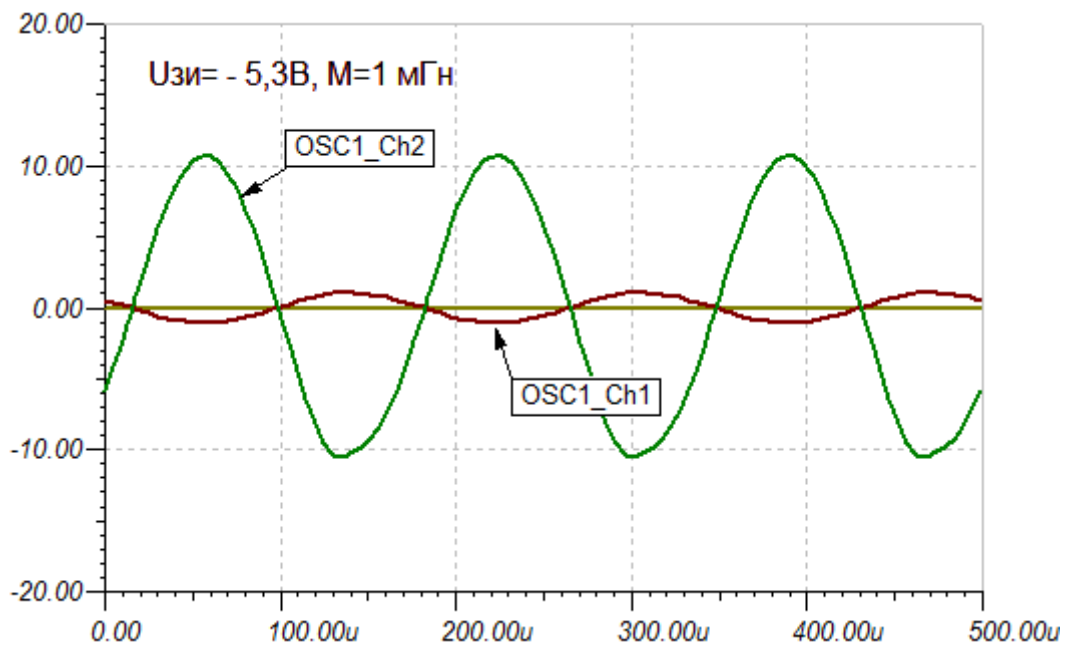


Рис. 13.8. Графики колебаний при  $U_{зи} = - 5,3В$ ,  $M=1 мГн$

Таблица 13.1

 $E_1=10\text{В}, L_1=L_2=10\text{мГн}, M=1\text{мГн}$ 

$U_{\text{зи}}, \text{В}$						
$u_{\text{к}}, \text{В}$						
$u_{\text{зи}}, \text{мВ}$						
$I_{\text{с}}, \text{мА}$						
$i_{\text{с}}, \text{мкА}$						
$t_{\text{уст}}, \text{мс}$						
$T, \text{мкс}$						
$f, \text{кГц}$						
$K\%$						
$\beta = u_{\text{зи}} / u_{\text{к}}$						
$M = \beta L_{\text{к}}$						
$S_{\text{раб.}} = C_{\text{к}} R'_{\text{к}} / M$						

5. Исследовать переходной процесс возникновения колебаний. Для этого выбрать режим *Analysis-Transient*, установить *Start display 0*, *End display 2 m*. Получить графики напряжений на затворе и на стоке автогенератора (рис. 13.9). Записать в таблицу 13.1 время установления колебаний ( $t_{\text{уст}}$ ) до уровня  $0,9 U_{\text{мах}}$ .

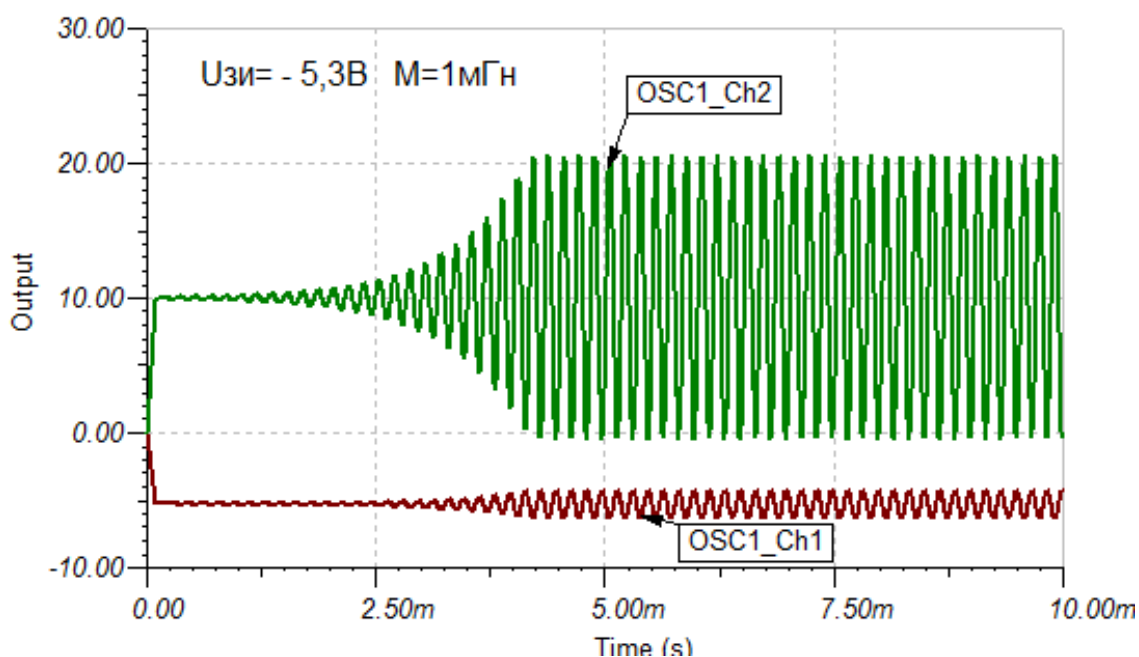


Рис. 13.9. Графики возникновения колебаний

6. Исследовать установившийся процесс колебаний. В режиме *Analysis-Transient*, установить *Start display 10m*, *End display 15m*. Зарегистрировать графики колебаний (рис. 13.10).

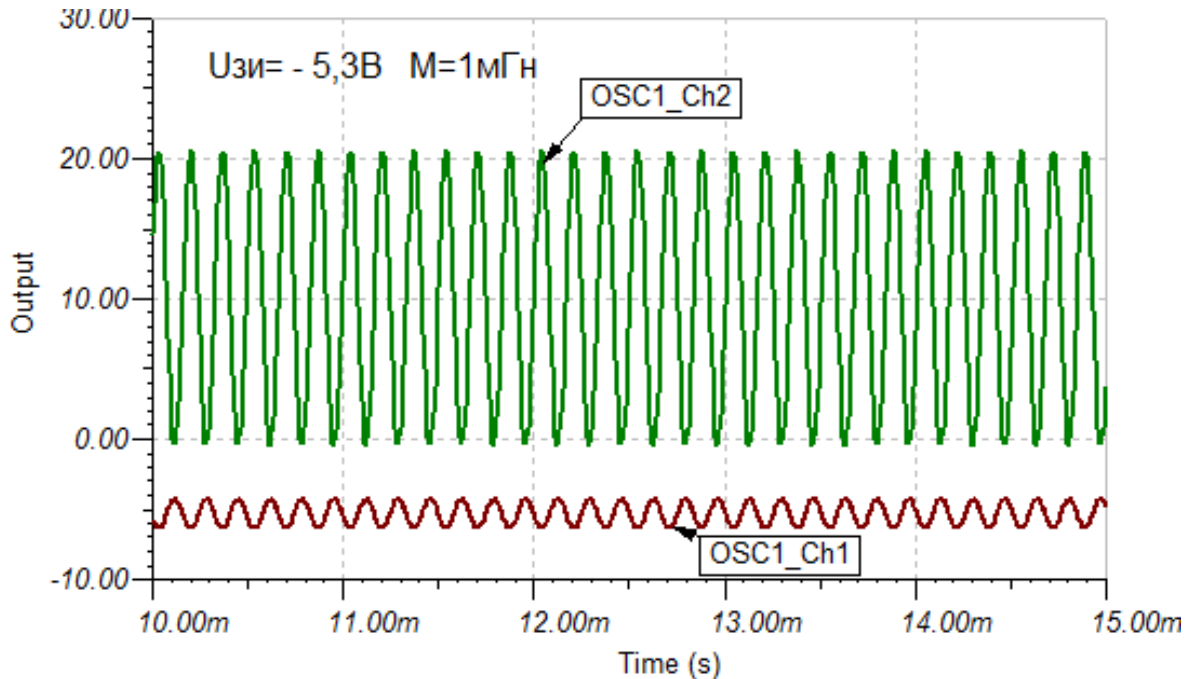


Рис. 13.10. Графики установившихся колебаний

7. Исследовать нелинейные искажения колебаний. В режиме *Analysis-Fourier* установить *Sampling start time 10m*, *Base frequency* (принимается равной частоте колебаний), *Format Aeff, Beff* (действующие значения напряжений), *Output OSC1\_Ch2* (рис. 13.11). Вычисленные нелинейные искажения  $K\%$  записать в таблицу 13.1.

8. Увеличивая напряжение  $U_{зи}$  на 0,5 В, повторять исследования по п.п. 4-7 до тех пор, пока нелинейные искажения не превысят 30%. Зарегистрировать форму колебаний при максимальных искажениях.

Исследование зависимости параметров автогенератора  
от коэффициента обратной связи

9. По данным таблицы 13.1 найти  $U_{зи=(min)}$ , при котором возникают автоколебания, и  $U_{зи=(max)}$ , при котором коэффициент нелинейных искажений превышает 30%. Вычислить

$$U_{зи=(ср)} = \frac{U_{зи=(max)} + U_{зи=(min)}}{2}$$
 и установить это напряжение на затворе транзистора.

Провести исследование автогенератора по пп. 4-7, уменьшая значение взаимной индуктивности М для значений из таблицы 13.2. Результаты записать в таблицу 13.2.

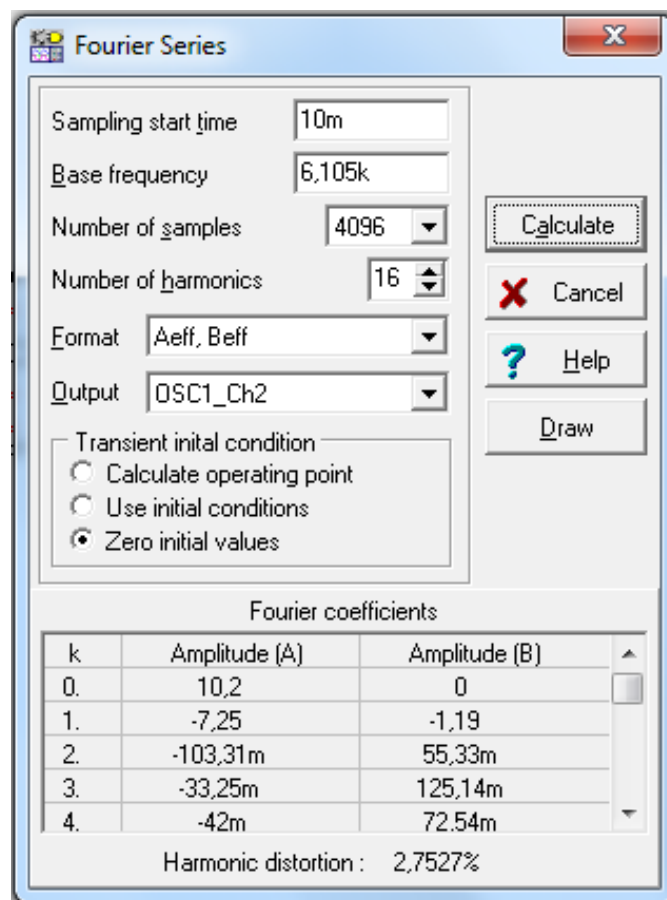


Рис. 13.11. Установки Фурье-анализа нелинейных искажений

Исследование зависимости параметров автогенератора от напряжения на стоке

10. Установить на затворе транзистора напряжение  $U_{зи=(ср)}$ . Значение взаимной индуктивности установить равным 1 мГн.

Провести исследования зависимости параметров автогенератора от постоянного напряжения на стоке  $U_{с=}$  для значений, указанных в таблице 13.3. Результаты записать в таблицу 13.3.

Таблица 13.2

$$E_1=10\text{В}, U_{\text{зи}} = U_{\text{зи(ср)}}, L_1=L_2=10\text{мГн}$$

$M, \text{мГн}$	2	1	0,8	0,6	0,4	0,2
$u_{\text{к}\sim}, \text{В}$						
$u_{\text{зи}\sim}, \text{мВ}$						
$I_{\text{с}}, \text{мА}$						
$i_{\text{с}\sim}, \text{мкА}$						
$T, \text{мкс}$						
$f, \text{кГц}$						
$t_{\text{уст}}, \text{мс}$						
$K\%$						
$\beta = u_{\text{зи}\sim} / u_{\text{к}\sim}$						
$M = \beta L_{\text{к}}$						
$S_{\text{раб.}} = C_{\text{к}} R'_{\text{к}} / M$						

Таблица 13.3

$$E_1=10\text{В}, U_{\text{зи}} = U_{\text{зи(ср)}}, L_1=L_2=10\text{мГн}, M=1\text{мГн}$$

$U_{\text{с=}}, \text{В}$	10	8	6	4	2	0
$u_{\text{к}\sim}, \text{В}$						
$u_{\text{зи}\sim}, \text{мВ}$						
$I_{\text{с}}, \text{мА}$						
$i_{\text{с}\sim}, \text{мкА}$						
$T, \text{мкс}$						
$f, \text{кГц}$						
$t_{\text{уст}}, \text{мс}$						
$K\%$						
$\beta = u_{\text{зи}\sim} / u_{\text{к}\sim}$						
$M = \beta L_{\text{к}}$						
$S_{\text{раб.}} = C_{\text{к}} R'_{\text{к}} / M$						

10. Рассчитать в таблице 3 значения  $I_{\text{с}}, \beta, M, S_{\text{раб.}}$ .

### Домашнее задание

1. Используя параметры контура, рассчитать его резонансную частоту  $f_0 = \frac{1}{2\pi\sqrt{L_{\text{к}}C_{\text{к}}}}$  и сравнить с



экспериментальными значениями, определенными в лабораторной работе. Объяснить отличие частоты колебаний от резонансной.

2. Рассчитать с учетом выходного сопротивления транзистора  $R_{\text{вых}} \approx 30 \text{ кОм}$  полное сопротивление потерь в контуре  $R'_k = R_k + R_{\text{доб}}$ , где  $R_{\text{доб}} = \frac{L_k}{C_k R_{\text{вых}}}$ .

3. Рассчитать эквивалентное резонансное сопротивление контура с учетом выходного сопротивления транзистора

$R_{\text{вых}} \approx 30 \text{ кОм}$  по формуле:  $R_{\text{эк}} = \frac{L_k / C_k}{R'_k}$ . На частоте

параллельного резонанса сопротивление контура активно и равно эквивалентному резонансному сопротивлению.

4. По данным таблицы 13.1 рассчитать и занести в таблицу  $\beta = u_{\text{зи}} / u_{\text{к}} \sim$ ,  $M = \beta L_k$ ,  $S_{\text{раб}} = C_k R'_k / M$  и  $i_{c\sim} = \frac{u_{\text{к}} \sim}{R_{\text{эк}}}$ . Построить графики

зависимостей от напряжения затвор-исток  $U_{\text{зи}}$  для  $u_{\text{к}} \sim$ ,  $u_{\text{зи}} \sim$ ,  $t_{\text{уст}}$ ,  $f$ ,  $K\%$ ,  $\beta$ ,  $M$ ,  $S_{\text{раб}}$ .

5. По данным таблицы 13.2 построить графики зависимостей от взаимной индуктивности  $M$  для  $u_{\text{к}} \sim$ ,  $u_{\text{зи}} \sim$ ,  $t_{\text{уст}}$ ,  $f$ ,  $K\%$ ,  $\beta$ ,  $M$ ,  $S_{\text{раб}}$ .

6. По данным таблицы 13.3 построить графики зависимостей от напряжения питания стока  $E_2$  для  $u_{\text{к}} \sim$ ,  $u_{\text{зи}} \sim$ ,  $I_c$ ,  $\beta$ ,  $M$ ,  $S_{\text{раб}}$ .

7. На основании полученных данных подтвердить выполнение условия баланса амплитуд и условия баланса фаз в автогенераторе. Сформулировать выводы по работе в целом.

## Глава 14. ЦИФРОВЫЕ МИКРОСХЕМЫ

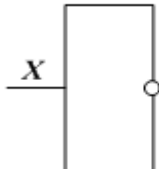
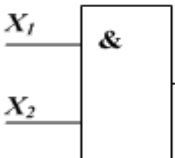
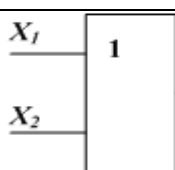
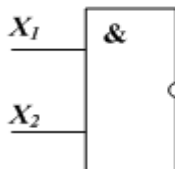
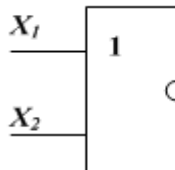
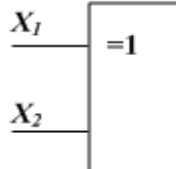
### 14.1. Краткие теоретические сведения

#### Цифровые логические элементы

Цифровые логические элементы, выполненные на интегральных микросхемах (ИМС), предназначены для преобразова-

ния и обработки дискретных сигналов и выполняют основные логические функции, представленные в таблице 14.1.

Таблица 14.1

Элемент	Обозначение	Выполняемая функция и схема
НЕ (отрицание)	ЛН	 $Y = \bar{X}$
И (логическое умножение)	ЛИ	 $Y = X_1 \cdot X_2$
ИЛИ (логическое сложение)	ЛЛ	 $Y = X_1 + X_2 = X_1 \vee X_2$
И-НЕ (логическое умножение с отрицанием)	ЛА	 $Y = \overline{X_1 \cdot X_2}$
ИЛИ-НЕ (логическое сложение с отрицанием)	ЛЕ	 $Y = \overline{X_1 + X_2}$
Исключающее ИЛИ	ЛП	 $Y = \bar{X}_1 \cdot X_2 + X_1 \cdot \bar{X}_2 = X_1 \oplus X_2$

В таблице 14.1 использованы обозначения:  $\bar{x}$  - отрицание значения  $x$ ;  $x_1 \cdot x_2$  - логическое умножение (конъюнкция);  $X_1 + X_2 = X_1 \vee X_2$  - логическое сложение (дизъюнкция).

Наибольшее применение получили серии логических ИМС, выполненные по ТТЛ (транзисторно-транзисторная логика), ЭСЛ (эмиттерно-связанная логика) и КМОП (комплементарная МОП логика) технологиям.

В ИМС, выполненных по технологии ТТЛ, в качестве базового элемента используется многоэмиттерный транзистор. Упрощенная схема логического элемента И-НЕ с многоэмиттерным транзистором VT1 приведена на рис. 14.1. Если хотя бы на один эмиттер VT1 подан низкий уровень, VT1 будет открыт, а второй транзистор VT2, работающий инвертором сигнала и выполняющий функцию НЕ, будет закрыт. На выходе базового элемента будет высокий уровень сигнала. Для того чтобы напряжение на выходе имело низкий уровень, на все эмиттеры VT1 надо подать высокий уровень. Таким образом, реализуется функция И-НЕ.

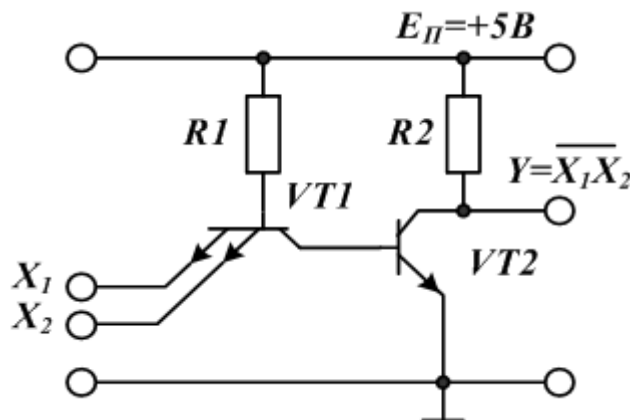


Рис. 14.1. Упрощенная схема логического элемента 2И-НЕ (ТТЛ)

В ИМС, выполненных по технологии КМОП, в качестве базового элемента используются ключевые схемы, построенные на комплементарных МОП-транзисторах. На рис. 14.2 приведена схема логического элемента 2И-НЕ, выполненного по технологии КМОП. Схема состоит из двух групп ключей на полевых транзисторах VT1, VT3 и VT2, VT4. Каждая группа управляется одним сигналом  $X_1$  или  $X_2$ . При подаче сигналов  $X_1 = X_2 = \text{«1»}$  ключи на транзисторах VT1, VT2 размыкаются, а ключи на транзисторах VT3, VT4 замыкаются. В результате на выходе будет сигнал низкого уровня  $Y = \overline{X_1 \cdot X_2}$ .

Применение полевых транзисторов с изолированным затвором обеспечивает большое входное сопротивление микросхем КМОП. Однако микросхемы КМОП чувствительны к статическому электричеству и требуют специальной защиты. Питание таких ИМС производится от источника напряжения  $+5...+15$  В.

Уровни выходных сигналов зависят от напряжения питания. Уровень логической единицы «1» равен примерно  $0,8E_{\text{max}}$ , а уровень логического нуля «0» составляет от 0,3 до 2,5В.

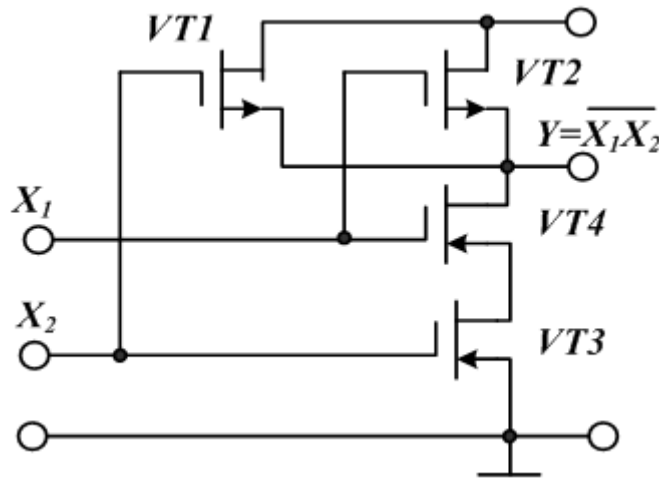


Рис. 14.2. Упрощенная схема логического элемента 2И-НЕ (КМОП)

### Мультиплексоры и демультиплексоры

Мультиплексором называют функциональный узел, который обеспечивает передачу цифровой информации, поступающей по нескольким входным линиям связи на одну выходную линию. Мультиплексор можно представить в виде коммутатора, управляемого входной логической схемой. Входные логические сигналы  $X_i$  поступают на входы коммутатора и через коммутатор передаются на выход  $Y$ . На вход логической схемы поступают адресные сигналы  $A_k$ , определяющие, какой входной сигнал в данный момент передается на выход. Некоторые мультиплексоры могут иметь выход с тремя состояниями: два состояния 0 и 1 и третье состояние – отключенный выход (выходное сопротивление равно бесконечности).

На рис. 14.3 показана схема мультиплексора ( $4 \rightarrow 1$ ), выполненная на элементах И и ИЛИ. Работа мультиплексора отображается таблицей истинности 14.2.

Таблица 14.2

$A_0$	$A_1$	$Y$
0	0	$X_0$
0	1	$X_1$
1	0	$X_2$
1	1	$X_3$

Используя таблицу истинности, запишем выражение для выходной функции мультиплексора:

$$Y = X_0(\bar{A}_0\bar{A}_1) + X_1(\bar{A}_0A_1) + X_2(A_0\bar{A}_1) + X_3(A_0A_1) \quad (14.1)$$

Графическое изображение мультиплексора (8→1) показано на рис. 14.4. Входами являются выходы микросхемы  $D_0....D_7$ , выходами  $Q$  и  $\bar{Q}$ , адресные входы  $A_0, A_1, A_2$ , вход разрешения работы  $E$ .

Демультимплексор (DMX) выполняет преобразование, обратное мультиплексированию: входной сигнал  $X$  поступает на вход демультимплексора и передается на выходы  $Y_1, Y_2...Y_n$ . Адресные сигналы  $A_0...A_k$  имеют такое же значение, как и у мультиплексора. Графическое изображение демультимплексора (1→4) показано на рис. 14.5. На схеме обозначены:  $D$ -информационный вход,  $A_0, A_1$  – адресные входы,  $E$  – вход разрешения,  $Q_0, \bar{Q}_0...Q_3, \bar{Q}_3$  – прямые и инверсные выходы.

### Дешифраторы

Дешифратором называют преобразователь двоичного  $n$ -разрядного кода в унитарный  $2^n$ -разрядный код, все разряды которого за исключением одного равны нулю. Дешифраторы бывают полные и неполные. Для полного дешифратора выполняется условие  $N=2^n$ , где  $n$  – число входов,  $N$  – число выходов. В неполных дешифраторах имеется  $n$  – входов, но выходов  $N < 2^n$ .

На рис. 14.6 показана схема дешифратора 3 x 8, преобразующего двоичный трехразрядный код в унитарный восьмиразрядный, в котором, например, входное двоичное число 100 соответствует выходному коду 00010000.

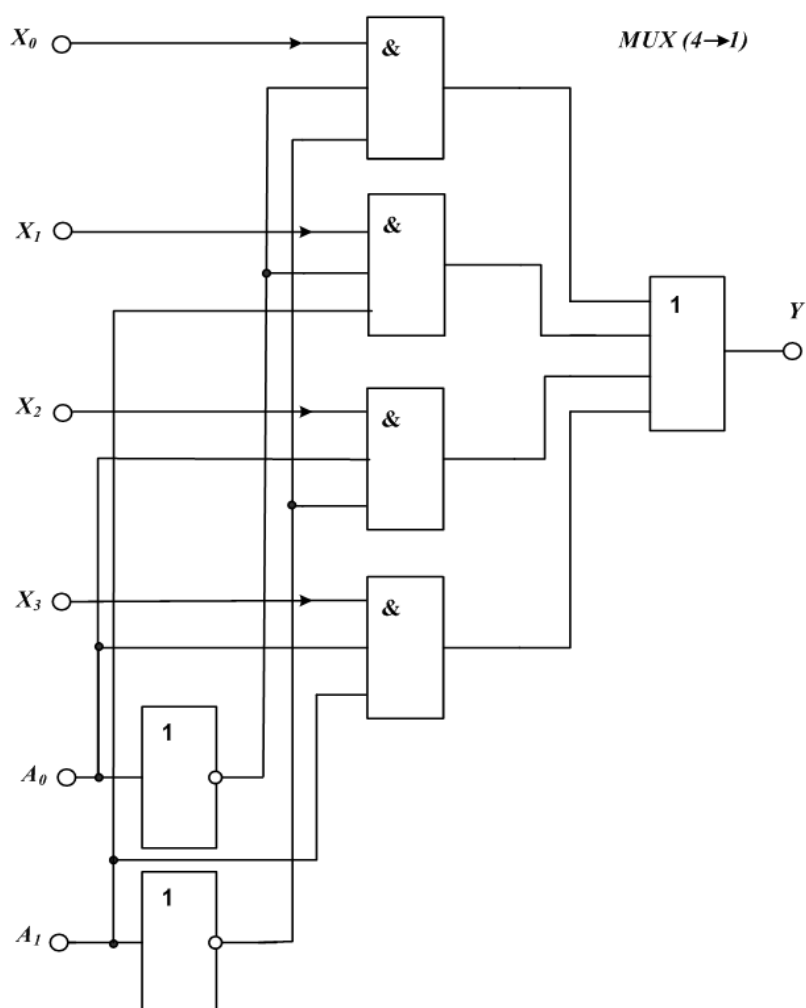


Рис. 14.3. Мультиплексор (4→1) на элементах И-НЕ

Рис. 14.4. Условное графическое изображение мультиплексора (8→1)	Рис. 14.5. Условное графическое изображение демультиплексора (1→4)

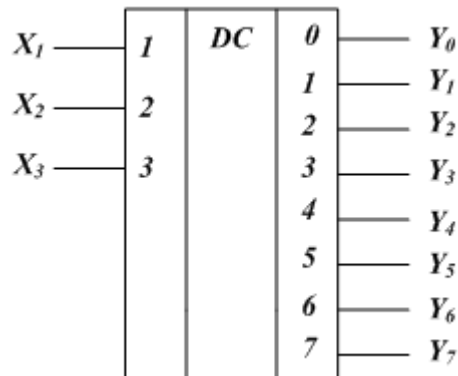


Рис. 14.6. Условное графическое изображение дешифратора 3 x 8

В цифровой технике применяют также преобразователи кодов для управления сегментными и матричными индикаторами, шифраторы, преобразующие, например, 8-разрядный единичный код в двоичный код, и другие комбинационные устройства, построенные на цифровых логических элементах. Особенностью комбинационных устройств является то, что их выходные сигналы однозначно определяются только действующей в настоящий момент на входе комбинацией переменных и не зависят от значений переменных, действовавших на входе ранее.

### Триггеры

Триггером называется устройство, способное формировать два устойчивых значения выходного сигнала и скачкообразно изменять эти значения под действием внешнего управляющего сигнала.

Триггеры относятся к цифровым схемам последовательного типа. Состояние выхода последовательной схемы (цифрового автомата) зависит от текущего состояния входа  $X$  и от внутреннего состояния схемы  $Q$ :

$$Y = F(X, Q).$$

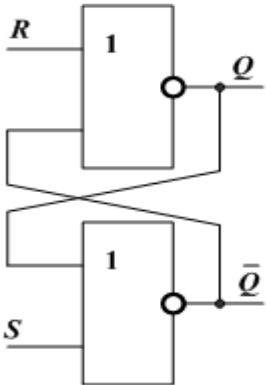
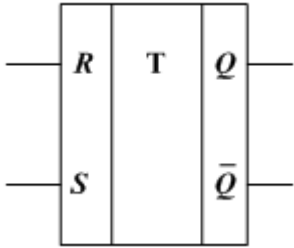
Таким образом, триггер является хранителем предшествующей и источником текущей информации. Триггер называют бистабильной схемой, он является элементарной ячейкой памяти. Два устойчивых состояния триггера обозначаются:  $Q=1$  и  $Q=0$ .

Основные типы триггеров в интегральном исполнении получили следующие названия: *RS* -триггер, *JK*- триггер, *D* - триггер, *T*- триггер.

Асинхронный *RS* – триггер содержит одну ячейку памяти, может быть выполнен на двух элементах ИЛИ-НЕ (рис. 14.7) и имеет два прямых информационных входа:

*R* – раздельный вход сброса триггера ( $Q=0$ );

*S* – раздельный вход установки триггера ( $Q=1$ ).

	
Рис. 14.7. Асинхронный <i>RS</i> -триггер	Рис. 14.8. Условное графическое изображение асинхронного <i>RS</i> -триггера

Триггер называется асинхронным, если переключение его происходит сразу при изменении информационных сигналов. Работа асинхронного *RS* – триггера на элементах ИЛИ-НЕ отображается таблицей переходов 14.3.

Таблица 14.3

<i>R</i>	<i>S</i>	$Q_{n+1}$
0	0	$Q_n$
0	1	1
1	0	0
1	1	-

Функциональное состояние *RS*- триггера определяется уравнением:

$$Q_{n+1} = \bar{R}_n S_n + \bar{R}_n Q_n \quad (14.2)$$

где  $Q_n$  и  $Q_{n+1}$  - соответственно предыдущее и новое состояние триггера.



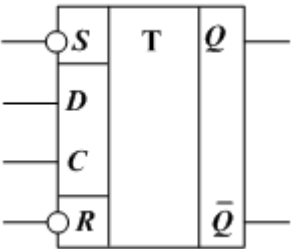
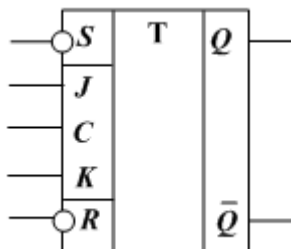
В синхронных триггерах имеется синхронизирующий вход  $C$  и переключение происходит при поступлении на этот вход синхронизирующего импульса. Причем момент переключения может соответствовать переднему или заднему фронту синхроимпульса.

$D$ - триггер (рис. 14.9) имеет информационный вход  $D$  (data – данные). Информация со входа  $D$  заносится в триггер по положительному перепаду на счетном входе  $C$  триггера. Помимо счетного  $C$  и информационного  $D$  – входов, триггер имеет асинхронные установочные  $\bar{R}$  и  $\bar{S}$  входы. Установочные входы приоритетны. Они устанавливают триггер независимо от сигналов на входах  $C$  и  $D$ . Уравнение  $D$ - триггера имеет вид:

$$Q_{n+1} = [\bar{C}Q_n + CD + \bar{S}]R \quad (14.3)$$

$JK$  –триггер (рис. 14.10) является наиболее универсальным, так как на его основе могут быть построены любые из рассмотренных выше триггеров.  $JK$ - триггер имеет: входы  $J$  и  $K$  установки триггера в состояния  $Q=1$  и  $Q=0$  соответственно; синхронизирующий вход  $C$ ; отдельный вход  $S$  асинхронной установки триггера ( $Q=1$ ); отдельный вход  $R$  асинхронного сброса триггера ( $Q=0$ ). В схеме (рис. 14.10) входы  $S$  и  $R$  имеют низкий активный уровень. Причем, входы  $S$  и  $R$  имеют приоритетное значение.

Функциональное состояние  $JK$ - триггера определяется уравнением:  $Q_{n+1} = [C(J\bar{Q}_n + \bar{K}Q_n) + \bar{C}Q_n + \bar{S}]R$  (14.4)

	
Рис. 14.9. Синхронный D-триггер	Рис. 14.10. $JK$ - триггер

### Счетчики импульсов и регистры

Счетчиком называют цифровое устройство, предназначенное для подсчета числа импульсов. С поступлением каждого

импульса на вход  $C$  счетчик меняет свое состояние на единицу. Счетчик можно реализовать на нескольких триггерах, при этом состояние счетчика будет определяться состоянием его триггеров. В суммирующих счетчиках каждый входной импульс увеличивает его состояние на единицу. В вычитающих счетчиках состояние уменьшается на единицу каждым входным импульсом.

Наиболее простыми являются двоичные счетчики, в которых состояние счетчика определяется двоичным кодом на его выходах. Схема асинхронного четырехразрядного суммирующего счетчика на  $D$  – триггерах показана на рис. 14.11.

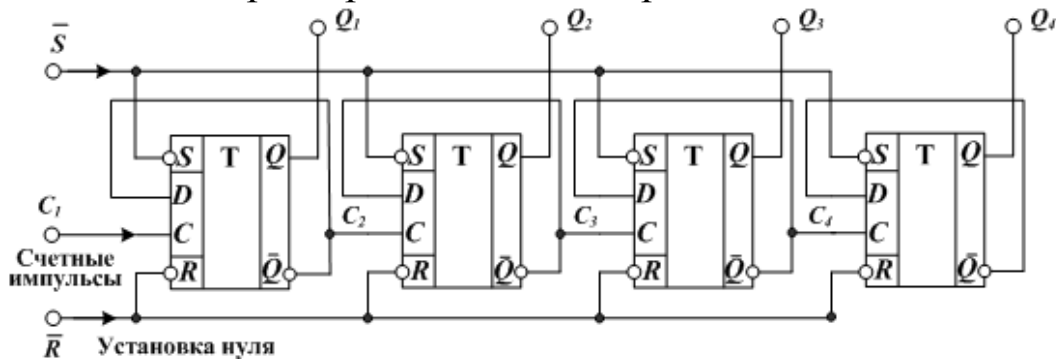


Рис. 14.11. Асинхронный счетчик на  $D$ - триггерах

В начале счета все триггеры устанавливаются в нуль и с входов  $\bar{R}$  и  $\bar{S}$  снимаются активные уровни. На счетный вход  $C_1$  первого триггера поступают счетные импульсы. Каждый импульс изменяет состояние триггеров так, что на выходах  $Q1 - Q4$  формируется двоичный код, соответствующий числу счетных импульсов. Длина списка разрешенных состояний счетчика называется модулем счета  $K_{сч}$ . Число разрешенных состояний определяется количеством триггеров. Для счетчика (рис. 14.11)  $K_{сч} = 2^4 = 16$ . После 16 импульсов все триггеры обнуляются и начинается новый цикл счета. Счетчики можно использовать в качестве делителей частоты с коэффициентом деления  $K_{сч}$ . Введением дополнительных обратных связей между триггерами можно произвольно изменять модуль счета в сторону уменьшения. Так введение в обратные связи двух элементов 2И-НЕ устанавливает в счетчике (рис. 14.11) модуль счета равный 9 (рис. 14.12).

В цифровых устройствах применяют разнообразные счетчики. Они классифицируются следующим образом:

По модулю счета: двоичные, двоично-десятичные (декадные) или с другим основанием счета; с произвольным постоянным модулем; с переменным модулем.

По направлению счета: суммирующие; вычитающие; реверсивные.

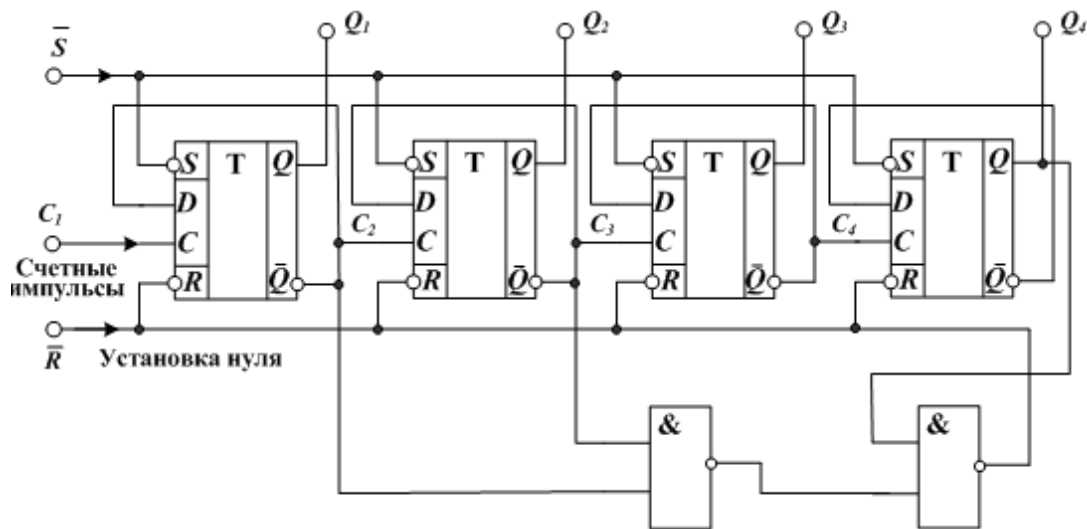


Рис. 14.12. Асинхронный счетчик с модулем счета  $K_{сч}=9$

По способу организации внутренних связей: с последовательным переносом (триггеры переключаются последовательно); с параллельным переносом (триггеры переключаются синхронно по фронту счетных импульсов); с комбинированным переносом; кольцевые (на основе сдвиговых регистров).

Регистром называется устройство цифровой техники, предназначенное для записи, хранения и (или) сдвига информации, представленной в виде многоразрядного двоичного кода.

По способу приема информации регистры подразделяют на: последовательные (сдвигающие), в которых информация записывается и считывается только в последовательной форме;

параллельные (статические), в которых информация записывается и считывается только в параллельной форме;

последовательно-параллельные, в которых информация записывается или считывается как в последовательной, так и в параллельной формах.

Простейшие регистры выполняют на триггерах. Схема последовательного сдвигающего регистра на  $JK$ - триггерах показана на рис. 14.13.

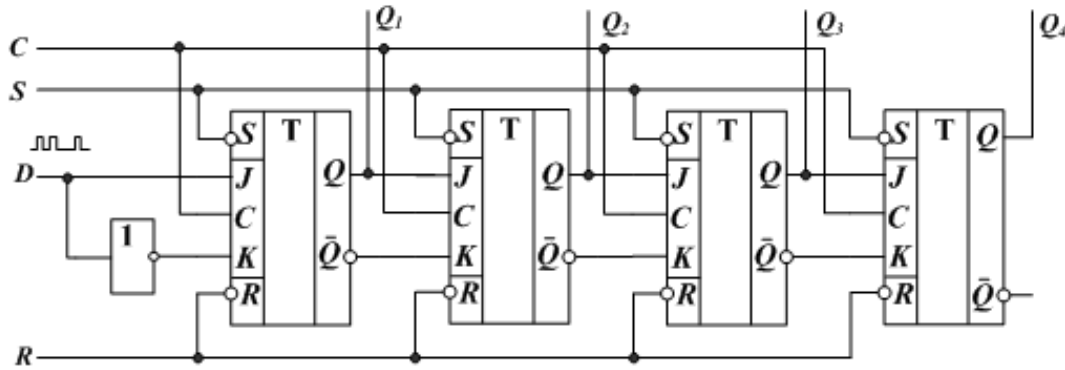


Рис. 14.13. Четырехразрядный сдвигающий регистр с последовательным вводом

Сдвигающий регистр работает следующим образом. В начале работы управляющими сигналами  $S$  и  $R$  все триггеры устанавливаются в нулевое состояние, активный уровень сигналов  $S$  и  $R$  снимается, на вход  $D$  (данные) подается первый импульс цифрового кода (например, единица кода 1101 на рис. 14.13). С первым тактовым импульсом, поступающим на вход  $C$ , в первый триггер будет записана единица младшего разряда. Со следующим тактовым импульсом эта единица будет записана во второй триггер и окажется на его выходе. Одновременно в первый триггер поступит нуль (следующий разряд кода). После четырех тактовых импульсов код на выходах  $Q_4-Q_1$  будет соответствовать входному коду и может быть считан внешним устройством. Таким образом, регистр преобразует последовательный код в параллельный. В современных микроэлектронных устройствах отображения и регистрации информации количество параллельных выходов регистров может достигать нескольких тысяч.

## 14.2. Вопросы для самопроверки и подготовки к лабораторной работе

1. Перечислите основные цифровые элементы и поясните выполняемые ими логические операции.
2. Поясните работу базового логического элемента интегральных микросхем ТТЛ.

3. Поясните работу базового логического элемента микросхем КМОП.
4. Какие цифровые устройства называются комбинационными и в чем принцип их работы?
5. Каковы назначение и структурная схема мультиплексора и демультимплексора?
6. Каковы назначение и принцип работы дешифратора?
7. Назначение и принцип работы цифровых триггеров.
8. Поясните по таблице переходов и схеме принцип работы асинхронного *RS*-триггера на элементах ИЛИ-НЕ.
9. В чем отличие синхронных триггеров от асинхронных?
10. Поясните принцип работы *D*-триггера и составьте для него таблицу переходов.
11. Поясните принцип работы *JK*- триггера и составьте для него таблицу переходов.
12. Каковы назначение и классификация цифровых счетчиков?
13. Поясните принцип работы асинхронного счетчика на *D*-триггерах.
14. Что называют модулем счета и как его можно изменить в цифровых счетчиках?
15. Каковы назначение и классификация регистров?
16. Поясните принцип работы последовательного сдвигающего регистра на *JK* – триггерах.

### 14.3. Лабораторная работа №14.

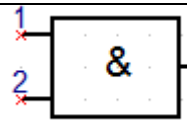
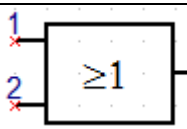
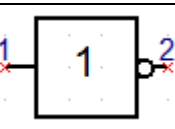
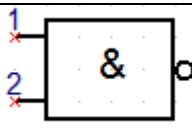
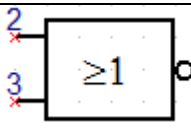
#### Исследование цифровых микросхем

**Цель работы.** Изучение основных классов цифровых микросхем и методов их исследования с использованием программы **TINA 8**.

#### А. Исследование логических элементов и комбинационных микросхем

1. Логические элементы обозначены по европейскому стандарту DIN и имеют графические изображения, показанные в таблице 14.4.

Таблица 14.4

2И	2ИЛИ	НЕ	2И-НЕ	2ИЛИ-НЕ
				

2. Собрать схему компьютерного моделирования логических элементов, показанную на рис. 14.14. Элемент 2И находится во вкладке *Gates*. На вкладке *Sources* выбрать цифровые источники высокого (*H*) и низкого (*L*) уровня.

Выбрать режим *Interactive – DC* и нажать *Start*. Изменяя положения ключей [1] и [2], создавать на входах *A* и *B* состояния в соответствии с таблицей 14.5. Состояние на выходе *Q* записать в таблицу истинности 14.5. После окончания опытов на вкладке *Interactive* нажать *Stop*.

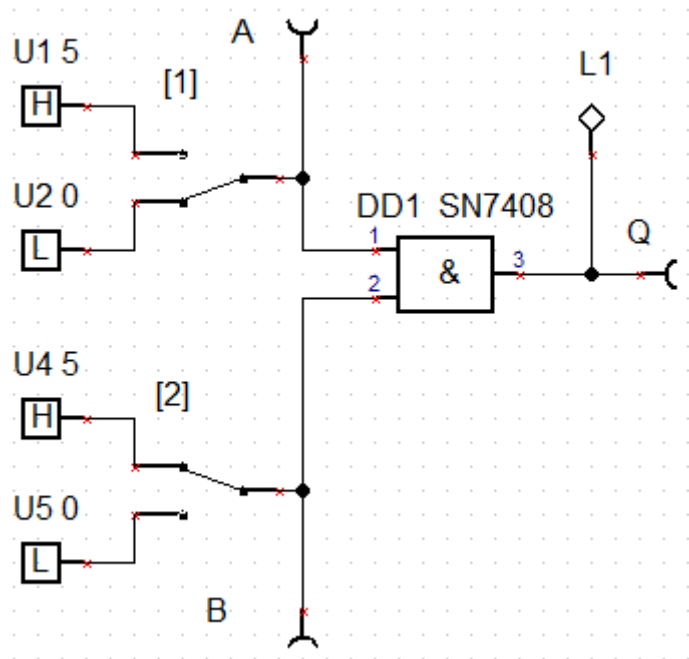


Рис. 14.14. Схема моделирования элемента 2И

Таблица 14.5

A	B	Q
0	0	
0	1	
1	0	
1	1	

3. Выполнить аналогичные исследования и заполнить таблицы истинности для других логических элементов из таблицы 14.4.

4. Собрать комбинационную схему с двумя логическими элементами, соединенными в соответствии с рис. 14.15. Для каждой бригады логические элементы *DD1* и *DD2* заданы в таблице 14.6.

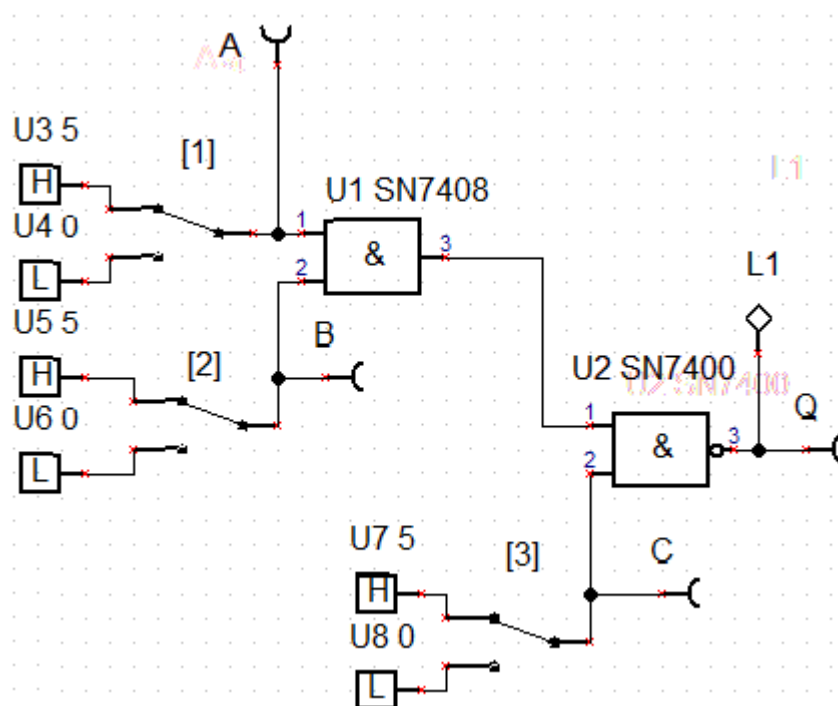


Рис. 14.15. Комбинационная схема с двумя логическими элементами

Таблица 14.6

Вар.№	1	2	3	4	5	6	7	8
DD1	2ИЛИ-НЕ	2И	2И	2И-НЕ	2И-НЕ	2ИЛИ	2ИЛИ	2ИЛИ-НЕ
DD2	2ИЛИ	2ИЛИ	2И-	2ИЛИ	2ИЛИ	2И-НЕ	2И	2И-НЕ

5. Создавая все возможные комбинации входных сигналов, в режиме *Interactive – DC* регистрировать выходной сигнал и заполнить таблицу истинности комбинационной схемы (таблица 14.7). Комбинации входных сигналов соответствует значениям трехзначного двоичного кода.

Таблица 14.7

A	B	C	Q
0	0	0	
0	0	1	
0	1	0	
0	1	1	
1	0	0	
1	0	1	
1	1	0	
1	1	1	

6. Исследовать дешифратор на микросхеме 74159 (отечественный К155ИД3). Схема эксперимента показана на рис. 14.16. Дешифратор имеет адресные входы *A*, *B*, *C*, *D*, два входа разрешения *G1*, *G2* и шестнадцать выходов 0...15. На адресные входы подается код в диапазоне 0000... 1111.

Чтобы упростить исследование дешифратора используется генератор чисел *Data Generator 4-bit*. Окно настройки генератора показано на рисунке 14.18. Установим *Step time*=1u, *Affected address(low)*=00, *Affected address(high)*=0F, значения для адресов от 0000 до 000F устанавливаются двоичными значениями от 0 до 15. Чтобы последовательность циклично повторялась, отметим галочкой *Repeat Pattern*.

7. Выполним пошаговый анализ схемы *Analysis – Digital Step-by-Step*. В этом режиме красным отмечены уровни логической единицы, синим – уровни логического нуля. Кнопками *Step Forward* и *Step Back* панели управления (рис. 14.17) переключаются следующий или предыдущий сигналы генератора. Заполнить таблицу 14.8 для значений от 0000 до 1111.



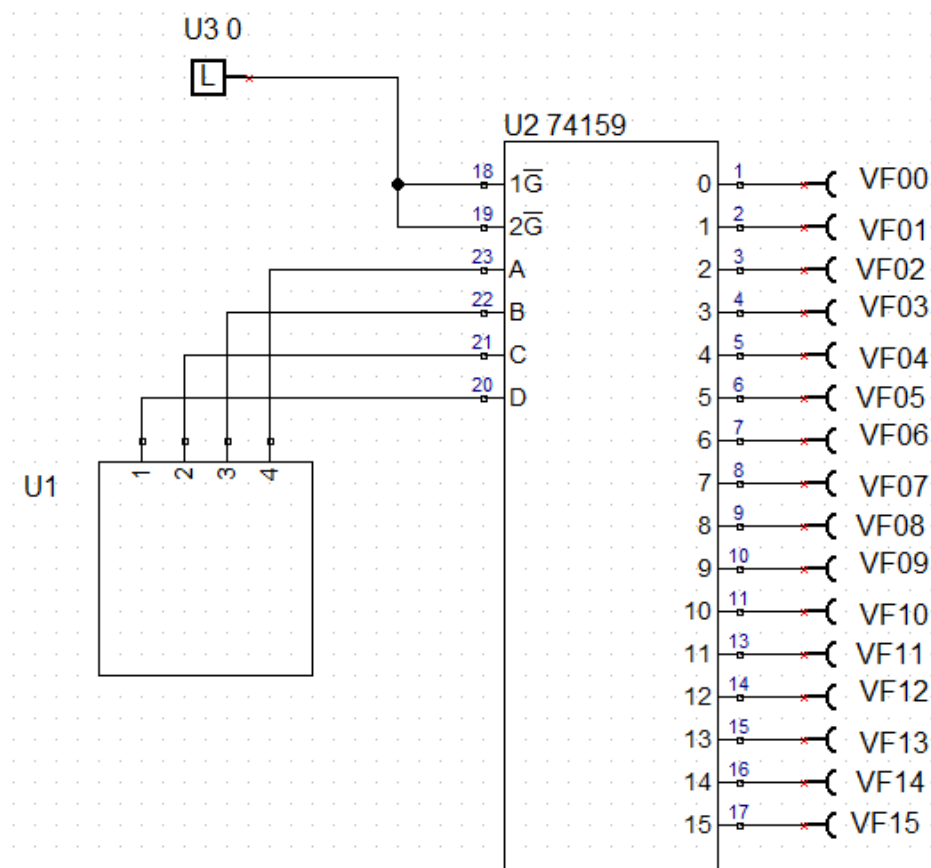


Рис. 14.16. Схема исследования дешифратора

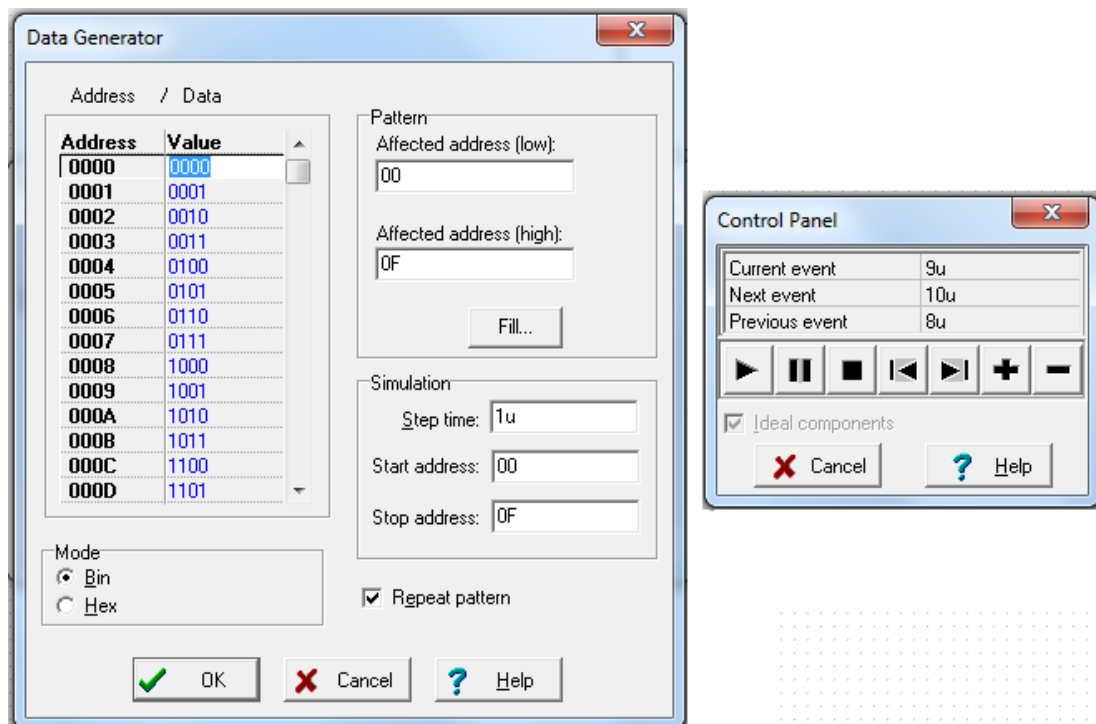


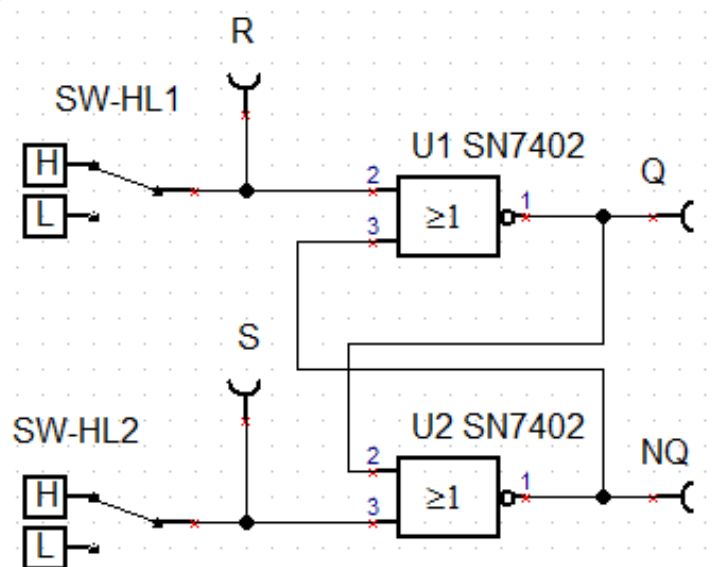
Рис. 14.17. Окна настройки генератора чисел и пошагового управления

Таблица 14.8.

ABCD	Q0	Q1	Q2	Q3	Q4	Q5	Q6	Q7					Q14	Q15
0000	0	1	1	1	1	1	1	1					1	1
⋮														
1111														

### Б. Исследование триггерных схем

8. Собрать схему  $RS$  - триггера на логических элементах 2ИЛИ-НЕ (рис. 14.18). Ко входам триггера подключаются *High-Low Switches*.

Рис. 14.18.  $RS$ -триггер на элементах 2ИЛИ-НЕ

9. Для исследования цифровых схем в интерактивном режиме отметить галочкой *Interactive – Digital* и выбрать *Start*. Переключая сигналы на входах  $R$  и  $S$  в соответствии с таблицей переходов  $RS$  - триггера 14.9, записать полученные состояния выходных сигналов.

Таблица 14.9

R	S	$Q_n$	$Q_{n+1}$
-	0	0	0
0	1		
1	0		
0	-		

Примечание: знаком (-) обозначены безразличные значения входных сигналов.

10. Собрать схему  $D$ -триггера (рис. 14.19). Использовать модель триггера  $D$ -триггера из панели *Flip-flops*.

11. Запустить интерактивный режим *Interactive – Digital – Start*. Поставить ключ  $E$  в верхнее положение. Изменяя сигналы на входах  $\bar{R}$ ,  $\bar{S}$ ,  $D$  и  $C$  в соответствии с таблицей переходов 14.10, записать полученные состояния выходных сигналов.

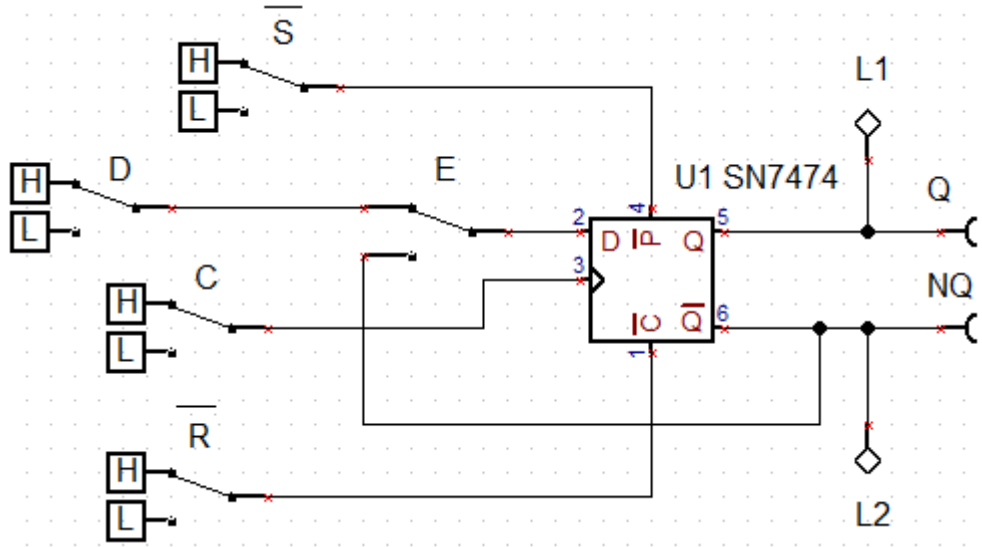


Рис. 14.19. Схема  $D$ -триггера

Таблица 14.10

$\bar{R}$	$\bar{S}$	$D$	$C$	$Q_n$	$Q_{n+1}$
1	0	-	-	0	1
0	1	-	-		
1	1	0	↓		
1	1	1	↓		

Если входы  $\bar{R}$  и  $\bar{S}$  находятся в неактивном состоянии ( $\bar{R} = \bar{S} = 1$ ), то по переднему фронту тактовых импульсов на входе  $C$  происходит запись в триггер сигнала с входа данных  $D$ .

12. Переключить ключ  $E$  в нижнее положение. При этом на вход  $D$ -триггера поступает инверсный сигнал с выхода. Установить  $\bar{R} = 1, \bar{S} = 1$ . Переключая ключ  $C$ , убедиться в том, что каждый тактовый импульс передним фронтом переключает триггер в противоположное состояние. При этом  $D$ -триггер выполняет де-

ление тактовых импульсов на 2. Такой режим работы  $D$ -триггера называют счетным.

13. Собрать схему JK- триггера (рис. 14.20).

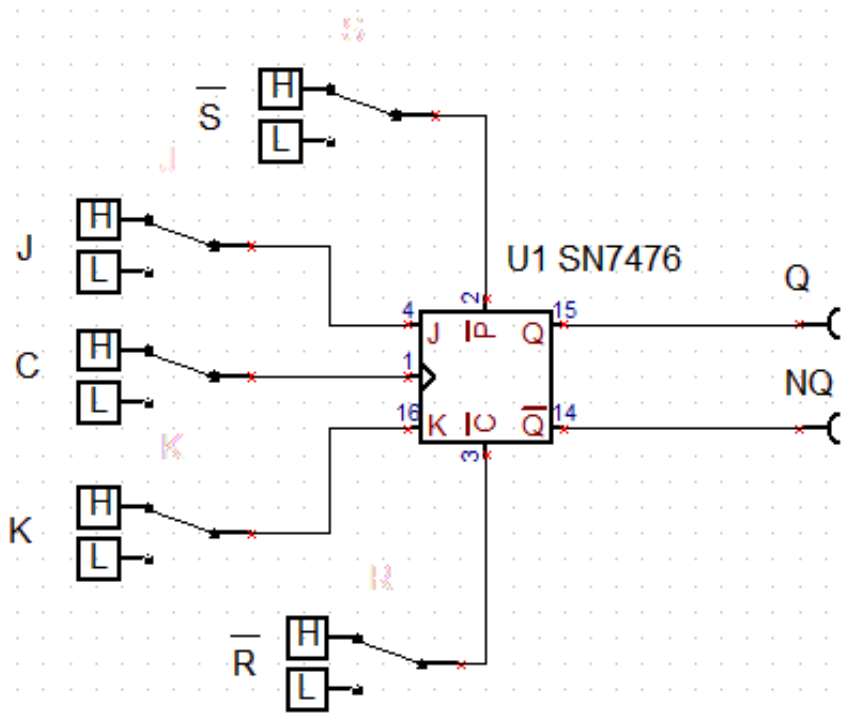


Рис. 14.20. Схема JK-триггера

Изменяя положение ключей, заполнить таблицу переходов  $JK$  - триггера 14.11.

Таблица 14.11

$\bar{R}$	$\bar{S}$	J	K	C	$Q_n$	$Q_{n+1}$
1	0	-	-	-		
0	1	-	-	-		
1	1	1	0			
1	1	0	1			
1	1	1	1			

Обратите внимание на то, что при  $\bar{R} = \bar{S} = J = K = 1$  задний фронт каждого тактового импульса переключает  $JK$  - триггер в противоположное состояние и триггер работает в счетном режиме. Это основное отличие  $JK$ -триггера от  $RS$ -триггера.

### В. Исследование двоичного счетчика

14. Собрать схему двоичного счетчика на  $D$ -триггерах (рис. 14.21). На счетный вход можно подавать импульсы от ключа  $C$ .

15. Запустить интерактивный режим *Interactive –Digital-Start*. Переключить ключ  $C$  в верхнее положение. Ключами  $\bar{S}$  и  $\bar{R}$  установить нулевые состояния на всех выходах триггеров. После этого переключить ключи  $\bar{S}$  и  $\bar{R}$  к уровню  $H$ . Многократно переключать ключ  $C$ , формируя входные счетные импульсы, регистрировать состояние выходов триггеров. Заполнить таблицу 14.12.

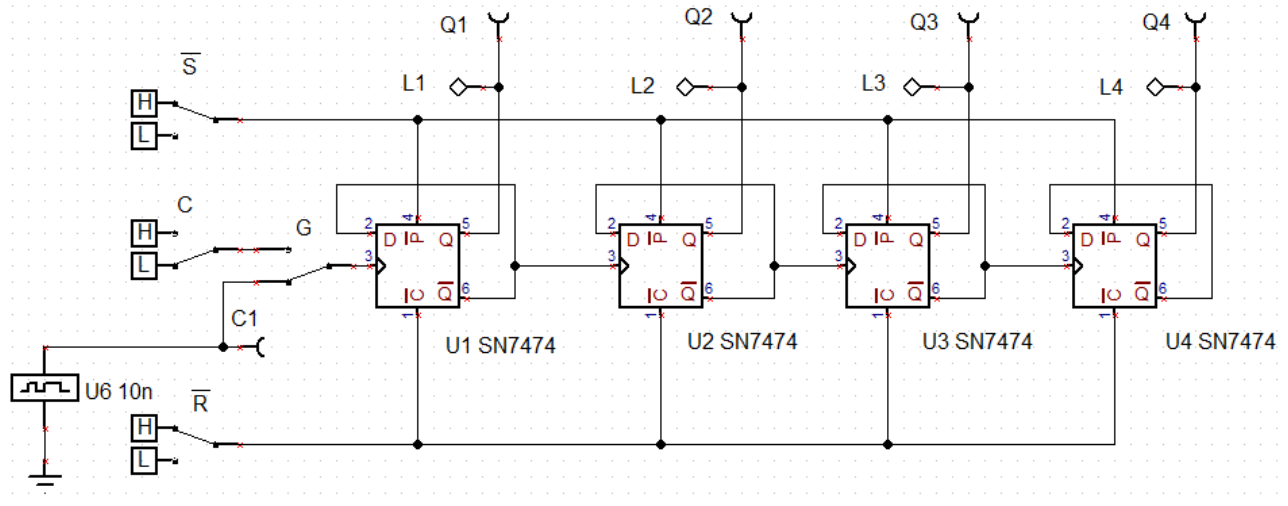


Рис. 14.21. Схема двоичного счетчика на  $D$ -триггерах

Таблица 14.12

N имп.	Q1	Q2	Q3	Q4
0	0	0	0	0
⋮				
15				

Проверить соответствие двоичных кодов на выходах триггеров номеру счетных импульсов.

16. Ключом  $G$  соединить счетный вход счетчика с источником импульсов *Pulse source*. Установить *Rise time* = 10n, *Output Voltage* = 5. Открыть окно *Pattern* и установить уровни и моменты переключения импульсов в последовательности 1мс, 2мс и т.д.

до 16мс (рис. 14.22). Этот шаблон импульсной последовательности можно сохранять и загружать из памяти компьютера.

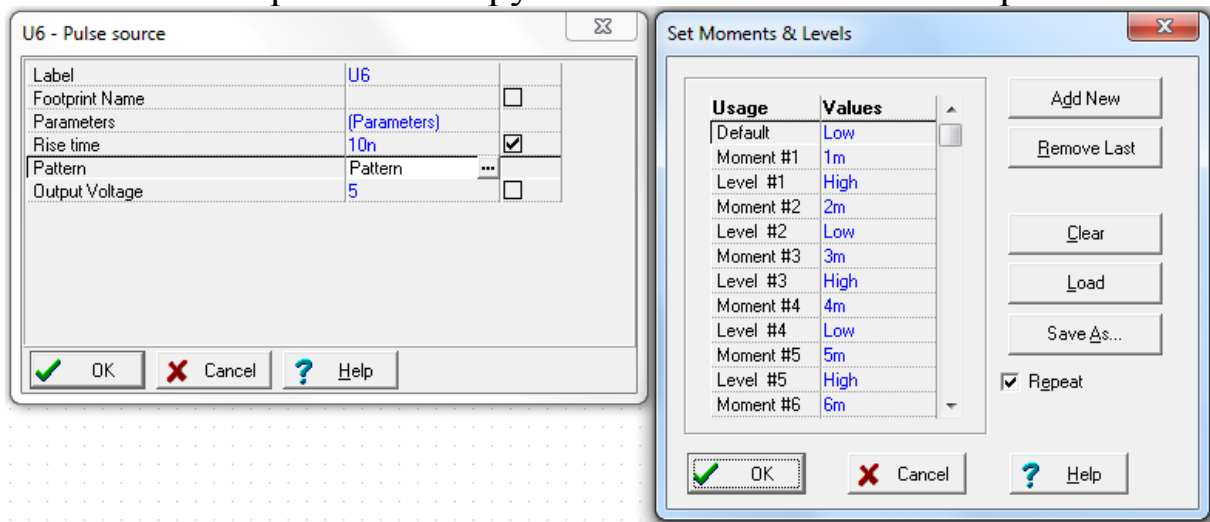


Рис. 14.22. Окна установки параметров источника импульсов

Выбрать режим Analysis – Transient, установить Start display = 0, End display = 40 m и получить временные диаграммы входных импульсов и сигналов на выходах счетчика (рис. 14.23).

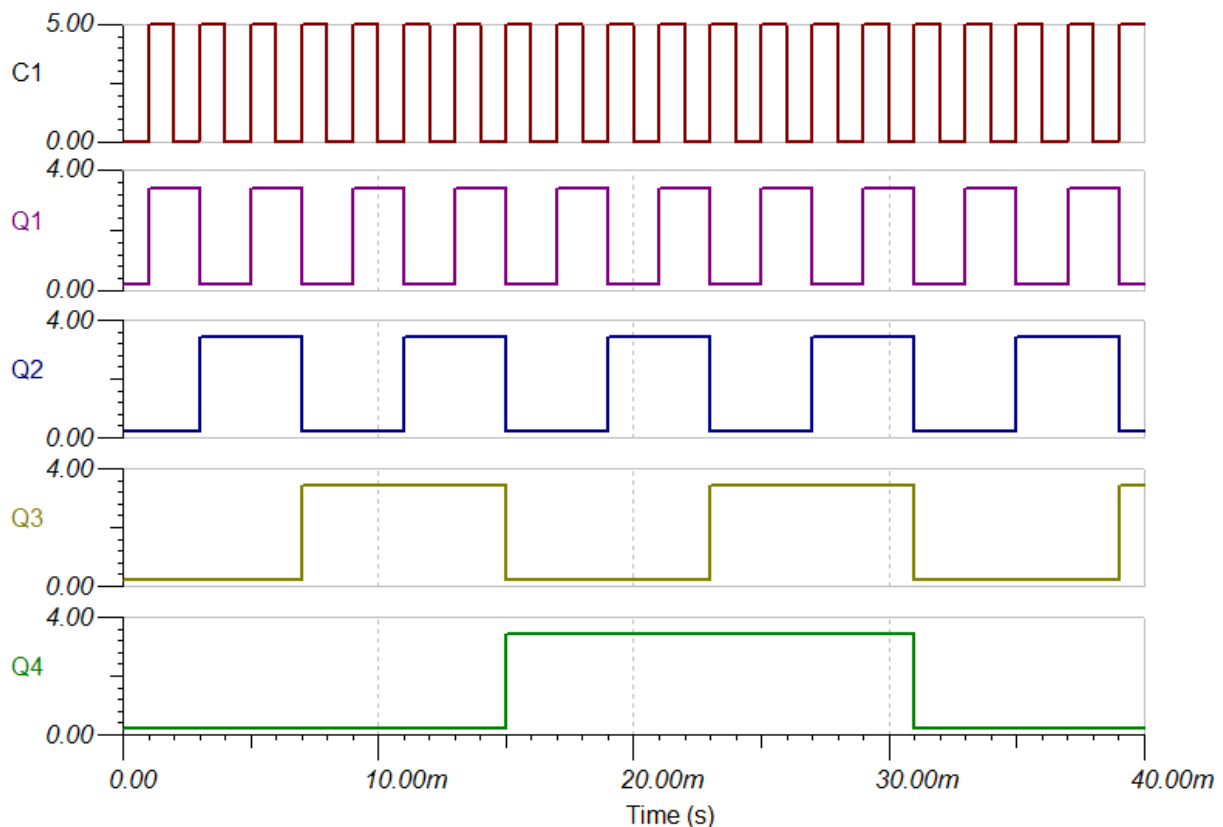


Рис. 14.23. Временные диаграммы двоичного счетчика

### Домашнее задание

1. Нарисовать все схемы исследованных логических элементов. Записать логические выражения, таблицы истинности, полученные экспериментально, и проверить их взаимное соответствие.

2. Нарисовать исследованную в п.п. 4 и 5 комбинационную схему, записать таблицу истинности и логическое выражение.

3. Описать принцип работы и методику исследования дешифратора на микросхеме 74159.

4. Нарисовать все исследованные схемы триггеров, объяснить назначение входов, принцип работы, составить логические уравнения функционирования, построить экспериментальные таблицы переходов и проверить их соответствие уравнениям функционирования.

5. Нарисовать схему исследованного двоичного счетчика, описать принцип работы и методику исследования, построить осциллограммы выходных сигналов.

### БИБЛИОГРАФИЧЕСКИЙ СПИСОК

1. Бессонов Л.А. Теоретические основы электротехники. Электрические цепи. – М.: Гардарики, 2006. – 701 с.

2. Прянишников В.А. Электроника. Курс лекций. – Санкт-Петербург.: «КОРОНА принт», 2004.-416 с.

3. Алехин В.А. Электротехника и электроника. Лабораторный практикум с использованием миниатюрной электротехнической лаборатории МЭЛ, компьютерного моделирования, Mathcad и LabView. Учебное пособие. М.: МИРЭА, 2013 г. - 224 с.

4. Алехин В.А. Моделирование электрических цепей и электронных схем в среде «TINA-8». – М: МИРЭА, 2010 г., № 0986.

5. Алехин В.А. Линейные электрические цепи. Компьютерное моделирование в среде «TINA-8». – М: МИРЭА, 2011 г., № 1083.

6. Алехин В.А. Магнитно-связанные цепи. Переходные процессы. Компьютерное моделирование в среде «TINA-8». – М: МИРЭА, 2012 г., № 1167.

7. Миленина С.А. Теоретические основы электротехники. Установившиеся и переходные процессы в линейных электрических цепях. Учебное пособие. М.: МИРЭА, 2009 - 327с.
8. TINA. Design Suite. The Complete Electronics Lab for Windows. Quick Start manual. - <http://www.designsoftware.com/>
9. TINA PRO ADVANCED TOPICS. - <http://www.tina.com/>
10. TINA PCB Design manuals.-<http://www.designsoftware.com/>
11. Электротехника и ТОЭ в примерах и задачах /В.А. Прянишников и др. – Санкт-Петербург.: «КОРОНА принт», 2001.- 234с.
12. Хоровиц П., Хилл У.. Искусство схемотехники.- М.: Мир, 2003. – 704 с.
13. У. Титце, К. Шенк. Полупроводниковая схемотехника. – М. Мир, 1983. – 512 с.
14. Алехин В.А. Расчет электрических цепей в MATHCAD.– М.: МИРЭА, 2006, № 0568.

## СОДЕРЖАНИЕ

Введение	3
Краткие сведения о программе TINA-8	5
ЧАСТЬ 1. ЭЛЕКТРОТЕХНИКА	12
Глава 1. Линейные электрические цепи постоянного тока	12
Глава 2. Электрические цепи переменного тока	30
Глава 3. Электрические цепи с магнитно-связанными катушками	53
Глава 4. Линейные пассивные четырехполюсники	71
Глава 5. Переходные процессы в линейных электрических цепях	83
Глава 6. Трехфазные электрические цепи	105
ЧАСТЬ 2. ЭЛЕКТРОНИКА	114
Глава 7. Исследование полупроводниковых диодов, стабилитронов и тиристоров	114



Глава 8. Нелинейные цепи постоянного тока	128
Глава 9. Выпрямители на полупроводниковых диодах	140
Глава 10. Исследование характеристик биполярного транзистора и усилителя на биполярном транзисторе	152
Глава 11. Исследование характеристик полевого транзистора и усилителя на полевом транзисторе	171
Глава 12. Электрические цепи с операционными усилителями	189
Глава 13. Автогенераторы гармонических колебаний	215
Глава 14. Цифровые микросхемы	232
Библиографический список	254